

THÈSE DE DOCTORAT

Immersion Visuelle Hyper-Réaliste et

Multi-Sensorielle 3D

RÉSUMÉ

La thèse « Immersion visuelle hyper-réaliste et multi-sensorielle 3D » a été réalisée dans le cadre d'un contrat CIFRE établit entre les Arts et Métiers d'une part et Renault SAS d'autre part. Elle propose un modèle de score permettant d'évaluer objectivement de la capacité d'un système d'affichage immersif à reproduire le bon niveau de stimulation sensorielle pour un utilisateur, par rapport à ce qu'il recevrait dans la réalité et à la modélisation du système visuel humain.

Dans un premier temps nous nous sommes intéressés à poser les bases du modèle : celui-ci est composé de douze critères, répartis équitablement en une somme d'indices de vision et d'indices d'immersion. Chaque critère se voit attribuer, dans la mesure du possible, une note de 0 à 100. La note de 0 représente l'incapacité du système visuel à percevoir ou à utiliser les informations visuelles, tandis que la note de 100 incarne la capacité maximale. Une note de 80 est également assignée pour la performance standard. Chaque critère se voit assigner une pondération en fonction de la tâche réalisée en environnement virtuel.

Nous réalisons dans un second temps une série d'expérimentations afin de compléter les informations disponibles dans la littérature, pour l'établissement des critères. On s'intéresse plus particulièrement au contraste et à la latence. La première expérimentation consiste en la transposition et la validation d'un modèle de performance visuelle en Réalité Virtuelle. Dans la seconde, on compare les effets de la latence sur une tâche donnée, entre un simulateur de type CAVE et un casque de Réalité Virtuelle.

La thèse propose un certain nombre de résultats tant théoriques et méthodologiques qu'expérimentaux. En condition d'immersion virtuelle, les critères de contraste et de luminance sont importants pour la perception visuelle. Les expériences réalisées montrent qu'un modèle adapté aux conditions d'immersion virtuelle est nécessaire. Par ailleurs, on montre que des seuils d'influence de la latence sur la performance semblent exister. On vérifie également la pertinence de corrélations entre performance, présence et mal du simulateur, en fonction de la latence et du système immersif.

ABSTRACT

The thesis "Hyperrealistic and multi-sensorial 3D visual immersion" was carried out within the framework of a CIFRE contract established between Arts et Métiers on the one hand and Renault SAS on the other. It proposes a score model to objectively evaluate the ability of an immersive display system to reproduce the right level of sensory stimulation for a user, compared to what he would receive in reality and to the modeling of the human visual system.

First, we were interested in laying the foundations of the model : it is composed of twelve criteria, equitably divided into a sum of vision indices and immersion indices. Each criterion is given, as far as possible, a score from 0 to 100. A score of 0 represents the visual system's inability to perceive or use visual information, while a score of 100 represents maximum capacity. A score of 80 is also assigned for standard performance. Each criterion is assigned a weight according to the task performed in the virtual environment.

We then carry out a series of experiments to complete the information available in the literature, to establish the criteria. Contrast and latency are of particular interest. The first experiment consists in the transposition and validation of a visual performance model in Virtual Reality. In the second, we compare the effects of latency on a given task, between a CAVE simulator and a HMD.

The thesis proposes a number of theoretical, methodological and experimental results. In virtual immersion conditions, contrast and luminance criteria are important for visual perception. Experiments show that a model adapted to virtual immersion conditions is necessary. Furthermore, we show that thresholds of latency influence on performance seem to exist. The relevance of correlations between simulator performance, presence and cybersickness is also checked, depending on the latency and the immersive system.

REMERCIEMENTS

Tarifs pour apparaître dans les remerciements :

- Citation générale dans un groupe : gratuit.
- Citation nominale : 5 euros.
- Paragraphe personnel : 15 euros.
- Photo personnelle avec des cœurs : 106 euros.

TABLE DES MATIÈRES

Table des figures	xiii
Liste des tableaux	xix
Introduction générale	1
I État de l'Art : Partie Théorique	3
1 Définition du réalisme	4
1.1 Enjeux et problématique	4
1.2 Définitions usuelles	4
1.3 Définitions dans le domaine de la Réalité Virtuelle	5
1.4 Définition de la multi-sensorialité 3D	7
1.4.1 Immersion	7
1.4.2 Présence	8
1.5 Cadre d'étude	8

2 Fonctionnement de la vision	10
2.1 Structure de l'œil	10
2.2 Modélisation de l'œil	12
2.3 Vision binoculaire	16
2.4 Traitement post-rétinien	17
3 Perception de la couleur	22
3.1 Espaces colorimétriques	22
3.2 Observateurs standards	24
3.3 Illuminants	26
3.4 Equations de différentiations des couleurs	26
4 Contraste	29
4.1 Définitions mathématiques	29
4.2 Calcul de seuil	30
4.2.1 Cas général	30
4.2.2 En Réalité Virtuelle	31
4.3 Méthodes classiques de calcul sur un écran	32
5 Perception visuelle de la profondeur	33
6 Influences Physiologiques	36
6.1 Variations morphologiques	36
6.2 Âge	39
II Première approche : modèles de vision	40
Introduction	41

1 État de l'Art	42
1.1 Modèles principaux	43
1.2 Pérennité des modèles principaux	43
1.3 Modèles de Mantiuk <i>et al.</i> [2004, 2005, 2015]	43
1.4 Reproduction de tons	44
2 Modèle de Pattanaik <i>et al.</i>	47
3 Modèle de Mantiuk & Ramponi	53
Conclusion	55
III Deuxième approche : score de réalisme	56
Introduction	57
1 Dans la littérature	58
1.1 Modèle de Rose	59
1.2 Observateur idéal & théorie de détection du signal	59
1.3 Tableau de Burdea & Coiffet	60
2 Score de réalisme	63
2.1 Ambition	63
2.2 Méthodologie	64
3 Proposition de modèle	66
3.1 Propositions préliminaires	67
3.1.1 Première modélisation (Fig. 31)	67
3.1.2 Seconde modélisation (Fig. 32)	68

3.1.3	Troisième modélisation (Fig. 33)	69
3.2	Modèle définitif	71
4	Indices de vision	73
4.1	Contraste & luminosité	73
4.1.1	Fonction de sensibilité au contraste (CSF)	74
4.1.2	Performance visuelle relative	75
4.2	Images par seconde	76
4.2.1	Minimum de fonctionnement	76
4.2.2	Phénomène de scintillement (flickering)	76
4.2.3	Maximum de fonctionnement	77
4.2.4	Fonction de notation du critère	78
4.3	Couleurs	78
4.3.1	Dénombrement des couleurs visibles	78
4.3.2	Les espaces colorimétriques	79
4.3.3	Indice de rendu des couleurs (IRC)	80
4.3.4	Fonction de notation du critère	81
4.4	Champ de vision	81
4.4.1	Axe horizontal	82
4.4.2	Axe vertical	83
4.4.3	Pondération	83
4.4.4	Fonction de notation du critère	84
4.5	Acuité monoscopique	84
4.5.1	Première approche	84
4.5.2	Deuxième approche	85
4.5.3	Fonction de notation du critère	86

4.6	Acuité stéréoscopique	86
4.6.1	Première modélisation	86
4.6.2	Fonction de notation du critère	89
5	Indices d'immersion	91
5.1	Latence	91
5.2	Champ de regard	92
5.2.1	Champ horizontal & champ vertical	92
5.2.2	Pondération	93
5.3	Stéréoscopie	94
5.3.1	Fonctionnement	94
5.3.2	Fonction de notation du critère	95
5.4	Tracking	95
5.5	Uniformité	96
5.6	Orientation des caméras	97
5.6.1	Mimétisme du fonctionnement oculaire	97
5.6.2	Fonction de notation du critère	98
6	Pondération du modèle	100
6.1	Contraste, luminance, taille et champs visuels	100
6.2	Tracking, stéréoscopie, convergence des caméras et couleurs	101
6.3	Conclusion	102
7	Etude expérimentale	104
7.1	Objectif	104
7.2	Apparatus	104
7.3	Résultats	106

7.4	Discussion	108
7.4.1	Couleurs et acuité monoscopique	108
7.4.2	Champ de vision & champ de regard	108
Conclusion		110
IV Partie expérimentale : contraste et luminance		112
Introduction		113
1 Modèles de Rea		114
1.1	Première modélisation de la performance visuelle relative	114
1.1.1	Modèle précurseur	114
1.1.2	Application à la performance visuelle	115
1.2	Méthode des temps de réaction	116
1.2.1	Protocole expérimental	116
1.2.2	Calcul des temps de réaction théoriques	118
2 Mesures préliminaires		119
2.1	Luminance globale (luminance de fond)	119
2.2	Luminance de la cible (luminance de tache)	121
2.3	Diamètre pupillaire	122
2.4	Absorption des verres des lunettes 3D	125
3 Protocole expérimental		128
3.1	Dispositif	128
3.1.1	Hypothèses de travail	128
3.1.2	Sujets & matériel	129

3.1.3	Tâche à effectuer	129
3.2	Choix des conditions expérimentales	131
3.2.1	Luminance	131
3.2.2	Contraste	133
4	Résultats	136
4.1	Prédictions du modèle théorique	136
4.2	Mesures réelles	136
4.3	Analyse et discussion	139
Conclusion		141
V	Expérimentation : latence	142
Introduction		143
1	Contexte	144
1.1	Définition et mesure des effets de la latence	144
1.1.1	Définitions	144
1.1.2	La performance comme outil de mesure	145
1.2	Perception de la latence	146
1.2.1	Notions de psychométrie	146
1.2.2	Dans la littérature	147
1.3	Mesure de la latence	148
2	Mise en place du dispositif expérimental	152
2.1	Tâche à effectuer	152
2.1.1	Moyens immersifs	153

2.1.2	Détail de la tâche	153
2.1.3	Mesures	156
2.2	Ajout de latence artificielle	157
2.2.1	Dans le casque	157
2.2.2	Dans le CAVE	158
2.3	Mesures préliminaires	158
3	Conclusions expérimentales	160
3.1	Résultats	160
3.1.1	Dans le CAVE	160
3.1.2	Dans le casque	163
3.1.3	Analyse croisée	165
3.2	Apport au score de réalisme	167
Conclusion		168
Discussion générale et perspectives		169
Bibliographie		176

TABLE DES FIGURES

1	Illustration de bokeh	6
2	Différentes acceptations du terme <i>réalisme</i> chez [Fuchs <i>et al.</i> , 2003]	7
3	Cadre d'étude de la thèse	9
4	Structure de l'œil	12
5	Répartition (en <i>milliers/mm²</i>) des cônes/bâtonnets sur la rétine	13
6	Points caractéristiques (cardinaux) d'un système optique plan	14
7	Modèle et valeurs physiologiques de Gullstrand, image tirée de [Liou & Brennan, 1997]	15
8	Modèle de Liou & Brennan, image tirée de [Liou & Brennan, 1997]	15
9	Horoptères théorique et empirique, Aire de Panum et disparités rétinien-nes. Image tirée de [Neveu, 2012].	17
10	Structure et cellules composant la rétine, image tirée de [ANSES, 2014].	18
11	Direction des voies ventrale et dorsale dans le cerveau.	19
12	Construction des canaux chromatiques et achromatique dans la théorie des processus antagoniques	20

13	Courbes moyennes de sensibilité au contraste en fonction de la fréquence spatiale du stimulus pour différentes valeurs d'acuité visuelle, tiré de [Owsley <i>et al.</i> , 1983]	21
14	Composantes de l'espace CIELAB	23
15	Répartition des domaines photopique, mésopique et scotopique	24
16	Courbes d'efficacité lumineuse des Observateurs Standards de la CIE	25
17	Spectre de l'illuminant D65 (CIE)	27
18	Indices visuels de perception de la profondeur	34
19	Illustration d'indices de profondeur : ombres (1, image tirée de [ANSES, 2014]), taille (2) et gradient de profondeur (3, images tirées de [Glassner, 1995])	35
20	Schématisation de la différence de profondeur stéréoscopique perçue en fonction de la distance interoculaire	37
21	Abaques de la nouvelle distance perçue en fonction de la distance interoculaire	38
22	Densité des cônes en fonction de l'âge (figure tirée de [Kilbride <i>et al.</i> , 1986]) .	39
23	Différentes étapes du modèle d'adaptation lumineuse. Images tirées de [Ferwerda <i>et al.</i> , 1996]	46
24	Schéma synthétique du déroulé du modèle de [Pattanaik <i>et al.</i> , 1998]	48
25	Schéma exhaustif du traitement de l'image par le modèle de [Pattanaik <i>et al.</i> , 1998]	52
26	Fonctionnement du processus de mesure de qualité d'image pour des séquences vidéo 2D.	59
27	Illustration de la théorie de détection du signal. Répartition des probabilités de détection autour d'un seuil de détection déterminé (critère de détection) .	60
28	Paramètres caractérisant la vision totale	62
29	Illustration de la différence qu'il existe entre les consignes données par la carte graphique (1) et les informations visuelles reçues par l'observateur (2).	64

30	Résumé des étapes d'état de l'Art pour la construction du modèle et répartition des objectifs de représentation des notes intermédiaires dans le score de réalisme.	65
31	Première modélisation du score de réalisme.	68
32	Deuxième modélisation du score de réalisme.	69
33	Troisième modélisation du score de réalisme.	70
34	Dernière modélisation du score de réalisme.	72
35	Fonctions de sensibilité au contraste pour les domaines photopiques, scotopiques et mésopiques.	74
36	Exemple de performance visuelle pour deux tailles de cible différentes	76
37	Illustration du « mouvement beta » et de l'« effet phi ».	77
38	Tracé de la fonction de notation du critère « images par seconde ».	79
39	Tracé de différents gamuts sur l'espace colorimétrique CIE RGB 1931.	80
40	Tracé de la fonction de notation du critère « couleurs ».	81
41	Répartition des zones visuelles sur l'axe horizontal du champ de vision.	82
42	Répartition des zones visuelles sur l'axe vertical du champ de vision.	83
43	Tracé de la sous-fonction horizontale de notation du critère « champ de vision » (ligne continue) et de la sous-fonction verticale (pointillés).	84
44	Classification ICD-9-CM	85
45	Tracé de la fonction de notation du critère « acuité monoscopique ».	87
46	Variation de la constante du modèle d'acuité stéréoscopique en fonction de la distance interoculaire.	88
47	Variation de la distance interoculaire sur la population. Image tirée de [Dodgson, 2004].	88
48	Tracé de la fonction de notation du critère « acuité stéréoscopique » ($\Delta\nu_{min} = 8 \text{ arcsecs}$).	90
49	Recouvrement des demi-champs de regard (temporal et nasal).	93
50	Lunettes de stéréoscopie.	94

51	Illustration d'une notation du critère « Stéréoscopie » en fonction de la technologie	95
52	« Body » de tracking monté sur des lunettes de stéréoscopie & ensemble caméra-émetteur infrarouge pour le tracking.	96
53	Exemple de système de tracking de regard portatif.	98
54	Exemple de déformation dûs à la convergence des caméras.	99
55	Modélisation avec ordre de grandeur de la pondération.	103
56	Echelle « aidée » pour noter subjectivement de 1 à 5 les différents critères du système	105
57	Résultats des valeurs théoriques calculées et des valeurs subjectives relevées.	107
58	Illustration de l'effet de compression.	115
59	Installation de l'expérimentation de Rea et Ouellette.	117
60	Chromameter CS100	120
61	Evolution de la luminance en fonction du niveau de gris sur les cinq points de mesure et leur moyenne.	121
62	Luminance de la cible en fonction de la luminance globale	123
63	Oculomètre Dikablis Professional	123
64	Exemple d'une mesure en pixel de largeur pupillaire au cours du temps.	124
65	Mesures pour la conversion pixel/mm.	125
66	Comparaison entre les mesures de diamètre pupillaire par rapport aux valeurs théoriques, en fonction de la luminance affichée.	126
67	Comparaison des mesures sans et avec filtre des lunettes stéréoscopiques.	127
68	Pourcentage d'absorption en fonction du niveau de gris affiché.	127
69	Répartitions des sujets pour les expérimentations de contraste/luminance et de comparaison objective/subjective.	129
70	Déroulement global de l'expérimentation contraste/luminance.	131

71	Déroulement d'une session de mesure de temps de réactions pour une luminance de fond donnée.	132
72	Performance théorique et réelle pour l'expérimentation de détection des stimuli contrastés, conditions 0 et 32.	138
73	Performance théorique et réelle pour l'expérimentation de détection des stimuli contrastés, conditions 80 et 128.	138
74	Performance théorique et réelle pour l'expérimentation de détection des stimuli contrastés, conditions 176 et 255.	138
75	Méthode du pendule pour le calcul de la latence.	149
76	Méthode de la table tournante pour le calcul de la latence.	150
77	Méthode des gradients pour le calcul de la latence.	150
78	Oculus Rift et ses accessoires.	154
79	Environnement virtuel pour l'expérimentation sur la latence.	155
80	Précisions en X et Y pour l'expérimentation sur la latence.	156
81	Technique de mesure de la latence.	159
82	Scores moyens des questionnaires de propension à l'immersion (QPI) et de présence (QEP).	161
83	Précision moyenne sur x et sur y dans le CAVE, en fonction de la latence.	162
84	Temps de complétion moyens dans le CAVE, en fonction de la latence.	162
85	Précision moyenne sur x et sur y dans le casque, en fonction de la latence.	164
86	Temps de complétion moyens dans le casque, en fonction de la latence.	165
87	Rappel de la modélisation du score de réalisme.	170
88	Score de réalisme pour les quatre systèmes testés.	172
89	Diagramme radar des critères du score pour IRIS.	173
90	Diagramme radar des critères du score pour P3I.	174
91	Diagramme radar des critères du score pour le casque VIVE.	174

LISTE DES TABLEAUX

1	Valeurs de la puissance dans les fonctions de transducteurs de [Watson & Solomon, 1997]	50
2	Gamuts Coverage of 1931 Color Space	80
3	Acuité de l'œil, [Gross <i>et al.</i> , 2008]	86
4	Force relative des critères du modèle non liés à la perception de la profondeur	101
5	Force relative des indices de perception de la profondeur. Table adaptée depuis [Mehrabi <i>et al.</i> , 2013]	102
6	Dimensions du CAVE « P3I » dans lequel a eu lieu l'étude expérimentale sur la comparaison entre les notes objectives et des notes subjectives.	105
7	Population et âge des sous-catégories de l'étude expérimentale sur la comparaison entre les notes objectives et des notes subjectives.	106
8	Extrait des mesures de luminance globale du simulateur en fonction de la nuance de gris affichée.	120
9	Extrait des mesures de luminance du disque en fonction de sa nuance de gris et de la nuance globale affichée.	122
10	Mesure pupillaires en fonction de la luminosité	125

11	Valeurs des nuances de gris du stimulus nécessaire pour afficher un contraste par valeur supérieure désiré.	135
12	Valeurs des nuances de gris du stimulus nécessaire pour afficher un contraste par valeur inférieure désiré.	135
13	Temps de réaction théoriques (en ms) prédis par le modèle de Rea et Ouellette.	137
14	Temps de réaction moyens réels (en ms) mesurés pendant l'expérimentation et leurs écart-types moyens respectifs.	139
15	Résultats statistiques de la corrélation entré données mesurées et données théoriques.	140
16	Mesures de latence (en ms) pour le casque et le CAVE.	155
17	Expérimentation latence : résultats moyens et écarts-types dans le CAVE. . .	161
18	Expérimentation latence : résultats moyens et écarts-types dans le casque. .	163
19	Expérimentation latence : résultats moyens et écarts-types pour une variation de 60 <i>ms</i> dans les deux systèmes étudiés.	166

INTRODUCTION GÉNÉRALE

LES travaux de la thèse « Immersion visuelle hyper-réaliste et multi-sensorielle 3D », dont les résultats sont présentés ici, ont été réalisés dans le cadre d'un contrat CIFRE établi entre les Arts et Métiers et Renault, au sein du laboratoire commun LIV. Ils sont le fruit d'un travail de trois ans, réalisé en grande partie au Technocentre Renault à Guyancourt, sous l'encadrement de Stéphane Régnier, expert maquette virtuelle pour l'ingénierie et le design ; Fédéric Mérienne, professeur aux Arts et Métiers et directeur de l'Institut Image ; et Andras Kemeny, expert-leader simulation immersive et réalité virtuelle.

Renault, fabricant français de voitures bien connu, investit de plus en plus de moyens dans la réalité virtuelle, et même depuis peu, dans la réalité augmentée. Ces technologies viennent compléter les outils de développement des nouveaux véhicules. Ils permettent de tester, d'afficher ou de rouler sans avoir besoin de passer par des prototypes physiques et dans les conditions que l'on souhaite (brouillard, nuit, pluie, ...). Ces procédés permettent de nombreux gains de temps et d'argent, composantes vitales pour l'entreprise.

L'Institut Image, institut de recherche rattaché au campus Arts et Métiers de Cluny, a quant à lui pour objectifs le développement d'outils et de méthodes pour l'immersion virtuelle, au service de l'ingénieur. Ses missions sont celles de la formation, de la recherche et de l'innovation. Dans le but de collaborer à des projets industriels concrets, Renault et les Arts et Métiers, via l'Institut Image, créent en 2011 un laboratoire commun : le LIV (Laboratoire d'Immersion Virtuelle). C'est dans le cadre de ce partenariat qu'a eu lieu la présente thèse.

Notre étude est née de la volonté de Renault d'offrir à ses équipes des moyens sûrs, permettant la prise de décisions parfois stratégiques, sans craindre un biais causé par la technique. Les outils de travail doivent proposer des situations les plus fidèles à la réalité possible, c'est à dire « réalistes ». L'objectif de la thèse est donc de formuler ce qu'est le réalisme et de quelle manière il peut être atteint ou réalisé. Si le sujet peut sembler un

peu large initialement, nous concentrons nos efforts sur la partie matérielle des moyens immersifs, avec en priorité ceux disponibles pour le laboratoire commun. Renault s'associe donc à un partenaire universitaire, les Arts et Métiers. C'est ici qu'entre en jeu la spécificité d'un contrat de type CIFRE : les travaux ont une vocation universitaire, c'est à dire qu'ils sont appelés à être communiqués, publiés ; mais ils possèdent également une réelle vocation applicative, avec des attendus concrets de la part de l'entreprise, qui peuvent être confidentiels. Il est alors dévolu au doctorant de trouver le juste équilibre entre les attentes des deux parties.

Le manuscrit est présenté en cinq grandes parties : deux parties à dominante théorique, une partie modélisation puis deux parties expérimentales.

La première partie présente la synthèse de l'état de l'Art qui a été effectué afin de comprendre en profondeur les différent(e)s mécanismes et modélisations qui prennent part au fonctionnement de l'œil, de la vision, et des premières phases de la perception visuelle.

La deuxième partie s'intéresse spécifiquement aux modèles de vision et retrace la première approche qui a été envisagée, puis abandonnée, pour la thèse.

Ensuite, la troisième partie présente la proposition de modèle au cœur de nos travaux : ses objectifs, sa mise en place et ses différentes composantes.

D'abord très théorique, la thèse se dirige ensuite vers deux segments plus expérimentaux. Dans la quatrième partie, on décrit la traduction et l'implémentation d'un modèle de performance visuelle, en Réalité Virtuelle.

Enfin, dans la cinquième et dernière partie, on s'intéresse à la latence, ses effets sur la performance et l'expérience utilisateur, en comparant deux moyens immersifs.

Première partie

État de l'Art : Partie Théorique

CHAPITRE

1

DÉFINITION DU RÉALISME

1.1 Enjeux et problématique

Qu'est-ce que le réalisme ? Comment le définir ? A quoi peut-il servir ? Peut-on faire « plus » de réalisme ? A quoi cela servirait-il ? Ces questions peuvent devenir des enjeux majeurs lorsqu'elles sont associées à des cas d'application réels et de portée économique importante. Un exemple flagrant se retrouve à l'endroit du constructeur français de voitures : Renault.

Les maquettes et prototypes numériques entrent de plus en plus dans le cycle de conception des véhicules. Les simulateurs et autres systèmes d'affichage immersif sont utilisés pour visualiser ces maquettes à l'échelle 1 :1, dans des conditions d'utilisation, d'éclairage et de ressemblance poussées à leur paroxysme. L'objectif est d'être le plus « réaliste » possible afin de légitimer au maximum la prise de décisions dans les simulateurs.

Mais définir -et plus encore, quantifier- le *réalisme* n'est pas une tâche facile. Nous allons voir qu'il peut exister, voire coexister, plusieurs définitions applicatives du concept.

1.2 Définitions usuelles

Une fois l'évidence de la recherche de réalisme mise en avant, il devient nécessaire de définir ce qu'est le réalisme, sans quoi il serait impossible de le travailler. Tout d'abord, on peut s'intéresser à la définition que donne le Larousse² :

2. Réalisme. (s.d.). Dans *Dictionnaire Larousse en ligne*. Repéré à www.larousse.fr/encyclopedie/divers/realisme/8600

- Attitude qui tient compte de la réalité telle qu'elle est.
- Caractère de ce qui est une description objective de la réalité, qui ne masque rien de ses aspects les plus crus.
- Tendance littéraire et artistique du XIXe siècle qui privilégie la représentation exacte, tels qu'ils sont, de la nature, des hommes, de la société.
- Doctrine qui affirme que la connaissance du réel constitue le réel lui-même, que cette connaissance soit la seule réalité ou qu'à côté d'elle figure une autre réalité, l'objet auquel elle s'applique.

Mais ces définitions (notamment les n.3 et 4) semblent assez peu utiles pour notre application car trop généraliste. Il faut s'intéresser à une définition qui soit spécifique au cadre de la réalité virtuelle (RV). Mais le « réalisme » en RV est un terme très ambivalent et difficile à cerner [Burkhardt, 2003]. C'est ce que nous allons étudier dans la prochaine sous-partie.

1.3 Définitions dans le domaine de la Réalité Virtuelle

La première définition qui vient à l'esprit est celle de la ressemblance graphique avec le monde réel [Ferwerda *et al.*, 1996]. Est réaliste ce qui semble vrai ou beau, ce qui donne l'impression d'être vrai. On s'autorise alors l'utilisation d'un certain nombre d'artefacts graphiques (souvent issus de et popularisés par le cinéma), tel les bokehs¹ (voir Fig. 1) ou le tonemapping (voir plus bas), afin de renforcer le sentiment d'apparence réelle. Ce type de réalisme est notamment développé par et mis en avant dans le monde du jeu vidéo avec des textures de plus en plus sophistiquées, des modélisations de plus en plus fines (et donc lourdes en polygones) mais surtout des jeux de lumière et d'optique saisissants.

Une deuxième approche, moins évidente au premier abord, est décrite chez Hoorn [Hoorn *et al.*, 2003] : un environnement virtuel sera jugé assez réaliste s'il remplit sa fonction ; si, dans le cadre d'une application d'apprentissage par exemple, ce qui doit être appris est appris, et si cet apprentissage en RV est transféré en-dehors du monde immersif. Cette définition se détache complètement d'une volonté d'un réalisme d'apparence (comme on a pu voir précédemment) et peut même se détacher d'une construction logique et/ou anthropomorphe de l'environnement virtuel. Si une scène faite de volumes géométriques colorés flottants dans un espace monochrome suffit à transmettre le message voulu, la scène est jugée réaliste.

On trouve, dans [Fuchs *et al.*, 2003], une définition plus complète, divisée en cinq acceptations du terme *réalisme* dans le domaine de la RV. Ces acceptations ne sont pas mutuellement exclusives mais il peut être nécessaire d'utiliser plusieurs d'entre elles pour construire sa définition du réalisme :

1. Les bokehs (terme provenant du japonais pour flou) sont des artefacts graphiques ressemblant à des taches de flou et qui prennent la forme du diaphragme de l'objectif de l'appareil de capture (caméra ou appareil photo)

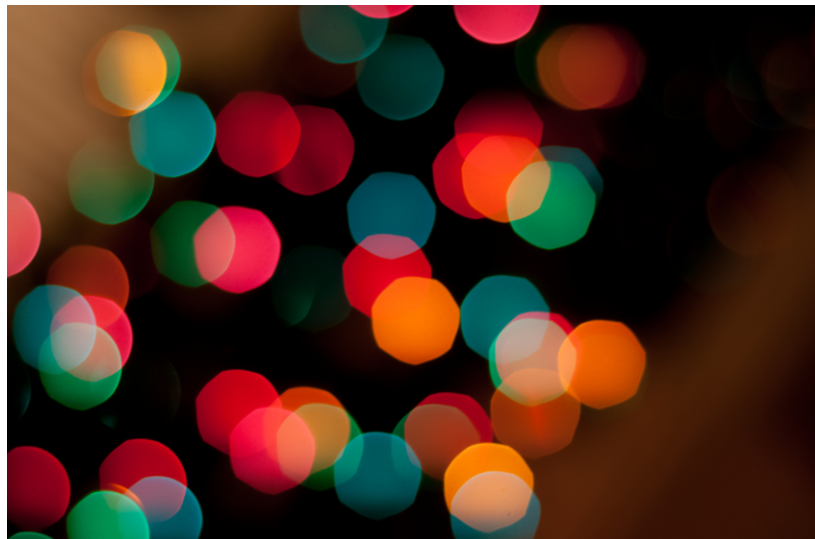


FIGURE 1 – Illustration de bokeh

- Évaluation subjective du degré de ressemblance d'une situation.
- Fidélité de construction de la simulation aux lois de la Nature.
- Évaluation subjective du degré de crédibilité d'une situation.
- Fidélité psychologique.
- Illusion du réel (connue aussi sous l'appellation *présence*).

La première acceptation, l'évaluation subjective du degré de ressemblance, a déjà été décrite dans un paragraphe précédent. Elle recouvre toute la partie esthétique et artistique de la conception de l'environnement virtuel.

La deuxième acceptation, la fidélité de la simulation aux lois de la Nature, accorde moins d'importance à la beauté de la simulation qu'à son comportement simulé ; en dépit de ce que peut juger l'utilisateur. Chaque fonctionnalité implémentée se comporte en suivant un modèle issu du monde physique réel. De par le biais de perception qui peut être induit dans un monde virtuel, les comportements (comme par exemple la gravité, l'adhérence sur un sol, etc ...) et/ou les apparences (rendu des couleurs, floutage des images en fonction de la vitesse, ...) peuvent apparaître comme non naturels à l'utilisateur. Son avis n'est pas pris en compte, on se contente d'afficher des modèles rigoureux.

La troisième acceptation, est la création d'une expérience perceptive qui serait crédible du point de vue du système sensoriel, tant sur le plan microscopique (chaque élément pris à part) que sur le plan macroscopique (l'environnement virtuel dans sa globalité). Même si les informations qui sont envoyées à l'utilisateur (via l'interface de l'environnement virtuel) ne suivent pas rigoureusement les lois de la physique et du monde *réel*, il faut que l'observateur les perçoive comme étant vraies.

On peut supposer un lien fort et systématique entre cette dernière acceptation (perception crédible) et la précédente (construction objective via des modèles déterminés) mais cette question est encore grande ouverte et sujette à recherche.

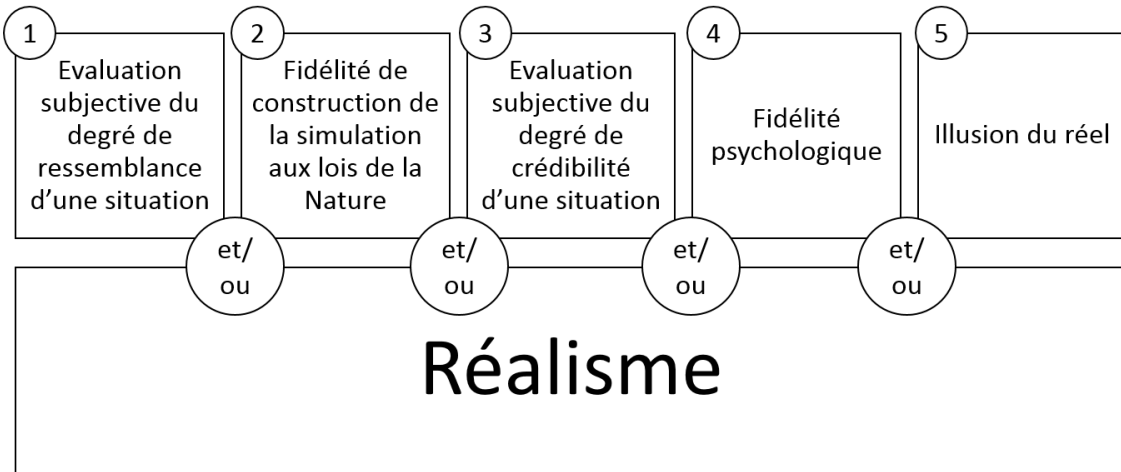


FIGURE 2 – Différentes acceptations du terme *réalisme* chez [Fuchs *et al.*, 2003]

Ensuite, la quatrième acceptation du terme *réalisme* est liée à une fidélité d'ordre psychologique. L'utilisateur doit se comporter de la même manière dans l'environnement virtuel que dans la même situation dans le monde physique. Les images affichées peuvent ne pas correspondre avec ce que l'utilisateur verrait dans la situation réelle (en fonction de la tâche à réaliser) tant que les performances et les résultats du sujet dans l'environnement virtuel sont similaires ou identiques à celles/ceux enregistré(e)s dans le monde réel. Cette acceptation est largement détaillée dans la littérature [Burkhardt, 2003; Patrick, 1992; Stoffregen *et al.*, 2003].

Enfin, la cinquième et dernière acceptation fusionne les concepts de *réalisme* et de *présence*. Plus le sentiment de présence dans un environnement virtuel sera fort, plus le réalisme dudit environnement le sera aussi. La présence est « l'illusion d'une réalité qui n'existe pas » [Stoffregen *et al.*, 2003], c'est à dire le fait de faire croire au cerveau que les images/objets/personnes virtuelles que l'on voit sont en fait bien réels ou vivants [Burkhardt, 2003]. Plus la croyance en la réalité de la scène est forte, plus la présence est forte.

1.4 Définition de la multi-sensorialité 3D

1.4.1 Immersion

Deux sémantiques coexistent : l'immersion est à la fois l'action d'immerger un utilisateur dans un environnement complètement virtuel via des images de synthèse ; mais c'est aussi l'effet (avéré ou non) qu'a cette immersion sur ce même utilisateur. De manière plus formelle, on peut dire que l'immersion est le « degré et [la] qualité, par l'interface [d'un] système, du contrôle des entrées sensorielles pour chaque modalité de perception et d'action » (depuis [Fuchs *et al.*, 2003]).

Pour Burkhardt *et al.* [1999], le degré d'immersion est caractérisé par un ensemble de grandeurs :

- Le sous ensemble des modalités mises en œuvre dans l’interaction.
- Les propriétés des dispositifs d’interaction pour chacune des modalités visées (degré de complétude, qualité, paramètres du signal, ...)
- La cohérence interne et la latence globale de l’information et des réactions délivrées en temps réel par le système.
- Les propriétés physiques de l’environnement physique dans lequel se déroule l’expérience.

1.4.2 Présence

Le concept de présence rassemble à la fois le(s) résultat(s) et l’effet d’une (bonne) immersion. Comme décrit dans [Burkhardt, 2003] : « [la présence] désigne l’effet de faire percevoir comme réels ou vivant, les objets, évènements ou personnages avec lequel l’utilisateur interagit dans l’environnement virtuel ».

1.5 Cadre d’étude

Dans notre cas, la définition du réalisme qui aura été retenue -et qui sera sous-entendue quand on utilisera le mot *réalisme* seul- est celle de la proximité physiologique avec le système visuel humain.

Le but de cette thèse n’est pas de construire de nouveaux modèles esthétiques et de travailler à l’amélioration graphiques des simulateurs (objectif qui incombe plutôt à un designer ou à un graphiste), ni d’élaborer un nouveau modèle de vision mais plutôt de travailler avec des modèles de vision, c’est à dire la manière dont la caméra virtuelle va extraire les informations de la scène virtuelle -par opposition aux modèles d’affichage qui décrivent comment les informations capturées par la caméras doivent être affichées sur le(s) écran(s)- pour déterminer des caractéristiques qui soient proches des facultés de la vision humaine.

Nos travaux dépassent le simple cadre du réalisme en tenant que tel de part leur implication dans le domaine de la Réalité Virtuelle : par construction, celle-ci met en jeu tous les sens de l’homme. [Burdea & Coiffet, 1993] résument bien en disant que « de part sa nature même, c’est à dire de par ses caractéristiques d’immersion et d’interactivité, le système de RV implique "presque tout l’homme" : tous ses sens, toute son attention ».

Dans le cadre de la thèse, le sens de « multi-sensorialité » n’est donc pas l’usage des plusieurs des cinq sens traditionnels (ouïe, vue, odorat, toucher et goût) mais plutôt la prise en compte de la temporalité de l’expérience et de la capacité de l’observateur de bouger dans son environnement, au bénéfice de la vision. Par exemple, la parallaxe de mouvement. Cela nous permettra d’englober les concepts de présence et d’immersion dans la réflexion autour de la thèse, avec ses impératifs de cohérence et de qualité de l’expérience utilisateur que cela implique.

CHAPITRE 1. DÉFINITION DU RÉALISME

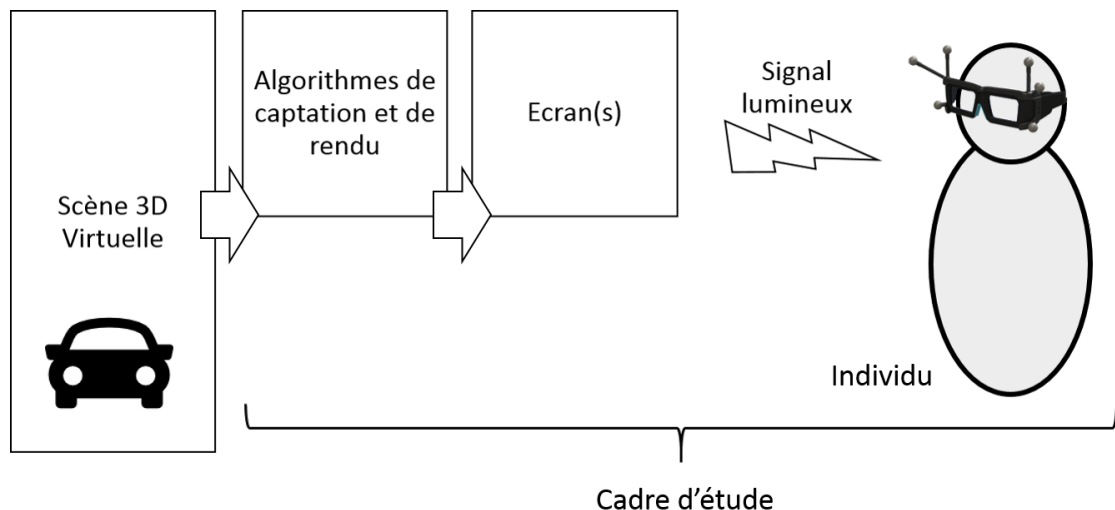


FIGURE 3 – Cadre d'étude de la thèse

Le réalisme physiologique doit, par construction et par définition, se baser sur le système visuel humain. Dans la suite de ce chapitre, nous passerons en revue un grand nombre de paradigme de la vision afin d'établir précisément la compréhension de son fonctionnement.

CHAPITRE

2

FONCTIONNEMENT DE LA VISION

Première interface et premier organe de la chaîne, l'œil -à contrario de ce qui est généralement pensé- n'est pas la pièce maîtresse de la vision : il ne sert *qu'à* envoyer des signaux électriques au cerveau et pourrait être remplacé par une caméra par exemple, dans la mesure où celle-ci émet les bonnes informations à travers le nerf optique [Dobelle, 2000]. L'œil reste néanmoins un outil très puissant et versatile. Nous allons ici rappeler le fonctionnement de l'œil et de la vision, qui se traduit par les informations collectées et transmises par l'œil puis traitées par le cerveau. Le sujet est tout à fait connu et largement documenté [Driscoll *et al.*, 1978; Fairchild, 2005; Gross *et al.*, 2008; Wandell, 1995].

2.1 Structure de l'œil

L'œil se divise en un certain nombre de parties dont les principales sont la cornée, l'iris, la pupille, le cristallin, la rétine et les deux chambres contenant les humeurs aqueuse et vitrée. Toute la structure de l'œil est résumée sur la Fig. 4.

La cornée est la première interface entre l'extérieur et l'intérieur de l'œil.

Le cristallin est la lentille principale de l'œil et va s'occuper de la netteté du monde qui nous entoure via le processus d'accommodation. Le principe est simple : il faut placer le foyer image de l'œil sur la rétine (voir Section suivante). Pour ce faire, l'œil accommode, c'est à dire qu'il va modifier sa géométrie dans le but de modifier ses propriétés optiques. Dans la pratique, les muscles ciliaires font se déformer le cristallin (voir Fig. 4) en réduisant sa hauteur et donc en augmentant sa convexité ou inversement. Ce processus dure 1 seconde et n'est pas définitif : une fois l'œil accommodé, celui-ci oscille légèrement autour de la valeur d'accommodation, à une fréquence de 5 Hz. Ce mécanisme permet de récupérer des feedbacks en cas d'ajustements à opérer [Gross *et al.*, 2008].

Le mécanisme d'accommodation ne fonctionne plus à partir d'un certain seuil de luminosité. Ce seuil est évalué à 0.01 cd/m^2 . En l'absence d'accommodation, l'œil prend une position intermédiaire entre la position relâchée (accommodation à l'infini) et une position presque-accommodée [Gross *et al.*, 2008].

Ensuite, la pupille et l'iris sont intimement liées car la première est l'espace laissé par la seconde au centre de l'œil. L'iris est une composante contrôlable de l'œil. L'iris contrôle la quantité de lumière qui arrive dans l'œil et donc sur la rétine. Plus la pupille sera grande, plus la lumière pourra rentrer dans l'œil. Un œil humain peut supporter des luminosité (luminance) allant de 10^{-6} à 10^5 cd/m^2 . La variation du diamètre de la pupille peut être modélisé par une modèle mathématique. Si il en existe un certain nombre dans la littérature (voir [Watson & Yellott, 2012] pour un état de l'Art exhaustif) on donne ici l'équation suivante (Eq. 1). De la même manière que l'accommodation, le diamètre de la pupille oscille autour de sa valeur moyenne à l'instant t . Ce phénomène est appelé *hippus* [Gross *et al.*, 2008].

$$\log_{10}(D_{iris}) = 0.8558 - 0.000401 \cdot [8.4 + \log_{10}(L)]^3 \quad (1)$$

De la même manière, la vergence est la capacité des yeux de s'orienter vers le point d'accommodation lorsque celui est proche. On appelle convergence le phénomène qui consiste à augmenter l'angle formé par l'intersection des lignes du regard de chaque œil (quand la cible se rapproche) et divergence le cas inverse, lorsque cet angle diminue (la cible s'éloigne). Le processus possède une latence estimée à 150 ms et une durée approximative évaluée à 0.2 - 0.6 secondes [Devisme, 2004; Gross *et al.*, 2008].

L'œil humain a une taille globalement constante entre les individus : autour de 24 mm de diamètre [Glassner, 1995]. Le pouvoir optique de l'œil, c'est à dire sa capacité à adapter ses propriétés optiques, se mesure en dioptries. Les dioptries (δ) sont l'inverse de la distance focale d'un système optique, elles sont homogènes à des m^{-1} . Faire varier ses dioptries (et donc sa distance focale) permet l'accommodation et l'adaptation de l'œil. L'œil humain possède environ 42δ en fonctionnement et peut monter jusqu'à une puissance de 60 à 80δ pour compenser les défauts de l'œil [Glassner, 1995].

La rétine tapisse le fond de l'œil et est composée de millions de récepteurs photosensibles qui vont être responsable de la captation de l'image. Ces photo-récepteurs sont les cônes, sensibles à la couleur, et les bâtonnets sensibles à la luminosité. Il existe 3 types de cônes, qui sont chacun sensibles à différentes longueurs d'onde : on retrouve les cônes de type S (pour *small*, petite longueur d'onde) avec un maximum de sensibilité à 420 nm ; ensuite, on trouve les cônes de type M (pour *medium*, moyenne longueur d'onde) avec un maximum de sensibilité à 530 nm ; et enfin, on a les cônes de type L (pour *long*, grande longueur d'onde) avec un maximum de sensibilité à 560 nm . Le seul message émanant d'un cône ou d'un bâtonnet est celui de son activation. La reconnaissance des couleurs et de l'intensité de la lumière se fait par la combinaison des résultats d'activation des différents types de cône ; ce procédé est analogue à celui du tramage¹ en informatique. Alors que l'on pourrait

1. Tramage : Procédé permettant de générer de nouvelles couleurs à partir d'une base limitée de couleurs. Typiquement, en informatique, les pixels des écrans sont en fait composés de 3 sous pixels : blanc, rouge et vert. Une fois combinés et vus d'assez loin, ils semblent ne créer qu'une seule couleur, potentiellement différente.

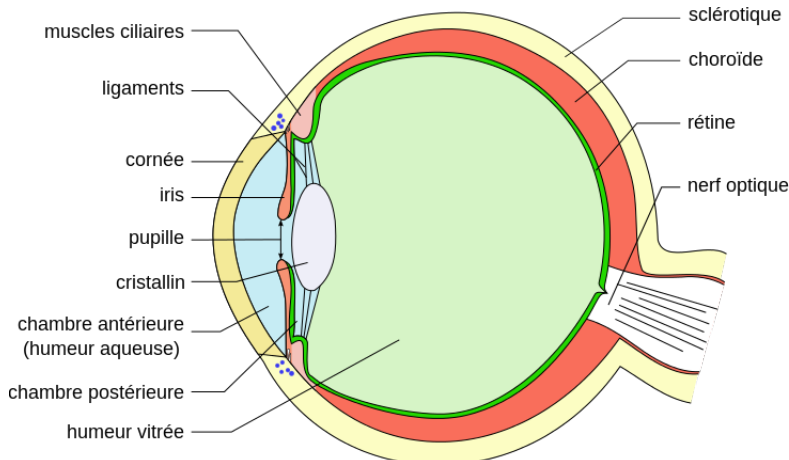


FIGURE 4 – Structure de l’œil

penser qu’il existe un cône dédié à chaque couleur, l’œil humain ne possède que trois types de cône. En effet, si l’œil possédait de nombreux autres types de cônes, la densité par cône serait grandement réduite et donc la finesse de vision avec [Glassner, 1995].

Les cônes et les bâtonnets ont chacun leur plage de fonctionnement optimale. Dans le domaine photopique (lumière du jour), les cônes sont saturés en luminosité et sont beaucoup moins efficaces que dans le domaine scotopique (de nuit). De leur côté, les cônes adaptent leur maximum de saturation par rapport au niveau global d’illumination [Glassner, 1995].

Enfin, la répartition des cônes et des bâtonnets sur la rétine n’est pas du tout homogène (voir Fig. 5). Une zone de la rétine présente une extrême concentration de cônes. Cette zone est appelée *fovéa*. De par l’utilité des cônes et par construction du système optique de l’œil, c’est l’endroit où les rayons lumineux issus de la cible regardée convergent. On retrouve, en périphérie de la fovea, les bâtonnets. Ce qui est capté par la fovea est vu net, tandis que ce qui est capté par les bâtonnets ne l’est pas. L’axe de vision est d’ailleurs défini par le rayon issu du point nodal image jusqu’à la fovea (voir section suivante). Cet axe, représenté sur la Fig. 8 est donc fixe et l’angle qu’il forme avec l’axe optique de l’œil (ici appelé *alpha*) vaut entre 3 et 8 degrés suivant les individus [Gross *et al.*, 2008].

La rétine n’est que la première étape du système d’acquisition et la totalité de celui-ci ainsi que le traitement par le cerveau sera traité plus loin dans le chapitre. D’abord, on se concentre sur la modélisation de l’œil.

2.2 Modélisation de l’œil

De nombreux scientifiques se sont intéressés à la compréhension et la modélisation de l’œil, et ce, dès la moitié du XIX^e siècle avec Carl Friedrich Gauss qui en a définit les grands principes optiques. Cependant, avant de discuter des différents modèle de l’œil qui ont pu émerger au cours (notamment) du XX^e siècle, il paraît nécessaire de reposer certaines bases élémentaires de l’optique géométrique.

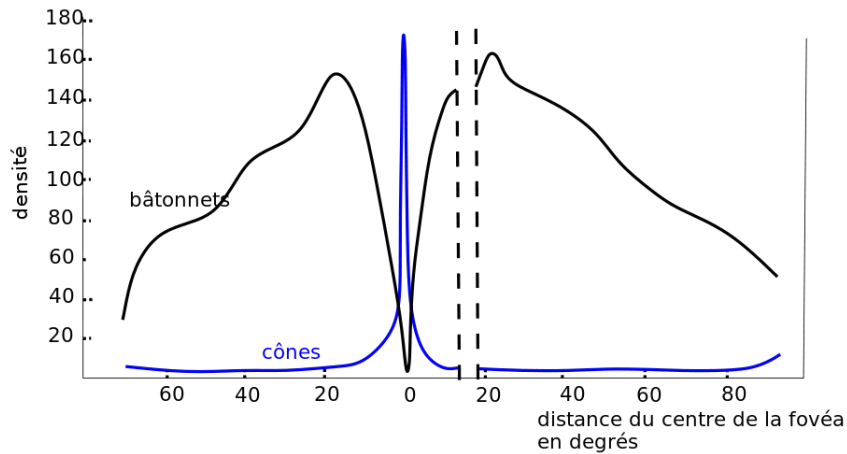


FIGURE 5 – Répartition (en $\text{milliers}/\text{mm}^2$) des cônes/bâtonnets sur la rétine

On note quelques points particulier dans un système optique simple (type lentille concave ou convexe). De manière générale, on rappelle que les points caractéristiques d'un lentille sont qualifiés d'*objet* quand ils sont avant la lentille (en terme de trajet du rayon lumineux) et d'*image* lorsqu'ils sont après la lentille. Par convention, un point caractéristique est noté avec une lettre majuscule tandis que son point conjugué image est noté avec la même lettre agrémentée d'un *prime*.

- Le foyer objet est le point à partir duquel les rayons émergents sont ensuite dirigés vers l'infini optique (c'est à dire parallèle à l'axe optique) après passage par la lentille. Le foyer objet est noté F.
- Le foyer image est le point vers lequel convergent tous les rayons issus de l'infini avant la lentille. Dans le cas d'un œil sain (sans problèmes ophtalmologiques de type myopie ou hypermétropie), ce point doit être confondu avec la rétine pour avoir une image nette. Comme on a pu voir précédemment, c'est là le principal mécanisme de l'accommodation qui va déformer le système optique pour déplacer les foyers afin de faire la netteté sur la rétine. Le foyer image est noté F'.
- Le point central, par lequel un rayon passe sans être dévié, qui correspond au centre de rotation de l'œil. Il est noté C.
- Le point nodal objet est un point très particulier parce qu'il peut être considéré comme l'équivalent du *point de vision*, c'est à dire le point où on pourrait ramener l'intégralité de l'œil à un équivalent ponctuel. Dans un système optique, il est défini comme le point par lequel passe un rayon lumineux avec une incidence donnée et ressort au point conjugué avec la même incidence. Il n'existe que dans un système optique complexe (fait de plusieurs lentilles ou interfaces optiques). Dans le cas d'une lentille simple seule il est confondu avec le centre. Ce point est globalement situé 6 mm à l'avant du centre de l'œil, sur l'axe optique [Gross *et al.*, 2008; Ogle, 1968]. Les points noraux sont notés N et N'.

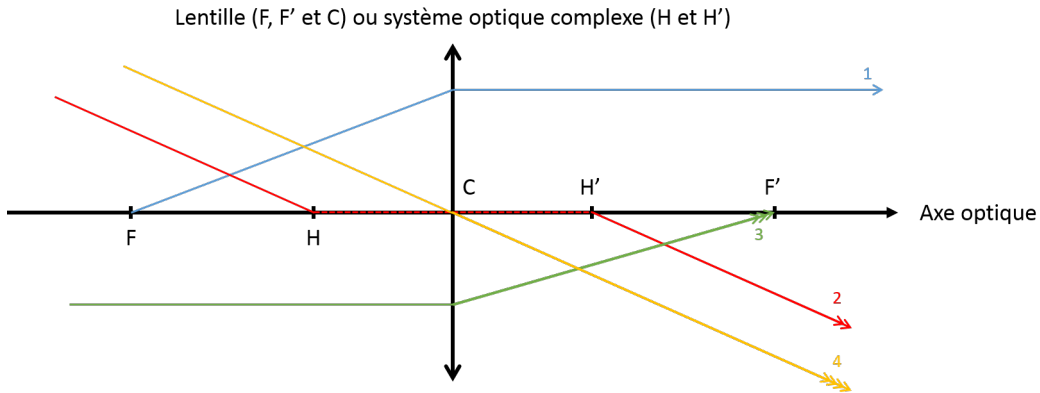


FIGURE 6 – Points caractéristiques (cardinaux) d'un système optique plan

L'œil possède deux axes principaux : l'axe optique, qui passe par les centres de toutes les surfaces optiques ou composantes de l'œil (cristallin, pupille, ...) et l'axe de vision qui est composé en fait de deux demi-axes que sont les rayons qui passent par les points nodaux et jusqu'à la fovéa. L'œil est orienté selon l'axe optique mais la vision se fait le long de l'axe dit *de vision*. La vision hors axe est appelée *vision périphérique*.

Enfin, un grand nombre de modèles de l'œil ont été proposés, plus ou moins complexes, avec notamment des variations sur le nombre de surfaces optiques, jusqu'à l'adoption du modèle de [Liou & Brennan, 1997]. Malgré tout ce modèle est tout sauf définitif et est toujours susceptible d'être amélioré ou affiné dans le futur. On présente une liste pas non-exhaustive des différents modèles de l'œil qui ont pu être élaborés au cours du XXème siècle [Gross *et al.*, 2008; Liou & Brennan, 1997] :

- Modèle de Helmholtz - Laurence (1909)
- Modèle de Gullstrand (1911) : modèle le plus utilisé, notamment car un grand nombre de distances (taille de l'œil, distances focales, distance de la pupille, ...) et tous les indices de réfractions des différents milieux de l'œil y sont reportés (voir Fig. 7). Le modèle optique théorique pour la propagation de la lumière est composé de 3 surfaces.
- Modèle de Emsley (1946) : modèle simplifié réduit à 1 seule surface.
- Modèle de Lotmar (1971) : modélisation de la cornée et de la face arrière du cristallin par des surfaces polynomiales (plutôt que des sections de sphère).
- Modèle de Kooijman (1983) : modèle en 4 surfaces, ajout d'asphéricités sur les surfaces sphériques.
- Modèle de Navarro (1985) : idem que Kooijman avec des effets chromatique type dispersion de la lumière en plus.
- Modèle de Schwiegerling (1995)
- Modèle de Liou & Brennan (1997) : modèle à 5 surfaces dont 1 purement théorique (voir Fig. 8). C'est le modèle le plus utilisé dans le domaine du calcul et de la simulation de rayons.

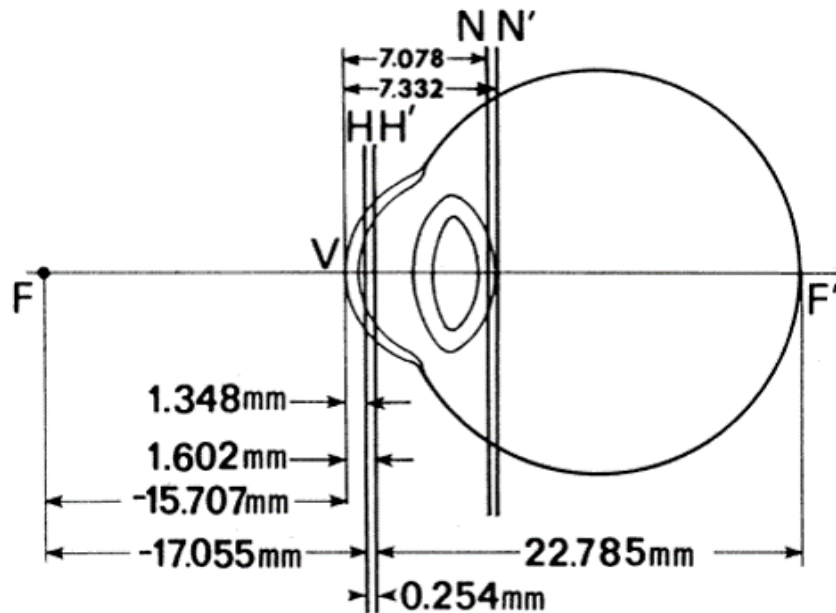


FIGURE 7 – Modèle et valeurs physiologiques de Gullstrand, image tirée de [Liou & Brennan, 1997]

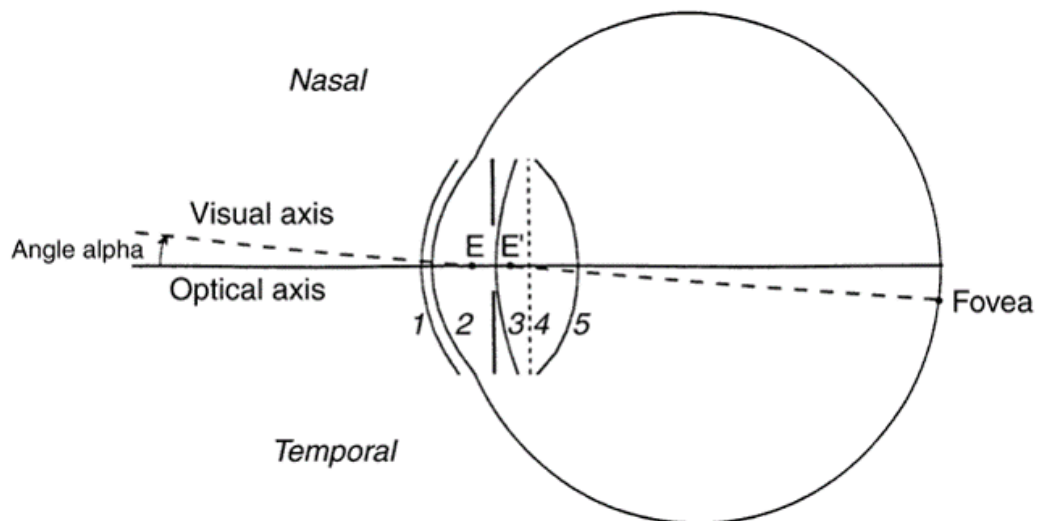


FIGURE 8 – Modèle de Liou & Brennan, image tirée de [Liou & Brennan, 1997]

Jusqu'à présent, nous avons détaillé le fonctionnement d'un œil seul. Nous allons maintenant nous intéresser à la vision binoculaire, c'est à dire de deux yeux en même temps.

2.3 Vision binoculaire

La vision binoculaire est avant tout un excellent outils de compréhension de l'environnement qui nous entoure, et notamment de la profondeur : le cerveau peut comparer en temps réel deux points de vue légèrement différents et en tirer des conclusions.

L'élément de fonctionnement de la vision binoculaire est les disparités, c'est à dire la différence de position relative entre les deux images perçues (une par œil) d'un même objet. Si un objet est pleinement centré sur l'image perçue par l'œil gauche, il sera vu légèrement décalé du centre par l'œil droit. Il existe deux types de disparités ; les disparités verticales et les disparités horizontales [Devisme, 2004].

Les disparités horizontales sont générées par une différence angulaire sur le plan de l'azimut. Elles sont en charge de la perception relative de la distance, c'est à dire à la perception de la profondeur (relief).

Les disparités verticales sont issues de la perception par les yeux d'une différence d'élévation pour le même point. Elles peuvent aussi apparaître si un des yeux est plus proche de l'objet que l'autre (on parle alors de grossissement différentiel). Les disparités verticales permettent d'estimer la distance absolue d'un objet ainsi que l'excentricité d'une surface, indépendamment de son orientation.

Les disparités peuvent être source de fatigues dans le système visuel humain. Ce problème a été adressé notamment en ajoutant du flou sur les disparités les plus grandes, en ajoutant un flou périphérique pour reproduire le flou rétinien et en proposant un modèle de caméras convergentes qui génère des disparités plus conformes à la réalité [Aurat, 2016].

L'horoptère est le lieu des points de disparité horizontale nulle pour un point de fixation donné, c'est à dire, à un instant t donné, lorsqu'on regarde à un endroit donné, il existe une infinité de points pour lesquels aucun disparité n'est perçue : ils sont au même endroit sur l'image perçue par l'œil gauche et par celle perçue par l'œil droit. Théoriquement, le lieu de ces points est un cercle passant par le point de fixation et par le premier point nodal (point nodal objet, H) de chaque œil ; ce cercle s'appelle le Cercle de Vieth-Müller. Dans la pratique, le lieu de l'horoptère n'est pas tout à fait un cercle et présente une légère déviation, nommée Déviation de Hering-Hillebrand (voir Fig. 9) [Neveu, 2012].

Si on prend en compte les disparités verticales, le lieu des points de disparité horizontale-verticale nulle devient un cylindre (Extension du Cercle de Vieth-Müller).

L'œil possède une certaine capacité à adapter sa puissance (comme vu précédemment). On retrouve cette capacité au niveau du cerveau pour la fusion stéréoscopique. Dans une zone proche autour de l'horoptère (Aire de Panum) le cerveau écrase les disparités et fusionne quand même les images perçues par les yeux. L'étendue et la forme de l'aire de Panum est grandement dépendante des caractéristiques locales du stimulus [Devisme, 2004].

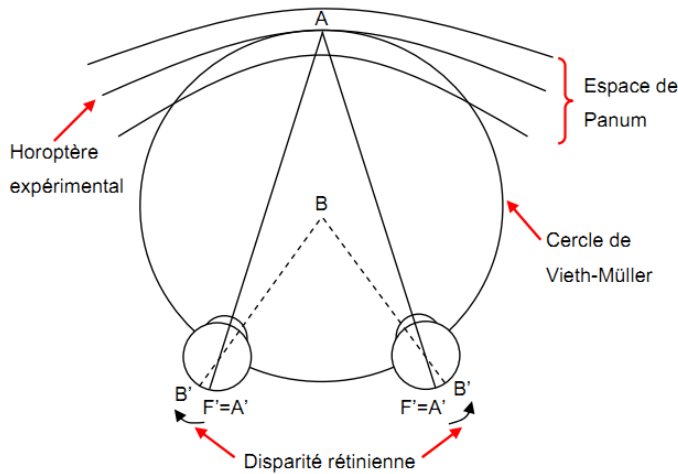


FIGURE 9 – Horoptères théorique et empirique, Aire de Panum et disparités rétiniennes.
Image tirée de [Neveu, 2012].

Enfin, la vision binoculaire est tributaire d'une certaine acuité stéréoscopique, c'est à dire la capacité à percevoir un écart de profondeur entre deux plans à une distance donnée. Celle-ci est présentée et son modèle démontré à plusieurs endroits [Fuchs *et al.*, 2003; Gross *et al.*, 2008] et sera abordée dans un chapitre suivant. Toutefois, si l'âge et le niveau d'accommodation n'ont pas l'air d'affecter l'acuité stéréoscopique, cette dernière semble dépendante du contraste et de la quantité d'éclairement rétinien [Devisme, 2004].

2.4 Traitement post-rétinien

Nous allons maintenant aborder toute la partie transmission et traitement par le cerveau du signal émis par les rétines. Le comportement précis dans le cerveau est encore à ce jour une question ouverte que nous traiterons donc dans les limites du possible et de l'utile dans le cadre de cette thèse. On ne peut ici que conseiller l'excellent *Neurosciences : A la découverte du Cerveau* de [Bear *et al.*, 2007].

Tout d'abord, il convient de développer quant à la structure même des cônes, de quelle manière ceux-ci jouent leur rôle de transducteur¹ : transformant un signal lumineux entrant en signal électrique sortant.

La rétine est en fait composée de plusieurs types de cellules intermédiaires, les cônes et les bâtonnets n'étant qu'en bout de chaîne : cellules ganglionnaires, cellules amacrines, cellules horizontales et cellules bipolaires (voir Fig. 10) [Bear *et al.*, 2007]. Ces cellules se réunissent ensuite pour former le nerf optique et sortir de l'œil. Parmi les cellules ganglionnaires il en existe plusieurs types, chaque type véhiculant des informations différentes [ANSES, 2014].

La voie magnocellulaire (M) représente 5% de la population de cellules ganglionnaires.

1. Transducteur : Dispositif assurant une conversion ou un transfert de signaux et dans lequel un signal au moins est de nature électrique. (s.d.). Dans *Dictionnaire Larousse en ligne*. Repéré à <http://www.larousse.fr/dictionnaires/francais/transducteur/79088>

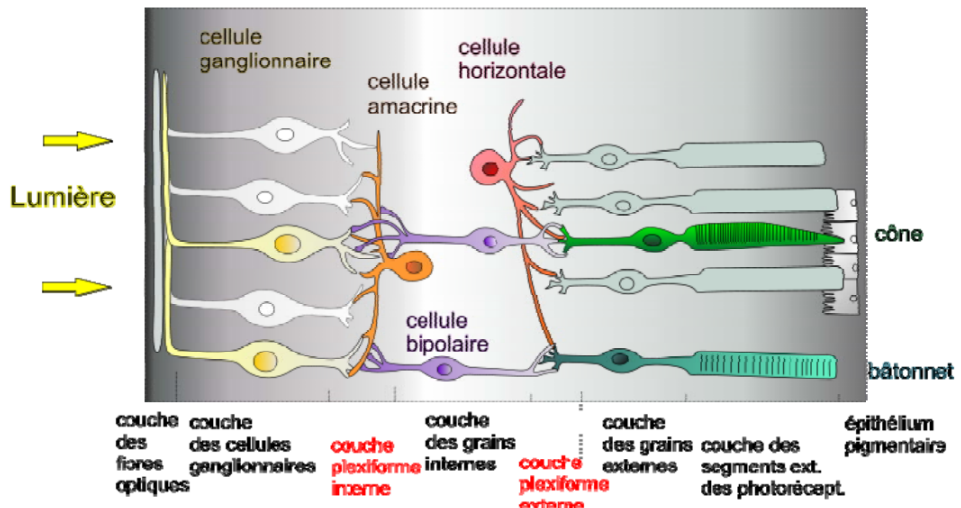


FIGURE 10 – Structure et cellules composant la rétine, image tirée de [ANSES, 2014].

Ces cellules sont sensibles aux contrastes de luminance et ont une vitesse de conduction plutôt rapide. Elles sont à relier à la voie dorsale (voir plus loin).

La voie parvocellulaire (P) représente 90% de la population de cellules ganglionnaires. Ces cellules sont sensibles aux couleurs et, malgré une vitesse de conduction plus lente que les cellules de la voie M, elles répondent de manière tonique aux stimulations. Ces cellules sont à rapprocher de la voie ventrale.

Enfin, il existe une voie M-non P qui représente les 5% de population restants et participent à d'autres tâches que la vision pure (voir plus loin).

Une fois le signal lumineux transformé dans une des trois voies (M, P ou M-non P), l'information circule dans le nerf optique en direction du cerveau. Les nerfs optiques de chaque œil se croisent au niveau du chiasma optique avant de continuer leur chemin dans le tractus optique et d'arriver au cerveau. Au niveau du chiasma, les fibres porteuses des informations visuelles sont redirigées : les fibres des deux moitiés gauches des yeux sont envoyées à la partie droite du cerveau, tandis que les fibres des deux moitiés droites des yeux sont envoyées à la partie gauche.

L'interface entre le cerveau à proprement parler et le tractus optique s'appelle le CGL (Corps Genouillé Latéral). Le CGL est composé de 6 couches qui vont permettre la distribution de l'information dans les différents cortex visuels. Les informations issues de la voie M sont attribuées aux couches 1 et 2 du CGL, tandis que les informations de la voie P sont attribuées aux couches 3, 4, 5 et 6 du CGL. Les 5% d'informations restantes (la voie M non P) ne va pas dans le CGL (et donc dans les cortex d'analyse de l'image) mais se dirige dans la mésencéphale et l'hypothalamus. Ces deux dernières aires du cerveau sont dédiées à la gestion du reste du corps humain : régulation du bio-rythme, sécrétion des hormones du sommeil, gestion de l'attention, ...

La radiation optique permet de faire le lien, via des neurones, entre les 6 couches du CGL et le Cortex Visuel Primaire (V1) qui marque l'entrée dans le cerveau à proprement parler.

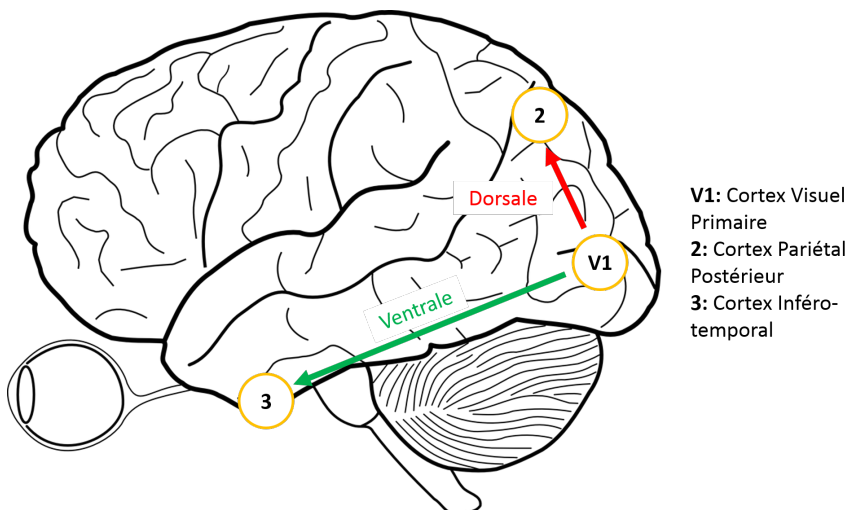


FIGURE 11 – Direction des voies ventrale et dorsale dans le cerveau.

Le traitement et la compréhension véritable des informations qui ont transité de l’œil jusqu’au CGL se fait dans les cortex visuels. La cartographie et la compréhension du fonctionnement en cortex dans le cerveau fait l’objet de plusieurs théories. Aux côtés des modèles hiérarchique et des agrégats, c’est l’hypothèse des deux voies [Goodale *et al.*, 1991; Mishkin *et al.*, 1983; Ungerleider & Mishkin, 1982] qui prédomine. Cette hypothèse est aussi étendue au fonctionnement de l’audition. On la décrit dans le paragraphe suivant.

Le traitement de l’image dans les cortex visuels est décomposé en deux voies, à l’image des voies P et M. A l’arrivée dans le Cortex Visuel Primaire (V1), l’information est divisée en deux boucles de traitement indépendantes : la voie dorsale (appelée aussi pariétale) et la voie ventrale (appelée aussi temporelle). La voie dorsale correspond au traitement du mouvement et de la position (« Where »), elle est constituée des cortex V1, V2, V3, V3A, MT et MST avant d’arriver dans le Cortex Pariétal Supérieur. Cette fois fonctionnement à une vitesse plutôt lente. De l’autre côté, la voie ventrale s’occupe de la gestion des formes et des couleurs (« What ») et passe par les cortex V1, V2, VP, V4 et V8 avant d’arriver dans le lobe temporal. Cette voie fonctionne à grande vitesse [D’hondt, 2011; James & Kim, 2010].

L’information visuelle n’est pas transmise au cerveau telle qu’elle sous la forme de quatre informations (bâtonnets, cônes S, cônes M, cônes L). Ces signaux de sortie des photorécepteurs sont additionnés ou soustraits les uns entre les autres pour donner naissance à trois canaux d’information qui eux seront traités par le cerveau. Cette hypothèse de fonctionnement -la *Théorie des processus antagoniques* proposée pour la première fois par Ewald Hering en 1872- est compatible avec la théorie de la vision trichromatique (*Théorie de Young-Helmholtz*, 1802 puis prouvée en 1861) puisqu’elle intervient immédiatement après dans le traitement de la lumière.

Après les photo-récepteurs, le signal lumineux est donc découpé en trois canaux [Glassner, 1995; Winkler, 1999] : un canal achromatique (A) et deux canaux chromatiques (R/G pour le canal rouge-vert et B/Y pour le canal bleu-jaune). On retrouvera ces canaux plus tard dans la description des espaces colorimétriques en informatique. Le canal achromatique sert à coder la valeur de luminance et est issu de la somme des signaux émis par les cônes de type M et L, $A \equiv M + L$. Le canal R/G est quand à lui la différence entre les deux précédents canaux M et L ($R/G \equiv M - L$) tandis que le canal B/Y est la différence entre

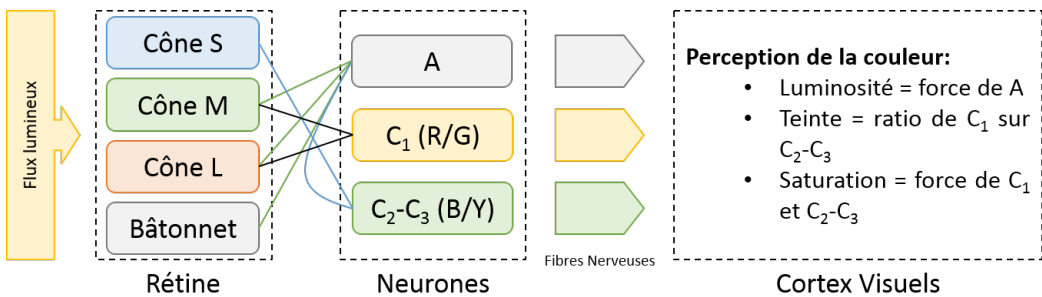


FIGURE 12 – Construction des canaux chromatiques et achromatique dans la théorie des processus antagoniques

les signaux émis par les cônes de type S et le canal achromatique : $B/Y \equiv S - A$. Ces mécanismes sont résumés dans la Fig. 12.

Enfin, le cerveau dénote une certaine sensibilité au contraste (entendu ici comme une variation relative de luminance entre deux points de l'image perçue). Cette sensibilité dépend à la fois de la couleur (on a vu que le canal achromatique était en fait composé des retours de deux types de cônes) et à la fois des fréquences spatiales et temporelles du stimulus lumineux reçu. On peut alors établir des fonctions de sensibilité au contraste (Contrast Sensibility Functions - CSF) [Bezzubik & Belashenkov, 2015; Driscoll *et al.*, 1978]. La sensibilité au contraste est définie comme l'inverse du seuil de contraste, c'est à dire le minimum nécessaire de contraste suffisant à un observateur pour détecter une variation. On peut trouver des exemples de CSF chez une grande variété d'auteurs, comme ici avec les CSF moyennes en fonction de la fréquence spatiale du stimulus, pour différentes valeurs d'acuité visuelle (voir Fig. 13) [Owsley *et al.*, 1983]. On reviendra plus tard, dans une partie spécifiquement consacrée au sujet, sur la perception du contraste.

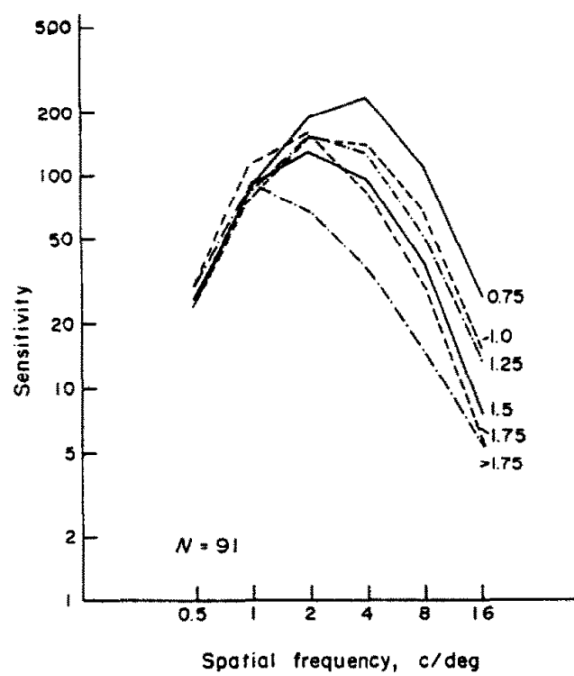


FIGURE 13 – Courbes moyennes de sensibilité au contraste en fonction de la fréquence spatiale du stimulus pour différentes valeurs d’acuité visuelle, tiré de [Owsley *et al.*, 1983]

CHAPITRE

3

PERCEPTION DE LA COULEUR

La perception de la couleur a été théorisée via un certain nombre de concepts, lois ou effets ; on présente ici les principales contributions [Judd & Wyszecki, 1975; Le Grand, 1972; Wyszecki & Stiles, 2000]. L'organisme régulateur de toutes les connaissances dans le domaine de la couleur est la CIE (ou ICE en anglais) : la Commission Internationale sur l'Eclairage. En complément, on développe en annexes les différentes lois et effets qui régissent la perception de la couleur.

3.1 Espaces colorimétriques

Il existe de très nombreux espaces colorimétriques (sRGB, YIQ, YES, YCC, LCh, TekHVC, NCS, Munsell, Coloroid, Pantone, CIECAM97, ... [Beretta, 2000]) mais une étude globale poussée sort très largement du cadre de l'étude. Nous nous concentrerons donc à évoquer rapidement les différents espaces principaux adoubés par la CIE.

La première modélisation à avoir été déposée par la CIE, en 1931, est l'espace colorimétrique CIE RGB. C'est une première tentative de quantification de la couleur avec des primaires proches des maxima de réponse des cônes. La démarche est donc anthropomorphique et cherche à construire un espace linéaire. L'inconvénient (majeur) de ce système est l'obligation de passer par des composantes négatives pour certaines couleurs très saturées ; on s'éloigne alors du fonctionnement de la vision humaine qui est basée sur l'additivité des couleurs.

Les défauts de ce premier espace ont amené la CIE à proposer dans le même temps un autre espace, le CIE XYZ, lui aussi linéaire². Dans ce modèle, Y donne la luminance tandis

2. Linéaire : les valeurs des primaires varient linéairement, pas les couleurs perçues : une variation de primaire ne donne pas la même variation de couleur

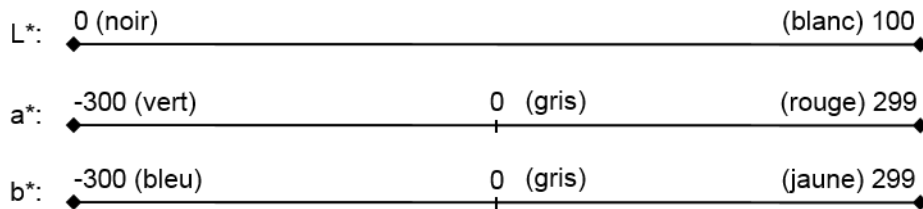


FIGURE 14 – Composantes de l'espace CIELAB

que X et Z donnent la chrominance et sont définis positifs par construction.

Mais la vision humaine des couleurs n'étant pas linéaire, un nouvel espace est développé par la CIE, en 1960, c'est le CIE UVW. Cet espace est non-linéaire et vise à améliorer l'uniformité de répartition des couleurs¹. Dans ce modèle, la composante V correspond en tout point à la composante Y de CIE XYZ (luminance). UVW est supplanté 16 ans plus tard (1976) par CIE U'VW' dont la variation principale est le changement de la matrice de passage vers XYZ.

Enfin, en 1976 également, apparaissent les deux espaces les plus complets et utilisés à l'heure d'aujourd'hui : CIELAB et CIELUV. CIELUV est utilisé pour caractériser les couleurs de lumières tandis que CIELAB sert dans le domaine des couleurs des surfaces. Ils sont basés sur UVW' et appartiennent à la famille des espaces uniformes mais non-linéaire. Nous détaillerons ici CIELAB car c'est celui qui est utilisé dans le domaine de l'informatique. Pour de plus amples informations, on conseillera [Schanda & International Commission on Illumination, 2007].

L'espace CIELAB, de sa vraie dénomination CIE $L^*a^*b^*$, est caractérisé par une composante de clarté L^* et deux paramètres a^* et b^* qui expriment l'écart de la couleur par rapport à une surface grise de même clarté. a^* et b^* prennent leurs valeurs entre -300 et +299, 0 étant le gris de référence, mais sont en fait en général restreints entre -128 et +127 de manière à avoir 256 valeurs et être codé sur 8 bits. Le passage en couleurs codées sur 10 bits permet une nuance d'autant plus importante.

La composante a^* varie du vert (-300) vers le rouge (+299) tandis que la composante b^* varie du bleu (-300) au jaune (+299) (voir Fig. 14) ; ce schéma est analogue au fonctionnement des canaux R-G et B-Y pour le traitement de l'image dans le cerveau.

Le gris achromatique de référence est calculé en fonction de la lumière d'éclairage, l'illuminant choisi est en général D65, par emprunt à l'esthétique du cinéma.

La conversion de CIEXYZ vers CIELAB se fait avec les équations suivantes [Robertson, 1990] :

$$f(x) = \begin{cases} x^{1/3}, & x > \left(\frac{6}{29}\right)^3 \\ \frac{1}{3} \left(\frac{6}{29}\right)^2 x + \frac{4}{29}, & \text{sinon} \end{cases} \quad (2)$$

Avec X, Y, Z les composantes CIEXYZ de la couleur, X_N, Y_N, Z_N les composantes CIEXYZ

1. Uniforme : les couleurs perçues varient de manière linéaire, au contraire de la valeur des primaires dans l'espace colorimétrique



FIGURE 15 – Répartition des domaines photopique, mésopique et scotopique

du point blanc de référence, et :

$$\begin{cases} L^* = 116 \cdot f\left(\frac{Y}{Y_N}\right) - 16 \\ a^* = 500 \cdot \left[f\left(\frac{X}{X_N}\right) - f\left(\frac{Y}{Y_N}\right) \right] \\ b^* = 200 \cdot \left[f\left(\frac{Y}{Y_N}\right) - f\left(\frac{Z}{Z_N}\right) \right] \end{cases} \quad (3)$$

Les valeurs des coefficients des équations de L, a et b sont en fait des valeurs approchées. Les valeurs exactes sont :

$$L^* : 117, 16 \text{ et } 17.16$$

$$b^* : 509.39$$

$$b^* : 203, 75$$

CIELAB a aussi été traduit en coordonnées cylindriques : LCh. Les composantes C et h sont les coordonnées polaires de a^* et b^* . Ces espaces permettent de qualifier n’importe quelle couleur indépendamment de la luminosité.

3.2 Observateurs standards

Tout d’abord, il convient de (re)définir les trois domaines de vision qui correspondent à des quantités d’illumination différentes (voir Fig. 16) [Damelincourt *et al.*, 2010] :

- La vision *photopique* décrit la vision diurne (ou à haute luminosité). On entre dans le domaine *photopique* à partir d’une illumination de $5 \text{ cd}/\text{m}^2$.
- La vision *scotopique* décrit la vision nocturne (ou à très basse luminosité). On entre dans le domaine *scotopique* en dessous d’une illumination de $0.005 \text{ cd}/\text{m}^2$.
- La vision *mésopique* décrit la vision intermédiaire entre diurne et nocturne (luminosité basse). Le domaine *mésopique* se situe pour une illumination entre $0.005 \text{ cd}/\text{m}^2$ et $5 \text{ cd}/\text{m}^2$.

La CIE a défini le concept d’*Observateur Standard* comme un profil d’efficacité lumineuse en fonction de la longueur d’onde (voir Fig. 16). Chaque domaine de luminosité possède son *Observateur Standard*.

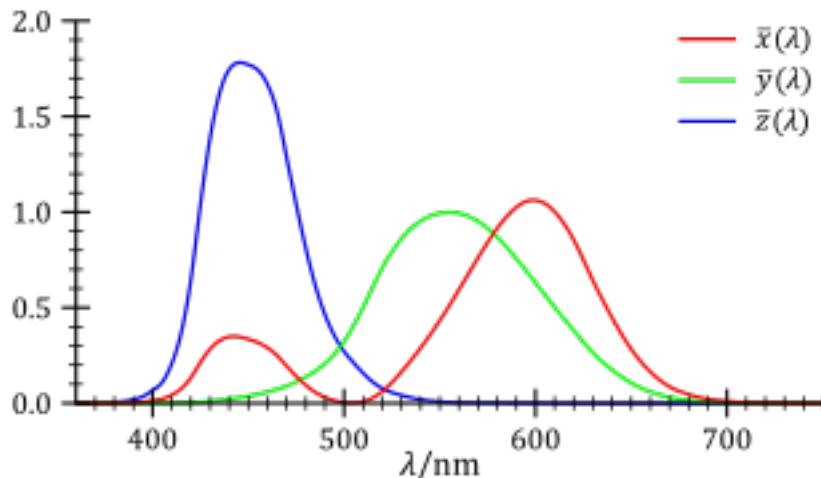


FIGURE 16 – Courbes d'efficacité lumineuse des Observateurs Standards de la CIE

Soit : $\begin{cases} \Phi_e(\lambda) & \text{le flux énergétique en W (watts)} \\ \Phi_v(\lambda) & \text{le flux visuel en lm (lumen)} \\ \lambda & \text{la longueur d'onde en nm (nanomètres)} \end{cases}$

En 1931, un premier *Observateur Standard Photopique* pour le domaine photopique est mis au point. Il est noté $V(\lambda)$ et est valable pour un cône de vision de 2° , c'est à dire globalement la zone d'acuité de la fovéa. Cet observateur est révisé en 1964, en prenant en compte les résultats expérimentaux de plus de sujets pour calculer les coefficients. L'observateur est noté $V_{10}(\lambda)$ et couvre cette fois un cône de vision de 10° [Damelincourt *et al.*, 2010; Le Grand, 1972] :

$$\begin{cases} \Phi_v(\lambda) = K_M \cdot V(\lambda) \cdot \Phi_e(\lambda) \\ K_M = 683 \text{ lm.W}^{-1} \end{cases} \quad (4)$$

L'*Observateur Standard Scotopique* est quant à lui défini en 1951. Il est noté $V'(\lambda)$:

$$\begin{cases} \Phi_v(\lambda) = K'_M \cdot V'(\lambda) \cdot \Phi_e(\lambda) \\ K'_M = 1700 \text{ lm.W}^{-1} \end{cases} \quad (5)$$

Enfin, il faut attendre 2010 pour voir apparaître l'*Observateur Standard Mésopique*, $V_{mes}(\lambda)$, qui n'est rien d'autre qu'une somme pondérée des deux autres observateurs en fonction de la luminance [Halonen & Puolakka, 2011] :

$$\begin{cases} \Phi_v(\lambda) = K_{mes} \cdot V_{mes}(\lambda) \cdot \Phi_e(\lambda) \\ V_{mes}(\lambda) = (1 - m) \cdot V'(\lambda) + m \cdot V(\lambda) \\ K_{mes} = \frac{683}{V_{mes}[555]} \text{ lm.W}^{-1} \end{cases} \quad (6)$$

Les valeurs de m sont fixées en dehors des bornes du domaine mésopique ($m = 1$ pour $L_{mes} \geq 5 \text{ cd/m}^2$ et $m = 0$ pour $L_{mes} \leq 0.005 \text{ cd/m}^2$), sinon elles sont calculées par récurrence

[Halonen & Puolakka, 2011] :

$$\begin{cases} m_0 = 0.5 \\ m_n = a + b \cdot \log_{10}(L_{mes,n}) \\ L_{mes,n} = \frac{m_{n-1} \cdot L_{photopic} + (1-m_{n-1}) \cdot L_{scotopic} \cdot V'(\lambda_0)}{m_{n-1} + (1-m_{n-1}) \cdot V'(\lambda_0)} \end{cases} \quad \begin{array}{l} a = 0.7670 \\ b = 0.3334 \\ \lambda_0 = 555nm \end{array} \quad (7)$$

3.3 Illuminants

Les illuminants sont des standards de lumière déposés par la CIE (Commission Internationale de l'Eclairage) sous la forme de spectre de lumière visible (voir Fig. 17). Chaque illuminant représente un certain type et une certaine couleur de lumière. Si l'illuminant D65 est le plus connu et le plus utilisé car il correspond à une lumière de midi en Europe occidentale, il existe plusieurs catégories.

- La classe A, déposée en 1931, représente une lumière moyenne d'une lampe à incandescence (filament en tungstène).
- La classe B (1931) représente la lumière directe émanant du soleil.
- La classe C (1931) représente la lumière du jour (après passage dans l'atmosphère).

Une deuxième vague d'illuminants a été adoptée plusieurs années après, à l'occasion de l'adoption du second observateur standard ($V_{10}(\lambda)$) :

- La classe D (1964), qui se subdivise en plusieurs illuminants qui représentent les différentes phases de la lumière du jour, D65 étant midi.
- La classe E associée aux illuminants d'énergie égale (iso-énergie).
- La classe F représentant différentes lampes fluorescentes.

3.4 Equations de différentiations des couleurs

Une fois l'espace colorimétrique choisi, on peut dénombrer le nombre de couleurs théoriques discernables. Par exemple, dans le cas de l'espace RGB codé sur 8 bits on a 256 valeurs possibles pour chaque primaire. Lorsque l'on combine les trois primaires, on obtient un nombre théorique de 16.8 millions de couleurs. Si chacune de ces couleurs est à priori discernable, elles ne le sont pas forcément deux à deux. La CIE a donc mis en place une métrique qui indiquerait si la différence entre deux couleurs était, ou non, perceptible : ΔE . Par construction, pour $\Delta E < 1$ la différence de sensation colorée n'est pas perceptible et l'œil humain ne voit aucune différence. Empiriquement la valeur de seuil est bien plus élevée et dépend même du type de population (experte ou néophyte dans la reconnaissance de couleurs) [Sharma & Bala, 2013; Vidal *et al.*, 2016].

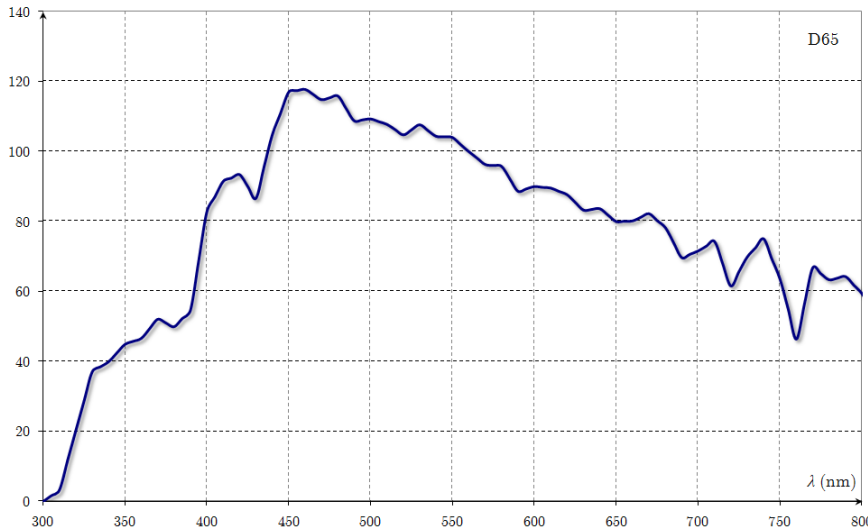


FIGURE 17 – Spectre de l'illuminant D65 (CIE)

Il existe plusieurs équations pour calculer l'écart colorimétrique ΔE , toutes ont été officiellement approuvées par la CIE en attendant des versions plus pertinentes [Beretta, 2000; Habekost, 2013; Robertson, 1990; Sharma *et al.*, 2005] :

- CIE76
- CIE94
- CIEDE2000
- CMC(l,c)

On exprimera ici les équations dans l'espace CIELAB dans sa version originale ($L^*a^*b^*$) ou dans sa version en coordonnées cylindriques (L^*Ch_{ab}).

La première équation, CIE76, est la plus simple et consiste en une simple distance euclidienne dans l'espace colorimétrique [Sharma & Bala, 2013] :

$$\Delta E_{76} = \sqrt{(\Delta L)^2 + (\Delta a)^2 + (\Delta b)^2} \quad (8)$$

Ensuite, CIE76 a été modifiée pour s'adapter à la non linéarité de perception des couleurs [Beretta, 2000], elle est adoptée en 1994 et devient CIE94 :

$$\Delta E_{94}^* = \sqrt{\left(\frac{\Delta L^*}{k_L \cdot S_L}\right)^2 + \left(\frac{\Delta C_{ab}^*}{k_C \cdot S_C}\right)^2 + \left(\frac{\Delta H_{ab}^*}{k_H \cdot S_H}\right)^2} \quad (9)$$

Avec :
$$\begin{cases} C_{ab}^* = \sqrt{a^{*2} + b^{*2}} \\ \Delta H_{ab}^* = \sqrt{\Delta E_{ab}^{*2} - \Delta L^{*2} - \Delta C_{ab}^{*2}} = \sqrt{\Delta a^{*2} + \Delta b^{*2} - \Delta C_{ab}^{*2}} \\ S_C = 1 + 0.0045 \cdot C_{ab}^* \\ S_H = 1 + 0.0015 \cdot C_{ab}^* \\ S_L = k_L = k_C = k_H = 1 \end{cases}$$

L'équation de 1994 résout un grand nombre de problèmes mais éprouve toujours des difficultés à décrire parfaitement le comportement de l'oeil, notamment dans le bleu. Une troisième équation est donc officialisée en 2000, CIEDE2000 [Schanda & International Commission on Illumination, 2007; Sharma *et al.*, 2005] :

$$\Delta E_{00}^* = \sqrt{\left(\frac{\Delta L'}{k_L \cdot S_L}\right)^2 + \left(\frac{\Delta C'}{k_C \cdot S_C}\right)^2 + \left(\frac{\Delta H'}{k_H \cdot S_H}\right)^2 + R_T \cdot \frac{\Delta C'}{k_C \cdot S_C} \cdot \frac{\Delta H'}{k_H \cdot S_H}} \quad (10)$$

Le détail des coefficients de ΔE_{00}^* (complexe et hors de propos ici) est disponible notamment sur le site de Bruce Lindbloom¹.

Enfin, si CIEDE2000 donne de très bon résultats lorsqu'il faut discriminer des couleurs de manière objective, c'est une autre équation, DECMC qui semble plus appropriée pour une discrimination subjective/perceptuelle [Habekost, 2013] :

$$\Delta E(l, c) = \sqrt{\left(\frac{\Delta L}{l \cdot S_L}\right)^2 + \left(\frac{\Delta C}{c \cdot S_C}\right)^2 + \left(\frac{\Delta H}{S_H}\right)^2} \quad (11)$$

Avec : $\begin{cases} (l, c) = (2, 1) & \text{pour l'acceptabilité} \\ (l, c) = (1, 1) & \text{pour la perceptibilité} \end{cases}$

De même que pour CIEDE2000, le détail des coefficients de $\Delta E(l, c)$ est disponible sur le site de Bruce Lindbloom². On revient maintenant plus en détails sur la perception du contraste.

1. Bruce Lindbloom, *Delta E (CIE 2000)*, http://brucelindbloom.com/index.html?Eqn_DeltaE_CIE2000.html (Juillet 2016)

2. Bruce Lindbloom, *Delta E (CMC)*, http://brucelindbloom.com/index.html?Eqn_DeltaE_CMC.html (Juillet 2016)

CHAPITRE

4

CONTRASTE

4.1 Définitions mathématiques

Tout d'abord, le dictionnaire définit le contraste comme une « opposition de deux choses, l'une faisant ressortir l'autre »². On trouve également deux définitions plus spécifiques que sont le contraste des couleurs³ : « effet subjectif d'une apposition quantitative de couleurs, par exemple des stimulations sensorielles juxtaposées dans l'espace (contraste simultané) ou dans le temps (contraste successif) » et le contraste d'une image optique⁴ : « variation relative de l'éclairement d'une image lorsqu'on se déplace à l'intérieur de cette image ». L'opposition se ferait ici entre le blanc et le noir pour avoir la valeur maximale du contraste.

Ces définitions sont toutefois insuffisantes ou tout du moins inutilisables dans le monde de la vision et de l'imagerie informatique. Il faut alors théoriser plus précisément le concept de contraste et le représenter mathématiquement pour pouvoir à la fois le mesurer et le caractériser. Il existe pour ce faire au moins 3 méthodes analytiques, résumées ci-après :

- Le contraste de Michelson [Fuchs *et al.*, 2003; Michelson, 1995; Winkler, 1999].
- Le contraste de Weber [Winkler, 1999; Winkler & Vandergheynst, 1999].
- Le contraste de Peli [Peli, 1990; Winkler, 1999; Winkler & Vandergheynst, 1999].

2. Contraste. (s.d.). Dans *Dictionnaire Larousse en ligne*. Repéré à <http://www.larousse.fr/dictionnaires/francais/contraste/18688>

3. Contraste des couleurs. (s.d.). Dans *Dictionnaire Larousse en ligne*. Repéré à <http://www.larousse.fr/dictionnaires/francais/contraste/18688/locution>

4. Contraste d'une image optique. (s.d.). Dans *Dictionnaire Larousse en ligne*. Repéré à <http://www.larousse.fr/dictionnaires/francais/contraste/18688/locution>

Premièrement, le contraste de Michelson est défini par l'Eq. 12, avec L_{max} la valeur maximale de la luminance de l'image, et L_{min} la valeur minimum. Le contraste de Michelson prend ses valeurs dans l'intervalle $[0; 1]$.

$$C_{Michelson} = \frac{L_{max} - L_{min}}{L_{max} + L_{min}} \quad (12)$$

Le contraste de Weber est quant à lui défini tel que dans l'Eq. 13, ΔL étant la plus petite différence de luminance visible, pour une luminance L donnée. A la différence du contraste de Michelson, le contraste de Weber prend ses valeurs dans l'intervalle $[-1; +\infty[$.

$$C_{Weber} = \frac{\Delta L}{L} \quad (13)$$

Enfin, Peli a proposé un modèle de contraste pour les images complexes basé sur une analyse fréquentielle de l'image (Eq. 14). Avec $BP_i(x, y)$ la bande passante de l'image i et $LP_i(x, y)$ l'énergie sous la fréquence de coupure.

$$C_i(x, y) = \frac{BP_i(x, y)}{LP_i(x, y)} \quad (14)$$

Malgré tout, il n'existe pas (encore) de méthode parfaite et définitive pour mesurer le contraste dans les images complexes de type image de simulateur [Winkler & Vanderghenst, 1999]. Les définitions analytiques vues à l'instant sont valables pour des images très simples et statiques.

4.2 Calcul de seuil

4.2.1 Cas général

Le calcul du contraste en lui même ne suffit pas, il faut aussi savoir comment celui évolue en fonction de la luminance de l'écran : il semble assez naturel qu'à très forte luminance la capacité à distinguer un certain niveau de contraste ne soit pas la même qu'à très faible luminance. On recense ici trois modèles de comportement pour le contraste issus de la littérature :

- La fraction de Weber¹.
- Le modèle de Blackwell [Blackwell, 1981].
- Le modèle de Ward [Ward, 1994].

Ces modèles, notamment la fraction de Weber, ne sont souvent parfaitement valables que dans le domaine photopique (lumière du jour) et sont beaucoup plus fragiles en conditions

1. Serge Bertorello, *Notions d'Optique - La Vision*, <http://serge.bertorello.free.fr/optique/vision/vision.html> (Juillet 2016)

mésopique (basse luminosité) ou scotopique (luminosité nocturne). Ils sont donc à utiliser avec prudence.

Surement le modèle le plus connu, la fraction de Weber est dans la continuité du contraste de Weber définit précédemment. Si il s'applique notamment au contraste, ce modèle est en fait utilisable pour n'importe quel type de stimulus et est assez général. La fraction est simplement posée telle que dans Eq. 15, avec k une constante, ΔI la plus petite différence d'intensité perceptible et I l'intensité du stimulus. La valeur de k est généralement admise à 0.02.

$$\frac{\Delta I}{I} = k = 0.02 \quad (15)$$

De cette fraction de Weber est issue une autre loi à propos du comportement de la rétine face à une intensité lumineuse, la loi de Weber-Fechner (Eq. 16). Avec S la sensation perçue, I l'intensité de la stimulation et k une constante.

$$S = k \cdot \log(I) \quad (16)$$

En 1981, la CIE a adopté un modèle établi par Blackwell et destiné au comportement du contraste en fonction de la luminance uniquement. Ce modèle donne la plus petite différence de luminance perceptible ΔL pour une luminance moyenne donnée L_a (Eq. 17). Ici, $L_a \pm \Delta L$ est perceptible tant que $L_a \pm \epsilon$ alors $\epsilon < \Delta L$ ne l'est pas.

$$\Delta L(L_a) = 0.0594(1.219 + L_a^{0.4})^{2.5} \quad (17)$$

4.2.2 En Réalité Virtuelle

Le modèle de Ward donne un lien direct (linéaire) entre la différence minimale perceptible de luminance qui serait perçue dans le monde réel (L_{wa}) et sont équivalent sur un dispositif d'affichage L_{da} (Eq. 18). Le coefficient de linéarité m est donné par l'Eq. 19.

$$\Delta L(L_{da}) = m \cdot \Delta L(L_{wa}) \quad (18)$$

$$m = \left[\frac{1.219 + (L_{da})^{0.4}}{1.219 + (L_{wa})^{0.4}} \right]^{2.5} \quad (19)$$

Une fois ces modèles analytiques mis en place, on se rend compte assez facilement de leur lourdeur et de incapacité à s'adapter à des situations concrètes, notamment dans

le domaine le l'informatique temps réel. Nous verrons donc dans un prochain chapitre d'autres pistes et d'autres moyens plus pratiques de quantifier le contraste.

4.3 Méthodes classiques de calcul sur un écran

Une première méthode classique de mesure du contraste sur un écran est la méthode dite « ON/OFF ». Elle consiste à mesurer la luminance produite par une écran lorsque celui-ci émet sa luminance maximale (c'est à dire pour un écran affiché entièrement blanc) puis la luminance minimum émise (pour écran affiché entièrement noir) et d'en faire le ratio. Si elle permet de mesurer le plus gros écart de luminance possible elle est trompeuse lorsqu'il s'agit de caractériser un écran : l'alternance noir-blanc ou blanc-noir n'était pas représentative de l'usage réel et les (futurs) utilisateurs de l'écran ne seront jamais en situation de percevoir un tel écart.

Pour prendre en compte cette différence avec la réalité, une autre technique a été mise au point, la méthode dite ANSI (comme l'organe de régulation américain « American National Standards Institute »). Pour représenter la luminance moyenne des images habituellement affichées sur l'écran, on ne mesure plus sur des surfaces monochromes mais sur un damier noir et blanc de 4 par 4. On fait alors le ration entre la moyenne des luminances des blancs sur la moyenne des luminances des noirs. De cette manière, les zones blanches de l'écran influent sur les zones noires en augmentant leur luminance, et inversement.

CHAPITRE

5

PERCEPTION VISUELLE DE LA PROFONDEUR

La perception de la profondeur est une des composantes fondamentales de la vision et doit faire partie des critères d'une immersion réussie. Cette perception passe par un certain nombre de principes et de paradigmes à la fois monoculaires (fonctionnement grâce à un seul œil) ou binoculaire (fonctionnement nécessairement avec les deux yeux). Les indices de profondeur utilisés par le cerveau sont les suivants, et sont résumés et ordonnés dans la Fig. 18 :

- l' accommodation,
- la vergence,
- les disparités (horizontale et verticale),
- la parallaxe,
- les indices statiques : interposition, taille, perspective linéaire, gradient de texture, perspective aérienne, ombre, ...

Premièrement, le cerveau peut récupérer assez facilement les informations d'*accommodation* et de *vergence* via le principe dit de *proprioception* évoqué plus haut. En récupérant des informations sur les muscles oculomoteurs le cerveau en déduit l'état de vergence et d'accommodation puis des informations sur la proximité de l'objet sur lequel est concentré le regard. En effet, une accommodation et une vergence à l'infini signifieront un objet éloigné et inversement. Ces indices ne sont ni les plus forts ni les plus robustes mais participent à un tout.

La différence de disparité entre deux points permet au cerveau de comparer leurs positions respectives. Au niveau technologique cet indice est apporté par la stéréoscopie. Pour plus

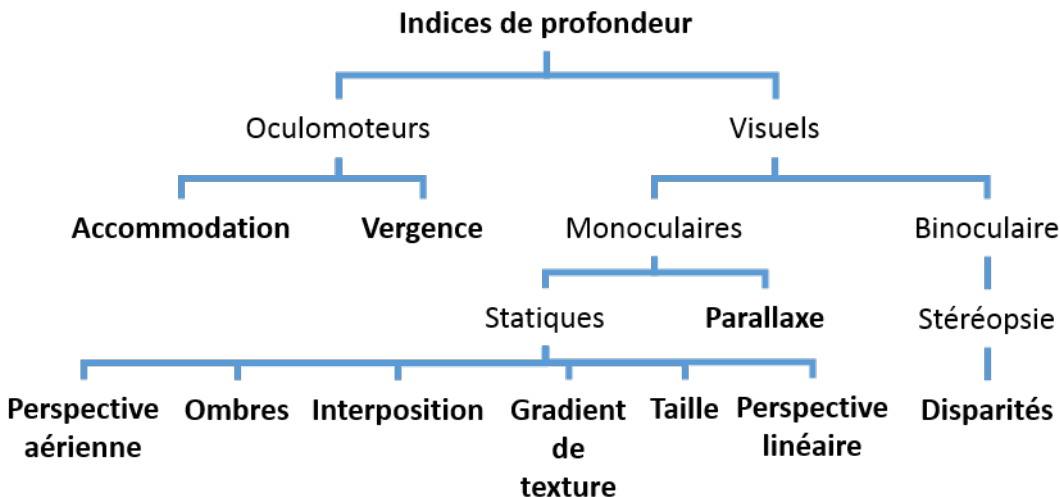


FIGURE 18 – Indices visuels de perception de la profondeur

d’informations sur l’indice binoculaire de profondeur, on pourra se reporter à [Glassner, 1995].

La *parallaxe*, ou parallaxe de mouvement, est un indice temporel, c’est à dire qu’il ne fonctionne pas à un instant t donné mais plutôt sur une période de temps Δt . En effet, la parallaxe est l’effet sur le cerveau d’un changement de point de vue : le cerveau analyse les différences entre les images n et $n + 1$, et, en fonction des quantités et des vitesses de déplacement en déduit la profondeur des objets. Lorsque qu’un observateur bouge la tête en gardant le même point de fixation, tous les objets entre le point de fixation et l’observateur vont bouger avec un gradient de vitesse basé sur la distance au point de fixation (plus l’objet est éloigné, plus il va vite). Tous les points derrière le point de fixation bougeront aussi mais avec un gradient de vitesse opposé. Technologiquement, la parallaxe est assurée par la capture et l’intégration du mouvement de la tête et/ou des yeux de l’observateur dans le calcul de l’image.

Parmi les indices statiques, l’*interposition* (ou occultation) est assez simple et révélateur : si un objet masque (partiellement) un autre, alors l’objet masqué à une profondeur supérieure à l’objet masquant. Cet indice est notamment très utilisé en informatique graphique dans le pipeline de rendu¹ au moment de calculer une image : tous les objets masqués sont ignorés pour le rendu de l’image (ce qui permet un gain de temps, notamment sur des scènes complexes) et les objets partiellement masqués voient leur géométrie modifiée afin de ne garder que la (les) partie(s) visible(s).

La *taille* est un autre indice, basé cette fois sur notre expérience d’objets familiers dont on connaît ou dont on visualise la taille. Si une voiture est vue minuscule, par expérience, on déduira que la voiture est donc loin. Cet indice ne marche qu’avec des objets que l’on connaît déjà et peut être berné assez facilement (comme par exemple avec l’illusion d’optique de la chambre d’Ames).

L’*ombre* permet localement de donner des indices flagrants sur la profondeur de l’objet

1. Pour plus d’informations sur le pipeline de rendu : *Rendering Pipeline Overview*, https://www.opengl.org/wiki/Rendering_Pipeline_Overview (Juillet 2016, en anglais).

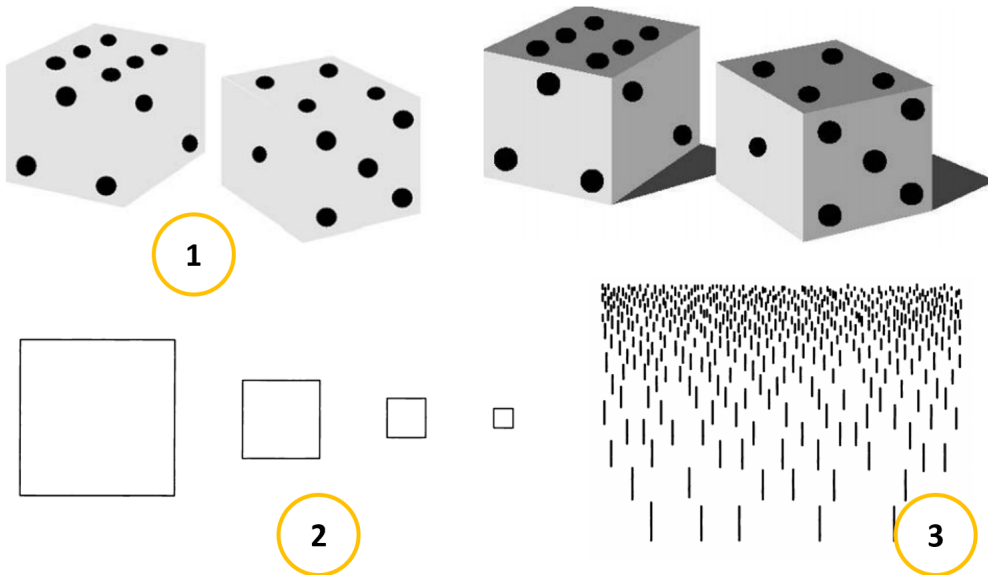


FIGURE 19 – Illustration d'indices de profondeur : ombres (1, image tirée de [ANSES, 2014]), taille (2) et gradient de profondeur (3, images tirées de [Glassner, 1995]).

(voir Fig. 19).

Enfin il existe un certain nombre d'indices statiques monoculaires [Fuchs *et al.*, 2003; Glassner, 1995] que l'on peut regrouper sous la dénomination « Perspective ». Certains de ces différents types de perspective sont illustrés Fig. 19 :

- Le *gradient de texture* consiste à un rapprochement apparent (un écrasement des distances relatives) entre les objets de plus en plus lointains.
- La *perspective aérienne* fonctionne pour les grandes distances uniquement : plus un objet va s'éloigner de l'observateur, plus sa couleur va perdre en intensité et fondre vers le bleu-gris (couleur de l'atmosphère), typiquement le cas des montagnes ou d'un paysage que l'on voit à l'horizon.
- La *perspective linéaire* est la perspective bien connue avec lignes de fuite : plus un objet s'éloigne, plus il semble rapetisser.

Nous avons vu le fonctionnement de la vision (modélisation du système visuel, perception de la couleur et du contraste), et son interprétation (perception de la profondeur). Néanmoins, toutes ces connaissances ne s'applique que dans le cas d'un sujet parfait. Nous allons maintenant présenter quelques facteurs humains (physiologiques) qui peuvent venir dégrader ou modifier la vision et ses performances.

CHAPITRE

6

INFLUENCES PHYSIOLOGIQUES

Outre les maladies ou autres défauts oculaires qui ne seront pas abordés ici, il existe un certain nombre de paramètres liés au corps humain qui influent sur la qualité de perception des images projetées par le dispositif immersif d'affichage. On trouve principalement des influences morphologiques (au niveau du visage) ou d'âge de l'observateur. On peut noter que la sensibilité au contraste est dépendante des conditions d'expérimentations évidemment, de facteurs ophtalmologiques (myopie, éblouissement rétinien, cataracte, amblyopie, dégénération de la macula avec l'âge, hyper-tension oculaire, glaucome, sécheresse oculaire) mais aussi de facteurs neurologiques (lésions cérébrales, scléroses, maladie de Parkinson et schizophrénie), ou encore de facteurs liés à la prise de médicaments [Pelli & Bex, 2013]. Nous nous plaçons évidemment dans le cas où le sujet est sain.

6.1 Variations morphologiques

Les influences morphologiques sont très nombreuses au niveau du visage et plus ou moins faciles à caractériser et à traiter. On retrouve par exemple la distance inter-oculaire (distance entre le centre des pupilles), profondeur des yeux, non-horizontalité de l'alignement du centre des pupilles, glissement des lunettes pendant l'utilisation, position des oreilles par rapport au nez pour la poste des lunettes 3D, écart de position entre une première et une seconde mise de lunettes, la position du casque immersif sur le visage ... tout ce qui fait de l'observateur humain un observateur symétriquement et géométriquement imparfait.

On développera ici le cas simple de la distance inter-oculaire. Il apparaît que lorsque l'on présente les mêmes images stéréo à deux personnes différentes, la profondeur stéréoscopique des objets proches n'est pas perçue de manière égale. On prend l'exemple de l'image d'un volant de virtuel normalement paramétré pour apparaître confondu avec le volant réel du simulateur de conduite. Certain utilisateurs verront effectivement le volant là

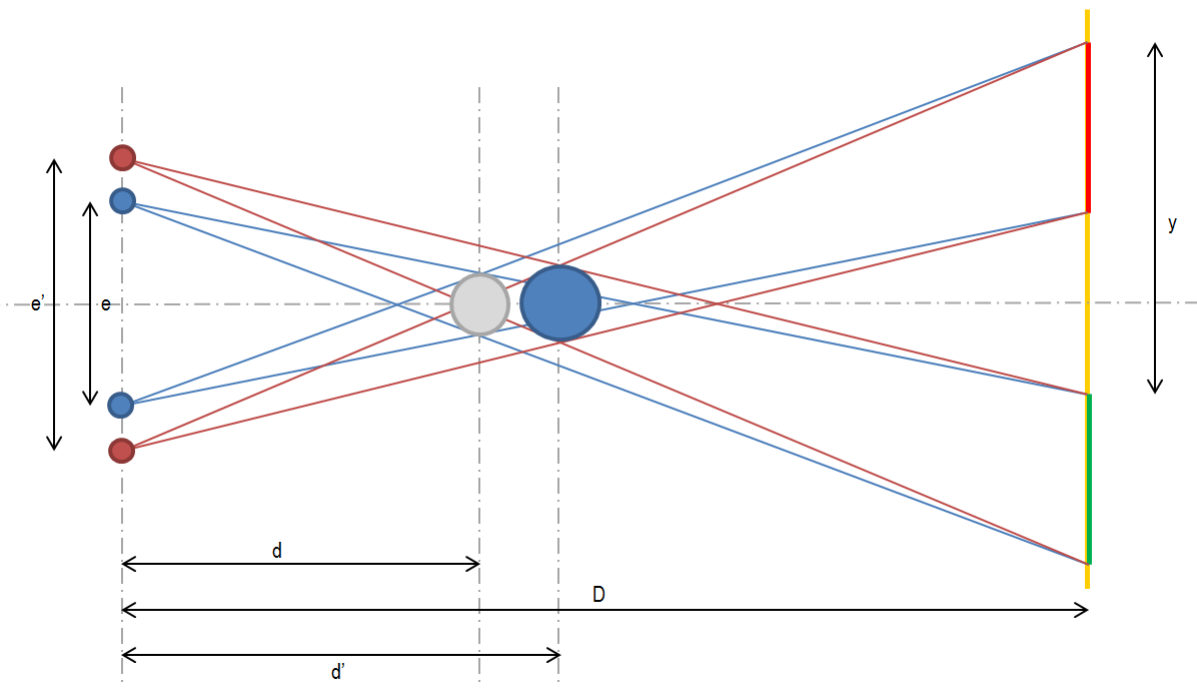


FIGURE 20 – Schématisation de la différence de profondeur stéréoscopique perçue en fonction de la distance interoculaire

où il est sensé être, tandis que d'autres verront l'image légèrement en avant du volant et d'autres la verront légèrement en retrait. Cet écart peut être extrêmement gênant et s'explique notamment par l'écart de distance inter-pupillaire entre les différents observateurs. Il serait cependant intéressant de comparer l'influence des différentes influences physiologiques vues précédemment afin de les hiérarchiser et éventuellement d'en négliger certaines.

Les grandeurs ici évoquées font référence à la Fig. 20. Pour un individu A qui a une distance interoculaire e , on projette sur les murs du CAVE, où dans un visio-casque, à distance D , un couple d'images stéréoscopiques (ici représentées par les segments rouge et bleu). L'image reconstruite par le cerveau est vue à une distance d par l'individu. Les images œil gauche et œil droit sont dissociées d'une distance y . En gardant les mêmes images, un individu B avec une distance interoculaire e' se positionne au même endroit dans le CAVE. C'est à ce niveau là qu'intervient la différence de perception, et le second individu verra l'objet virtuel non pas à une distance d mais à une distance d' qui peut être supérieure ou inférieure à d .

En utilisant les règles élémentaires de trigonométrie (et après simplification), on trouve que la différence de distance de l'objet virtuel entre les deux individus se note de la manière suivante (Eq. 20) :

$$\Delta d = \frac{(D - d)(e + \Delta e) - y \cdot d}{y + e + \Delta e} \quad (20)$$

La Fig. 21 est un abaque partiel pour une configuration donnée et pour le spectre des distances inter-oculaires possibles, de l'écart de profondeur perçue entre l'observateur A et

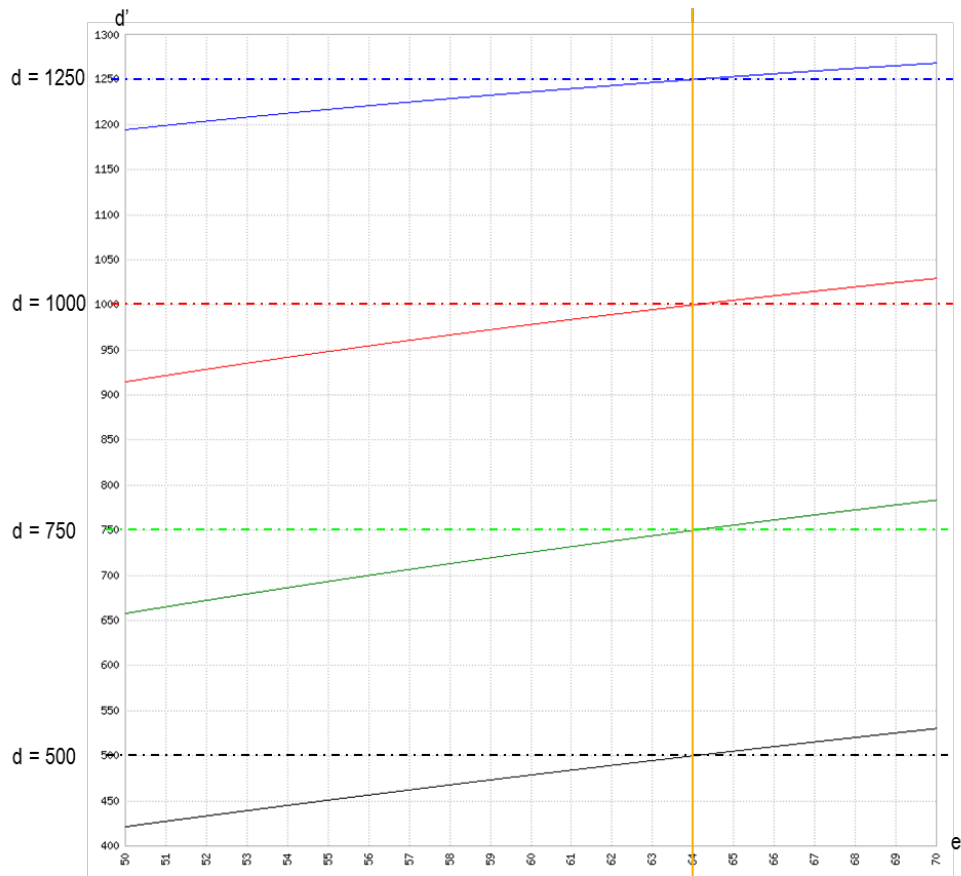


FIGURE 21 – Abaques de la nouvelles distance perçue en fonction de la distance inter-oculaire

l'observateur B pour un même jeu d'images stéréoscopiques.

L'abaque est tracé dans la configuration spécifique avec des images projetées à la distance $D = 1.5\text{ m}$ et pour des distances de perception de l'objet en 3D de $d = 50\text{ cm}, 75\text{ cm}, 1\text{ m}$ et $1\text{ m }25$. De même, on se place dans le cas général, et dans les pratiques usuelles en 3D échelle 1 : 1, la distance interoculaire initiale (individu A) utilisée pour calculer le couple d'images stéréoscopiques est de 64 mm, qui est la distance interoculaire moyenne chez les hommes [Dodgson, 2004].

Dans le cas idéal, celui où la distance inter-oculaire n'influera pas sur la perception de la profondeur, les images calculées pour 64 mm (trait orange vertical) seraient vues toujours à la même distance quelque soit la distance interoculaire (traits horizontaux en pointillés). Mais la géométrie montre bien que la réalité est tout autre (traits pleins).

Les résultats qui émergent des courbes sont les suivants : si l'individu A perçoit l'objet virtuel à une distance de 1 m (courbes rouges, voir 21), un individu B avec une distance oculaire de 60 mm (distance inter-oculaire moyenne chez les femmes [Dodgson, 2004]) verra le même objet virtuel à 980 mm (donc légèrement plus proche), soit avec un écart de 2 cm par rapport à l'observateur calculé.

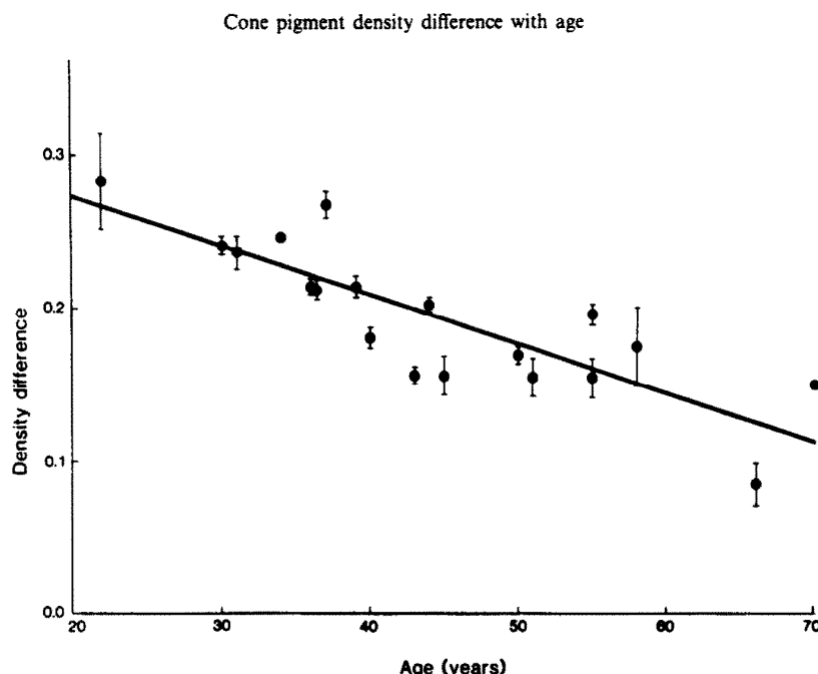


Fig. 1. Cone pigment density difference as a function of subject's age. The density difference is for the spectral peak at 560 nm and is from the central 2 degrees of visual field. Points are the mean \pm SEM for multiple bleaches per subject.

FIGURE 22 – Densité des cônes en fonction de l'âge (figure tirée de [Kilbride *et al.*, 1986])

6.2 Âge

L'ergonomie du système d'affichage et la physionomie du visage ne sont pas les seuls facteurs influençant la perception. Un certain nombre d'autres paramètres entrent en jeu, comme notamment le genre (homme ou femme) pour la vision des couleurs [Fairchild, 2005] mais surtout, pour la quasi totalité des grandeurs de la vision : l'âge de l'observateur.

On peut dès lors évoquer la modification, avec l'accumulation des années, de facteurs comme le diamètre pupillaire, l'acuité visuelle ou la sensibilité au contraste [Owsley *et al.*, 1983] (voir Fig. 13), la réduction de la capacité à extraire des informations dans le champ de vision [Ball *et al.*, 1988; Gross *et al.*, 2008; Rogé & Pébayle, 2009; Rogé *et al.*, 2004; Sekuler & Bennett, 2000], la qualité de l'image rétinienne [Artal *et al.*, 1993], la densité de cônes dans la fovéa [Kilbride *et al.*, 1986], la structure de l'œil et du cristallin [Cook *et al.*, 1994].

Par ailleurs, on note les excellentes vidéos de Craig Blackwell sur le thème du vieillissement de l'œil et de la vision¹.

En conclusion,

1. Craig Blackwell. 3 décembre 2014. Aging Eye 1 : Vision [Vidéo en ligne]. Repéré à <https://www.youtube.com/watch?v=FtcZ4an-VGo>

Deuxième partie

Première approche : modèles de vision

INTRODUCTION

Le terme « modèle de vision » est très générique et représente en fait un assemblage de briques élémentaires, modulables en fonction des applications et de la finesse du modèle recherché. Définitions possibles :

- [Moreau & Tisseau, 2006] : « Algorithme qui prend en entrée une image et qui renvoie l'interprétation qu'en fait le système visuel humain. »
- [Pattanaik *et al.*, 1998] : « Les modèles de vision ont pour objectif de relier la perception visuelle d'un observateur dans une scène virtuelle à la perception visuelle d'un sujet regardant un dispositif d'affichage. Le but final étant de spécifier une transformation dont l'objectif serait de corrélérer visuellement la scène virtuelle à l'image affichée. »

Un modèle de vision est donc une construction théorique qui vise à reproduire et prédire le fonctionnement de la vision humaine. Le modèle va ainsi intégrer tout un système de modélisation du passage de la lumière dans l'œil, de la captation par la rétine puis du traitement de la lumière par le cerveau. Le modèle de vision est à différencier du prédateur de vision en cela que ce dernier est inclus, avec d'autres sous-modèles, dans le modèle de vision. Un modèle de vision peut notamment aussi intégrer une prédiction des effets de l'âge mais aussi des comportements plus spécifiques comme le mécanisme d'attention visuelle, ou la reproduction de tons.

Nous allons maintenant présenter dans les sections suivantes un état de l'Art partiel des modèles de vision, prédateurs de vision et modèles de reproduction de tons, puis détailler deux modèles particulièrement intéressants :

- Modèle de vision avec vieillissement du système optique [Mantiuk & Ramponi, 2015].
- Prédateur de vision chromatique complet [Pattanaik *et al.*, 1998].

CHAPITRE

1

ÉTAT DE L'ART

L'état de l'Art ici présenté n'a pas volonté d'être exhaustif sur tous les modèles de vision tant il en existe de types et de variations. On présente néanmoins des classiques ainsi que certaines de leurs ramifications.

Si on a défini dans la section précédente le modèle de vision, il reste encore à déterminer les actions et objectifs de deux types de sous-modèles, le Visual Differences Predictor (VDP) et la reproduction de tons :

- La reproduction de tons, ou *tonemapping*, est une technique qui vise à contrebalancer les limites techniques des capteurs d'image par rapport à l'œil humain. En effet, celui-ci est -comme on a pu voir précédemment- capable d'intégrer en temps réel un très grand nombre de couleurs et surtout de grands écarts de luminosité, tandis qu'un capteur technologique est (grandement) limité. Le tonemapping est alors une technique pour ramener les informations hors-cadre du capteur dans son champ d'action.
- Le VDP est un type d'algorithme qui est amené à donner, objectivement, les différences entre deux traitements d'une même image, par exemple entre l'image initiale et une image après compression. Si le VDP est modélisé sur le système visuel humain, on pourra savoir si les différences entre traitements d'image sont visibles à l'œil nu. Un VDP HDR aura pour objectif de s'assurer que l'interpolation des luminances non-affichables en luminances affichables est efficace.

Tout d'abord, il convient de citer les deux modèles fondateurs et sur lesquels la quasi majorité des autres modèles de vision sont adaptés : le *Visual Differences Predictor* de [Daly, 1992] et le *Visual Discrimination Model* de [Lubin, 1995]. Si ces deux modèles sont des références absolues, ils restent néanmoins des modèles achromatiques (le traitement et le résultat se font uniquement sur le canal luminance de l'image). Leur équivalent chromatique (traitement sur tous les canaux de l'image, luminance et couleur) est le modèle

développé par [Pattanaik *et al.*, 1998]. Enfin, [Rushmeier *et al.*, 1995] ont formalisé, les premiers, la méthode de reproduction de tons, méthode reprise très largement dans de nombreux modèles par la suite. On en profite également pour pointer vers deux références qui contiennent elle même de très nombreuses références sur le sujet : [Moreau & Tisseau, 2006] et [Bradley, 1999].

1.1 Modèles principaux

Le modèle de [Daly, 1992] est donc un modèle achromatique qui se base sur une simulation de l'adaptation des cellules de la rétine à la luminance. La fonction prend aussi en compte la vision spatiale (c'est à dire la sensibilité aux fréquences spatiales) avec l'intégration de fonctions de sensibilité au contraste. Enfin, le modèle simule aussi les traitement corticaux (c'est à dire la gestion de l'information nerveuse par tout un réseau de neurones) via une fonction dite *cortex*.

Parallèlement, le modèle de [Lubin, 1995] a lui une structure plus logique que le modèle précédent, du point de vue du déroulement de la chaîne de vision (de la perception au traitement), néanmoins le traitement se fait toujours de manière achromatique. Il simule l'optique de l'œil et le comportement de la rétine, puis effectue un calcul des contrastes locaux (c'est à dire par zone de l'image perçue) puis il prend en compte l'orientation de l'image et enfin termine par une phase de transduction¹.

1.2 Pérennité des modèles principaux

[Lukin, 2009] et [Bradley, 1999] ont eu, par rapport au modèle de Daly, des approches radicalement différentes. Le premier a cherché à améliorer la modélisation en complexifiant la fonction de cortex tandis que le second l'a remplacée par une autre approche : une fonction basée sur un modèle en ondelettes. Les améliorations de Lukin se concentrent sur une fixation plus précise des seuils utilisés dans la modélisation, l'ajout de la modélisation de l'effet de facilitation pendant l'effet de masque (traitements cognitifs) ainsi que la séparation de l'amplitude et de la phase de la réponse au modèle. L'amplitude servant à calculer le masque de contraste tandis que la phase prend part dans la modélisation de l'effet de facilitation.

1.3 Modèles de Mantiuk *et al.* [2004, 2005, 2015]

Une famille de modèles de vision très intéressante, et basée sur le modèle Daly, est conçue par Rafal Mantiuk et ses collaborateurs : [Mantiuk *et al.*, 2004, 2005; Mantiuk & Ramponi, 2015]. Le dernier de ces modèles, qui vient en amélioration des précédents, est d'ailleurs développé en détail par la suite.

1. Transducteur. (s.d.). Dans *Dictionnaire Larousse en ligne*. Repéré à <http://www.larousse.fr/dictionnaires/francais/transducteur/>

[Mantiuk *et al.*, 2004] proposent un modèle de vision pour les images HDR (High Dynamic Range). Leur hypothèse de base étant que le modèle de Daly est fonctionnel mais reste éloigné de la vision humaine en cela qu'il n'accepte pas une amplitude de luminance suffisante et n'intègre donc pas de mécanisme d'adaptation du système visuel à la luminosité ambiante. Deux modifications principales du modèle initial sont alors opérées :

- Le modèle de Daly part du principe que les photo-récepteurs donnent des réponses égales et subissent des pertes égales quel que soit le niveau de luminance (haut ou bas) : une nouvelle transformation de l'information de luminance, cette fois non-linéaire, est proposée.
- Une simple fonction de contraste étant insuffisante pour traiter des images avec de grands écarts de luminance, une nouvelle approche est proposée : l'image est filtrée par niveau de luminance puis chaque niveau se voit appliquer une fonction de sensibilité au contraste (CSF).

Ensuite, [Mantiuk *et al.*, 2005] apportent une deuxième modification au modèle. La modélisation du passage de la lumière dans l'optique de l'œil est modifiée d'une fonction de diffusion classique (Point Spread Function) au profit d'une fonction de [Deeley *et al.*, 1991] (Eq. 21) :

$$OTF(\rho, d) = \exp \left[- \left(\frac{\rho}{20.9 - 2.1 \cdot d} \right)^{1.3 - 0.07 \cdot d} \right] \quad (21)$$

Avec ρ la fréquence spatiale du stimulus qui traverse l'œil et d le diamètre de la pupille. Ce dernier est quant à lui donné par le modèle de [Moon & Spencer, 1944] (Eq. 22) :

$$d = 4.9 - 3 \cdot \tanh [0.4 (\log(Y_{adapt}) + 1.0)] \quad (22)$$

Enfin, [Mantiuk & Ramponi, 2015] apportent une modification fondamentale dans leur modèle, en rajoutant les effets de l'âge de l'observateur simulé sur la perception des erreurs. Ce modèle est largement discuté dans une section suivante (Section 3).

1.4 Reproduction de tons

Après la formalisation de la technique par [Rushmeier *et al.*, 1995], les algorithmes de reproduction de tons se divisent en trois grandes familles : le traitement des images statiques par des méthodes globales, le traitement des images statiques cette fois ci par des méthodes locales et enfin le traitement des images dynamiques ; [Moreau & Tisseau, 2006] relèvent un grand nombre de modèles du genre. Cette dernière famille est entièrement revue par [Drago *et al.*, 2003].

Enfin, [Ferwerda *et al.*, 1996] proposent un modèle très complet, basé sur le modèle de reproduction de tons lui-même basé sur le coefficient de Ward que l'on a vu précédemment. Ce modèle fonctionne avec des techniques de calcul d'éclairage plus avancées telle que la

Global Illumination, et ce, à des niveaux de luminosité allant de photopique à scotopique. Sont modélisés : la capture des changements de seuil de visibilité, les changements d'apparence des couleurs, les changements d'acuité visuelle ainsi que la sensibilité à tous ces facteurs au cours du temps. On peut par exemple obtenir toutes les images intermédiaires d'un processus d'adaptation de l'œil à un changement brutal de luminosité, que ce soit du clair vers l'obscur ou inversement (voir Fig. 23).

Nous allons maintenant revenir en détails sur deux modèles particulièrement complets et rigoureux, chacun dans leur domaine : d'un côté le grand mimétisme de la vision humaine et de l'autre la prise en compte avancée des spécificités de l'observateur, et notamment son âge.



FIGURE 23 – Différentes étapes du modèle d'adaptation lumineuse. Images tirées de [Ferwerda *et al.*, 1996]

CHAPITRE

2

MODÈLE DE PATTANAIK *ET AL.*

Le modèle de vision proposé par [Pattanaik *et al.*, 1998] se positionne face à deux problématiques majeures dans le domaine de l'imagerie informatique : afficher des images ayant un intervalle de luminosité très grand et surtout arriver à afficher des images qui correspondent à une perception similaire à celle de la vision humaine.

Il part du principe que beaucoup de modèles ne sont capables de gérer que des scènes uniquement achromatiques en entrée et non pas des scènes avec des caractéristiques plus proches d'un scène naturelle : lumière du jour, amplitude de luminosité étendue, acuité non-uniforme de l'observateur, ...

Les auteurs du modèle mettent donc en avant trois points clefs qu'il convient d'utiliser ou d'atteindre dans un modèle de vision :

- des fonctions de sensibilité au contraste (CSFs),
- un mécanisme d'adaptation locale de la vision : permet d'améliorer grandement la capacité à voir distinctement dans un intervalle de luminosité très étendu.
- un modèle plus élaboré qu'un modèle de seuil : en général, les modèles permettent de définir le seuil en-dessous au au-dessus duquel le visible devient invisible ou inversement. Un modèle plus vaste doit décrire l'intégralité du comportement et non pas uniquement au voisinage du seuil.

Le modèle proposé est divisé en deux parties principales : le modèle visuel à proprement parler et un modèle d'affichage (voir Fig. 24). L'algorithme visuel travaille une image d'entrée afin d'en extraire les contrastes des canaux chromatiques et achromatique. Enfin, l'algorithme d'affichage reconstruit une image afin de l'afficher.

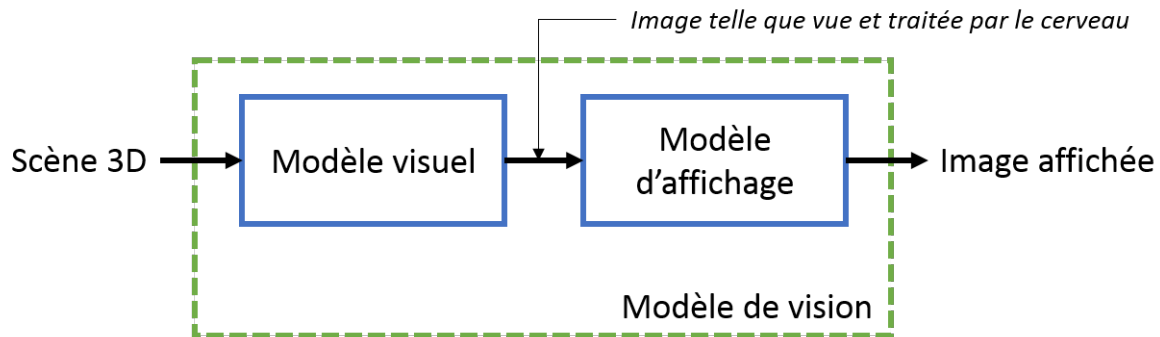


FIGURE 24 – Schéma synthétique du déroulé du modèle de [Pattanaik et al., 1998]

Le modèle emprunte ses composantes à de nombreux auteurs différents. Il se déroule comme suit (voir Fig. 25) :

- Décomposition de l'image via des filtres Gaussiens
- Compensation de la dispersion optique dans l'œil, modèle de [Westheimer, 1986]
- Compensation de l'éblouissement, modèle de [Spencer et al., 1995]
- Échantillonnage spectral de tous les étages de la pyramide sauf le plus bas (dernier) [Fairchild, 1998; Wyszecki & Stiles, 2000]
- Calibration des signaux d'entrée
- Traitement spatial des images de chaque canal [Burt & Adelson, 1983; Peli, 1990]
- Conversion en canaux chromatiques et achromatique (théorie des processus antagoniques) [Fairchild, 1998; Hunt, 1995]
- Passage par des transducteurs de contraste [Watson & Solomon, 1997]
- Combinaison des signaux des cônes et des bâtonnets
- Traitement de l'étage de la pyramide restant (dernier) [Fairchild, 1998]
- Résultats du modèle visuel
- Reconstruction de l'image par traitement inversé pour l'affichage

L'image doit être décomposée à l'aide de filtres gaussiens, de telle manière à ce que les bandes-passantes (ce qui est gardé dans le filtre) correspondent à des fréquences spatiales bien définies : 16, 8, 4, 2, 1 et 0.5 cpd¹.

On réalise ensuite un échantillonnage spectral dans le but de reproduire la réponse des différents cônes et bâtonnets présents dans la rétine. Cet échantillonnage se fait par l'intégration de la distribution de radianc pour chaque pixel après multiplication par l'efficacité lumineuse des photo-récepteurs mis en jeu. L'efficacité pour les cônes est donnée par les

1. cpd : cycles par degrés.

courbes de Hunt, Pointer et Estevez [Fairchild, 1998] tandis que l'efficacité des bâtonnets est donnée par l'observateur scotopique de la CIE [Wyszecki & Stiles, 2000].

Cependant, dans la majeure partie des cas, la valeur de radiance du pixel n'est pas disponible et doit être calculée pour les cônes par une transformation linéaire depuis les valeurs du tri-stimulus CIE 1931 XYZ (Eq. 23). Pour les bâtonnets, une approximation est nécessaire, en utilisant l'Eq. 24 :

$$\begin{bmatrix} L \\ M \\ S \end{bmatrix} = \begin{bmatrix} 0.3897 & 0.6890 & -0.0787 \\ -0.2298 & 1.1834 & 0.0464 \\ 0 & 0 & 1 \end{bmatrix} \times \begin{bmatrix} X \\ Y \\ Z \end{bmatrix} \quad (23)$$

$$R = -0.702 \cdot X + 1.039 \cdot Y + 0.433 \cdot Z \quad (24)$$

Les différents canaux sont ensuite soumis à un traitement spatial, une décomposition en pyramide laplacienne de 7 étages [Burt & Adelson, 1983]. Les 6 premiers étages sont ensuite convertis en images contrastées [Peli, 1990] au moyen d'un gain de luminance (Eq. 25) :

$$\begin{aligned} G_{cone}(I) &= \frac{1}{0.555 \cdot (I+1.0)^{0.85}} \\ G_{rod}(I) &= \left[\frac{10}{I^2+10} \right] \times \left[\frac{1}{0.908 \cdot (I+0.001)^{0.85}} \right] \end{aligned} \quad (25)$$

On obtient au final une image au contraste adapté pour un certain niveau (ACI_n - Image avec contraste adapté au niveau n), avec LP_n la réponse au filtre passe-bas de l'image de niveau n (n allant de 1 à 6, en fonction de l'étage de la pyramide concerné) (Eq. 26) :

$$ACI_n = G(LP_{n+1}) \times [LP_n - LP_{n+1}] \quad (26)$$

Les images contrastée obtenue juste avant, sont ensuite transformées encore, jusqu'au système AC_1C_2 qui reprend la Théorie des processus antagoniques, c'est à dire la découpage du traitement de l'image par le cerveau en un canal achromatique (A), et deux canaux chromatiques (C_1 et C_2), voir sections précédentes sur la couleur. La transformation se fait au moyen d'une banale matrice de passage [Fairchild, 1998; Hunt, 1995] :

$$\begin{bmatrix} A \\ C_1 \\ C_2 \end{bmatrix} = \begin{bmatrix} 2.0 & 1.0 & 0.05 \\ 1.0 & -1.09 & 0.09 \\ 0.11 & 0.11 & -0.22 \end{bmatrix} \times \begin{bmatrix} L \\ M \\ S \end{bmatrix} \quad (27)$$

Le signal passe en suite à travers des transducteurs basés sur le contraste pour reproduire la sensibilité au contraste de l'œil. Pour rappel, un transducteur¹ est une fonction ou un mécanisme qui permet de transformer une grandeur en une autre, comme par exemple

1. Transducteur. (s.d.). Dans *Dictionnaire Larousse en ligne*. Repéré à <http://www.larousse.fr/dictionnaires/francais/transducteur/>

Fréquence spatiale (cpd)	0.5	1.0	2.0	4.0	8.0	16.0
p (achromatique)	1.93	1.35	1.15	1.04	1.15	1.40
p (chromatique)	1.93	1.93	2.35	2.85	-	-
p (bâtonnets)	3.39	3.39	4.50	7.64	-	-

TABLE 1 – Valeurs de la puissance dans les fonctions de transducteurs de [Watson & Solomon, 1997]

un mouvement en électricité ou une lumière en électricité. Les transducteurs sont ici utilisés pour supprimer de l'image le contraste qui serait imperceptible dans les conditions (d'éclairage) données. Leurs valeurs sont limitées à 50 pour reproduire les limitations en luminosité du système visuel. Les auteurs du modèle utilisent les équations de [Watson & Solomon, 1997] modifiées pour être inversibles (Eq. 28) :

$$\begin{aligned} T_{cone,achromatic}(c) &= \begin{cases} 22.4 \cdot \sqrt{\frac{c}{0.536}} & \text{si } c \geq 0.536 \\ 22.4 \cdot \left(\frac{c}{0.536}\right)^p & \text{sinon} \end{cases} \\ T_{cone,chromatic}(c) &= \begin{cases} 22.4 \cdot \sqrt{\frac{c}{0.176}} & \text{si } c \geq 0.176 \\ 22.4 \cdot \left(\frac{c}{0.176}\right)^p & \text{sinon} \end{cases} \\ T_{rod}(c) &= \begin{cases} 22.4 \cdot \sqrt{\frac{c}{0.0335}} & \text{si } c \geq 0.0335 \\ 22.4 \cdot \left(\frac{c}{0.0335}\right)^p & \text{sinon} \end{cases} \end{aligned} \quad (28)$$

Les valeurs de p sont données dans la Table 2.

Le canal chromatique final est en fait une combinaison des valeurs de la composante A des tri-stimulus des cônes et des bâtonnets. Le calcul se fait au moyen de l'Eq. 29. La valeur 7 est obtenue par calibration :

$$A_{total} = A_{cones} + \frac{A_{bâtonnets}}{7} \quad (29)$$

Cette étape conclue le traitement des 6 premiers étages de la pyramide de décomposition.

Après quoi, le traitement du dernier et septième étage de la pyramide se fait via des transducteurs passe bas (Eq. 30) [Fairchild, 1998] :

$$\begin{cases} T_{LP,cones,achromatique}(LP) = 30.5 \cdot \sqrt{LP} \\ T_{LP,cones,chromatique}(LP) = 53.3 \cdot \sqrt{LP} \\ T_{LP,bâtonnets}(LP) = 122 \cdot \sqrt{LP} \end{cases} \quad (30)$$

Au point intermédiaire, à l'issue du modèle visuel, on obtient donc les résultats suivants :

- 1 canal achromatique
- 2 canaux chromatiques
- 6 images issues d'un filtre spatial bande-passante

- 1 image issue d'un filtre passe-bas

Enfin, on effectue le processus de reconstruction de l'image en faisant un traitement étape-par-étape inverse par rapport au modèle visuel de manière à recréer le signal perçu par les cônes pour l'afficher. On prend les fonctions inverses des transducteurs évoqués précédemment (Eq. 30). On passe d'une décomposition de la lumière en mode chromatique/achromatique (AC_1C_2) au découpage reproduisant le fonctionnement des cônes et bâtonnets (LMS), en utilisant la matrice inverse et enfin on applique un mécanisme de gain inverse en fonction des conditions d'affichage. Pour finir, on effectue la dernière transformation en allant de LMS à l'espace colorimétrique adapté au moyen d'affichage (CIECAM, CIELAB, CIELUV, RGB, ...).

En conclusion, [Pattanaik *et al.*, 1998] ont mis sur pied un modèle extrêmement précis et pertinent, composé de sous-modèles disponibles dans la littérature. Cependant, ce modèle est statique, c'est à dire qu'il ne prend pas en compte la composante temporelle et ne fonctionne que pour traiter une image seule, et non pas intégré dans une boucle de calcul d'image en temps réel. Nous allons maintenant aborder le modèle de [Mantiuk & Ramponi, 2015].

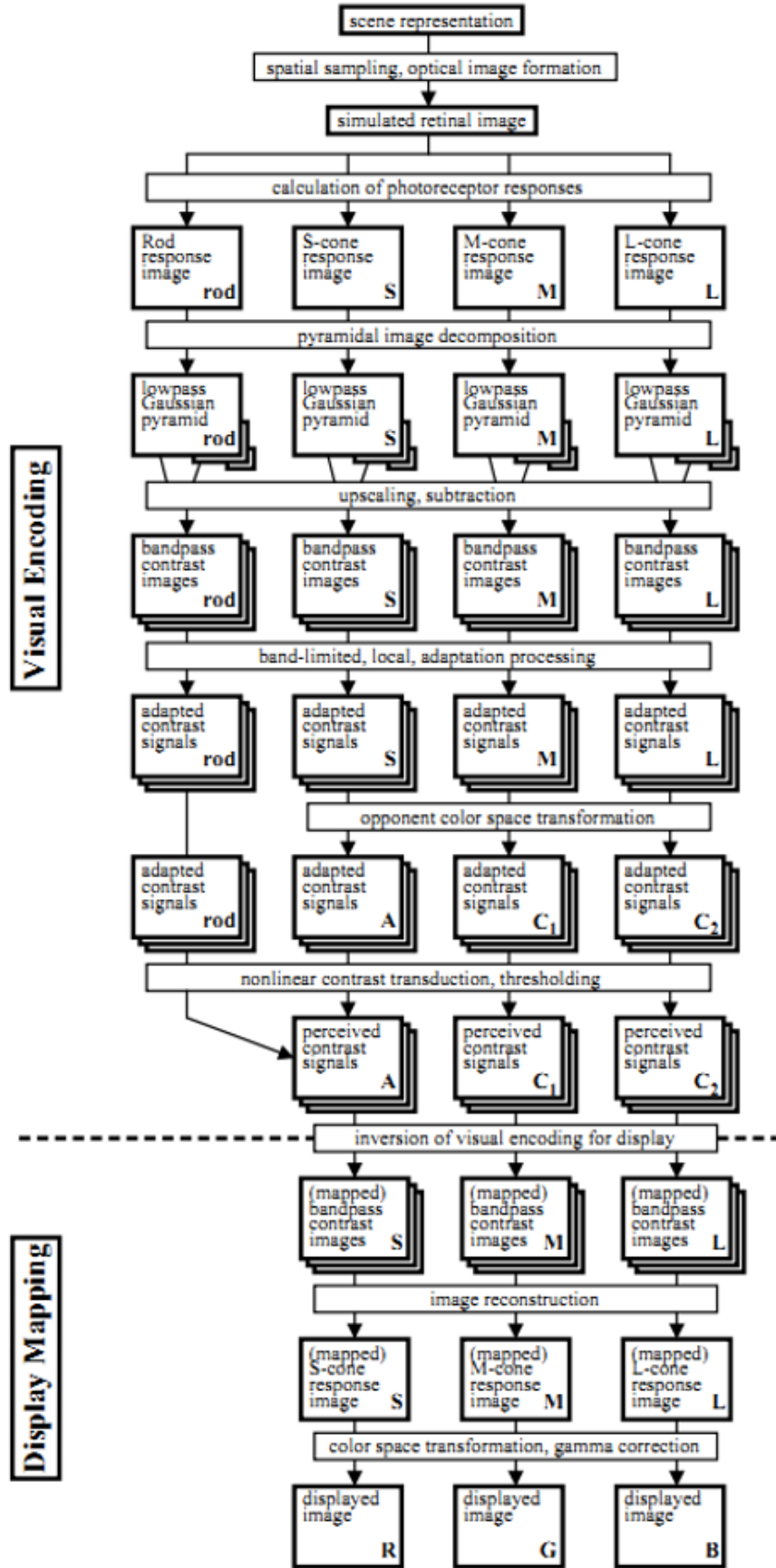


FIGURE 25 – Schéma exhaustif du traitement de l'image par le modèle de [Pattanaik et al., 1998]

CHAPITRE

3

MODÈLE DE MANTIUK & RAMPONI

Comme on a pu voir précédemment, l'âge de l'observateur peut avoir une grande influence sur un certain nombre de paramètres dans la vision ; tant de manière physiologique que cognitive. Cependant, le modèle que nous présentons ici, celui de [Mantiuk & Ramponi, 2015], est basé sur un prédicteur nommé HDR-VDP-2 et amélioré selon quatre grands axes : le vieillissement du cristallin, la réduction du diamètre de la pupille avec l'âge, les éblouissement invalidants et une composante de dégradation cognitive.

La contribution la plus importante à la dégradation de la vision au cours du temps vient du vieillissement du cristallin. La lentille continue de grossir et de générer des nouvelles fibres, compressant et accumulant ainsi les fibres plus anciennes dans la région centrale du cristallin. Celui-ci devient donc de plus en plus rigide et de moins en moins transparent.

Le cristallin est modélisé comme un filtre optique dépendant de la longueur d'onde et qui réduit la quantité de lumière que la rétine reçoit. Cependant ce filtre a peu d'effet en vision photopique (vision de jour) et est plus efficace en dessous de 3 cd/m^2 , c'est à dire dans les domaines mésopique et scotopique. [Mantiuk & Ramponi, 2015] reprennent ici le modèle de [Pokorny *et al.*, 1987]. pour le vieillissement du cristallin (Eq. 31) :

$$O_D(a) = \begin{cases} L_1 \cdot (1 + 0.02 \cdot (a - 32)) + L_2 & a \leq 60 \\ L_1 \cdot (1.56 + 0.0667 \cdot (a - 60)) + L_2 & a \geq 60 \end{cases} \quad (31)$$

Avec O_D la densité optique du cristallin, a l'âge du sujet et L_1 , L_2 des constantes issues de tables dans le modèle de Porkony *et al.*.

[Mantiuk & Ramponi, 2015] incluent aussi dans leur modèle un mécanisme d'efficacité lumineuse (valable seulement dans le domaine photopique) qui fut validé et entériné par

la CIE en 1924. Les résultats liés à ce modèle sont disponibles chez [Sagawa & Takahashi, 2001].

L'éblouissement (ou *Sensibility Glare* en anglais) est une pollution lumineuse qui intervient en présence de lumière très vive directement dans le champ de vision. Cette pollution atténue les hautes fréquences spatiales et réduit le contraste perçu sur la rétine. La prise en compte de la sensibilité à l'éblouissement en fonction de l'âge est elle aussi étayée par un modèle de la CIE : [Vos & van den Berg, 1999].

Le diamètre pupillaire moyen tend à diminuer avec l'âge, on parle alors de *myosis* (l'effet contraire étant la *mydriase*). Ce phénomène a été modélisé par un grand nombre de chercheurs différents ; [Watson & Yellott, 2012] proposent à la fois une review des différents modèles mais surtout un modèle unifié pour l'évolution du diamètre de la pupille. C'est ce modèle qui est utilisé dans le modèle de vision avec vieillissement de l'œil de [Mantiuk & Ramponi, 2015].

Le modèle est le suivant (Eq. 32) :

$$\begin{cases} S(l, a, f) = (a - 28.58) \times (0.02132 - 0.009562 \cdot D_{SD}) \\ D_{SD} = 7.75 - \frac{5.75 \times k}{k+2} \\ k = \left(\frac{L \times f}{846} \right)^{0.41} \end{cases} \quad (32)$$

Avec S le diamètre en question, a l'âge de l'individu, L le niveau de luminosité auquel l'œil est adapté (en cd/m^2) et f la zone de champ.

Ensuite, [Burton *et al.*, 1993] ont mesuré la perte de sensibilité causée par l'affectation des récepteurs et des processus cognitifs entre des jeunes adultes et des personnes âgées. Ces mesures ont été réalisées avec un laser permettant d'ignorer le système optique et d'envoyer directement une image sur la rétine. Les résultats donnent de légères variations entre les populations d'âge différent. [Mantiuk & Ramponi, 2015] proposent alors leur propre modèle empirique (Eq. 33) :

$$\log_{10}(\Delta S) = -(\beta \times \log_2(\rho + a)) \times \max(a - 24; 0) \quad (33)$$

Avec a l'âge du sujet, ρ la fréquence spatiale du stimulus (en cpd). $\alpha = 0.75$ et $\beta = 0.00195$ sont des valeurs empiriques proposées par les auteurs du modèle.

Enfin, cette modélisation est toutefois à prendre avec recul car un grand nombre de valeurs utilisées ici ont été mesurées pendant des expérimentations réalisées sur des écrans CRT (Cathodiques) ayant un spectre de luminosité assez réduit (de 0.1 à 80 cd/m^2).

CONCLUSION

L'étude des modèles de visions et leurs traductions vers le domaine de l'informatique semble être un domaine déjà fortement décrit et bien maîtrisé. Une contribution directe dans ce domaine n'est alors ni très évidente ni très pertinente. On pourrait à la rigueur tenter d'appliquer le modèle de Pattanaik *et al.* en temps réel mais la portée scientifique semble limitée. On décide alors de laisser cette approche de côté pour en prendre une nouvelle.

Plutôt que de s'intéresser à une capture d'image respectant le même processus que la vision humaine, on se penche sur un autre aspect jouant un rôle prépondérant dans le réalisme : l'affichage correct de ce qui a été capturé dans la scène 3D. En effet, si une fois l'image capturée proprement (via une mise en place du modèle de Pattanaik *et al.* par exemple), si le système n'est pas capable de restituer l'image dans la même gamme de perception que celle de l'œil humain, le réalisme vis à vis de l'utilisateur sera amoindri.

On propose alors, non pas de développer un modèle d'affichage, mais une méthode pour quantifier la qualité du système immersif, en fonction de la modélisation du système visuel humain.

Troisième partie

Deuxième approche : score de réalisme

INTRODUCTION

Pour rappel, on avait posé dans la définition du réalisme (*cf.* Chapitre I.1) le cadre d'étude suivant :

« Pour le cas de cette thèse, la définition du réalisme qui aura été retenue - et qui sera sous-entendue quand on utilisera le mot *réalisme* seul- est celle de la proximité physiologique avec le système visuel humain. [...] Le réalisme physiologique doit, par construction et par définition, se baser sur le système visuel humain. »

La première approche, qui était de développer un « modèle de vision » traduit pour la Réalité Virtuelle et les caméras qui extraient les images des scènes 3D, s'est vite révélée être une impasse ou en tout cas une voie offrant peu de débouchés tant ces modèles étaient déjà largement décrits dans la littérature.

On choisit alors une approche différente : plutôt que de *faire* du réalisme, il pourrait être intéressant de *quantifier* le réalisme qu'un-e système/application produit. En effet, si on entend souvent parler de réalisme, son appréciation est souvent binaire : soit un système ou une application est réaliste, soit il/elle ne l'est pas. De plus, il est difficile de pouvoir dire concrètement ce qui rend un système moins réaliste qu'un autre. Pour ce faire, il faudrait pouvoir être capable de mettre des valeurs et des critères objectifs à remplir. On aurait alors un moyen efficace et juste de juger du réalisme d'un système et/ou de comparaison entre plusieurs éléments.

CHAPITRE

1

DANS LA LITTÉRATURE

A notre connaissance, il existe, dans la littérature, assez peu de modèles ayant pour but de quantifier objectivement le réalisme physiologique. Ce type de modèle ne doit pas être confondu avec les méthodes de qualification de la qualité de l'image qui elles sont basées sur une comparaison entre une image source et cette même image après qu'elle soit passée à travers tout un processus de transformation (comme par exemple, un encodage vidéo) [Čadík, 2004; Winkler, 2000] (voir Fig. 26). Actuellement, il existe déjà un grand nombre de méthodes pour la qualité d'image, notamment pour des images 2D (images statiques ou vidéos). Ces dernières années, l'accent a plutôt été mis sur le développement de techniques de qualification de la qualité pour des images 3D. On peut trouver un certain nombre de review de ces techniques dans la littérature [Moorthy & Bovik, 2013; Moorthy *et al.*, 2013] voire même avec une dimension subjective en plus [Beghdadi *et al.*, 2013].

Le réalisme en tant que tel est quant à lui en général plutôt mesuré par une question directe sur le réalisme de l'expérience à laquelle le sujet vient de participer (ce qui est à relier avec la quatrième acceptation du réalisme, le réalisme *psychologique* et non pas le réalisme *physiologique*). Des approches plus détaillées peuvent se servir de questionnaires [Fiard *et al.*, 2014; Fuccentese *et al.*, 2015].

Néanmoins, on trouve quelques approches objectives pour la définition du réalisme bien que ce ne soit pas forcément leur objectif principal :

- Le modèle de Rose [Burgess, 1999; Rose, 1948],
- Le modèle d'observateur idéal [Geisler, 2003],
- Le tableau de Burdea et Coiffet [Burdea & Coiffet, 1993].

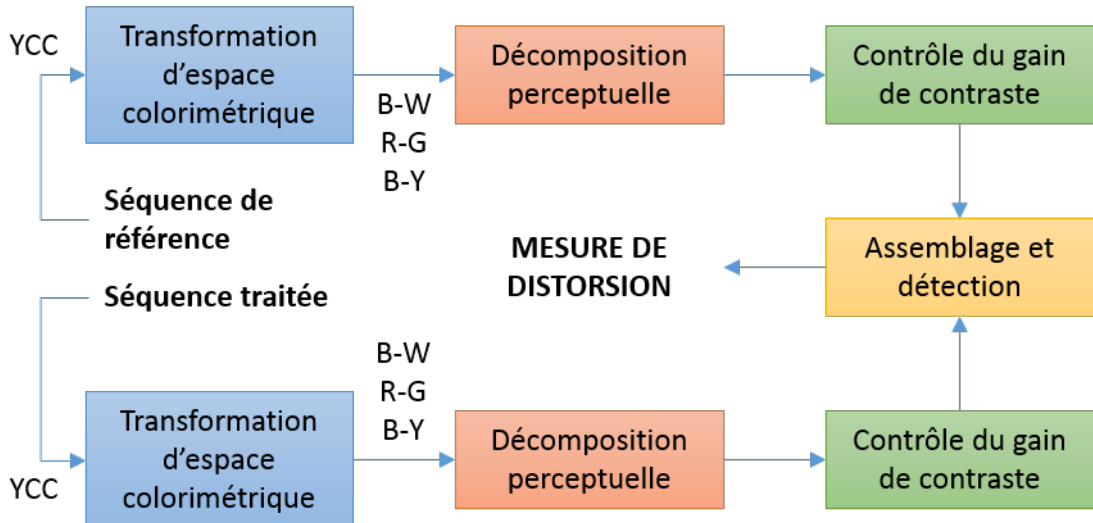


FIGURE 26 – Fonctionnement du processus de mesure de qualité d'image pour des séquences vidéo 2D.

Traduction d'une figure reprise de Winkler [2000]

1.1 Modèle de Rose

Le modèle de Rose est une première tentative (à l'époque pour la télévision en noir et blanc !) de caractérisation de "l'enregistreur d'image" idéal, vis à vis de la vision humaine. Le modèle est conçu pour la capture d'un objet unique, c'est à dire que le modèle donne les caractéristiques qu'un objet unique doit avoir pour être capturé par l'enregistreur idéal. On peut le décrire par l'équation suivante (Eq. 34), avec B la luminance de l'objet en footLamberts¹, C le contraste de l'objet comparé au background (en pourcentage) et α l'angle visuel sous lequel l'objet est vu par l'enregistreur.

$$BC^2\alpha^2 = \text{constante} \quad (34)$$

1.2 Observateur idéal & théorie de détection du signal

La définition d'un « observateur idéal » est basée sur une théorie appelée "détection du signal" (Signal Detection Theory). Cette théorie décrit la capacité d'un système à discerner un pattern spécifique au milieu d'autres patterns ou bien au milieu d'un bruit (voir Fig. 27). La théorie de détection du signal est également basée sur la théorie bayésienne qui est l'interprétation du concept de probabilités comme état de savoir -la forme est visible ou non- plutôt qu'une fréquence ou une propension d'apparition d'un phénomène. La théorie de détection du signal inclue également des probabilités de détection et des seuils de

1. NB : $1 fL \approx 3.426 cd/m^2$

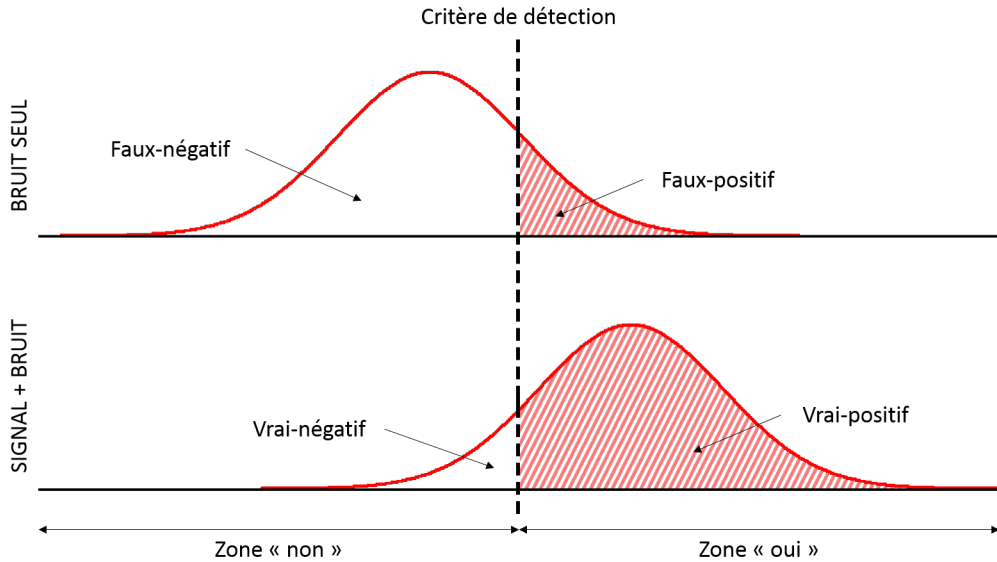


FIGURE 27 – Illustration de la théorie de détection du signal. Répartition des probabilités de détection autour d'un seuil de détection déterminé (critère de détection)

vision. Cependant, les observateurs idéaux sont utilisés pour une unique tâche bien spécifique (au contraire de la vision que se veut généraliste) telle que la détection de photon, la détection de forme, l'identification ...

1.3 Tableau de Burdea & Coiffet

La démarche de Burdea et Coiffet est celle qui se rapproche le plus de la notre. On a vu précédemment qu'ils considèrent que le système de Réalité Virtuelle, pas construction, implique l'intégralité des sens de l'homme. Ils notent également, qu'en dépit du risque de difficulté, « il apparaît hautement nécessaire d'évaluer ou de qualifier les systèmes de RV ». Ils vont même plus loin en « [se demandant] si les outils et les simulations de RV s'adressent correctement à l'homme, c'est à dire s'adressent à ses conformément à leurs habitudes de stimulation » [Burdea & Coiffet, 1993].

Burdea et coiffet posent plusieurs définitions nécessaire à l'évaluation des systèmes de Réalité Virtuelle :

- La reproduction sensorielle est la combinaison de l'excitation des récepteurs mais également de la contextualisation de cette excitation : le stimulus doit être cohérent avec les autres sens et la situation.
- L'évaluation est l'action de déterminer les qualifications du contrôle et de mesurer le respect de ces qualifications par le système.
- Le contrôle est l'interprétation par l'homme des informations qui s'adressent à ses sens.

Les auteurs mettent en avant la difficulté de séparation entre les qualités du système et celles de l'application. Ils proposent néanmoins trois grandes catégories de paramètres caractérisants la vision totale (voir Fig. 28). Ceux-ci se présentent en trois catégories : les conditions ergonomiques générales, les conditions physiologiques de vision et les conditions psychologiques de vision. On s'intéresse nous particulièrement à la deuxième catégorie, qui se décompose en sept paramètres :

- l'amplitude du champ de vision,
- la fréquence de rafraîchissement,
- le respect de la convergence du regard,
- la résolution spatiale de l'image,
- le niveau d'éclairement et de luminosité adapté à l'œil,
- la perception du relief,
- la discrimination des couleurs.

Si Burdea et Coiffet pointent un certain nombre de paramètres qu'ils convient de mesurer pour estimer la qualité de la reproduction sensorielle, ils restent néanmoins assez limités sur les valeurs à atteindre.

Pour la fréquence de rafraîchissement de l'image ils semblent considérer qu'une valeur entre 14 et 30 soit suffisante : à partir de 25 à 30 images par seconde, l'œil est parfaitement abusé, et on observe de forte dégradations de la performance en téléopération en dessous de 14 images par seconde.

Pour la perception du relief, ils se limitent à avancer que celle-ci résulte de la stéréo, bien qu'il existe aussi des indices monoscopiques.

Ils rappellent ensuite que la discrimination des couleurs est basée sur la discrimination visuelle qui englobe l'acuité visuelle, l'acuité de reconnaissance, l'acuité de détection et l'acuité de résolution. Toutes ces acuités sont influencées par la luminance, le contraste, la durée d'observation, le rapport de luminance dans la scène, le mouvement de la cible et l'éblouissement. De même, si on l'œil humain peut voir plusieurs millions de couleurs, il ne peut en voir que 8 à la fois.

Enfin, les auteurs mettent en avant la nécessité d'une faible latence, que ce soit pour la vision contemplative (le mouvement de l'environnement doit être synchronisé avec le mouvement de la tête) comme pour la réactivité du système qui doit être aux alentours des temps de réaction de l'homme, qu'ils estiment autour de 0.1 seconde soit 100 ms.

Conditions ergonomiques générales	<ul style="list-style-type: none"> • Appareils adaptés (taille, poids, ...) • Bien-être de l'observateur 								
Conditions physiologiques de vision	<ul style="list-style-type: none"> • Amplitude du champ de vision • Fréquence de rafraîchissement de l'image • Convergence du regard • Résolution spatiale de l'image • Perception du relief • Discrimination des couleurs • Niveau d'éclairement et de luminosité adapté à l'œil 								
Conditions psychologiques de vision	<table border="0" style="width: 100%;"> <tr> <td style="vertical-align: top; width: 50%;"> Vision contemplative </td> <td style="vertical-align: top; width: 50%;"> <ul style="list-style-type: none"> • Réalisme graphique de la scène </td> </tr> </table>	Vision contemplative	<ul style="list-style-type: none"> • Réalisme graphique de la scène 	<table border="0" style="width: 100%;"> <tr> <td style="vertical-align: top; width: 50%;"> Vision active </td> <td style="vertical-align: top; width: 50%;"> <ul style="list-style-type: none"> • Echelle 1:1 • Délais de réaction • Dérive du système </td> </tr> </table>	Vision active	<ul style="list-style-type: none"> • Echelle 1:1 • Délais de réaction • Dérive du système 	<table border="0" style="width: 100%;"> <tr> <td style="vertical-align: top; width: 50%;"> Vision rehaussée </td> <td style="vertical-align: top; width: 50%;"> <ul style="list-style-type: none"> • Mise en valeur artificielle • Ajouts de symboles, courbes, ... </td> </tr> </table>	Vision rehaussée	<ul style="list-style-type: none"> • Mise en valeur artificielle • Ajouts de symboles, courbes, ...
Vision contemplative	<ul style="list-style-type: none"> • Réalisme graphique de la scène 								
Vision active	<ul style="list-style-type: none"> • Echelle 1:1 • Délais de réaction • Dérive du système 								
Vision rehaussée	<ul style="list-style-type: none"> • Mise en valeur artificielle • Ajouts de symboles, courbes, ... 								

FIGURE 28 – Paramètres caractérisant la vision totale
 Figure reproduite de [Burdea & Coiffet, 1993]

CHAPITRE

2

SCORE DE RÉALISME

2.1 Ambition

On a vu dans les modèles présenté précédemment dans l'introduction, et notamment dans celui de Rose qui mêle dans une équation mathématique simple des grandeurs essentielles pour le réalisme (contraste, luminance, taille), une approche pragmatique de la définition du réalisme physiologique. Néanmoins, il manque toujours une dimension à ces modèles : les modèles de Rose et d'observateur idéal prédisent pour l'un les qualités optimales d'affichage et pour l'autre la moment à partir duquel l'œil humain va percevoir l'objet puis une description de la probabilité de plus en plus élevée de le percevoir, mais jamais les deux en même temps.

Au delà de ces modèles, on souhaite être capable de pouvoir quantifier le biais qu'il existe entre ce qui est affiché dans un environnement virtuel et la qualité de perception de l'utilisateur. C'est à dire non seulement être capable de dire quelles sont les conditions optimales pour que le système visuel humain interagisse avec l'affichage immersif mais aussi pouvoir apprécier les conditions non-optimales, tel le système de probabilité dans le modèle d'observateur idéal. On souhaite néanmoins réfléchir à une autre approche que celle probabiliste pour se rapprocher d'un démarche plus pragmatique.

Cette méthode pourrait alors indiquer à quel point l'interaction entre le système visuel humain et l'affichage est différente de l'interaction qui aurait lieu dans le monde naturel et ce de manière tangible, mesurée. Pour que l'évaluation soit fiable et répétable, la quantification doit être complètement objective et doit dépendre de critères physiques du système d'affichage (hardware).

On propose alors une évaluation de la performance d'un système via un score qui dépeindrait, pour un système immersif donné et pour une situation donnée, à quel point le

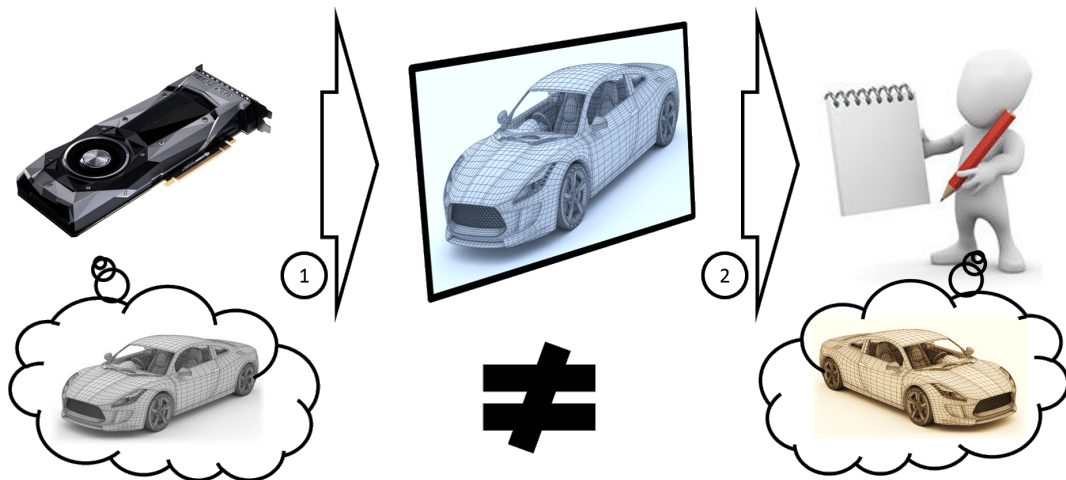


FIGURE 29 – Illustration de la différence qu'il existe entre les consignes données par la carte graphique (1) et les informations visuelles reçues par l'observateur (2).

simulateur est efficace pour transmettre le bon niveau d'informations visuelles et, étant dans un système de Réalité Virtuelle, le bon niveau d'indices d'immersion. De manière analogue à ce que proposent Burdea et Coiffet pour leurs critères physiologiques de vision, notre score ne doit pas dépendre de critères propres à l'environnement 3D et garder ainsi son indépendance vis à vis de la qualité de ce qui est affiché.

2.2 Méthodologie

On propose donc un système de score qui serait basé sur le système visuel humain. Ce score est en fait la réunion d'un certain nombre de sous-scores chacun lié à une caractéristique de la vision et/ou de l'immersion dépendante de la vision (c'est à dire les critères immersifs dérivés directement du système visuel ou du système en lui même). Chaque critère est jugé indépendamment puis contribue à la note globale via une pondération.

La première étape était donc logiquement d'avoir une connaissance et une compréhension approfondie du système visuel humain. Comme on a pu voir dans la première partie, qui présente cette étude de l'état de l'Art, on s'est intéressé d'abord au fonctionnement de l'œil en lui-même puis de ce qu'il se passe après, que ce soit le traitement nerveux ou le traitement par le cerveau. L'accent à ensuite été mis sur le contraste et la couleur qui sont des deux grandes caractéristiques de l'image ainsi que la perception visuelle de la profondeur. Enfin, certaines influences, classées ici abusivement comme « physiologiques », modifient le processus normal de la vision et doivent être, si possible, prises en compte.

Deuxièmement, une fois cette connaissance acquise il a fallut découper le processus de vision et les facteurs d'immersions en différents critères. Ce processus a été long et compliqué, et fait l'objet d'un chapitre pour le détailler (voir par la suite). Ces critères se veulent indépendants les uns des autres mais des relations ont quand même parfois été relevées entre certains critères. Par exemple, la précision de la vision dépend dans certains cas de la luminosité : une situation bien éclairée permet de voir bien plus précisément qu'une situation mal éclairée. Pour plus de simplicité et de clarté, on a regroupé les critères par

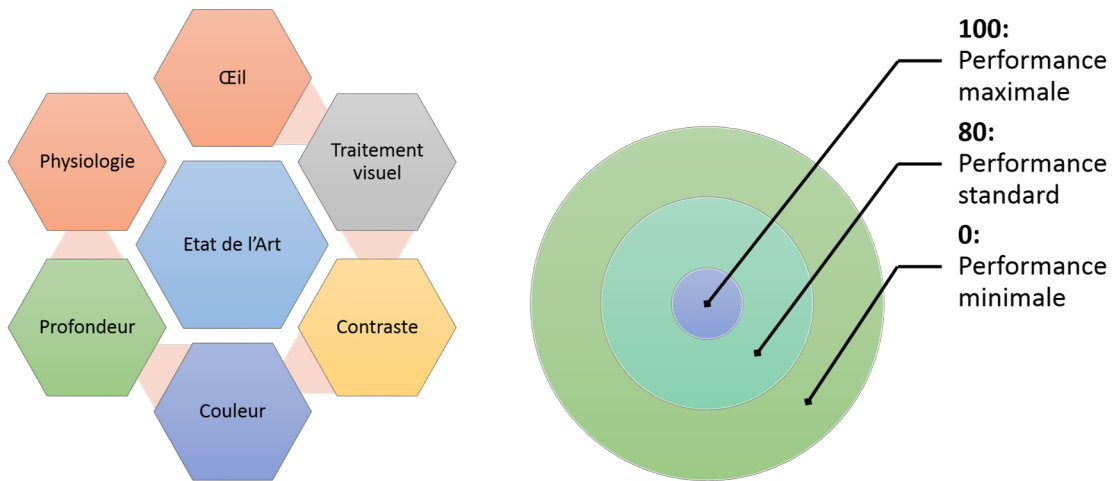


FIGURE 30 – Résumé des étapes d'état de l'Art pour la construction du modèle et répartition des objectifs de représentation des notes intermédiaires dans le score de réalisme.

domaine.

Troisièmement, une fois les critères établis, il convient de les évaluer. Pour ce faire, on propose d'attribuer une note comprise entre 0 et 100 à chacun des critères du modèle. Cette note modélise le fonctionnement du critère en question : la note de 0 représente les conditions dans lesquelles le système de vision n'est pas capable d'utiliser le mécanisme (ou peut l'utiliser mais n'en tire aucune information utile) tandis que la note de 100 représente le fonctionnement ou la performance maximal-e du mécanisme de vision. On rajoute également une note intermédiaire à 80 qui représente le fonctionnement nominal du mécanisme de vision. La valeur de 80 est plus probablement la valeur de score à viser car la valeur de 100 représente le maximum possible de l'œil humain et pourrait être considéré comme de la sur-qualité par rapport à la performance nominale. Il est évident que dans certaines applications, atteindre la valeur de 100 peut être une nécessité. Cette démarche est confortée par le fait que la Commission Internationale pour l'Eclairage (CIE) procède de la même manière (noter sur une valeur de 100 en adjugeant 80 à la valeur nominale) dans son modèle de performance visuelle en fonction de la luminosité et du contraste (que l'on abordera plus loin dans le manuscrit).

La notation en elle-même se fait, principalement, basée sur la littérature : on cherche les valeurs correspondantes aux fonctionnements minimal, nominal et maximal. On cherche ensuite une loi mathématique simple permettant de décrire l'évolution de la note en fonction des valeurs clefs du mécanisme visuel. Si on a pu appliquer cette méthode pour la majorité des cas, certains critères ne se prêtent pas à un tel traitement et ont bénéficié d'une notation particulière. Cette notation sera explicitée plus bas, au cas par cas, dans la présentation des critères retenus dans la dernière version du modèle.

CHAPITRE

3

PROPOSITION DE MODÈLE

Pour faciliter la lecture et la compréhension du chapitre, on propose d'expliquer sommairement ici certaines distinctions entre des termes proches qui seront utilisés. Tous ces termes seront explicités en détail par la suite dans les deux prochains chapitres.

L'« acuité monoscopique », aussi connue sous le nom d'acuité visuelle est définie par le *Vulgaris Médical*² de la sorte :

L'acuité visuelle est la capacité de discernement des informations apportées au cerveau par la vue. C'est la performance visuelle, elle mesure le pouvoir de l'œil à distinguer nettement les détails, avec et sans lunettes.

Elle ne doit pas être confondue avec « l'acuité stéréoscopique » qui est la capacité de l'œil à distinguer une très petite différence de profondeur à une distance donnée.

De même, le « champ de vision » est ce qu'un individu perçoit à un instant t sans possibilité de bouger la tête ou l'œil dans son orbite. Le « champ de regard » englobe tout ce qu'un individu peut voir en ayant le droit de bouger la tête et les yeux. Par définition, le champ de regard est donc plus grand que le champ de vision.

Enfin, la gamme dynamique (Dynamic Range en anglais) est, dans le domaine de l'image, le rapport entre le minimum et le maximum de luminance atteignable. Il est défini par rapport à la courbe de gamma obtenue avec un écran cathodique. Le HDR (ou High Dynamic Range) représente un ratio entre le minimum et le maximum de luminance possible supérieur au ratio standard. HDR sous entend en général une technique d'imagerie pour augmenter artificiellement les extrema lumineux pendant la capture d'image.

2. Acuité visuelle. Dans *Vulgaris Médical*. Consulté le 20/09/2017, <http://www.vulgaris-medical.com/encyclopedie-medicale/acuite-visuelle> (Lien court : <https://lc.cx/GfSj>)

3.1 Propositions préliminaires

Avant d'arriver à la modélisation finale du score (voir ci-après) nous sommes passé par un certain nombre de pistes et de modélisations. Nous allons présenter ici les différentes étapes qui ont vu le jour.

3.1.1 Première modélisation (Fig. 31)

Initialement, la proposition était de faire un score simple qui réunirait les critères de base, accompagné d'un score avancé qui servirait à raffiner l'évaluation du système. La composition du modèle est basée sur les capacités de la vision que sont l'acuité, l'attention périphérique, la coordination des yeux, la perception de la profondeur, le focus et la perception des couleurs. Si le focus reste un problème insoluble à cause du conflit accommodation-vergence toutes les autres capacités sont néanmoins traitables. Un critère répondant à la coordination des yeux n'est cependant pas encore proposé dans cette première modélisation. Le score simple était alors décliné selon les critères suivants :

- le contraste
- l'acuité monoscopique
- l'acuité stéréoscopique
- la latence
- le nombre d'images par seconde
- le respect de l'échelle 1 :1
- la couverture du nombre de couleurs visibles
- la taille de l'HDR

Tandis que le test avancé rajoutait en plus du score simple qui restait toujours à effectuer :

- le champ de vision
- le champ de regard
- les maximum et minimum de luminance

Le tout étant rassemblé dans une équation de somme pondérée (Eq. 35), avec Σ la valeur du score général du système, λ_i la pondération du critère i , σ_i la valeur observée du critère et F_{100} la fonction donnant la note entre 0 et 100 du critère.

$$\Sigma = \frac{1}{\sum_{i=1}^n \lambda_i} \sum_{i=1}^n \lambda_i F_{100,i}(\sigma_i) \quad (35)$$



FIGURE 31 – Première modélisation du score de réalisme.

3.1.2 Seconde modélisation (Fig. 32)

La seconde étape de la modélisation est assez proche de la première puisqu'on garde une liste quasiment similaire de critères de base : contraste, acuités monoscopique et stéréoscopique, images par seconde, couleur, luminosité et champ de vision. On retire le concept de score simple et de score avancé pour se concentrer sur un mélange des critères des deux scores précédemment envisagés en enlevant cependant les critères de champ de regard, de latence et d'échelle 1 :1. Ces trois derniers facteurs sont isolés dans une catégorie appelée « facteurs limitant » et doivent interdire à la note globale de passer au delà d'un certain seuil en fonction de leur valeur. Ces facteurs sont de type booléens : si le système propose une valeur moins bonne que celle demandé par le facteur limitant, la note globale est automatiquement tronquée.

Il était également envisagé de permettre un système de logique combinatoire entre les facteurs limitant. Par exemple, si le score de la latence est inférieur à 50 la note globale est tronquée à 90 alors que si le score de la latence est inférieur à 60 et que le score de champ de regard est inférieur à 40 le score final est tronqué cette fois à 75.

C'est à partir de cette modélisation qu'apparaissent les jalons spécifiques de performance : la note de 0 pour le minimum de performance possible ou acceptable, la note de 80 pour la performance standard du système visuel humain et la note de 100 pour sa performance maximale. Un jalon optionnel (en fonction de la littérature) à 60 pour une performance dite « acceptable » a même été un temps envisagé avant d'être rejeté faute de pertinence et de répétabilité sur tous les critères.

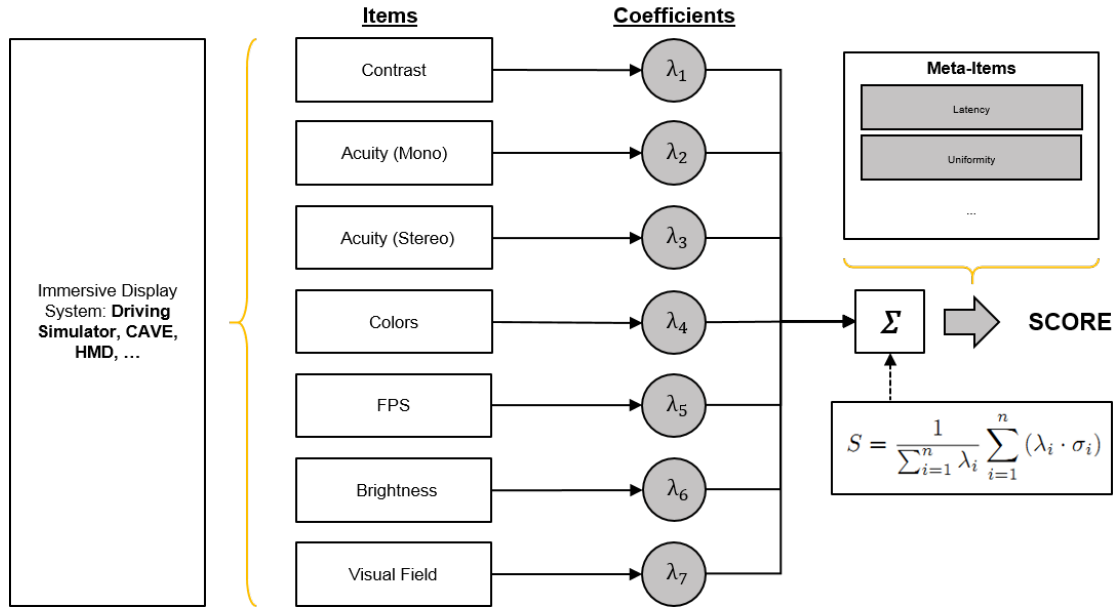


FIGURE 32 – Deuxième modélisation du score de réalisme.

3.1.3 Troisième modélisation (Fig. 33)

La troisième modélisation est sûrement celle qui introduit le plus de changements tant dans la structure que dans la réflexion et le nombre de critères retenus. Le nombre de critère est doublé, passant de 7 à 14. Le concept de facteurs limitant est supprimé. A l'inverse, les critères ne sont plus regroupés en un seul et même ensemble mais sont répartis dans 3 pôles : le pôle « Affichage », le pôle « Immersion » et le pôle « Observateur ». Le pôle observateur est construit à partir des critères extraits des autre pôles et nécessitant des informations sur la personne, typiquement sa position. Par exemple, dans un dispositif de type CAVE, la luminosité reste la même indépendamment de la position de l'utilisateur tandis que la taille perçue du pixel dépendra de la distance à l'écran.

Chaque pôle peut ainsi recevoir un score qui lui est propre et le système évalué peut avoir un score d'affichage honnête mais une mauvaise note en immersion sans que cela dégrade l'évaluation de l'affichage. On met ainsi en évidence trois scores de premier niveau : le score d'affichage, le score d'immersion et le score perceptuel (en rapport avec la catégorie observateur). Les scores d'affichage et d'immersion sont ensuite réunis dans un score technologique, par opposition au score perceptuel pour respecter la dichotomie réalisée entre les critères systémiques pur des critères nécessitant des informations sur l'observateur. Enfin, les scores technologique et perceptuel sont assemblés afin de donner le score global du système immersif évalué.

Si la majorité des critères ont une note basée sur des points clef de la littérature, certains points sont plus compliqués à aborder de la sorte étant donné qu'ils ont un fonctionnement plutôt binaire. On les appelle « critères booléens ». Les critères concernés sont les suivants : tracking, stéréoscopie, vergence et accommodation. Par exemple, le critère de stéréoscopie peut n'être jugé que sur la présence ou l'absence de stéréoscopie dans le système immersif. Pour ce critère en particulier, une piste de recherche sera évoquée plus loin.

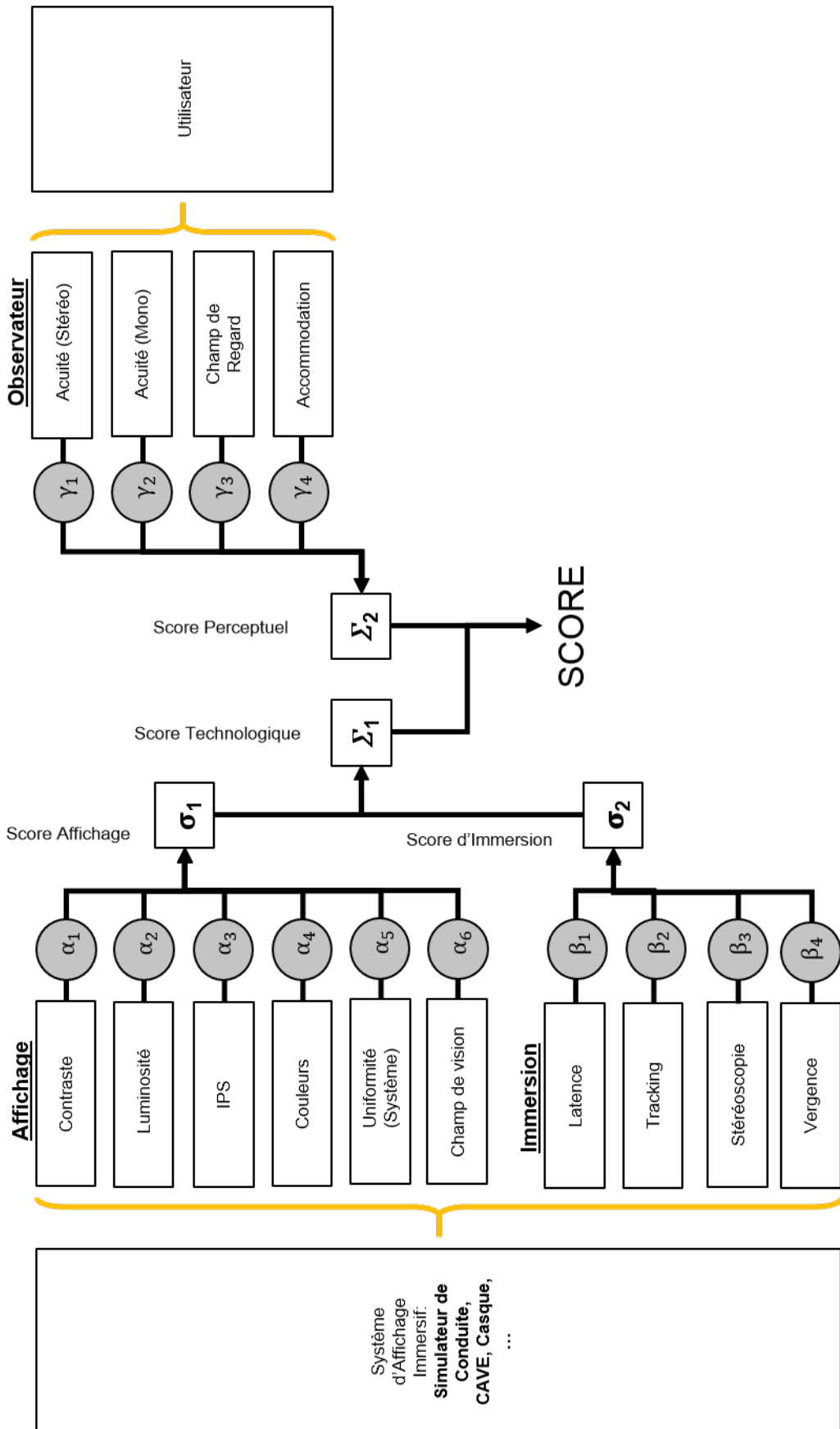


FIGURE 33 – Troisième modélisation du score de réalisme.

3.2 Modèle définitif

En définitive, après un certain nombre d’itérations, de reconstructions, de nouvelles réflexions et de correction -notamment grâce à l’avis de reviewers des publications qui présentent ce modèle de score- on parvient à une version que l’on estime satisfaisante.

On propose un modèle de score divisé en douze critères distribués en deux sections : une partie indices de vision et une partie indices d’immersion. La division des critères est faite telle que la première partie représente les informations qu’un œil recevrait à l’intérieur d’un simulateur tandis que la deuxième catégorie concerne ce que le système immersif offre à l’utilisateur pour participer à l’immersion. L’immersion est évidemment également réalisée via d’autres processus et nous avons seulement couvert les indices liés au hardware. Les critères sont répertoriés comme suit. Une vue d’ensemble du modèle est présentée Fig. 34.

- **Indices de vision :** contraste et luminosité (luminance), images par seconde, nombre de couleurs affichables, champ de vision, acuités monoscopique et stéréoscopique.
- **Indices d’immersion :** latence, champ de regard, stéréoscopie, tracking, uniformité et convergence des caméras (laquelle est directement liée au mouvement des yeux).

Les critères de luminance et de contraste sont fusionnés. De part la nature du contraste (un ratio de luminances) ces deux critères semblent indissociables. Le critère de vergence est simplement renommé en « convergence des caméras » car il portait à confusion. Le critère « Accommodation » qui jugeait de la présence ou non du conflit accommodation-vergence n’était pas pertinent car il n’existe aujourd’hui aucun système déployé industriellement¹ ne permettant de visualiser des images en 3D sans générer ce type de conflit ; il a donc été supprimé.

La plus grosse modification reste le passage en deux catégories contre trois dans la précédente modélisation. La catégorie observateur portait à confusion, regroupait des critères qui avaient toute légitimité pour être dans les deux autres catégories. Les critères (moins le critère Accommodation, supprimé) ont donc été redistribués dans leur catégorie légitime. Celles-ci sont en plus renommées de manière plus pertinente, pour correspondre plutôt au système, que l’on cherche à évaluer, et non à la vision humaine (sur laquelle on se base).

Maintenant que nous avons présenté comment le modèle se présentait, il convient de rentrer plus avant dans le détail et de présenter les critères retenus, un par un. A l’image des différentes modélisations du score, on présentera rapidement les étapes de notation quand elles existent.

1. Pour voir la liste des systèmes sans conflit accommodation-vergence, se rapporter à [Mehrabi *et al.*, 2013].

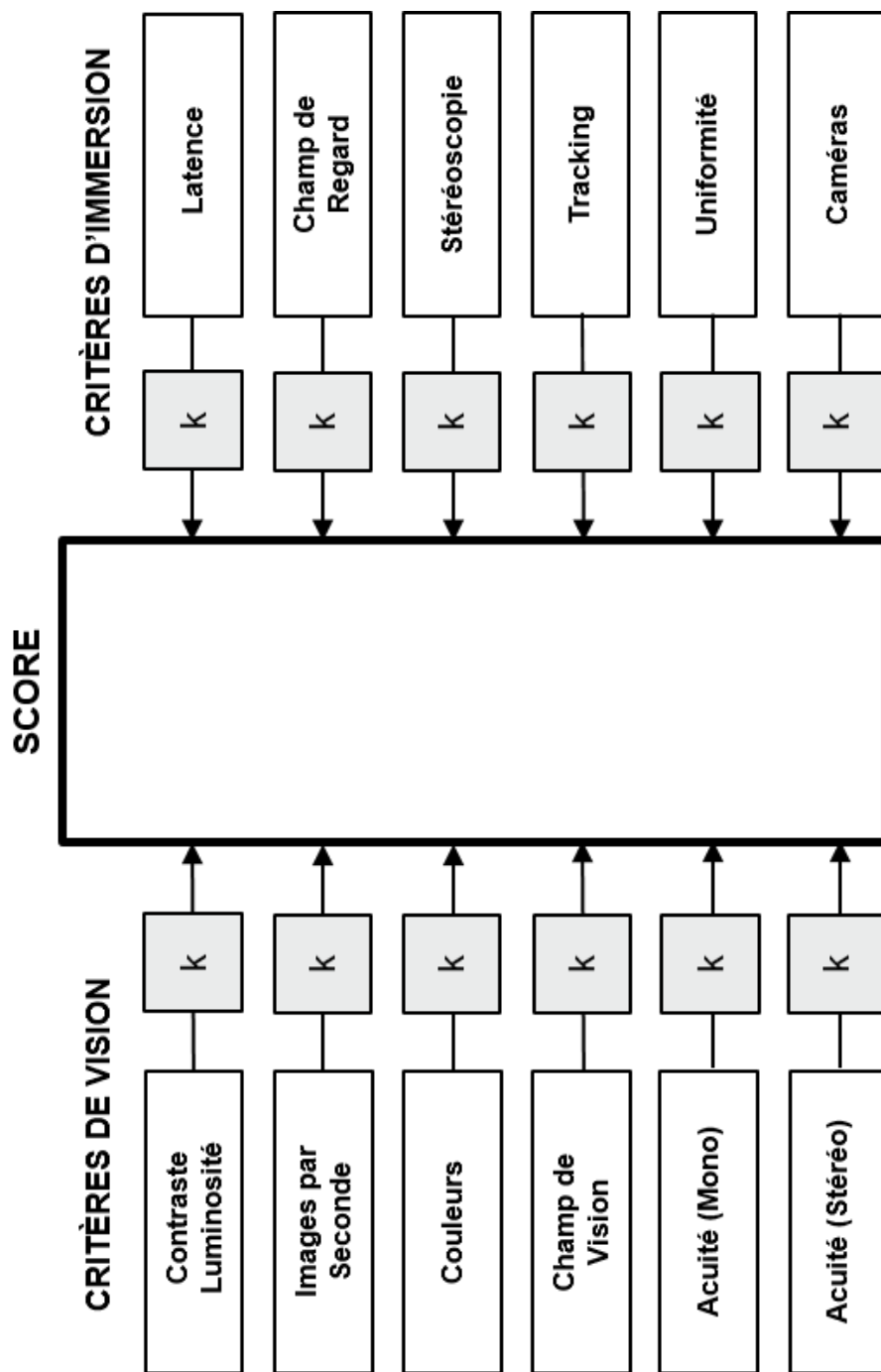


FIGURE 34 – Dernière modélisation du score de réalisme.

CHAPITRE

4

INDICES DE VISION

Nous allons maintenant présenter les différents indices placés dans la catégorie « vision », c'est à dire les indices fournis par l'environnement immersif qui participent uniquement à la vision et non pas à l'immersion. Ces indices sont les caractéristiques perçues par un œil fixe et immobile à un instant t dans le simulateur. On présente d'abord les valeurs clefs trouvables dans la littérature puis leur association à ces mêmes valeurs clefs (0, 80 et 100) du modèle, la génération de l'équation permettant d'attribuer la note entre 0 et 100 au critère et, quand c'est possible, le tracé de cette fonction.

4.1 Contraste & luminosité

Le contraste est théoriquement défini comme la différence en luminosité (ou en couleur) entre les parties claires et les parties sombres d'une image ou d'un objet. Le contraste est un élément très important du système de vision humain, notamment car ce dernier est plus sensible au contraste entre deux niveaux de lumière qu'à un niveau absolu. Comme il peut être fait classiquement en psychophysique, ce stimulus peut être divisé en deux parties : sa magnitude (la valeur brute) et sa résolution (son « pas » d'évolution).

On a pu voir les différentes approches théoriques pour le définir dans la première partie de ce manuscrit. Néanmoins il existe une d'autres approches de la gestion du contraste et de la luminance comme par exemple la fonction de sensibilité ou des modèles de performance visuelle. C'est vers ces pistes qu'on s'oriente.

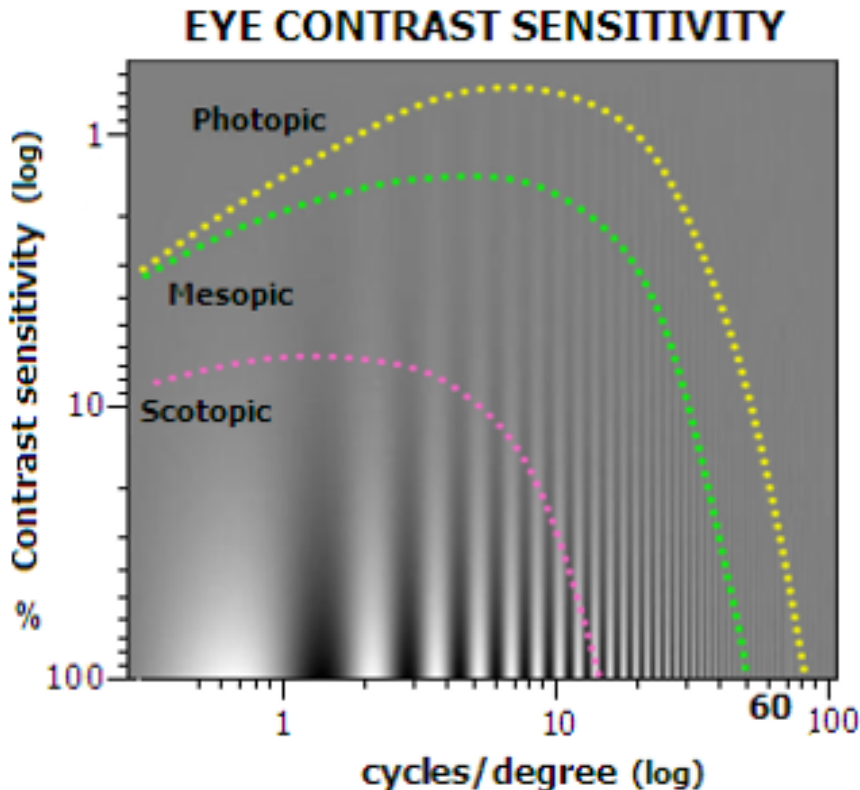


FIGURE 35 – Fonctions de sensibilité au contraste pour les domaines photopiques, scotopiques et mésopiques.

4.1.1 Fonction de sensibilité au contraste (CSF)

Les fonctions de sensibilité au contraste (CSF, pour « Contrast Sensibility Functions ») sont des courbes traçant le seuil à partir duquel l’œil humain est capable de distinguer une différence entre deux niveaux de gris. La Fig. 35 en est un exemple pour les trois domaines de luminosité : photopique (jour), scotopique (nuit) et mésopique (entre-deux). Tout ce qui se trouve sous la courbe est visible. Elles fonctionnent sur des mesures de seuil en cycles par degré (cpd). Les cpd sont la quantité d’alternance noir-blanc contenue dans un degré visuel.

Dans un premier temps, on estime que ces courbes ne sont pas suffisantes car elles ne donnent qu’un seuil en dessous duquel la perception est possible et au dessus duquel elle ne l’est pas. On ne peut en tirer aucune information sur la facilité ou la qualité de vision en dessous du seuil. Que l’on soit très proche ou très éloigné du seuil revient au même : on est dans la catégorie « voit ». On s’intéresse donc à d’autres approches sur le contraste qui nous permettraient de détailler ce qu’il se passe dans la partie visible du contraste. On s’oriente donc sur le concept de performance visuelle, que nous allons maintenant présenter.

4.1.2 Performance visuelle relative

La performance visuelle relative (RVP - Relative Visual Performance en anglais) est définie comme la capacité du système visuel humain à réaliser une tâche donnée, capacité transposée dans une valeur numérique comprise entre 0 et 1. Les paramètres d'entrée du modèle sont en général la luminance et le contraste pour une valeur de sortie unique et sous la forme d'une valeur (comprise entre 0 et 1, donc). De nombreux modèles de performance visuelle ont été développés, notamment dans les années 80, mais deux d'entre eux peuvent être particulièrement mis en avant : le modèle de la CIE (Commission International de l'Eclairage) [Blackwell, 1981] et le modèle de Rea [Rea, 1986].

Modèle de la CIE

Le modèle de la CIE a été construit sur la base d'un grand nombre de résultats expérimentaux issus de nombreux chercheurs différents. Leur but était d'arriver à un outil pour aider à choisir les meilleures conditions d'éclairage pour les ateliers d'usine de manière à ce que les ouvriers travaillent au rendement maximal. En plus de la luminance et du contraste, le modèle nécessite également l'âge et le « niveau de demande de la tâche » comme paramètres d'entrée.

Modèles de Rea et Ouellette

Le modèle de Rea est plus simple mais ses auteurs le déclarent plus précis que celui de la CIE. Leur modèle ne prend en entrée que la luminance de la tâche et la luminance du background de la tâche. Mark S. Rea présente une première version de son modèle en 1986 [Rea, 1986] puis une version raffinée en 1991 [Rea & Ouellette, 1991]. Dans ce dernier modèle, trois paramètres de plus ont été rajoutés : l'âge, la taille de la tâche à réaliser et la luminance d'adaptation (quantité de lumière à laquelle les yeux ont adapté la taille de leur pupille). Ce modèle permet de tracer les graphes visibles en Fig. 36. Ces courbes représentent la performance visuelle en fonction de la luminosité et du contraste pour une taille d'objet vu donnée : la courbe de gauche, plus prononcée, concerne un objet plus petit que celui pour la courbe de droite, moins prononcée.

Vers une vérification expérimentale

Néanmoins, ces deux modèles n'ont pas été pensés pour la Réalité Virtuelle et pourraient ne pas s'inscrire dans une utilisation directe dans notre modèle de score de réalisme, en lieu et place du critère de luminance et de contraste. Une expérimentation a été réalisée pour confirmer ou infirmer cette hypothèse, notamment à propos du modèle de Rea (voir partie suivante). L'objectif serait de mettre à l'échelle entre 0 et 100 les résultats entre 0 et 1 du modèle de performance visuelle. Il est à noter que dans son modèle la CIE définit la valeur de 0.8 (80 ramené à notre échelle) comme la performance standard.

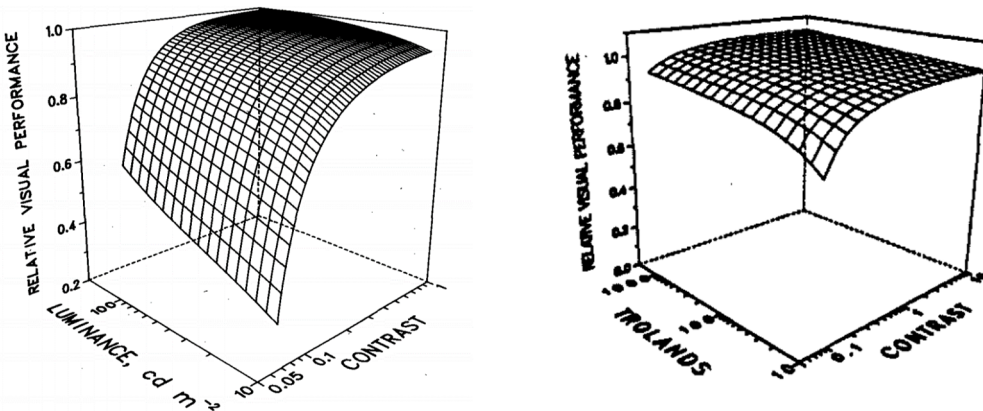


FIGURE 36 – Exemple de performance visuelle pour deux tailles de cible différentes

4.2 Images par seconde

Attribuer des valeurs spécifiques, discrètes, aux phénomènes qui composent la vision peut sembler peu naturel tant le processus de vision est continu [Bear *et al.*, 2007]. Néanmoins, c'est un exercice auquel on se risque et il existe un certain nombre d'effets notables qui n'apparaissent qu'à certains nombres d'images par seconde (frame rate).

4.2.1 Minimum de fonctionnement

Premièrement, la perception du mouvement n'est pas basée (comme cela a été suspecté pendant longtemps) sur la persistance rétinienne mais sur deux illusions perceptuelles : l'effet *phi* et le mouvement *bêta* [Nichols & Lederman, 1980]. La persistance rétinienne est un phénomène passif laissant une image rémanente sur la rétine pendant un court instant. L'effet *phi* est une illusion de mouvement, cette fois active, dans le cerveau et le traitement des images, pour un système en boucle fermée. Le mouvement *bêta* est lui aussi une illusion d'optique active mais pour les systèmes ouverts. Ces effets sont illustrés en Fig. 37). Ils apparaissent à partir de 16 images par seconde. En dessous de cette valeur, aucun mouvement n'est perçu, seulement une suite distincte d'images.

4.2.2 Phénomène de scintillement (flickering)

Deuxièmement, un autre grand phénomène induit par la vision en informatique est le « flickering », le clignotement/scintillement de l'écran. Ce phénomène intervient quand le frame rate est trop lent et que l'œil devient capable de percevoir un effet de diminution/changement de luminosité (fading) entre les images. Driscoll [Driscoll *et al.*, 1978], en s'appuyant sur les travaux de Landis [Landis, 1954] et de de Lange [de Lange Dzn, 1958a,b], a travaillé sur la détermination de la fréquence critique de clignotement pour l'œil, c'est à dire la fréquence au delà de laquelle le cerveau ne perçoit plus de clignotement. La fréquence critique de clignotement semble être basée sur un ratio appelé « ratio d'ondulation » ou « ratio ondulatoire » (*ripple ratio* en anglais) qui se calcule de la manière

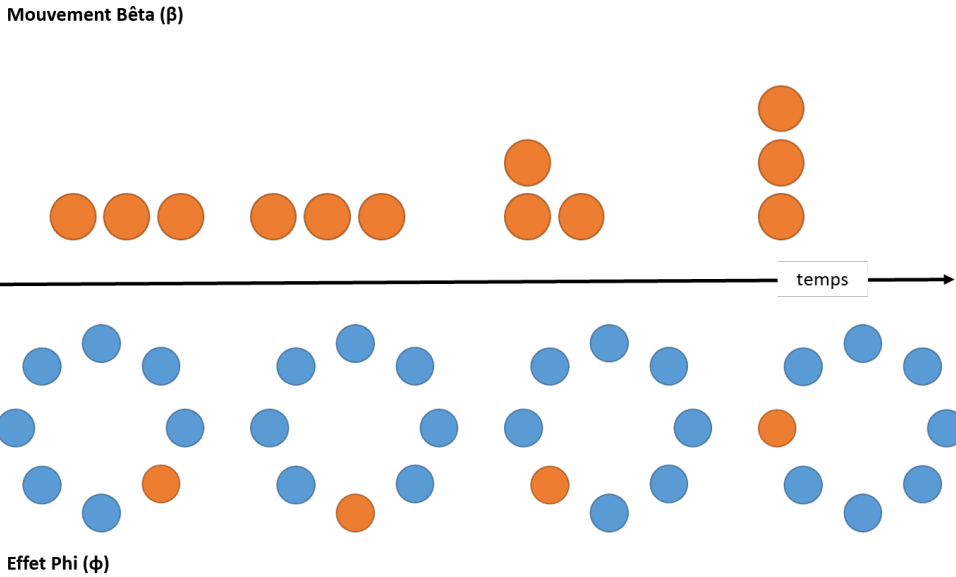


FIGURE 37 – Illustration du « mouvement beta » et de l'« effet phi »

suivante (Eq. 36) :

$$r = \frac{\text{Amplitude de l'harmonique fondamentale}}{\text{Luminance moyenne}} \quad (36)$$

En utilisant les courbes établies par Driscoll, les courbes de la fonction de transfert de modulation temporelle, quel que soit le ratio ondulatoire, c'est à dire quelle que soit la nature de l'onde lumineuse, la fréquence critique de clignotement, quelle que soit la luminance, est de 70 Hz.

4.2.3 Maximum de fonctionnement

L'hypothèse des deux voies

D'autres valeurs viennent des voies dorsale et ventrale. Pour rappel, la théorie de deux voies est le postulat principal permettant d'expliquer la manière dont le cerveau traite les informations visuelles arrivant des nerfs optiques. Une fois dans le cerveau, l'information est divisée en deux boucles de traitement [D'hondt, 2011; Ungerleider & Mishkin, 1982]. La première, la voie dorsale ou pariétale, est la boucle « où » et s'occupe d'extraire la direction et le mouvement du flux d'image qui arrive. L'autre voie, la voie ventrale ou temporale, dite boucle du « quoi », s'occupe d'extraire la forme, la couleur et la texture. Les deux voies fonctionnent supposément à des fréquences autour de, respectivement, 200 Hz et 25 Hz, ce qui est corrélé par le fait que l'une est rapide et l'autre lente [D'hondt, 2011], par le nombre de cortex différents par lesquels ces voies passent [D'hondt, 2011] et par les latences propres de chaque cortex [Bullier, 2001]; cependant, aucunes valeurs précises n'ont été scientifiquement établies.

Les pilotes de l'US Air Force

Parallèlement, l'US Air Force aurait conduit des expériences sur ses pilotes de chasse pendant lesquelles ceux-ci étaient capables de reconnaître un modèle d'avion sur des images flashées à 1/220ème de seconde¹. Même si cela ne constitue pas une preuve scientifique en tant que telle, cela vient renforcer l'hypothèse des deux voies sur la fréquence maximale associable au traitement visuel. A la différence du minimum de fonctionnement où des phénomènes sont clairement établis avec des fréquences de fonctionnement claires, on ne peut ici fonctionner que sur des approximations.

4.2.4 Fonction de notation du critère

Ainsi, en utilisant les trois valeurs clefs précédemment présentées : le nombre minimal de frame rate pour percevoir le mouvement (16 Hz), la fréquence critique de clignotement (70 Hz) et la fréquence supposée de la voie dorsale (200 Hz), on peut assembler un modèle mathématique et en tirer une courbe. Dans le cas de ce critère, avec f le nombre d'images par seconde du système de visualisation, on présente l'équation suivante (Eq. 37), dont le tracé est donné en Fig. 38 :

$$F_{FPS}(f) = \begin{cases} 0 & f < 16 \\ 126.5 - \frac{367.1}{\sqrt{f-7.6}} & \text{sinon} \\ 100 & f > 200 \end{cases} \quad (37)$$

Finalement, il doit être noté que toutes ces valeurs clefs sont définies pour un œil unique et donc qu'elles doivent être multipliées par deux dans le cas d'un usage en stéréoscopie active (c'est à dire avec une image sur deux présentée à chaque œil) pour une imagerie 3D. De plus, ces fréquences sont les nombres d'images par seconde effectifs, c'est à dire ceux qui sont réellement affichés par l'écran et non pas les nombres d'images par seconde du hardware (en sortie de carte graphique par exemple) qui sont en général plus élevés à cause de principe de Shannon (plusieurs occurrences d'un signal sont nécessaires pour son échantillonnage).

4.3 Couleurs

4.3.1 Dénombrement des couleurs visibles

La première approche serait d' essayer d'estimer le nombre de couleurs réellement visibles (discernables) par un œil humain. Cette entreprise a été tentée un certain nombre de fois [Kuehni, 2015; Linhares *et al.*, 2008; Perales *et al.*, 2008; Pointer, 1980; Pointer & Attridge, 1998; Wen, 2006] sans jamais faire preuve d'un succès éclatant : les estimations varient entre 100.000 et 10 millions de couleurs visibles.

1. Human Eye Frames Per Second. Dans *AMO.net America's Multimedia Online*. Vu sur <http://amo.net/nt/02-21-01fps.html>.

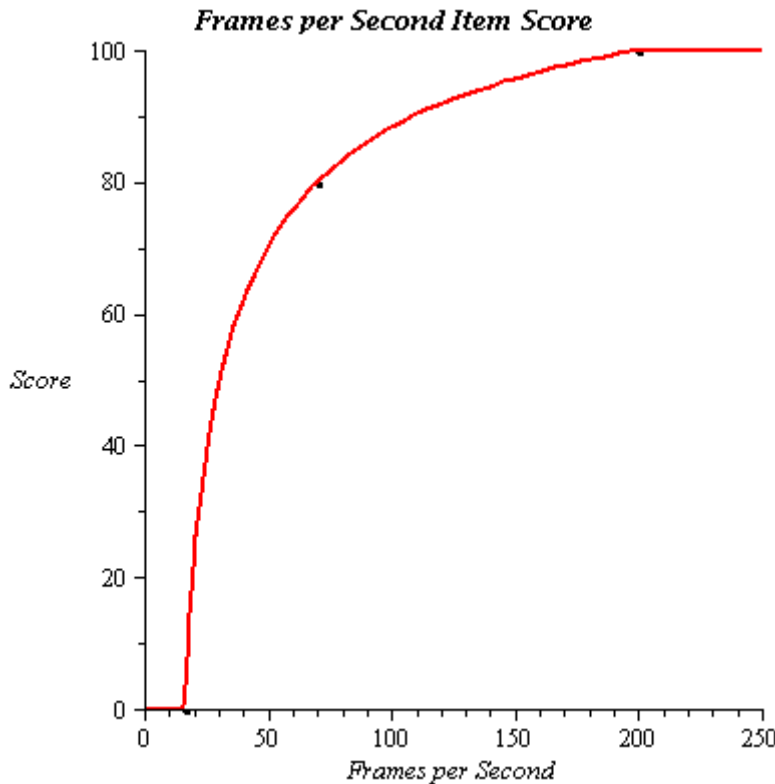


FIGURE 38 – Tracé de la fonction de notation du critère « images par seconde »

Les estimations se font mathématiquement : soit en utilisant les équations de différentiation des couleurs, soit en recalculant des observateurs réels pour les comparer à l'observateur idéal établi par la CIE (voir la première partie et le chapitre sur la couleur).

4.3.2 Les espaces colorimétriques

A défaut d'avoir une estimation validée du nombre de couleurs perceptibles et de pouvoir proposer une méthode pour calculer facilement ce même nombre dans un simulateur pour ensuite les comparer, on se tourne vers les espaces colorimétriques.

En 1931, la Commission Internationale de l'Eclairage (CIE) a établi la définition de l'espace colorimétrique RGB. Cet espace de couleur représente l'ensemble des couleurs (non dénombrées) qui peuvent être vues par un observateur normal possédant les trois types de cônes. Cependant, il n'existe encore aucune technique pour afficher 100% des couleurs théoriquement incluses dans l'espace RGB. Chaque système utilise une fraction de cet espace de couleur qu'on appelle « gamut » et qui dépend de trois (ou plus suivant les espaces) couleurs primaires choisies spécifiquement par la norme. Dans la table suivante (Table. 2), on présente un certain nombre de normes avec la proportion d'espace colorimétrique couverte par leur gamut. Il est à noter que dans le cas de la norme ProPhoto RGB, 13% des couleurs atteignables sont en fait des couleurs imaginaires à cause de couleurs primaires qui sont prises hors de l'espace RGB de 1931. Empiriquement, l'acceptation commence à partir d'Adobe RGB. Fig. 39

TABLE 2 – Gamuts Coverage of 1931 Color Space

BR.709 (HDTV)	35.9%
Adobe RGB	52.1%
Digital Cinema	53.6%
BT.2020 (UHD)	75.8%
Wide-Gamut RGB	77.6%
ProPhoto RGB	90.0%

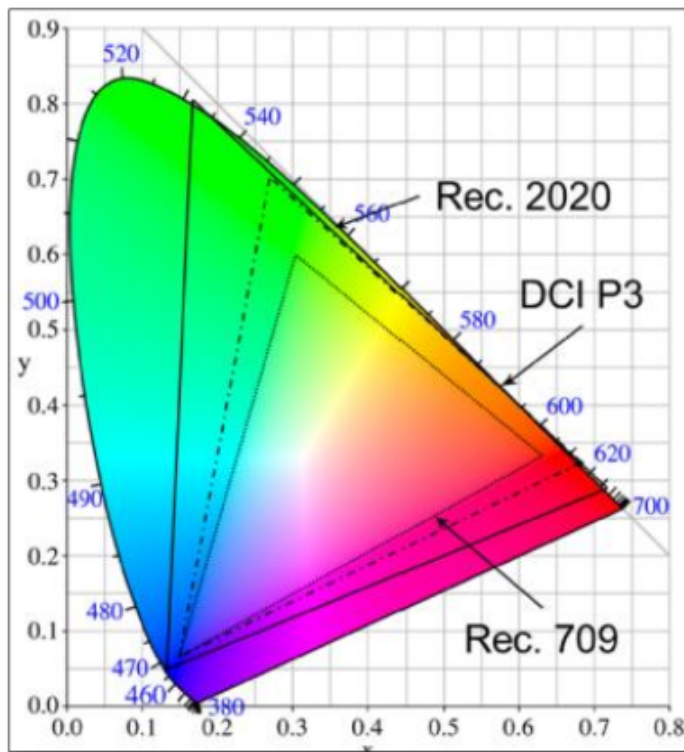


FIGURE 39 – Tracé de différents gamuts sur l'espace colorimétrique CIE RGB 1931.

4.3.3 Indice de rendu des couleurs (IRC)

La piste de l'indice de rendu des couleurs (IRC) est une piste élégante, qui, à l'instar du critère de contraste et de luminosité propose une méthode donnant directement une valeur entre 0 et 1 et donc transposable au score de réalisme.

Néanmoins, l'IRC est une valeur qui compare le spectre lumineux d'une lampe (dans notre cas, cela pourrait être un projecteur dans un simulateur) avec le spectre d'une lampe de référence, sensé être complet. C'est donc principalement deux problèmes qui nous empêchent d'implémenter cette solution dans notre modèle : l'indice est dévolu aux lampes et non aux écrans, ce qui restreindrait le champ d'action de notre score de réalisme ; et surtout, la comparaison est faite par rapport à une lampe idéale et non par rapport au système visuel humain. On laisse donc de côté cette piste pour revenir à une modélisation plus simple mais plus proche de l'objectif fixé de proximité avec le système visuel humain.



FIGURE 40 – Tracé de la fonction de notation du critère « couleurs »

4.3.4 Fonction de notation du critère

Notre proposition de notation pour le critère de couleur est donc réduite à une fonction linéaire entre le score et le pourcentage de couverture de l'espace RGB 1931 auquel le système peut prétendre (Fig. 40). Ce pourcentage vient directement de-s espace-s colorimétrique-s impliqué-s dans la chaîne de rendu et d'affichage. La fonction de score pour ce critère est donc, avec c le pourcentage de couverture de RBB 1931 par le gamut :

$$F_{color}(c) = \begin{cases} c & \\ 100 & c > 100 \end{cases} \quad (38)$$

Il pourrait être intéressant de réaliser une expérimentation sur les besoins en couleurs (à différencier de l'appréciation du nombre de couleurs) en comparant par exemple des populations novices avec des populations expertes. Néanmoins faute de temps et de moyens (aujourd'hui encore aucun appareil commercial n'est capable d'afficher l'intégralité de l'espace RGB 1931) ce ne sera pas réalisable le temps de la thèse.

4.4 Champ de vision

Le champ de vision (FOV - Field of View en anglais) est défini comme la portion d'espace qu'une personne peut voir à un instant t , sans bouger la tête. Il ne doit pas être confondu

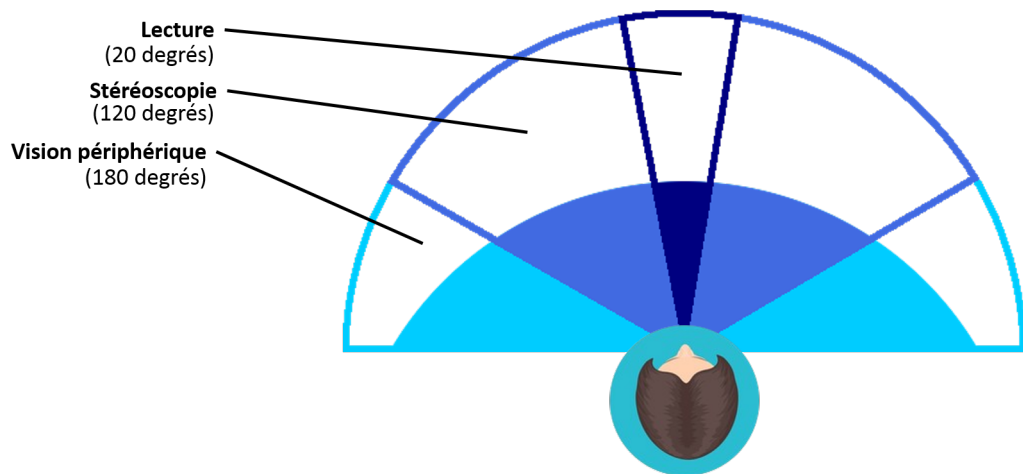


FIGURE 41 – Répartition des zones visuelles sur l’axe horizontal du champ de vision.

avec le champ de regard (FOR - Field of Regard en anglais) qui est la portion d'espace totale que l'on peut voir au cours du temps lorsque les mouvements de la tête et des yeux sont pris en compte.

Le champ de vision se décompose en deux orientations : l'axe vertical et l'axe horizontal. On propose deux ensembles de valeurs, un par axe, pour la notation. Les deux axes seront ensuite pondérés l'un par rapport à l'autre. On fait l'hypothèse que cette pondération se fait par rapport à leur taille respective. La valeur du champ de vision que l'on mesure pour introduire dans le score doit être prise pour la position standard du sujet dans l'environnement immersif (que ce soit la position du corps ou l'orientation de la tête).

4.4.1 Axe horizontal

Certaines des valeurs les plus communes admises pour le champ de vision horizontal sont recensées chez [Devisme, 2004]. Sur l'angle d'azimut (horizontal), avec les deux yeux, un être humain normal peut voir sur 170 à 190 degrés. A l'intérieur de cet angle d'azimut, seuls 120 degrés (centrés) permettent de voir binoculairement. La vision binoculaire est possible grâce à la superposition des portions d'espace vues par chaque œil simultanément. L'acuité maximale est atteinte dans la zone foveale soit entre 3 et 5 degrés de portion d'espace, au centre de la vision. La lecture n'est possible que dans un angle de 20 degrés tandis que la reconnaissance des formes est possible jusqu'à 40 degrés et la reconnaissance des couleurs jusqu'à 60 degrés. Ces différentes valeurs sont résumées dans la Fig. 41. L'équation propre à l'axe horizontal est, avec h la valeur en degrés du champ de vision horizontal (H-FOV) calculé dans le système immersif (Eq. 39) :

$$F_h(h) = \begin{cases} 0 & h < 20 \\ 19.6\sqrt{h} - 0.5 \cdot h - 78.3 & \text{otherwise} \\ 100 & h > 180 \end{cases} \quad (39)$$

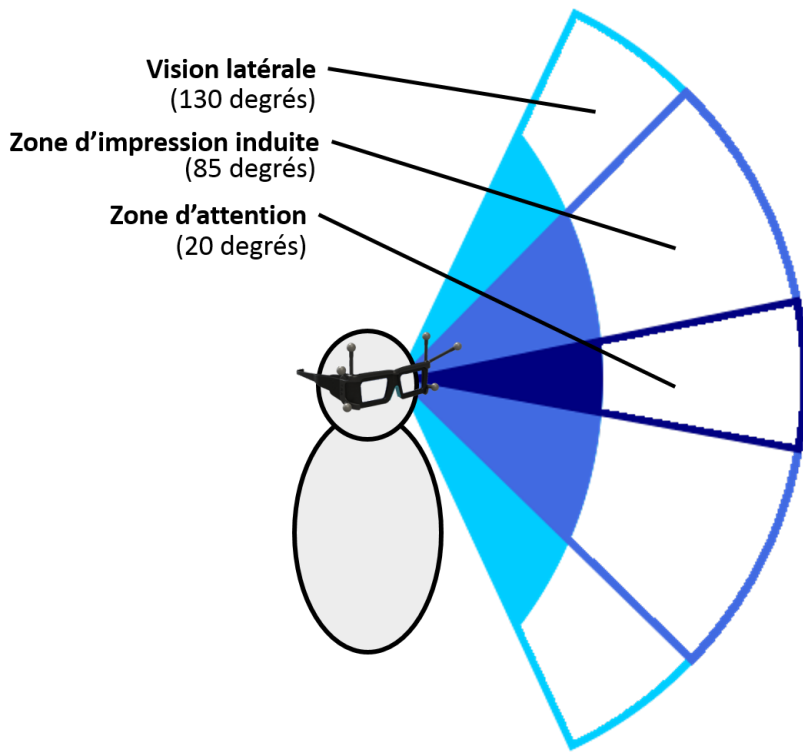


FIGURE 42 – Répartition des zones visuelles sur l’axe vertical du champ de vision.

4.4.2 Axe vertical

On retient trois valeurs caractéristiques parmi les nombreuses qu’on peut trouver dans la littérature pour le champ de vision vertical. La première correspond à la totalité de la vision latérale sur l’axe vertical : 130 degrés. On retient aussi les angles d’impression induite (85 degrés) et de vigilance (20 degrés) [Langlois, 2013] (Fig. 42). L’équation propre à l’axe vertical est, avec v la valeur en degrés du champ de vision vertical (V-FOV) (Eq. 40) :

$$F_v(v) = \begin{cases} 0 & v < 20 \\ 32.0\sqrt{v} - 1.1 \cdot v - 121.1 & \text{otherwise} \\ 100 & v > 130 \end{cases} \quad (40)$$

4.4.3 Pondération

On pose notre propre hypothèse d’égale importance des axes verticaux et horizontaux dans le champ de vision. Cette hypothèse est une sorte de « cas général ». On verra par la suite que l’on sera amené à la modifier. On pondère donc les deux sous-critères en fonction de leur taille maximale respective (180 degrés pour l’axe horizontal et 130 pour l’axe vertical)

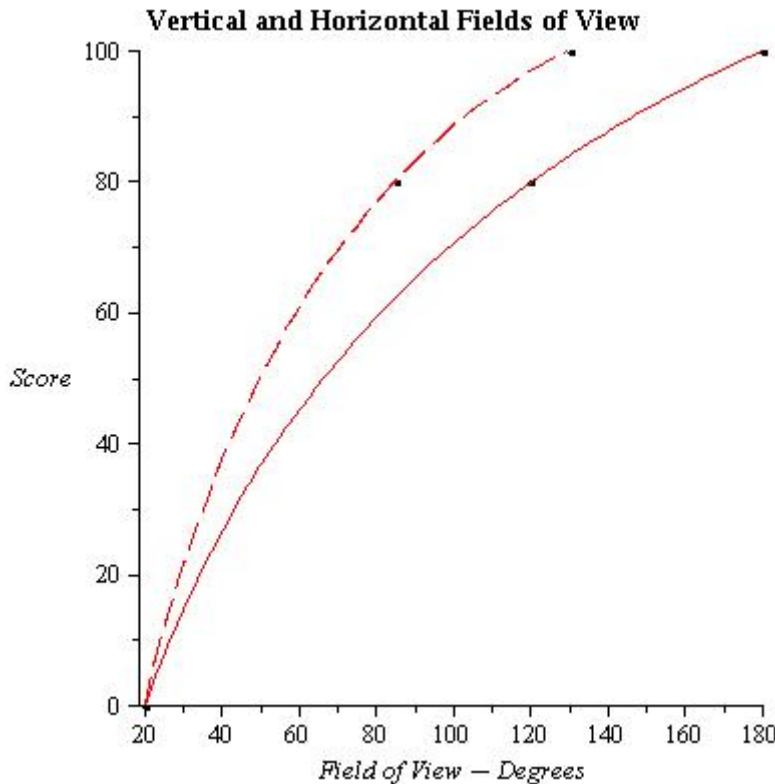


FIGURE 43 – Tracé de la sous-fonction horizontale de notation du critère « champ de vision » (ligne continue) et de la sous-fonction verticale (pointillés).

(Eq. 41) :

$$\begin{cases} k_h = \frac{180}{180+130} = 0.58 \\ k_v = 1 - k_h = 0.42 \end{cases} \quad (41)$$

4.4.4 Fonction de notation du critère

Au final, la fonction de notation du critère de champ de vision est l'agrégation des précédentes équations via une pondération et s'apparente comme suit (Eq. 42) :

$$F_{FOV}(h, v) = k_h \cdot F_h(h) + k_v \cdot F_v(v) \quad (42)$$

4.5 Acuité monoscopique

4.5.1 Première approche

Notre première approche était de se raccrocher à un tableau établi par la « classification internationale des maladies » (CIM), publié par l'Organisation Mondiale de la Santé

RANGES (ICD-9-CM)		EQUIVALENT NOTATIONS		TRUE SNELLEN FRACTIONS (numerator = test distance)					Magnification Requirement	Visual Acuity Score (letter count)	
		Decimal	US	6.3 m	6 m (Britain)	5 m (Europe)	4 m (ETDRS)	1 m (Low Vision)	MAR (1/V)	Log MAR	
(Near-) Normal Vision	Range of Normal Vision	1.6	20/12.5	6.3/4	6/3.8	5/3.2	4/2.5	1/0.63	0.63	-0.2	110
	Mild Vision Loss	1.25	20/16	6.3/5	6/4.8	5/4	4/3	1/0.8	0.8	-0.1	105
Low Vision	Moderate Vision Loss	1.0	20/20	6.3/ 6.3	6/6	5/5	4/4	1/1	1.0	0	100
	Moderate Vision Loss	0.8	20/25	6.3/8	6/7.5	5/6.3	4/5	1/1.25	1.25	+0.1	95
	Severe Vision Loss	0.63	20/32	6.3/10	6/9.5	5/8	4/6.3	1/1.6	1.6	0.2	90
	Severe Vision Loss	0.5	20/40	6.3/12.5	6/12	5/10	4/8	1/2	2.0	0.3	85
(Near-) Blindness	Profound Vision Loss	0.4	20/50	6.3/16	6/15	5/12.5	4/10	1/2.5	2.5	0.4	80
	Profound Vision Loss	0.32	20/63	6.3/20	6/19	5/16	4/12.5	1/3.2	3.2	0.5	75
	Near-Blindness	0.25	20/80	6.3/25	6/24	5/20	4/16	1/4	4	0.6	70
	Blindness	0.20	20/100	6.3/32	6/30	5/25	4/20	1/5	5	0.7	65
		0.16	20/125	6.3/40	6/38	5/32	4/25	1/6.3	6.3	0.8	60
		0.125	20/160	6.3/50	6/48	5/40	4/32	1/8	8	0.9	55
		0.10	20/200	6.3/ 6.3	6/60	5/50	4/40	1/10	10	+1.0	50
		0.08	20/250	6.3/80	6/75	5/63	4/50	1/12.5	12.5	1.1	45
		0.063	20/320	6.3/100	6/95	5/80	4/63	1/16	16	1.2	40
		0.05	20/400	6.3/125	6/120	5/100	4/80	1/20	20	1.3	35
		0.04	20/500	6.3/160	6/150	5/125	4/100	1/25	25	1.4	30
		0.03	20/630	6.3/200	6/190	5/160	4/125	1/32	32	1.5	25
		0.025	20/800	6.3/250	6/240	5/200	4/160	1/40	40	1.6	20
		0.02	0/1000	6.3/320	6/300	5/250	4/200	1/50	50	1.7	15
		0.016	20/1250	6.3/400	6/380	5/320	4/250	1/63	63	1.8	10
		0.0125	20/1600	6.3/500	6/480	5/400	4/320	1/80	80	1.9	5
		0.01	20/2000	6.3/ 6.30	6/600	5/500	4/400	1/100	100	+2.0	0
		---	---	---	---	---	---	---	---	---	---
					No Light Perception (NLP)						

FIGURE 44 – Classification ICD-9-CM

On cherche à établir un lien entre les colonnes encadrées : l'acuité, et le score.

(OMS). L'objectif est de permettre l'analyse systématique des maladies et autres affections du corps. On s'intéresse ici à la partie relative aux trouble de la vision et plus particulièrement à l'acuité. On utilise la version cliniquement modifiée de la 9ème révision de cette classification, ICD-9-CM, sortie en 1975. La 10ème révision, ICD-10 ne faisant pas encore l'unanimité et ne rajoutant que d'autres entrées sans modifier celle ci.

La Fig. 44 montre les différentes acuités possibles pour l'œil humain (encadré en bleu), associées avec le type de vision et surtout un score équivalent (encadré en bleu). Ce score est néanmoins peu adapté à notre utilisation, d'abord parce qu'il dépasse la note de 100 mais surtout parce qu'il englobe des acuités bien trop faibles pour être transposées en taille de pixel dans un simulateur. De plus il correspond à des défauts de vision plus qu'à des capacités de vision. On s'oriente alors vers une autre approche.

4.5.2 Deuxième approche

L'acuité monoscopique est la précision de l'œil humain, sa résolution ; c'est à dire à quel point la plus petite chose qui peut être vue peut être petite ou bien quelle est le plus petit écart perceptible entre deux motifs. Ce concept peut être directement lié à la taille du pixel sur un écran : plus le pixel est petit plus l'image est précise. Néanmoins, à partir d'une certaine taille, le pixel devient plus petit que la résolution de l'œil et devient alors invisible, et donc, pas forcément très utile.

Habituellement, on estime que le système visuel humain a une acuité monoscopique com-

prise entre 30 secondes d'arc et 2 minutes d'arc, avec une moyenne à 1 minute d'arc [Fuchs *et al.*, 2003]. Ces valeurs peuvent être, dans des conditions photopiques d'éclairage, raffinées en fonction de la tâche [Gross *et al.*, 2008] (voir Tab. 3).

 TABLE 3 – Acuité de l'œil, [Gross *et al.*, 2008]

Task	Acuity
Reconnaissance de forme	5'
Résolution d'une grille	2'
Résolution deux points (couleurs identiques)	1'
Résolution deux points (couleurs inversées)	30"
Acuité de Vernier (fines lignes droites parallèles)	10"
Acuité stéréoscopique	5"

La résolution de Vernier n'est atteignable que dans certains conditions spécifiques et l'acuité stéréoscopique est un sujet à part, traité avec une autre approche, décrite dans la section suivante. De plus, Deering a montré que la plus petite résolution possible sur un écran est de 28 secondes d'arc [Deering, 1998]. C'est pourquoi on ne retient que les valeurs entre 5 minutes d'arc et 30 secondes d'arc.

4.5.3 Fonction de notation du critère

L'équation qui est proposée depuis ces valeurs, avec α l'angle sous lequel le pixel est vu, en minute d'arc (Eq. 43, tracé en Fig. 45) est la suivante :

$$F_{mono_acuity}(\alpha) = \begin{cases} 0 & \alpha > 3.5 \\ 128.9 - 68.8\sqrt{\alpha} - \frac{0.1}{\alpha} & \text{else} \\ 100 & \alpha < \frac{1}{6} \end{cases} \quad (43)$$

4.6 Acuité stéréoscopique

4.6.1 Première modélisation

Modèle usuel

L'acuité stéréoscopique est la capacité du système visuel humain à percevoir une différence de profondeur entre deux plans, à une distance donnée. C'est une caractéristique qui est largement connue et décrite dans la littérature. Sa description mathématique vient d'une

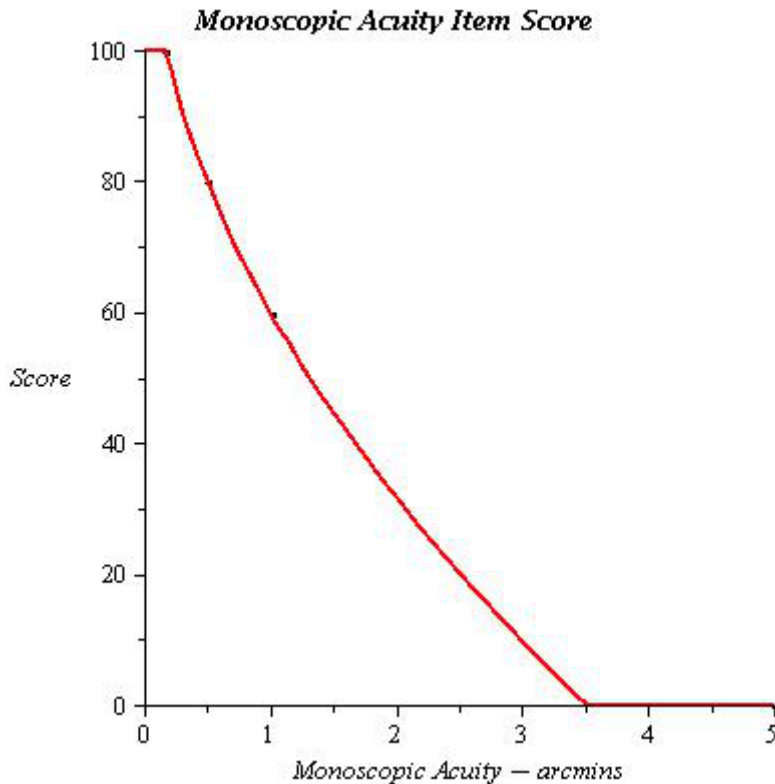


FIGURE 45 – Tracé de la fonction de notation du critère « acuité monoscopique »

analyse géométrique simple [Fuchs *et al.*, 2003; Gross *et al.*, 2008]. Le modèle globalement accepté est le suivant (Eq. 44) :

$$\Delta r = 0.001 \times r^2 \quad (44)$$

Avec Δr la différence minimale théorique de différence en profondeur (en millimètres) et r la distance d'observation en mètres. Le facteur 0.001 est le rapport entre le seuil physiologique de la vision stéréoscopique ($\Delta\nu_{min}$) et la distance inter-pupillaire (DIO).

Limites et solution d'amélioration

Cependant, ces deux derniers paramètres peuvent varier de manière significative : la distance inter-pupillaire varie de 52 à 78 mm sur toute la population [Dodgson, 2004] (Fig. 47) tandis que le seuil physiologique de vision dépend de la luminance, notamment quand celle-ci est à un niveau très bas [Gross *et al.*, 2008]. On peut néanmoins conserver la valeur de 0.001 comme constante dans le modèle car la variation suivant les deux paramètres est assez faible (Fig. 46).

De plus, un processus standardisé pour mesurer la valeur de Δr d'un système serait difficile à mettre en place car il faudrait faire passer un test à un certain nombre de sujets puis en extraire le seuil moyen expérimental, ce qui sort du cahier des charges du score

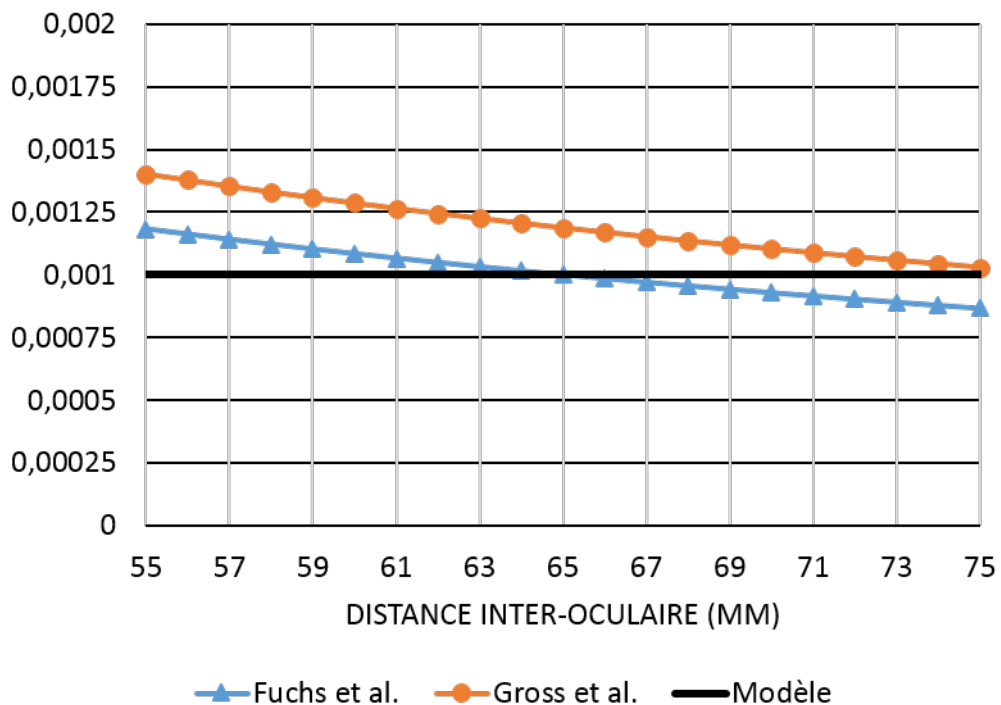


FIGURE 46 – Variation de la constante du modèle d’acuité stéréoscopique en fonction de la distance interoculaire.

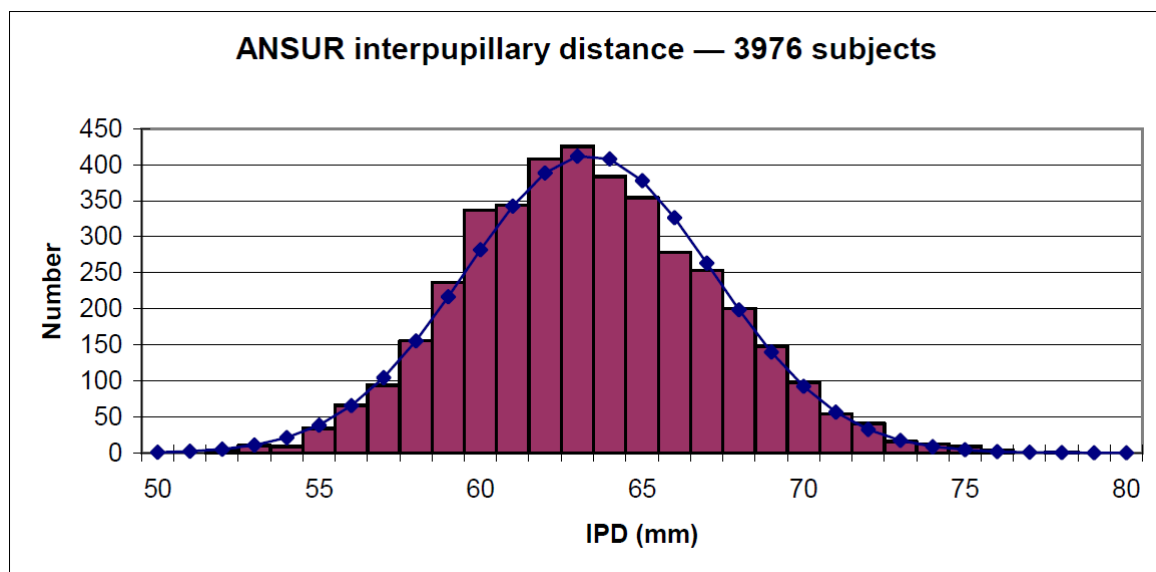


FIGURE 47 – Variation de la distance interoculaire sur la population. Image tirée de [Dodgson, 2004]

de réalisme. En travaillant la relation qui décrit ce même modèle d'acuité stéréoscopique (Eq. 45) [Gross *et al.*, 2008], le seuil physiologique de vision apparaît comme une valeur essentielle pour la vision stéréoscopique tout en étant reliée à la fois au système visuel humain et au système d'affiche du système; le tout en étant facilement et objectivement mesurable.

$$\Delta\nu_{min} = \frac{d_{IPD} * \Delta r}{r^2} \quad (45)$$

Avec $\Delta\nu_{min}$ l'angle limite pour la vision stéréoscopique, d_{IPD} la distance inter-pupillaire et Δr la différence de profondeur qui peut être perçue à une distance r donnée.

4.6.2 Fonction de notation du critère

Cas général

Au final, la fonction de notation du critère d'acuité stéréoscopique est le rapport entre l'angle limite pour la stéréoscopie à la plus basse luminance possible dans le système, et donc le plus critique, ($\Delta\nu_{min}$ pris sur le graphe tiré de [Gross *et al.*, 2008], en *arcsecs*) et la résolution angulaire que possède le système de réalité virtuelle (α , en *arcsecs*). Cette fonction est décrite par l'équation suivante (Eq. 46) :

$$F_{stereo_acuity}(x, r) = \begin{cases} 100 & \alpha < \Delta\nu_{min} \\ 100 \times \frac{\Delta\nu_{min}}{\alpha} & \text{sinon} \end{cases} \quad (46)$$

Cas du CAVE

Dans un cas d'application CAVE, la luminance varie en général entre 10^{-1} et 10^2 cd/m^2 , ce qui donne un $\Delta\nu_{min}$ moyen de 8 arcsecs . Cette valeur est obtenue graphiquement en moyennant les valeurs d'angle stéréoscopique limite pour toutes les valeurs de luminance possible dans un CAVE. L'évolution de l'angle stéréoscopique limite en fonction de la luminance vient d'une figure tracée p.67 dans [Gross *et al.*, 2008]. Dans ce cas d'utilisation, le CAVE, la fonction est tracée en Fig. 48.

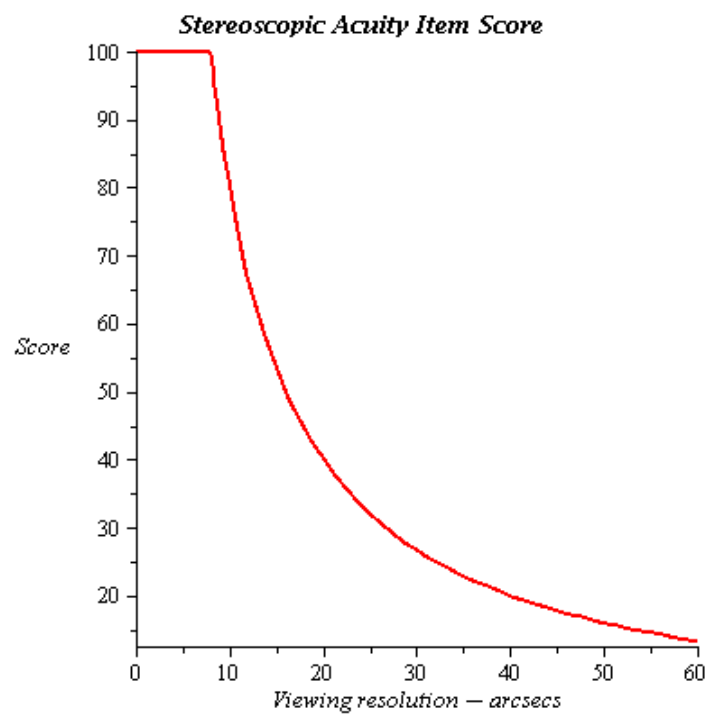


FIGURE 48 – Tracé de la fonction de notation du critère « acuité stéréoscopique » ($\Delta\nu_{min} = 8 \text{ arcsecs}$)

CHAPITRE

5

INDICES D'IMMERSION

Nous allons maintenant présenter les différents indices de la catégorie « immersion ». Ces indices sont fournis par l'environnement immersif et ne participent pas à la vision directement ; ils sont généralement issus du mouvement de l'utilisateur. Pour ces critères, les valeurs clefs sont plus difficilement trouvables dans la littérature : on verra donc que, dans un premier temps, certains critères sont simplifiés et nécessiteraient un travail plus approfondi.

5.1 Latence

La latence peut avoir différentes définitions, que nous verrons plus en détails dans la partie consacrée entièrement à la latence. Néanmoins, on propose en première approche les définitions suivantes, pratiquées dans l'industrie :

- « Mouvement à photon » : depuis le mouvement effectué par une utilisateur jusqu'à l'affichage de ce mouvement dans la simulation (que ce soit un mouvement de la tête avec un calcul de point de vue, ou le mouvement d'une autre partie du corps, suivant ce qui est surveillé). Peut être simplifié comme la latence « totale » du système et est la définition généralement utilisée.
- « Mouvement à pré-calculation » : le temps écoulé entre un mouvement tracké et l'ordre de recalcul de l'image à une nouvelle position. Plus simplement, c'est le temps d'acquisition des capteurs de mouvements.
- « Pré-calculation à calcul » : temps écoulé pour générer le rendu visuel, par le traitement informatique de toutes les informations.
- « Calcul à photon » : temps écoulé entre la fin du calcul de rendu et la fin de l'affichage

sur l'écran. C'est le temps qui s'écoule entre l'ordre d'actualisation de l'image et la fin de la modification de tous les pixels.

Bien qu'il existe des mesures de seuil de perception de la latence dans la littérature [Brooks, 1999; Kemeny, 2014] et des valeurs de latence humaine pour les images claires (74 ms) et pour les images sombres (106 ms) [Feng Han *et al.*, 2010], on souhaite compléter ces informations. On met donc sur pied une expérimentation pour étudier ce phénomène en comparant son influence dans la réalisation d'une tâche de visée dans un CAVE et dans un casque.

5.2 Champ de regard

Le champ de regard (FOR - Field of Regard en anglais) est l'extension du champ de vision : il est défini comme la portion d'espace qui est visible, au cours du temps, en incluant la possibilité de bouger la tête (mais pas le corps) et les yeux dans leurs orbites. De même que précédemment pour le champ de vision, on élabore une fonction de score divisée en deux branches ; la branche horizontale (H-FOR) et la branche verticale (V-FOR). Ces deux axes sont ensuite pondérés l'un par rapport à l'autre.

5.2.1 Champ horizontal & champ vertical

En prenant en compte les mouvements possibles de la tête et des yeux (jusqu'à 15 degrés quand même), chaque œil peut couvrir un champ de regard de plus de 200 degrés du côté temporal et d'environ 130 degrés du côté nasal, sur l'axe horizontal. L'axe vertical représente lui environ 310 degrés répartis à +140 et -170 d'après [Fuchs *et al.*, 2003].

D'un côté, et parce que le champ visuel se recouvre, on limite la valeur maximale de H-FOR à 360 degrés (h_{max}). Le maximum de V-FOR est lui laissé tel quel à 310 degrés (v_{max}). De l'autre côté, les valeurs minimales ne peuvent pas être plus petites que les valeurs mesurées pour le champ de vision. On les nomme ici h_0 et v_0 mais valent les même valeurs que les h et v du champ de vision. L'évolution de la notation est linéaire pour chaque axe entre le minimum et le maximum.

L'équation est donc (Eq. 47), pour le champ de regard horizontal (H-FOR) et (V-FOR), avec h et v les valeurs mesurées des axes horizontaux et verticaux ; et h_0 , v_0 , h_{max} , v_{max} défini précédemment pour le champ de vision :

$$\begin{cases} F_{H-FOR}(h) = \frac{100}{h_{max}-h_0} \cdot (h - h_0) \\ F_{V-FOR}(v) = \frac{100}{v_{max}-v_0} \cdot (v - v_0) \end{cases} \quad (47)$$

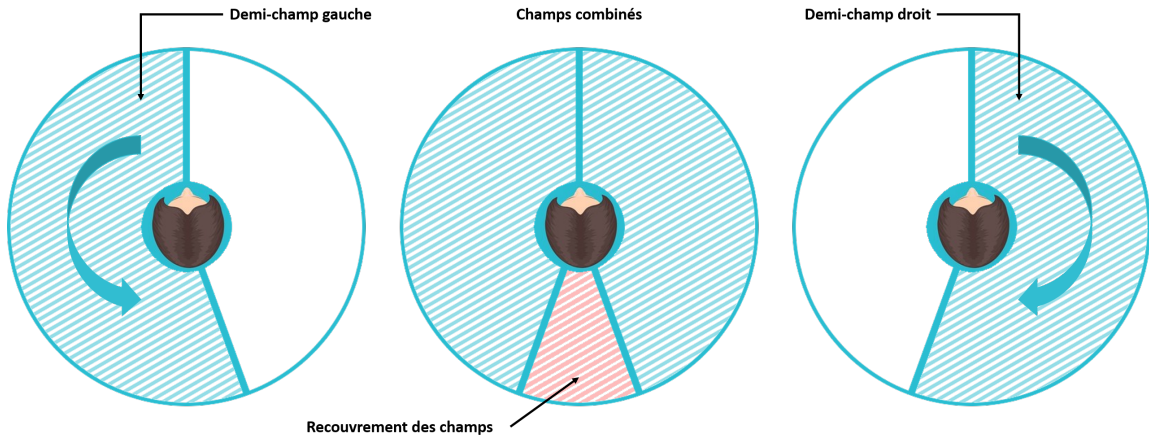


FIGURE 49 – Recouvrement des demi-champs de regard (temporal et nasal).

5.2.2 Pondération

En faisant la même hypothèse que pour la pondération du champ de vision, on base les poids relatifs des deux axes sur leurs tailles respectives : 400 degrés pour l'axe horizontal et 310 pour l'axe vertical. Les 400 degrés de l'axe horizontal diffèrent des 360 utilisés pour la notation de l'axe (pour laquelle on avait limité l'angle à 360 degrés) et peuvent interpréter. Si mécaniquement lorsque que l'on regarde autour de soi on regarde à 360 degrés, dans les faits comme les demi-champs de regard (celui du côté temporal et celui du côté nasal) sont supérieurs à 180 degrés, on peut voir une petite partie de l'autre demi-champ de regard : une partie de l'espace est visible de deux manières (voir Fig. 49). En terme de possibilités donc le champ est plus grand que 360 degrés d'où la valeur de 400 degrés conservée. On utilise donc la même méthodologie que pour le champ de vision et on obtient (Eq. 48) :

$$\begin{cases} k_h = \frac{400}{400+310} = 0.56 \\ k_v = 1 - k_h = 0.44 \end{cases} \quad (48)$$

Ce qui est finalement assez proche de la pondération du champ de vision. Au final, la fonction de notation du champ de regard est définie par l'équation suivante (Eq. 49) :

$$F_{FOR}(h, v) = k_h \cdot F_{H-FOR}(h) + k_v \cdot F_{V-FOR}(v) \quad (49)$$

Cette hypothèse de pondération est valable pour le cas général. On a vu par la suite, qu'elle pouvait être mise à mal dans certains cas de figures (voir chapitre sur l'expérimentation comparative entre les scores d'acceptation et les scores du modèle) et qu'il fallait, dans le cas par exemple d'une simulation de conduite, mettre la quasi intégralité de la pondération sur le champ de regard horizontal.



FIGURE 50 – Lunettes de stéréoscopie.

5.3 Stéréoscopie

5.3.1 Fonctionnement

La stéréoscopie est une méthode pour donner de la profondeur et du relief à des images standard en 2D. Les yeux, de part leur écartement, voient des images d'un point de vue toujours différent. En combinant les informations (et notamment les différences entre les deux points de vue) le cerveau est capable de récréer la profondeur. Le principe de la stéréoscopie est donc de fournir à chaque œil une image différente, calculée avec le bon point de vue. Cela peut être réalisé via un certain nombre de techniques [Mehrabi *et al.*, 2013]. On se concentre dans notre cas sur les méthodes avec des lunettes portées (Casque, lunettes obturantes, lunettes polarisées, anaglyphes, ...). Ces dernières sont présentées par Fauster & Wien [2007]. On rappelle ici les deux techniques les plus connues pour amener du relief.

Le type de stéréoscopie le plus connu du grand public est sûrement la technique dite « anaglyphe » qui fonctionne avec des lunettes aux verres rouge et bleu (voir Fig. 50). Le principe est d'afficher les deux images nécessaires à la stéréoscopie en même temps mais chacune superposée par un filtre de couleur rouge ou de couleur bleue. Le verre rouge ne laisse passer que l'image rouge tandis que le filtre bleu ne laisse passer que son image de couleur correspondante. Chaque œil voit donc une seule image et le cerveau peut ainsi reconstruire la profondeur.

L'autre technique répandue est la stéréo dite « active » ; c'est celle utilisée par exemple dans les cinémas, mais surtout pour le cas qui nous intéresse, dans l'industrie. Cette fois, les lunettes ont des filtres identiques et relativement transparents (voir Fig. 50). Les images destinées aux yeux sont affichées l'une après l'autre (et pas en même temps comme la technique précédente) et ce sont les lunettes qui font le tri pour attribuer la bonne image au bon œil : de manière synchronisée avec l'affichage des images un verre devient opaque tandis que l'autre est transparent et ainsi de suite en alternance. Lorsque l'image pour l'œil gauche est affichée, le verre gauche laisse passer la lumière quand le verre droit la bloque, et inversement.

Il existe aussi d'autres moyens de recréer une vision binoculaire comme les affichages auto-stéréoscopiques ou les affichages holographiques mais qui sortent du cadre d'étude

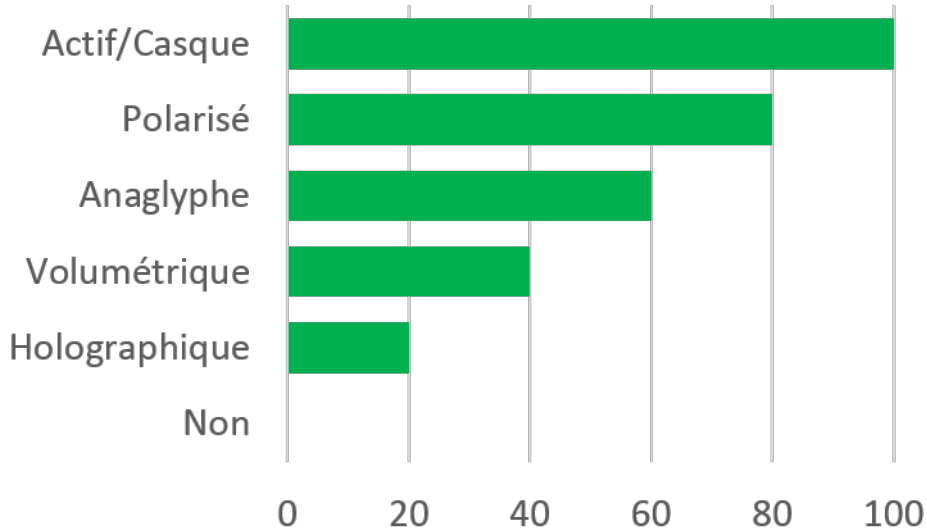


FIGURE 51 – Illustration d'une notation du critère « Stéréoscopie » en fonction de la technologie

car on se concentre sur les simulateur immersifs basés sur des techniques de stéréoscopie active.

5.3.2 Fonction de notation du critère

En première approche, qui serait à étoffer, on propose de noter le critère sur sa présence (100) ou son absence (0). La piste d'amélioration à suivre pourrait être une découpe de la fonction de notation par rapport à la technique utilisée : toutes les techniques ne se valent pas et leurs performances pourraient être comparées. Il ne semble pas encore y avoir de telle comparaison dans la littérature. On propose en Fig. 51 un exemple à titre d'illustration uniquement.

5.4 Tracking

Le tracking est sûrement un des éléments les plus importants pour l'immersion. Le tracking permet d'inclure les mouvements de l'utilisateur dans la simulation, que ce soit du corps ou de la tête, mais aussi l'inclusion d'appareils extérieurs ou autres. Là encore, il existe un grand nombre de techniques, que ce soit embarqué dans les casque de réalité virtuelle ou bien avec des solutions externes. Dans le cas d'un CAVE on utilise en général des caméras infrarouge et un système de boules réfléchissantes sur les objets (ou parties du corps) à repérer dans l'espace (voir Fig. 52). Pour chaque objet dont on entend connaître la position dans l'espace, on fixe au minimum trois boules réfléchissant les rayons infrarouges. Ces trois boules doivent être en permanence au même endroit sur l'objet et dans la même configuration (voir Fig. 52, des deux côtés des lunettes). On balaye ensuite l'espace à tracker avec des caméras émettant et captant les rayons infrarouges. Le système de



FIGURE 52 – « Body » de tracking monté sur des lunettes de stéréoscopie & ensemble caméra-émetteur infrarouge pour le tracking.

boules réfléchit ces rayons et est ainsi vu par les différentes caméras qui, comme elles sont placées à différents endroits dans l'espace, peuvent trianguler la position et l'orientation de l'objet étant donné que les boules réfléchissantes sont fixes par rapport à l'objet.

A défaut, et en attendant, de proposer une notation sur des critères plus développés, on propose de noter simplement ce critère sur sa présence (100) ou son absence (0). L'élément à creuser serait sa précision, c'est à dire son écart de position entre la position réelle de l'objet/body de tracking et la position vue par le système. Cette précision dépend néanmoins d'autres paramètres comme la calibration des caméras ou la calibration de la « room » (la définition des bordures de l'espace de travail). Il pourrait être aussi envisageable, au même titre que pour la stéréoscopie, de traiter le tracking en fonction de la technologie. Il faudrait alors comparer le tracking infrarouge avec le tracking magnétique ou autre.

5.5 Uniformité

Bien que défini dans le modèle, le critère d'uniformité est le seul qui n'a pas été pleinement abordé. C'est un sujet complexe qui se divise en plusieurs parties. L'uniformité peut à la fois valoir à l'intérieur d'un même écran, c'est à dire entre différentes zones d'un écran, mais aussi -quand le système le permet de part sa construction- entre les différents écrans. Même si l'uniformité la plus évidente concerne la couleur (on souhaite qu'un rouge affiché soit identique de partout), il faut en fait l'élargir au d'autres critères :

- la couleur,
- la luminosité,
- le contraste.

La couleur est sûrement le critère le plus facile à vérifier car on sait mesurer des écarts entre les couleurs grâce aux équations de différentiations des couleurs (présentées dans la

première partie du manuscrit). Ces équations donnent donc des écarts entre les couleurs qui, par construction doivent être inférieurs à une valeur de 1 pour qu'ils soient imperceptibles à l'oeil humain. Néanmoins, en informatique notamment, le seuil réel est plus bas (la valeur en dessous de laquelle la différence est imperceptible est plus grand que le 1 théorique) pour les population experte dans le domaine de la couleur, et encore plus bas pour les populations néophytes [Vidal *et al.*, 2016]. On pourrait donc se baser sur ces trois valeurs (valeur théorique minimale, valeur de la population experte et valeur de la population néophyte) pour faire une première échelle de notation.

Néanmoins, l'uniformité concerne aussi la luminosité et le contraste qui sont des sujets bien plus complexes à manipuler.

5.6 Orientation des caméras

5.6.1 Mimétisme du fonctionnement oculaire

La capture d'image dans une scène virtuelle pour affichage sur un/des écran-s se fait au moyen d'une « caméra » virtuelle. Dans le cas de la stéréoscopie, comme il est nécessaire d'avoir une image par œil, c'est deux caméras virtuelles qui entrent en jeu. Ces caméras sont l'équivalent virtuel de nos yeux. Il semblerait donc naturel que les caméras aient un comportement relativement proche de ces derniers et pourtant ce n'est majoritairement pas le cas.

Lorsque l'on regarde un objet proche de nous, les yeux s'orientent dans leur orbite et se tournent vers cet objet. Plus l'objet est proche, plus il est nécessaire de converger. Au contraire, quand l'objet recule, et à partir d'une certaine distance, celui-ci est considéré comme « à l'infini » et les directions des yeux sont parallèles, soit une convergence nulle. Dans la majeure partie des cas, la convergence des caméras n'est pas implémentée : on parle alors de caméras « parallèles » (ou à « convergence » nulle). La raison vient du fait qu'utiliser des caméras arbitrairement convergées (et qui resteraient convergées, donc à « convergence fixe ») entraîne automatiquement un certain nombre de distorsions [Woods *et al.*, 1993]. Si l'utilisateur regarde un objet à une « convergence » différente de celle qui est prévue, l'orientation des caméras n'est pas la bonne. Ainsi, plutôt par soucis de simplicité, on fait en général l'hypothèse que tous les objets (ou en tout cas la majorité) seront suffisamment éloignés pour être dans une situation de convergence nulle.

Néanmoins on peut optimiser l'utilisation de ces distorsions si l'on est capable de régler la convergence des caméras en temps réel en fonction de la distance à laquelle l'utilisateur regarde. Cet ajout s'avère même bénéfique car il ajoute des disparités verticales qui font partie du processus de vision [Aurat, 2016]. On peut alors parler de « caméras à convergence variable ». Il faut alors acquérir la position du regard en temps réel, ce qui peut être fait soit matériellement en ajoutant par exemple un système de tracking du regard (voir Fig. 53), soit en faisant des hypothèses telles que la personne regarde droit devant elle (et non en coin), donc la direction du regard est la même que la direction de la tête. La mise en œuvre de la convergence n'est également pas facilitée par le fait de capturer des images dans des plans non parallèles au plan de projection final. Les caméras conver-



FIGURE 53 – Exemple de système de tracking de regard portatif.

gées capturent des images planes mais dans un plan qui ne correspond pas forcément à la surface sur laquelle il faudra la projeter (voir Fig. 54). Il faut donc passer par une étape supplémentaire de warping de l'image [Aurat, 2016].

Cette dichotomie entre la convergence réelle des yeux et la convergence artificielle des caméras virtuelles n'est pas anodine car elle est à l'origine d'un des plus grands maux dans les simulateurs : le conflit accommodation-vergence qui génère notamment des fatigues, fatigues visuelles, participe au mal du simulateur et dégrade grandement la qualité d'immersion [Neveu, 2012]. En effet, les images sont affichées sur un écran à une certaine distance auquel les yeux s'accordent tandis que les images jaillissent (ou inversement, s'enfoncent) de l'écran, obligeant les yeux à converger dessus. L'accommodation et la convergence qui sont normalement liées sont dès lors désynchronisées et génèrent un conflit pour le cerveau.

5.6.2 Fonction de notation du critère

Ainsi, le critère est divisé en trois, soit le nombre de possibilités qui existent :

- caméras à convergence fixe (c'est à dire sans connaître le point de regard), 0.
- caméras à convergence nulle (caméras parallèles), 80.
- caméras à convergence variable (avec connaissance du point de regard), 100.

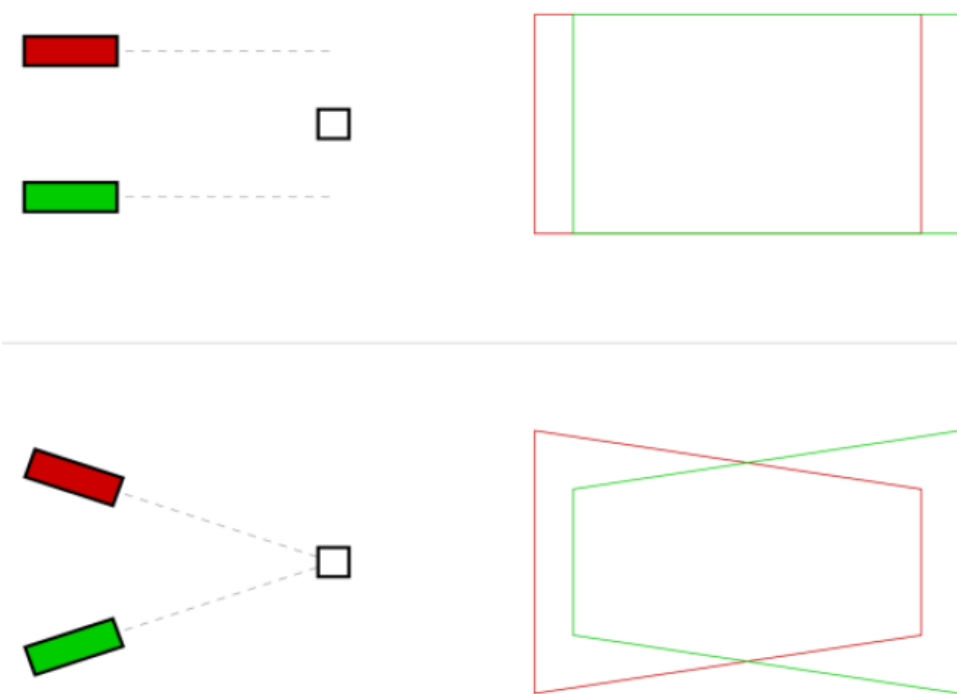


FIGURE 54 – Exemple de déformation dûs à la convergence des caméras.
 Le carré est vu comme deux rectangles dans une configuration « caméras à convergence nulle » et comme deux trapèzes lorsque les caméras sont convergentes. Il faut donc retordre artificiellement les trapèzes pour qu'ils correspondent à la projection qui se fait sur une surface rectangulaire (image tirée de [Aurat, 2016]).

CHAPITRE

6

PONDÉRATION DU MODÈLE

Il existe deux niveaux de pondération dans le modèle : un premier, local, à l'intérieur de certains critères (champ de vision et champ de regard), et un deuxième, global, qui donne un poids à chacun des critères les uns par rapport aux autres. On a déjà abordé la pondération locale et ses hypothèses, on s'intéresse ici au second niveau de pondération : au global.

La pondération complète du modèle est un travail conséquent qui nécessite un engagement entier. On ne prétend donc pas donner la solution mais simplement des propositions pour une première approche théorique.

6.1 Contraste, luminance, taille et champs visuels

Comme on a pu voir dans les chapitres précédents, la construction du modèle se base sur la vision et sa modélisation. Une première piste importante pour la pondération peut être relevée à l'étude du modèle de Rose [Rose, 1948], qui, on le rappelle, est décrit par une simple équation (Eq. 50) :

$$BC^2\alpha^2 = \text{constant} \quad (50)$$

On voit clairement qu'une importance supérieure est attribuée aux critères de contraste et de taille par rapport au critère de luminance avec des puissances d'ordre 2 par rapport à une puissance d'ordre 1. On peut donc dire que le contraste et la taille de l'objet nécessite une pondération (plus) forte. Si on ne peut pas relier directement la taille de l'objet perçu à l'acuité visuelle, il est important de noter que plus l'acuité est forte, plus l'objet sera

perçu finement. Enfin, par expérience, il nous semble même que le contraste est un critère capital et qu'il devrait recevoir la plus forte des pondérations.

La pondération (locale et globale) des champs de vision et de regard est fortement liée à l'application qui est faite dans le système immersif. On a pu le constater via une expérimentation qui sera décrite dans le chapitre suivant.

TABLE 4 – Force relative des critères du modèle non liés à la perception de la profondeur

Paramètre	Force relative
Contraste	Fort
Taille de l'objet	Fort
Champ de vision	Variable
Champ de regard	Variable
Luminance	Faible

6.2 Tracking, stéréoscopie, convergence des caméras et couleurs

Une autre piste très intéressante est issue de l'importance relative des indices de profondeur entre eux. On a déjà présenté les différents indices qui permettent au cerveau de reconstruire une carte de profondeur (voir la première partie sur l'état de l'Art). On s'intéresse ici à un classement par importance de ces indices.

Il existe quelques études qui ont comparé des indices de profondeurs entre eux afin de déterminer le(s)quel(s) est/sont prépondérant(s) sur les autres. Par exemple, [Mazur & Reising, 1990] compare la stéréoscopie avec la perspective aérienne et la comparaison de taille entre des objets familiers. [Reinhart *et al.*, 1990] ont comparé la taille relative des objets entre eux, la stéréoscopie (disparités binoculaires), l'interposition et la luminosité de l'objet, tandis que [Surdick *et al.*, 1994, 1997] comparent quant à eux 7 indices différents :

- la luminance relative,
- la taille relative,
- la hauteur relative,
- la perspective linéaire,
- l'effet de rapprochement,
- le gradient de texture,
- la stéréoscopie.

Les résultats de Mazur & Reising [1990] et de Surdick *et al.* [1994] montrent une domination des indices de profondeur que sont la stéréoscopie, la perspective aérienne et la

perspective linéaire. Les résultats de Reinhart *et al.* [1990] mettent en avant l'apport de la stéréoscopie par rapport aux indices monoculaires pour la perception de la profondeur de manière plus tranchée. On note néanmoins que la grande majorité des indices mis en concurrence sont des indices graphiques qui sont donc en dehors de notre cadre d'étude.

Parallèlement, [Mikkola *et al.*, 2010] relèvent que la stéréoscopie et la parallaxe de mouvement sont considérées comme les indices les plus importants. Ces résultats sont à rapprocher de ceux de [Rogers & Graham, 1979] qui montrent que la parallaxe de mouvement est un indice de profondeur pertinent même lorsque tous les autres indices sont inexistant. Mikkola *et al.* [2010] ont de leur côté conduit des expérimentations dans lesquelles ils demandaient à leurs sujets de noter de manière subjective l'impression de profondeur ressentie : la stéréoscopie arrive encore une fois avec de bon résultats tandis que des indices monoculaires tels que les ombres ou les textures des objets semblent avoir un impact plus réduit.

Enfin, [Mehrabi *et al.*, 2013] ont réalisé des classifications sur les indices de profondeur, leurs atouts et leurs limitations (on trouvera une adaptation en Table 5) ainsi qu'une table sur les différentes techniques d'affichage en spécifiant notamment les indices de profondeurs disponibles dans chacun des cas. La classification est divisée en deux pondérations avec des indices ayant une contribution forte ou faible. Elle permet néanmoins déjà une bonne approximation pour un idée générale de pondération.

TABLE 5 – Force relative des indices de perception de la profondeur. Table adaptée depuis [Mehrabi *et al.*, 2013]

Indice de profondeur	Indice binoculaire	Force relative	Portée
Parallaxe binoculaire	Oui	Fort	2, 5 m – 20 m
Parallaxe monoculaire	Non	Fort	0 – ∞
Taille de l'image rétinienne	Non	Fort	0 – ∞
Perspective linéaire	Non	Fort	0 – ∞
Gradient de texture	Non	Fort	0 – ∞
Recouvrement	Non	Fort	0 – ∞
Accommodation	Non	Faible	0 – 2 m
Convergence	Oui	Faible	0 – 10 m
Perspective aérienne	Non	Faible	<i>Long. dist. seulement</i>
Ombrage	Non	Faible	0 – ∞
Couleurs	Non	Faible	0 – ∞

6.3 Conclusion

Il reste néanmoins des critères pour lesquels la littérature ne donne pas immédiatement un a priori de pondération tels que le nombre d'images par seconde, la latence ou l'uniformité entre les écrans. Par défaut (à l'exception de la latence qui par expérience est un indice très fort) on leur attribue une importance relative plus faible que les facteurs

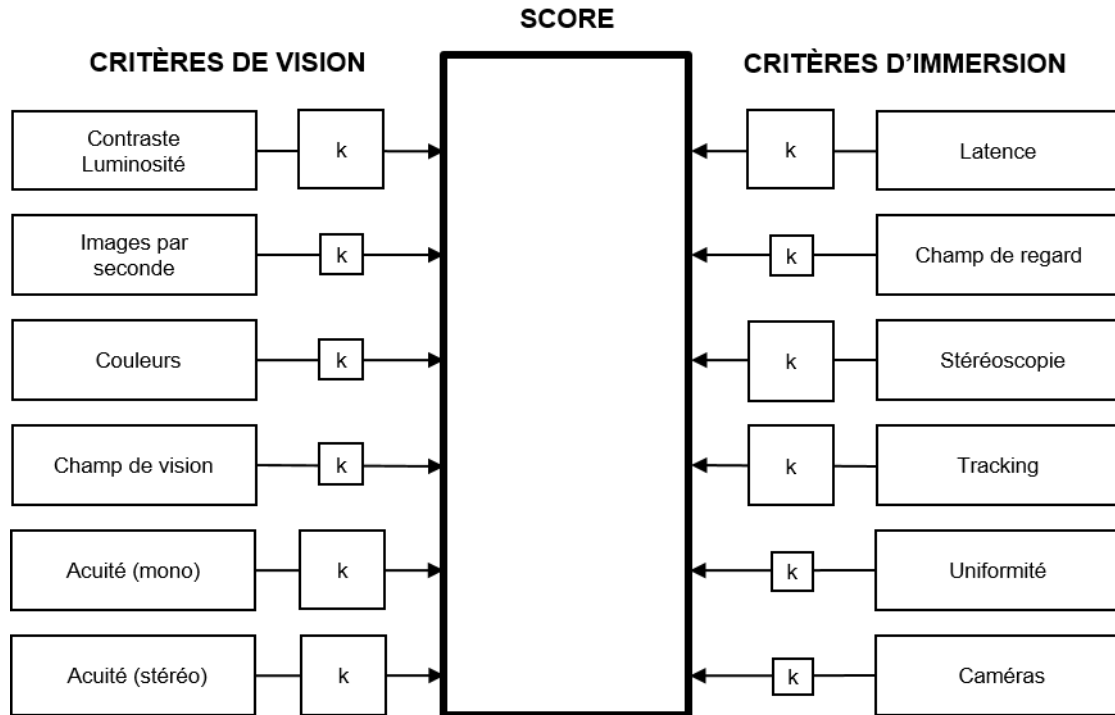


FIGURE 55 – Modélisation avec ordre de grandeur de la pondération.

« forts » qui semblent très prépondérants sur les autres.

On a maintenant une meilleure idée générale des tendances qu'il peut exister pour une pondération du modèle dans le cas général. Dans des cas spécifiques (voir chapitre suivant) comme la conduite, la pondération peut fortement varier en fonction des besoins de l'utilisateur. On présente ces ordres de grandeur en Fig. 55 en modélisant les pondérations « fortes » avec une boîte plus grande que les pondérations « faibles ».

Il convient de rappeler que cette proposition est une ébauche et que la définition précise d'une (ou de plusieurs) pondération(s) reste un sujet à part entière que nous n'avons pas, à proprement parler, traité.

CHAPITRE

7

ETUDE EXPÉRIMENTALE

7.1 Objectif

On a réalisé une expérimentation pour comparer les notes données par notre modèle de score et les notes données par des utilisateurs d'un système d'affichage immersif aux différentes caractéristiques que l'on retrouve dans le modèle : fluidité, couleurs, contraste, ... Cette expérimentation n'a pas pour but -et ne peut pas- valider notre modèle : elle compare deux types de données très différentes, les unes objectives et les autres subjectives. C'est seulement une comparaison entre un modèle théorique qui donne un score qui reflète à quel point la partie hardware du système donne un signal proche de celui défini dans les modèles de vision, et un score donné subjectivement par les sujets et qui reflète à quel point les utilisateurs ont apprécié les différentes capacités du système.

Cependant, cette expérimentation nous permet de montrer la différence qu'il peut exister entre l'appréciation d'un critère noté subjectivement et sa note de performance théorique. Cela nous permet aussi de récupérer des indices sur la manière dont les utilisateurs se comportent dans un système immersif et dans le cas spécifique de cette simulation ; ces indices nous aideront ensuite dans certaines de nos hypothèses.

7.2 Apparatus

32 sujets ont été réunis pour cette expérimentation : 23 hommes pour 9 femmes, âgés de 20 à 27 ans, avec une moyenne d'âge de 25 ans (écart-type : 1,8 ans). Elle a été faite dans une CAVE 4 faces dont les dimensions sont présentées en Table 6. La taille des pixels était de 2,25 mm et les sujets étaient assis de telle manière à avoir les yeux à 2 m de l'écran de face. L'expérimentation était écologique : les sujets devaient simplement conduire dans

Insuffisant		Bon		Max
1	2	3	4	5

FIGURE 56 – Echelle « aidée » pour noter subjectivement de 1 à 5 les différents critères du système

le simulateur. La conduite était faite au moyen d'un ensemble Logitech G25 avec volant et pédales, le tout connecté au logiciel de simulation SCANEr Studio¹. Les sujets étaient assis dans un vrai siège de voiture posé au sol. L'environnement virtuel de simulation était un simple paysage avec une route en boucle fermée mêlant à la fois mer, bord de lac, ville et montagne.

TABLE 6 – Dimensions du CAVE « P3I » dans lequel a eu lieu l'étude expérimentale sur la comparaison entre les notes objectives et des notes subjectives.

Face	Taille	Résolution
Avant	3.60 x 2.70 m	1600 x 1200 px
Gauche	4.20 x 2.70 m	1920 x 1200 px
Droite	4.20 x 2.70 m	1920 x 1200 px
Sol	4.20 x 2.70 m	1600 x 1200 px

Chaque sujet devait faire la même chose : conduire pendant 8 minutes sans autre tâche particulière que de regarder tout autour de soi. La vitesse de la voiture était limitée à 30km/h, et ce, pour plusieurs raisons : rester dans le même cas d'usage en basse vitesse pour tout le monde et ne pas rendre malade les sujets. Après les 8 minutes, les sujets devaient noter via une échelle « aidée » de 1 à 5 (voir Fig. 56) les différents critères de notre modèle, par comparaison à ce qu'ils pourraient voir en situation réelle.

Une comparaison a ensuite été faite entre les moyennes des notes subjectives des sujets et les valeurs théoriques objectives du modèle de score. Aucune pondération n'était appliquée sur les critères (mis à part les pondérations internes aux critères de champ de vision et de champ de regard).

Pour représenter la variation de taille, et donc de hauteur des yeux par rapport au sol en position assise, entre les différents sujets les valeurs théoriques de champ de vision et de champ de regard sont calculées deux fois avec 1,10 m et 1,15 m de hauteur d'yeux (par rapport au sol, en position assise sur le siège de conduite). On moyenne ensuite ces deux valeurs.

On a sélectionné seulement des sujets jeunes (de 20 à 27 ans) et dont la vision était parfaite (ou corrigée pour être parfaite). Cela a été fait afin de rester sur des sujets dont les capacités de vision (vision du contraste, de la luminance, acuité, ...) n'ont pas commencé à décroître en fonction de l'âge, processus qui commence autour de 30 ans.

1. <http://www.oktal.fr/en/automotive/range-of-simulators/software> (lien raccourci : <https://lc.cx/NxyR>)

7.3 Résultats

Afin d'analyser les résultats, la population de sujets a été divisée en 8 sous-catégories. Les caractéristiques de ces différentes sous-catégories peuvent être trouvées dans la Table 7. Aucun résultat statistique ne peut être tiré de la catégorie « femme + gamer » puisque qu'elle ne comporte qu'un seul membre.

TABLE 7 – Population et âge des sous-catégories de l'étude expérimentale sur la comparaison entre les notes objectives et des notes subjectives.

Sous-catégorie	Population	Âge moyen	Écart-Type
Total	32	24.8 ans	1.8
Hommes (M)	23	24.8 ans	2
Femmes (W)	9	24.8 ans	1.7
Gamers (G)	13	24.5 ans	2.3
Non gamers (NG)	19	25 ans	1.5
M+G	12	24.7 ans	2.3
M+NG	11	24.9 ans	1.6
W+G	1	22 ans	0
W+NG	8	25.1 ans	1.5

Cinq valeurs théoriques du modèle étaient assez mûres pour être calculées et être comparées aux notes données par les sujets :

- le nombre d'images par seconde
- les couleurs
- l'acuité monoscopique
- le champ de vision
- le champ de regard

Les autres critères n'étaient soit pas encore notable via le modèle de score (luminance, contraste, latence et uniformité) soit difficile à noter par un simple questionnaire sans procéder pendant l'expérimentation à une tâche particulière mettant en avant la caractéristique (acuité stéréoscopique, tracking et stéréoscopie).

Les valeurs des moyennes et des écarts types des cinq critères retenus pour cette étude expérimentale sont données en Fig. 57.

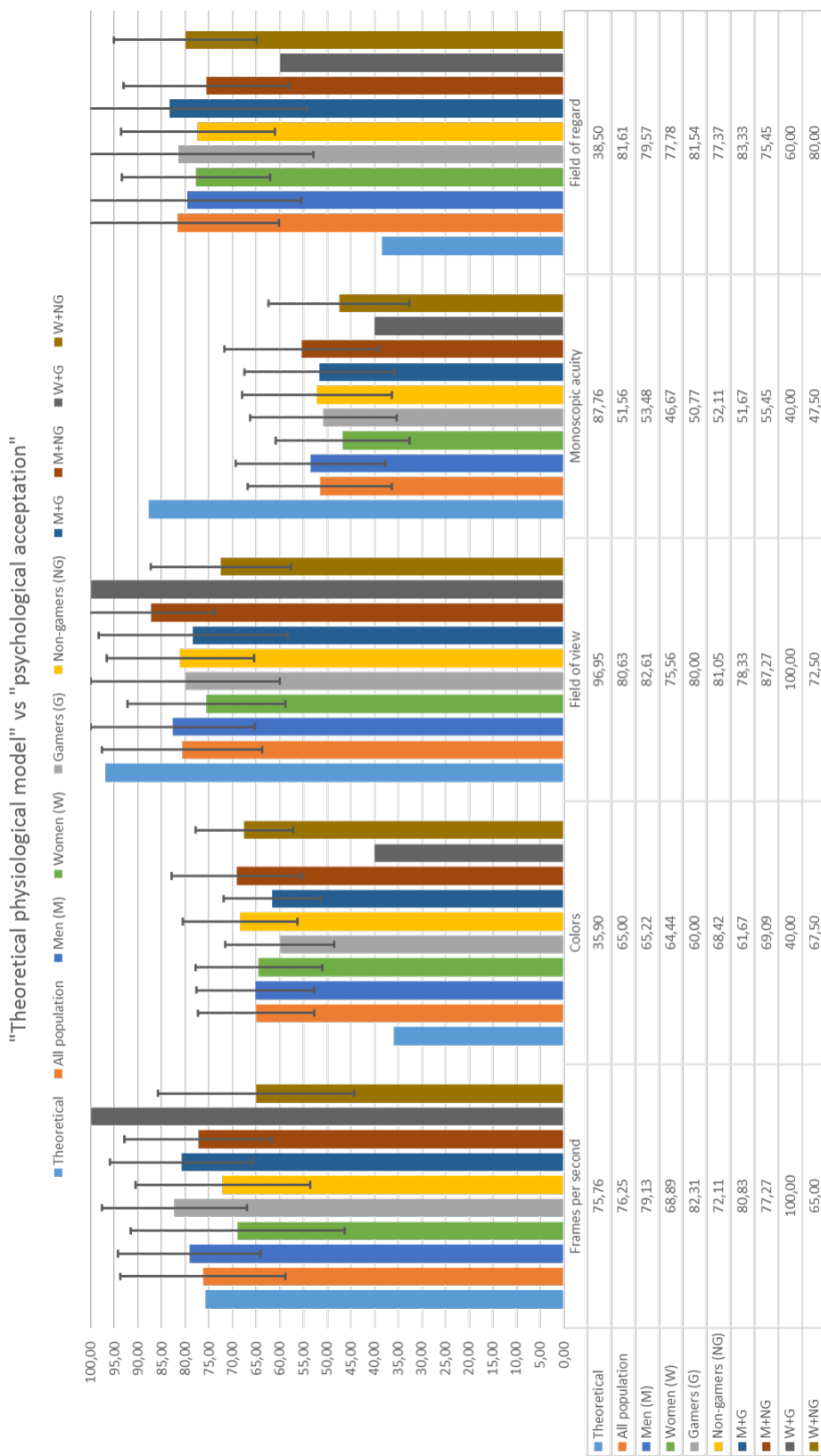


FIGURE 57 – Résultats des valeurs théoriques calculées et des valeurs subjectives relevées.

7.4 Discussion

Les résultats de la comparaison entre le modèle théorique et l'acceptation psychologique par les sujets peuvent être divisés en trois catégories. Premièrement les valeurs relevées sur les questionnaires correspondent plutôt bien aux valeurs données par le score théorique. C'est le cas par exemple pour le critère « images par seconde ».

Deuxièmement, et en opposition à la première catégorie de résultats, deux critères diffèrent fortement par rapport aux valeurs d'acceptation par les sujets : dans un sens (pour les « couleurs » les valeurs subjectives sont supérieures aux valeurs objectives) comme dans l'autre (pour l'« acuité monoscopique » les valeurs théoriques sont supérieures aux valeurs d'acceptation).

Enfin, la troisième catégorie contient des critères qui ont des valeurs objectives très différentes (96,95 pour le « Champ de Vision » et un pauvre 38,50 pour le « Champ de Regard ») mais qui ont pourtant des valeurs subjectives très proches l'une de l'autre.

7.4.1 Couleurs et acuité monoscopique

Ces deux critères montrent une grande différence de notation entre leur score théorique et leur score subjectif même si, à l'intérieur des sous-catégories, les moyennes et les écarts-type sont assez proches.

D'un côté, les sujets étaient globalement satisfaits de la quantité de couleurs bien que ce soit en fait assez peu par rapport à toutes les couleurs visibles réellement. Une raison possible à cette divergence est l'absence de référence au monde réel pour juger par comparaison et l'utilisation massive d'appareils utilisant le même espace limité de couleurs (smartphones, télévisions, cinéma, ...).

De l'autre côté, l'acuité monoscopique n'a pas été bien notée alors qu'elle aurait du paraître suffisante. On peut l'expliquer aussi par l'habitude d'avoir une très forte demande sur la résolution des écrans, que ce soit pour les téléphones, les ordinateurs ou les écrans divers.

7.4.2 Champ de vision & champ de regard

Bien que légèrement plus élevée, la valeur théorique du champ de vision est assez proche de sa valeur d'acceptation associée et est, en plus, contenue dans la majorité des écarts-type des sous catégories. Cependant, la valeur théorique du champ de regard est extrêmement basse comparée à sa valeur d'acceptation et éloignée de tous les écarts-type des sous-populations.

La valeur théorique basse vient du fait que, même si l'angle de vision horizontal est très bon, il n'y a pas de face supérieure ce qui joue très négativement dans la notation de l'axe vertical du critère. A cause de la pondération quasi équivalente pour les deux axes, la note globale du critère est tirée vers le bas par la partie verticale qui est très basse.

La tâche de conduite nécessite la quasi totalité de l'attention du conducteur à l'avant de la voiture et implique majoritairement l'axe horizontal de la vision. C'est pourquoi les sujets n'ont pas eu besoin d'utiliser particulièrement d'autres écrans que celui face à eux ni besoin d'images qui seraient hors-écrans. Cela peut expliquer pourquoi les participants ont noté le champ de regard si proche du champ de vision, car ils ont rarement dépassé les bornes du champ de vision et, quand c'était le cas, seulement un petit peu. Cela implique, dans ce cas précis, que notre hypothèse de pondération des axes en fonction de leur taille respective n'est pas correcte. Un jeu de pondération spécifique à la conduite devrait être calculé et appliqué, limitant considérablement l'influence de l'axe vertical.

Enfin, on remarque une tendance intéressante à mettre en avant (bien que non soutenue par une preuve statistique). Les femmes (joueuses ou non) semblent être plus sévère dans leur notation que les hommes, et ce, quelle que soit la note théorique associée.

CONCLUSION

La première approche de la thèse, développer un « modèle de vision » traduit pour la Réalité Virtuelle, s'est vite révélée être une impasse. On choisit alors une approche différente : plutôt que de « faire » du réalisme, il pourrait être intéressant de « quantifier » le réalisme. A notre connaissance, il existe peu voire très peu de modèles ayant pour but de quantifier objectivement le réalisme physiologique dans la littérature.

On propose alors une évaluation de la performance d'un système via un score basé sur le système visuel humain qui dépeindrait, pour un système immersif donné et pour une situation donnée, à quel point le simulateur est efficace pour transmettre le bon niveau d'informations visuelles et, étant dans un système de Réalité Virtuelle, le bon niveau d'indices d'immersion. Ce score est en fait la réunion de douze critères chacun lié à une caractéristique de la vision et/ou de l'immersion visuelle (c'est à dire les critères immersifs dérivés directement du système visuel ou du système en lui-même). Chaque critère est jugé indépendamment puis contribue à la note globale via une pondération. La notation en elle même se fait, principalement, basée sur la littérature. Si on a pu appliquer cette méthode pour la majorité des cas, certains critères ne se prêtent pas à un tel traitement et ont bénéficié d'une notation particulière.

Les critères sont répertoriés en deux sections :

- **Indices de vision** : contraste et luminosité (luminance), images par seconde, nombre de couleurs affichables, champ de vision, acuités monoscopique et stéréoscopique.
- **Indices d'immersion** : latence, champ de regard, stéréoscopie, tracking, uniformité et convergence des caméras.

Après une étude théorique fouillée pour déterminer la plus grande majorité des critères, on a réalisé une expérimentation pour comparer les notes données par notre modèle de

CONCLUSION

score et les notes données par des utilisateurs. Cette expérimentation n'avait pas pour but -et ne peut pas- valider notre modèle mais elle nous a permis de montrer la différence qu'il peut exister entre l'appréciation d'un critère noté subjectivement et sa note de performance théorique.

Néanmoins, il reste des points à développer. Certains critères ne sont pas aboutis et doivent être complétés par la pratique. C'est le cas par exemple du contraste et de la luminance, ainsi que de la latence. Le traitement expérimental de ces critères sera abordé dans les deux prochaines parties. Enfin, même si on a pu rapidement aborder la pondération intra-critère (champ de vision et champ de regard) ainsi que la légitimité des hypothèses sur lesquelles elle est construite (étude expérimentale), il restera encore tout un travail autour de la pondération inter-critères. Le sujet est extrêmement vaste et complexe car il dépend fortement de ce que l'on fait dans le système immersif.

Nous allons maintenant présenter le travail d'expérimentation qui a été réalisé autour de la validation du modèle de Rea en Réalité Virtuelle, pour le critère « contraste - luminance ».

Quatrième partie

Partie expérimentale : contraste et luminance

INTRODUCTION

Dans le chapitre précédent, on a décrit deux approches possibles pour le critère de contraste et de luminance : les fonctions de sensibilité au contraste et la performance visuelle relative. On s'intéresse ici au concept de performance visuelle. On en a présenté les deux principales modélisations : le modèle de Blackwell et de la CIE [Blackwell & Blackwell, 1971], puissant mais hermétique, et le modèle de Rea et ses évolutions [Rea, 1986]. On a également pointé le fait que ces modèles, bien qu'intéressants, n'étaient pas à l'origine conçus pour la réalité virtuelle et nécessitaient donc une vérification expérimentale.

Il a été nécessaire de choisir entre les deux modèles, celui de Rea et celui de la CIE et Blackwell. Le modèle de Blackwell semble plus complet avec une portée d'action comprise en 1 et 10000 cd/m^2 et un calcul basé sur trois processus de vision, décrits comme principaux, impliqués dans la reconnaissance des détails de la tache à effectuer, dans le maintien des yeux en position fixe pendant les périodes de fixation, et enfin, dans la réalisation de mouvements rapides des yeux (les saccades). Néanmoins, le modèle de la CIE est une boîte noire générée à partir de la mise en commun des travaux d'un certain nombre de chercheurs. Il n'existe pas d'expérimentation détaillée qui puisse être refaite, et à fortiori, encore moins en réalité virtuelle.

De l'autre côté, la modèle de Rea est plus limité en portée (entre 12 et 169 cd/m^2) mais présente en détail tout le protocole qui a été mis en œuvre pour développer les équations de performance visuelle. De plus, l'intervalle de fonctionnement du modèle correspond relativement bien aux luminances atteignables dans un simulateur et n'est donc pas très contraignant.

L'objectif de cette partie est donc de vérifier par l'expérimentation, dans un simulateur, les prédictions de performance du modèle de Rea. Pour ce faire, on a transposé en Réalité Virtuelle l'une des expérimentations mise en place par Rea et Ouellette pour déterminer leur modèle.

CHAPITRE

1

MODÈLES DE REA

1.1 Première modélisation de la performance visuelle relative

Les sections suivantes décrivent brièvement le contexte et les premiers travaux de Rea qui l'ont mené à proposer sa propre modélisation de la performance visuelle [Rea, 1987, 1986], définie comme étant la vitesse et la précision atteintes pendant la réalisation d'une tâche visuelle.

1.1.1 Modèle précurseur

Le premier modèle de Rea est directement inspiré de l'effet de compression proposé par Naka & Rushton [1966] qui modélise qu'à partir d'un certain niveau d'intensité, lorsque l'intensité du stimulus augmente, la réponse sensorielle associée augmente de moins en moins jusqu'à atteindre une forme de plateau (voir Fig. 58). Les différentes courbes représentent les longueurs d'onde des lumières de couleur utilisées. Cet effet est modélisé de la manière suivante : $\frac{R}{R_{max}} = \frac{I^n}{I^n + k^n}$.

Dans cette équation, le rapport de la réponse sensorielle (R) sur la réponse sensorielle maximale (R_{max}) est égal au rapport de l'intensité I montée à une puissance n déterminée sur la somme de cette même intensité I montée à la puissance n et d'une intensité k , également montée à la puissance n . La réponse à l'intensité k est égale à la moitié de la réponse sensorielle maximale : $R(k) = \frac{R_{max}}{2}$.

On peut faire l'analogie suivante pour donner un bon exemple de l'effet de compression : si dans une pièce on allume une deuxième ampoule d'égale intensité, la sensation de lumi-

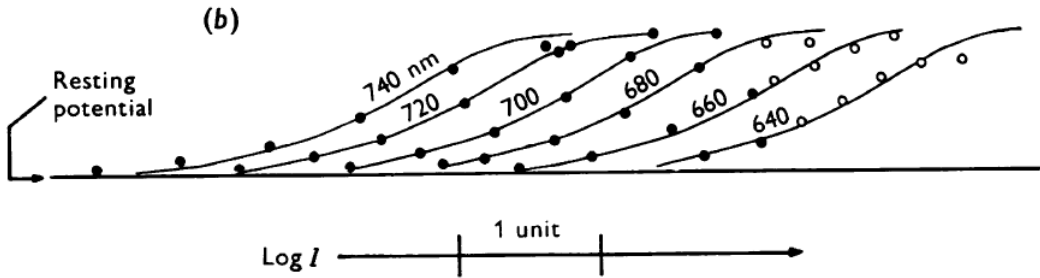


FIGURE 58 – Illustration de l'effet de compression.
Image tirée de [Naka & Rushton, 1966]

nosité va grandement augmenter. Au contraire, si on rajoute une ampoule dans une pièce dans laquelle déjà mille ampoules sont allumées, la différence de luminosité perçue sera minime.

1.1.2 Application à la performance visuelle

Rea s'est imposé deux règles pour la conception de son modèle : la performance visuelle doit être issue d'une performance à la réalisation d'un tache, et le modèle doit être cohérent avec la littérature, notamment avec l'effet de compression que l'on vient de décrire.

Le stimulus est décrit (Eq. 53) comme la différence entre le seuil de contraste C_t , calculé avec la formule de Blackwell (Eq. 51), qui représente le contraste minimal à partir duquel la perception devient possible en fonction de la luminosité du fond (L_B) et le contraste visuel C_V qui correspond au contraste entre la luminosité du fond et la luminosité de la tache visuelle (L_T) (Eq. 51).

$$C_t = 0.048 \left[\left(\frac{0.308}{L_B} \right)^{0.4} + 1.0 \right]^{2.5} \quad (51)$$

$$C_V = \frac{L_B - L_T}{L_B} \quad (52)$$

$$\Delta C = C_V - C_t \quad (53)$$

Les calculs suivants sont ensuite tirés de régressions polynomiales de degré 2 faites avec leurs données expérimentales :

$$\begin{cases} n = 0.882 + 4.38\theta_1 - 6.05\theta_1^2 \\ \theta_1 = \log(\log(L_B)) \end{cases} \quad (54)$$

$$\begin{cases} k = -2.25 + 1.77\theta_2 - 0.217\theta_2^2 \\ \theta_2 = \log(L_B) \end{cases} \quad (55)$$

$$VP_{max} = 0.0628 + 0.0120\theta_2 - 0.00268\theta_2^2 \quad (56)$$

Au final, la performance visuelle s'écrit de la manière suivante (Eq. 57) :

$$VP = \frac{(\Delta C)^n}{(\Delta C)^n + (k/L_B)^n} \quad (57)$$

Et $RVP = \frac{VP}{f}$ avec f la valeur de VP_{max} dans les meilleures conditions (luminance et contraste maximaux). Dans le cas de l'expérimentation de Rea, $f = 0.076$.

Les résultats de cette expérimentation permettent à l'auteur de dégager trois tendances :

- A contraste constant, la performance augmente avec la luminance,
- La performance augmente plus rapidement avec le contraste lorsque les conditions de luminance sont plus élevées,
- La performance varie assez peu entre des conditions moyenne et supérieure de contraste.

1.2 Méthode des temps de réaction

Rea et Ouellette complètent la démarche initiale de Rea en proposant une méthode pour établir la performance visuelle d'un sujet, basée sur la mesure et la prédiction des temps de réaction de ce dernier à l'apparition d'un stimulus visuel calibré [Rea & Ouellette, 1988, 1991]. C'est cette modélisation que l'on va chercher à traduire en réalité virtuelle afin de déterminer si elle est utilisable dans le cadre de notre score de réalisme, pour le critère de contraste et de luminance.

1.2.1 Protocole expérimental

L'objectif était de mesurer le temps de réaction de sujets à l'apparition d'une cible sur un écran. La couleur de la cible était calibrée pour obtenir un contraste choisi par rapport au fond sur lequel elle était affichée.

L'expérimentation était découpée en deux parties : une première série de mesures pour des cibles plus foncées que le fond sur lequel elles étaient présentées (méthode décrémentale) puis une autre série de mesures avec des cibles plus claires que le fond de présentation (méthode incrémentale).

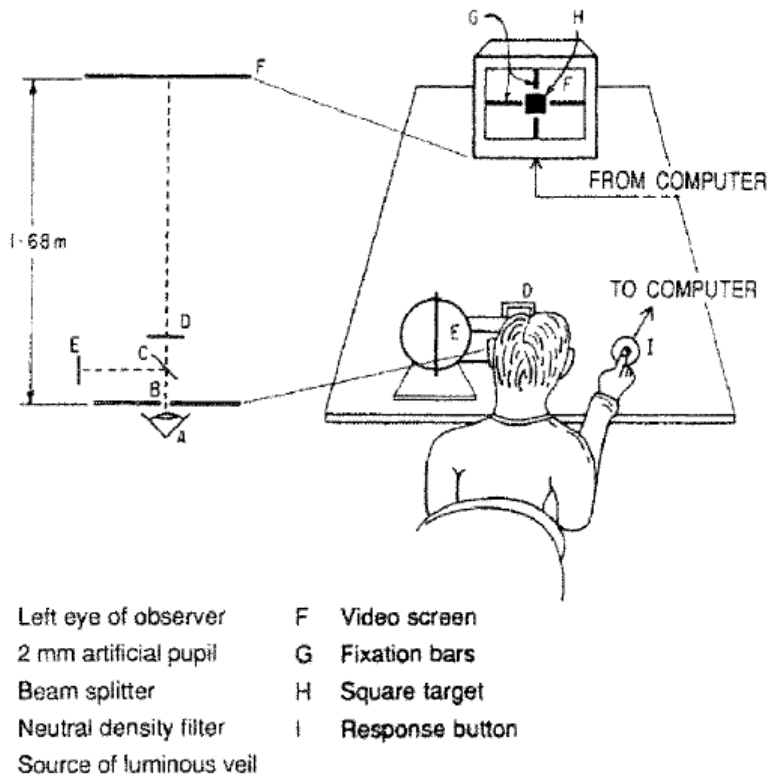


FIGURE 59 – Installation de l’expérimentation de Rea et Ouellette.
Image tirée de [Rea & Ouellette, 1988]

Les cibles, un carré, étaient présentées à 1.68 m de l’œil du sujet sur un écran occupant 12 degrés de champ de vision horizontal et 7 degrés de champ de vision vertical. Toutes les cibles étaient vues avec l’œil gauche, à travers un filtre neutre réglable et avec l’ajout d’une voile lumineux artificiel directement au niveau de l’œil (Fig. 59).

Le contraste du carré était calculé en utilisant l’équation suivante (Eq. 58) :

$$C = \frac{|(TL_b + L_v) - (TL_t + L_v)|}{TL_b + L_v} = \frac{T|L_b - L_t|}{L_a} \quad (58)$$

Avec T la valeur de transmittance du filtre (entre 0 et 1), L_b la luminance du fond de l’écran, L_t la luminance du carré à détecter et L_v la luminance de voile ajoutée artificiellement. L_a représente quand à elle la valeur de la luminance d’adaptation, c’est à dire la valeur pour laquelle l’œil et tout le système optique se sont réglés (avec par exemple l’adaptation du diamètre pupillaire).

Chaque apparition de cible était espacée d’une temporisation de 1.5 secondes puis d’une temporisation aléatoire variant entre 1 et 3 secondes. La taille de la tache visuelle était variable entre 0.20 et 280×10^{-5} steradians¹.

Chaque sujet a enregistré 19200 mesures de temps de réaction pour la partie décrémentale et 3625 mesures pour la partie incrémentale.

1. Unité sans dimension. un angle solide d’un stéradian délimite sur la sphère unité à partir du centre de cette sphère une surface d’aire 1.

1.2.2 Calcul des temps de réaction théoriques

Une fois toutes les mesures effectuées, cela a permis de rétablir une équation de performance avec une protocole similaire à la première modélisation et décrit plus haut. Le détail de ces calculs est présenté en annexes et on retiendra ici seulement l'équation suivante (Eq. 59) :

$$R = \frac{(\Delta C_d)^{0.97}}{(\Delta C_d)^{0.97} + K^{0.97}} \quad (59)$$

De cette équation qui décrit la performance du sujet à détecter l'apparition de la tache visuelle en fonction des conditions d'illumination et de contraste, on dérive le temps de réaction en prenant simplement l'inverse de la performance (Eq. 60) :

$$RT = \frac{1}{R} \quad (60)$$

Cela permet d'avoir un comportement logique dans les résultats avec un temps de réaction qui diminue quand la performance augmente et inversement.

De plus, cette performance R liée au temps de réaction, ainsi calculée, peut être reliée au modèle initial de performance visuelle relative. Cela nécessite d'appliquer deux opérations sur l'ensemble des résultats mesurés dans les deux expérimentation pour les même conditions d'illumination, de contraste et de taille de cible : le calcul de ΔT_{vis} : la variation du temps de réaction par rapport au temps obtenu dans les meilleures conditions expérimentales (Eq. 61) et vient ensuite une transformation linéaire (Eq. 62) :

$$\Delta T_{vis} = RT_{ref} - RT \quad (61)$$

$$RVP = RVP' \left(\frac{\Delta T_{vis} - \Delta T_{vis,r}}{\Delta T'_{vis} - \Delta T_{vis,r}} \right) \quad (62)$$

Avec RT_{ref} le temps de réaction « étalon » obtenu dans les meilleures conditions expérimentales, RVP' la valeur maximale de performance visuelle pour le jeu commun de conditions expérimentales, $\Delta T'_{vis}$ la meilleure valeur pour le jeu commun et enfin $\Delta T_{vis,r}$ l'estimation de ΔT_{vis} au seuil de contraste de lisibilité.

On sait donc désormais calculer la performance théorique et donc les temps de réaction théoriques à l'apparition d'une tache visuelle en fonction des conditions de luminance, de contraste et de taille de la cible. Il reste donc à mesurer empiriquement nos propres temps de réactions pour les comparer.

CHAPITRE

2

MESURES PRÉLIMINAIRES

Afin de contrôler le plus finement possible les valeurs de luminance et de contraste proposées à nos sujets pendant les expérimentations, il est nécessaire de mesurer avec le plus grand soin, directement sur le simulateur, toutes ces valeurs. Les mesures ont été faites dans les conditions de l'expérimentation avec un « chromameter CS-100 » (Fig. 60).

2.1 Luminance globale (luminance de fond)

La première étape est de mesurer la luminance globale du simulateur, toutes faces allumées. Dans notre expérimentation, le simulateur sert à la fois de support pour afficher les cibles visuelles à percevoir et à la fois de source principale de lumière, toutes autres lampes dans la pièce étant éteintes. La luminance globale de l'expérimentation est donc la luminance des écrans, que l'on appellera ici « luminance de fond ». Elle sert pour les calculs de contraste, les cibles étant affichées directement sur une couleur uniforme sur l'écran.

Même si il existe des manières théoriques de convertir une couleur et son code RGB associé en une luminance générée par l'écran, il est nécessaire pour nous de mesurer cette transformation. En effet, il existe un certain nombre de biais tels que l'influence des autres écrans sur l'écran mesuré, l'influence des sources mineures de lumière, la fatigue de la lampe du projecteur, la dégradation de l'écran. En mesurant la relation couleur luminance générée directement dans le simulateur, on se débarrasse de tous ces biais et on peut viser la fonction de transfert réelle.

On effectue l'intégralité de nos mesures sur la face avant du simulateur car l'expérimentation ne se déroulera que sur cette face. Néanmoins, toutes les autres faces du simulateur sont éclairées, comme dans les conditions expérimentales, afin de prendre en compte l'influence de la luminosité des faces latérales et de la face au sol sur la luminosité de la face



FIGURE 60 – Chromameter CS100

avant. On utilise cinq points de mesure sur la face avant (répartis à la manière d'un dé à 6 faces), chaque mesure par point étant triplée pour éviter tout effet indésirable.

Les mesures ne sont faites que sur des nuances de gris. Pour ce faire, on affiche des couleurs dont les composantes R, G et B sont égales. Dans le simulateur, la couleur étant codée sur 8 bits, on peut afficher 256 nuances différentes : du noir le plus « pur » (Code RGB : (0, 0, 0)) au blanc le plus « pur » (Code RGB : (255, 255, 255)). Néanmoins, par soucis de praticité, on se limite à 17 nuances de gris en faisant des incrémentations de 16 en 16 dans le codage RGB des couleurs affichées. Par la suite, comme les trois composantes R, G et B sont toujours égales, on parlera de « niveau de gris » en se référant directement à la valeur des composantes. Par exemple, le noir sera appelé « gris 0 » étant donné que ses trois composantes R, G et B sont égales à 0.

Un extrait des résultats de mesure est disponible en Table 8, l'ensemble des mesures, détaillées par point de mesure, est disponible en annexes.

TABLE 8 – Extrait des mesures de luminance globale du simulateur en fonction de la nuance de gris affichée.

Couleur affichée	Niveau de gris	Moyenne
Noir	0	0.07 cd/m ²
Gris sombre	80	3.73 cd/m ²
Gris clair	176	23.22 cd/m ²
Blanc	255	42.82 cd/m ²

On peut alors ensuite tracer le graphe représentant l'évolution de la luminance globale du simulateur en fonction du niveau de gris affiché sur toutes ses faces (Fig. 61). De cette courbe, on déduit alors une régression polynomiale d'ordre 3 ($R^2 = 1$) qui nous donne la relation mathématique (Eq. 63) permettant d'anticiper la luminance en fonction du niveau de gris. Cela nous permettra par la suite de choisir précisément les couleurs à afficher pour obtenir le contraste désiré. Avec L_G la luminance globale du simulateur et g le niveau de

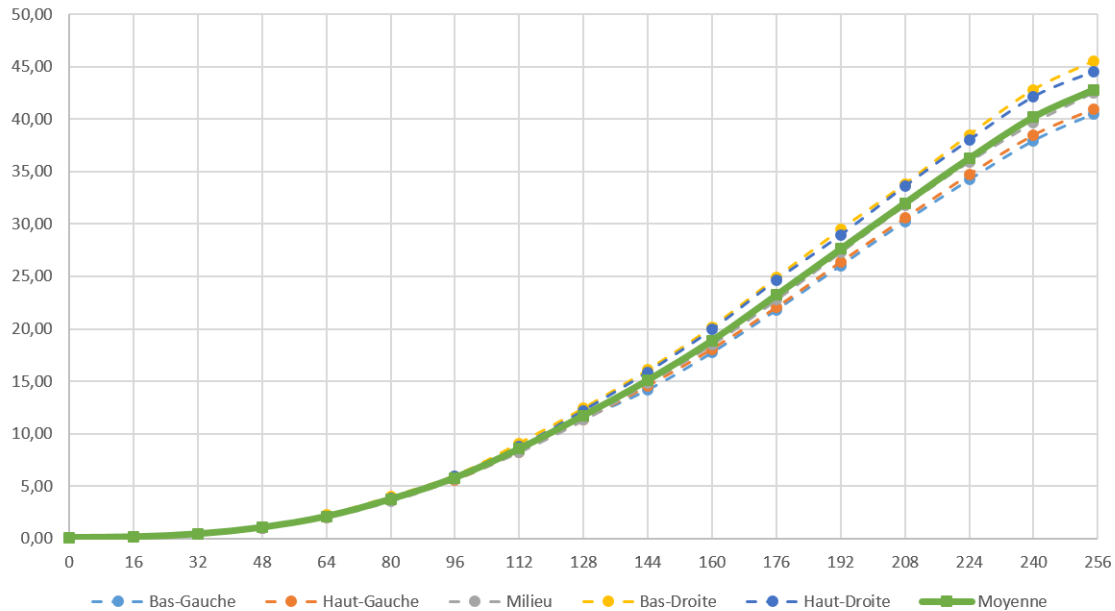


FIGURE 61 – Evolution de la luminance en fonction du niveau de gris sur les cinq points de mesure et leur moyenne.

gris normalisé, c'est à dire variant de 0 (= 0/255) à 1 (= 255/255).

$$L_G(g) = 0.69 - 18.37 g + 102.08 g^2 - 40.78 g^3 \quad (63)$$

2.2 Luminance de la cible (luminance de tache)

De la même manière, on réalise ensuite une série de mesures avec, en plus de l'intégralité des faces affichant un niveau de gris uni, un petit disque d'un diamètre de 3 cm, au centre de la face avant, dans une nuance de gris différente de celle du fond. Cette cible sera la tache visuelle à détecter pour les sujets de l'expérimentation (le stimulus). Il est donc nécessaire de connaître également son évolution en luminance en fonction de son niveau de gris, le tout en fonction du niveau de gris du reste des écrans du simulateur qui vont très certainement influer.

On limite cette fois à 6 le nombre de conditions de niveau de gris pour le reste des écrans (les 6 niveaux qui ont été retenus pour l'expérimentation) tout en gardant l'incrément de 16 par 16 pour les niveaux de gris du disque. A cause de la taille de la cible à mesurer par rapport à la surface totale des écrans, on fait l'hypothèse que celle-ci ne perturbera pas la luminance globale tandis que le niveau de gris global influera sur la luminance du disque. De même, on ne réalise qu'un seul point de mesure au centre du disque, triplé encore une fois.

On présente un extrait des résultats des mesures en Table 9. L'ensemble des mesures est

également disponible en annexes.

TABLE 9 – Extrait des mesures de luminance du disque en fonction de sa nuance de gris et de la nuance globale affichée.

Nuance de la cible	Fond : 0	Fond : 128	Fond : 255
0	0.06 cd/m ²	5.51 cd/m ²	20.30 cd/m ²
64	1.13 cd/m ²	6.55 cd/m ²	21.40 cd/m ²
144	8.20 cd/m ²	13.57 cd/m ²	28.40 cd/m ²
255	23.37 cd/m ²	28.77 cd/m ²	43.40 cd/m ²

On s'aperçoit que l'influence du niveau de gris du reste des écrans est très forte sur la luminance de la cible au centre de l'écran principal avec par exemple une multiplication par quasiment 300 de la luminance d'un cible noire (gris 0) sur fond noir (gris 0) par rapport à une cible noire (gris 0) sur fond blanc (gris 255).

On peut alors ensuite tracer les graphes représentant les évolutions de la luminance du disque en fonction du niveau de son niveau de gris et de celui affiché sur toutes ses faces (Fig. 62). De ces courbes, on déduit les fonctions de transfert par régression polynomiale d'ordre 3 ($R^2 = 1$) (Eq. 64). Avec $L_{T,p}$ la luminance du disque sur la face avant du simulateur et g le niveau de gris normalisé de la cible et p celui du reste des écrans.

$$\left\{ \begin{array}{l} L_{T,0}(g) = 0.44 - 10.67 g + 56.44 g^2 - 22.37 g^3 \\ L_{T,32}(g) = 0.60 - 10.67 g + 56.33 g^2 - 22.25 g^3 \\ L_{T,80}(g) = 2.11 - 10.87 g + 59.90 g^2 - 22.64 g^3 \\ L_{T,128}(g) = 5.89 - 10.74 g + 56.29 g^2 - 22.24 g^3 \\ L_{T,176}(g) = 11.45 - 10.33 g + 54.77 g^2 - 21.11 g^3 \\ L_{T,255}(g) = 20.69 - 10.85 g + 57.24 g^2 - 23.21 g^3 \end{array} \right. \quad (64)$$

2.3 Diamètre pupillaire

L'objectif était de vérifier une hypothèse : la luminance mesurée sur les écrans est égale à la luminance d'adaptation. Pour ce faire, toutes les mesures précédentes ont été faites par une personne équipée d'un oculomètre commercialisé par la société Ergoneers, le Dikablis Professional¹ (Fig. 63). Si on arrive à récupérer le diamètre pupillaire réel, mesuré en temps réel sur l'opérateur des mesures, on pourra, via la littérature et notamment la formule de Weale (Eq. 65) remonter à la luminance d'adaptation qui provoque ce diamètre pupillaire. On pourra alors la comparer à la luminance mesurée sur nos écrans et discuter notre hypothèse.

$$2r = 4.77 - 2.44 \tanh[0.3 \log_{10}(L_a)] \quad (65)$$

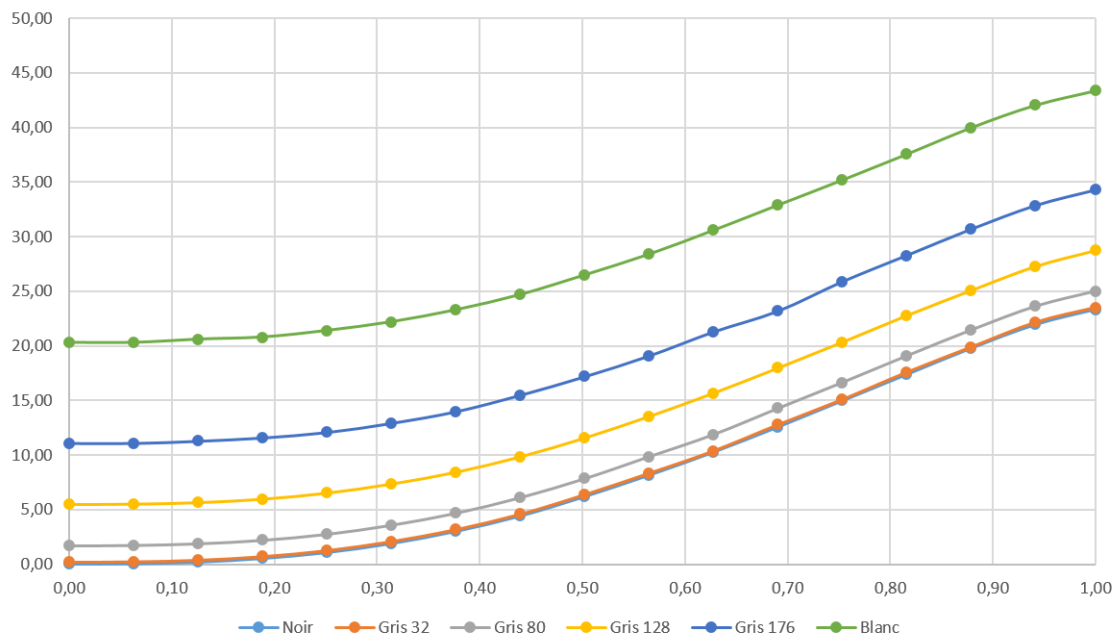


FIGURE 62 – Luminance de la cible en fonction de la luminance globale



FIGURE 63 – Oculomètre Dikablis Professional

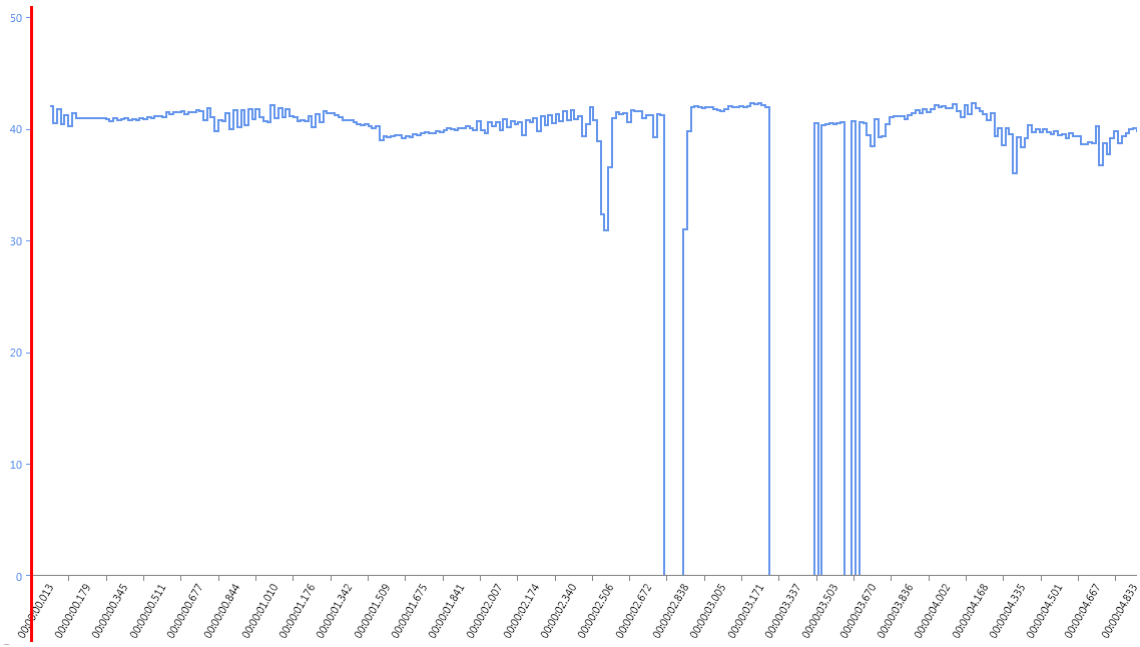


FIGURE 64 – Exemple d'une mesure en pixel de largeur pupillaire au cours du temps.
Les chutes de valeur (barres verticales) correspondent au battement des paupières.

L'oculomètre filme les yeux dans le cadre de son fonctionnement et permet donc de relever parallèlement un certain nombre d'autres paramètres en temps réel et sur les deux yeux indépendamment. Notamment, la surface, la hauteur et la largeur pupillaire peuvent être mesurées. La Fig. 64 représente une mesure de largeur pupillaire au cours du temps. Les pics correspondent à un clignement des yeux. Malheureusement, ces mesures sont données en pixels et non pas directement en mm. Il faut donc faire une conversion par rapport à une référence connue (en millimètres) dans l'image.

On prend le diamètre du globe oculaire comme référence car sa taille sur l'image est globalement constante (Fig. 65). Sur l'opérateur des mesures, cette valeur était de 25 mm. En mesurant ensuite directement sur une image, qu'on prend comme référence, la largeur de l'œil (mesure de référence) et le diamètre de la pupille on peut obtenir un ratio transformant une taille mesurée en pixel par le logiciel en millimètres réels (Eq. 66).

$$r = \frac{\text{diam oculaire mesure réelle (mm)} \times \text{diam pupillaire image ref (mm)}}{\text{diam oculaire image ref (mm)} \times \text{diam pupillaire image ref (px)}} \quad (66)$$

De même que précédemment, on prend des mesures dans cinq conditions de luminosité : condition de luminosité maximale, condition minimale et trois conditions intermédiaires. Les mesures sont disponibles dans en Table 10 et sur la Fig. 66.

La mesure est très imprécise et souffre de plusieurs facteurs d'erreurs : d'une part la mesure logicielle en pixel sur laquelle on ne peut avoir aucun contrôle, d'autre part, les estimations empiriques de la mesure de référence sur l'oeil de l'opérateur et des valeurs

1. <https://lc.cx/dgLn>

TABLE 10 – Mesure pupillaires en fonction de la luminosité

Gris	Luminance	Diam. théorique	Diam. mesuré œil gauche	Diam. mesuré œil droit
0	0.53 cd/m ²	5.59 mm	5.00 mm	4.97 mm
64	2.09 cd/m ²	4.54 mm	3.75 mm	3.21 mm
128	11.72 cd/m ²	4.01 mm	3.42 mm	3.07 mm
192	27.62 cd/m ²	3.78 mm	2.70 mm	2.53 mm
255	42.82 cd/m ²	3.66 mm	2.45 mm	2.23 mm

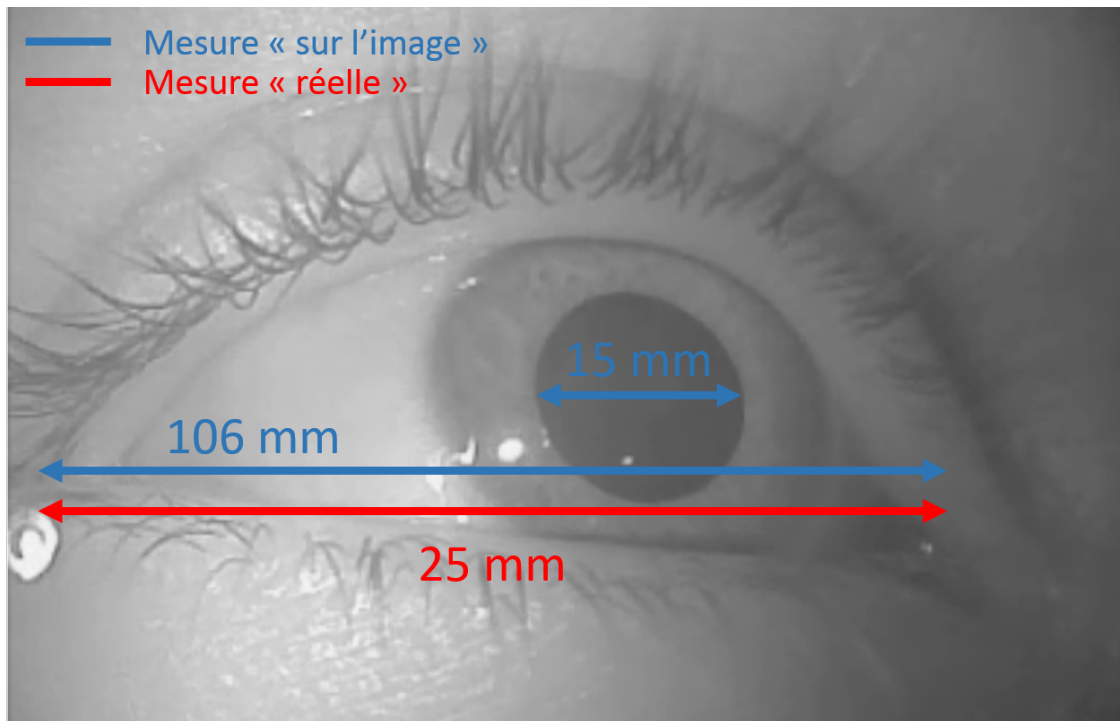


FIGURE 65 – Mesures pour la conversion pixel/mm.

sur l'image de référence pour le ratio sont assez imprécises et peuvent varier à l'ordre de grandeur du millimètre, ce qui est très important vis à vis des valeurs finales.

Par conséquent nos mesures sont relativement éloignées des diamètres théoriques calculés en fonction de la luminance venant des écrans (Fig. 66). Cela ne permet donc pas de valider, ni d'invalider, notre hypothèse de départ qui était l'égalité entre la luminance générée par les écrans et la luminance d'adaptation des yeux. L'expérimentation devra donc se faire en posant cette hypothèse.

2.4 Absorption des verres des lunettes 3D

On profite également de ces séries de mesures préliminaires pour vérifier un chiffre donné par le constructeur des lunettes 3D : seulement 17% de la luminosité globale arrive à l'œil après les lunettes stéréoscopiques. Cette donnée aurait pu nous servir directement

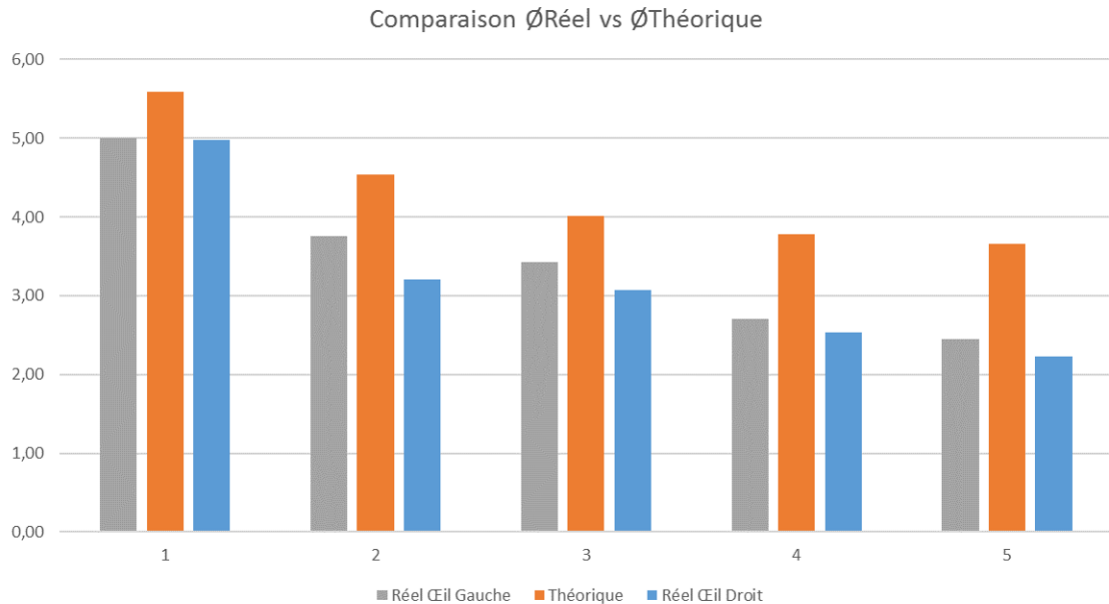


FIGURE 66 – Comparaison entre les mesures de diamètre pupillaire par rapport aux valeurs théoriques, en fonction de la luminance affichée.

en tant que valeur de transmittance T si on avait voulu réaliser notre expérimentation en stéréoscopie. Même si on choisira par la suite de faire passer nos sujets en conditions monoscopiques, il reste intéressant de vérifier ce chiffre de 17% avancé sans justifications.

En parallèle des mesures décrites précédemment pour la luminance globale, on réalise également des mesures à travers un des deux verres de lunettes stéréoscopiques. Les résultats sont très probants (Fig. 68) et donnent une valeur d'absorption moyenne à 65% sur toute la gamme de luminances possibles dans le simulateur soit un taux de non-absorption de 35%. Cependant, par construction, en stéréoscopie, les verres ne laissent passer la lumière que la moitié du temps pour permettre de nourrir chaque œil avec la bonne image. On retrouve donc bien la valeur de 17% annoncée par le constructeur.

On possède désormais tous les éléments pour se lancer dans la vérification expérimentale du modèle de Rea : on connaît parfaitement le comportement en luminance du simulateur, on a vérifié le taux d'absorption des lunettes et on sait que l'hypothèse reliant la luminance de fond et la luminance d'adaptation doit être faite, faute d'avoir pu la démontrer quantitativement.

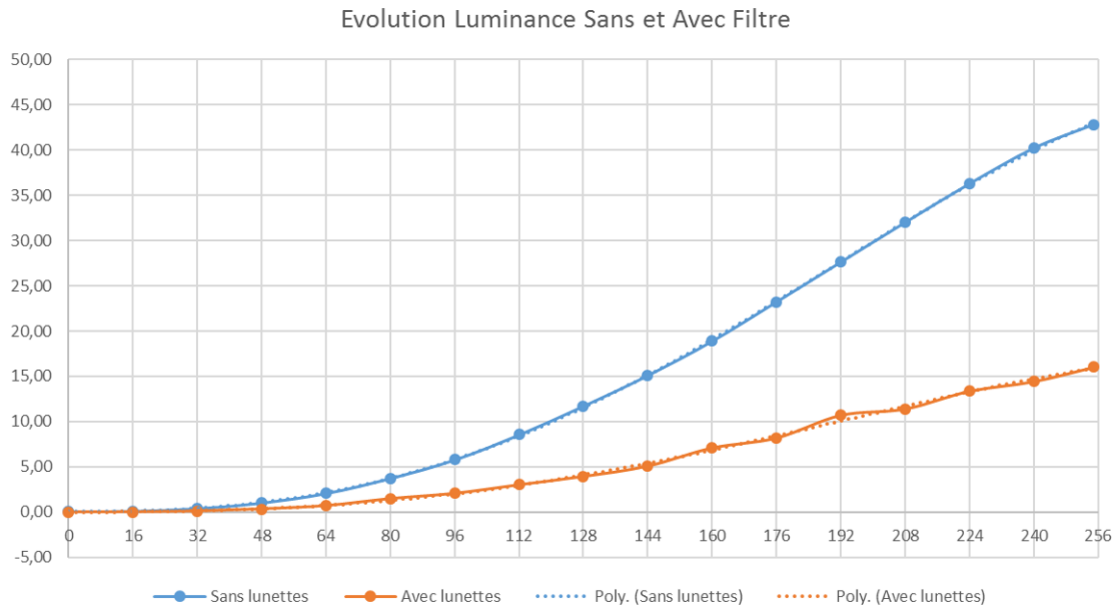


FIGURE 67 – Comparaison des mesures sans et avec filtre des lunettes stéréoscopiques.

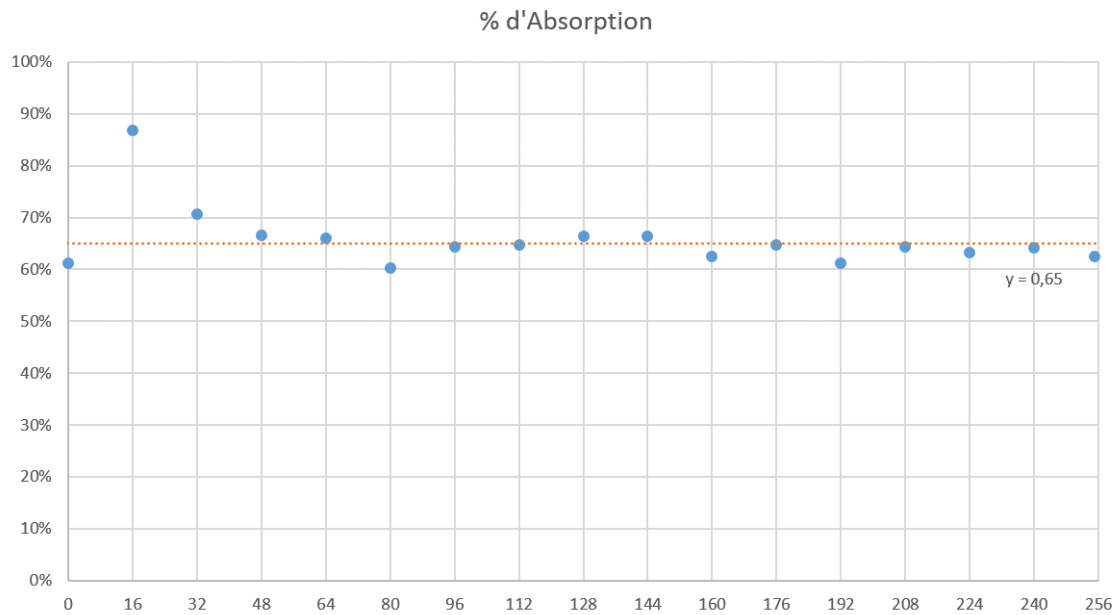


FIGURE 68 – Pourcentage d'absorption en fonction du niveau de gris affiché.

CHAPITRE

3

PROTOCOLE EXPÉRIMENTAL

On présente dans ce chapitre les détails du protocole expérimental qui a été mis en place : les hypothèses qui ont été nécessaires, le matériel, le choix des conditions présentées aux sujets et la tache qui leur était assignée.

3.1 Dispositif

3.1.1 Hypothèses de travail

La première et principale hypothèse nécessaire au déroulement de cette expérimentation est que la luminance d'adaptation est considérée comme étant égale à la luminance de background : toutes les sources de luminosité parasites (voyants des ordinateurs, luminosité filtrant par la porte, ...) et la luminosité de la tache à visualiser sont jugées sans influences par rapport à la taille et à la puissance de la source lumineuse que sont les écrans.

Cette hypothèse a un impact à plusieurs niveaux dans l'expérimentation : elle caractérise la valeur de la luminance sensée arriver à l'œil mais elle permet également une simplification dans l'équation de calcul des contrastes proposés aux sujets (voir plus bas, section 3.2.2).

La seconde hypothèse est plus spécifique et concerne également l'équation de calcul du contraste. Rea et Ouellette utilisaient un filtre variable devant l'œil de leurs sujets pour atténuer l'intensité lumineuse et ont donc inclus une valeur de transmittance de ce filtre dans leur calcul du contraste. Nous n'utiliserons pas de filtre (l'expérimentation se déroule entièrement en 2D et donc sans lunettes stéréoscopiques) et nous faisons l'hypothèse que

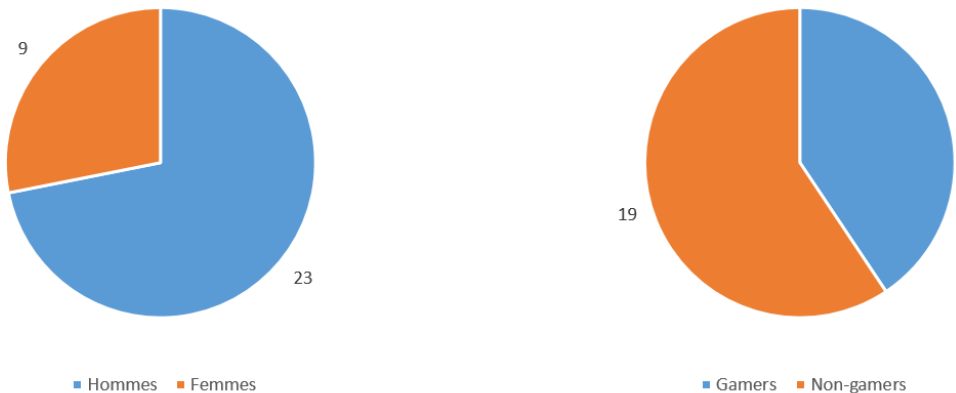


FIGURE 69 – Répartitions des sujets pour les expérimentation de contraste/luminance et de comparaison objective/subjective.

cela revient à prendre une transmittance « parfaite », c'est à dire de valeur maximale $T = 1$.

Afin d'éviter tout biais de la part des projecteurs, le passage des sujets s'est fait dans une période de temps rapprochée et avec une période de chauffe de 1h avant le premier sujet de la journée pour que les projecteurs soient stabilisés, comme recommandé par la CIE (IEC 61966-6 :2005).

3.1.2 Sujets & matériel

On réunit un total de 32 sujets (Fig. 69) pour cette expérimentation, les même que pour l'étude expérimentale décrite dans la partie de présentation du score de réalisme. Ces derniers sont volontairement choisis jeunes (entre 20 et 27 ans) pour minimiser l'impact de la dégradation de la vision avec l'âge. Tous les sujets ont donc une vision parfaite, ou corrigée et assimilée parfaite. La moyenne d'âge est de 25 ans, avec un écart-type de 1,8 ans.

De même, les conditions matérielles sont identiques que pour la première expérimentation : dans un simulateur de type CAVE, les sujets sont assis dans un fauteuil de voiture, la tête bien calée dans l'appui-tête. Néanmoins, pour cette expérimentation, les sujets n'utilisent pas de lunettes stéréoscopiques. L'expérimentation se fait donc en affichage monoscopique. Les sujets sont placés de manière à avoir les yeux à 2 mètres du centre de l'écran « principal », la face avant.

3.1.3 Tâche à effectuer

L'expérimentation se déroulait en plusieurs étapes. La première consistait simplement en un petit questionnaire visant à relever quelques informations sur le sujet en lui-même : âge, défauts éventuels et correction de vision, sexe, pratique des jeux vidéo. S'en suivait

alors l'installation du sujet dans le simulateur et une explication de la tâche à effectuer pour l'expérimentation.

De manière analogue aux expérimentations de Rea et Ouellette, les sujets devaient réagir à l'apparition de petits stimuli visuels sous la forme de disques uniformes de couleur sur un fond uniforme. La consigne était d'appuyer le plus vite possible, dès la perception du stimulus, sur un bouton spécifique (et toujours le même) d'une manette de console. Les couleurs uniformes des cibles et du fond étaient des nuances de gris choisies telles que les valeur de luminance aux niveaux des yeux et de contraste de l'un par rapport à l'autre soient parfaitement connues (voir plus bas).

La seconde étape était une session blanche d'apparition de stimuli, c'est à dire sans stockage des mesures de temps de réaction, pour assurer une bonne prise en main de la tâche à effectuer, limiter le biais de découverte et ainsi s'assurer que les temps de réactions mesurés sont les meilleurs. Le nombre de stimuli était légèrement plus faible que pour les sessions normales. La luminance choisie pour la session d'essai était différente de toutes les autres et choisie au milieu du spectre pour éviter tout biais d'habituation.

Les étapes suivantes consistaient au déroulement des différentes sessions (voir le logigramme de déroulement global en Fig. 70. Le sous-logigramme « CIBLES » est présenté en Fig. 71), une pour chaque condition de luminance. Après chaque session, les conditions lumineuses étaient immédiatement réglées pour la session suivante puis un temps d'attente de 3 à 5 minutes était observé pour permettre aux yeux du sujet de s'adapter à la nouvelle luminance de fond. La consigne étaient de garder le regard sur les écrans du simulateur. Une fois le sujet adapté aux conditions lumineuses, il pouvait lancer de lui-même l'apparition des stimuli en appuyant sur un autre bouton spécifique de la manette de console.

L'ordre des luminances de fond proposées aux sujets était semi-aléatoire : distribution aléatoire pour chaque sujet mais de telle manière, qu'au global, autant de sujets aient rencontré la condition lumineuse p en k -ième position. Par exemple, autant de sujets ont eu la condition de luminance la plus sombre en première session, qu'en deuxième, qu'en troisième, etc.

Tous les contrastes définis et possibles (voir plus bas, section 3.2.2) sont proposés au sujet pour chaque niveau de luminance. La présentation se fait dans un ordre aléatoire grâce à l'algorithme de mélange de Fisher-Yates (aussi appelé *Algorithme P*, voir paragraphe suivant). Le mélange se fait à chaque nouvelle condition lumineuse mise en place : tous les sujets ont donc eu potentiellement une série différente à chaque fois et il n'était pas possible de prédire l'ordre avant de lancer l'apparition des cibles. L'apparition de chaque cible était espacée à chaque fois d'un temps incompressible de 1000 ms auquel s'ajoutait un temps aléatoire compris en 2000 et 4000 ms.

Le principe de fonctionnement du mélange de Fisher-Yates, pour mélanger un tableau « T » de n éléments (indices allant de 0 à $n - 1$), est le suivant :

```

Pour i allant de n-1 à 1 faire :
    j ← entier aléatoire entre 0 et i
    échanger T[j] et T[i]
```

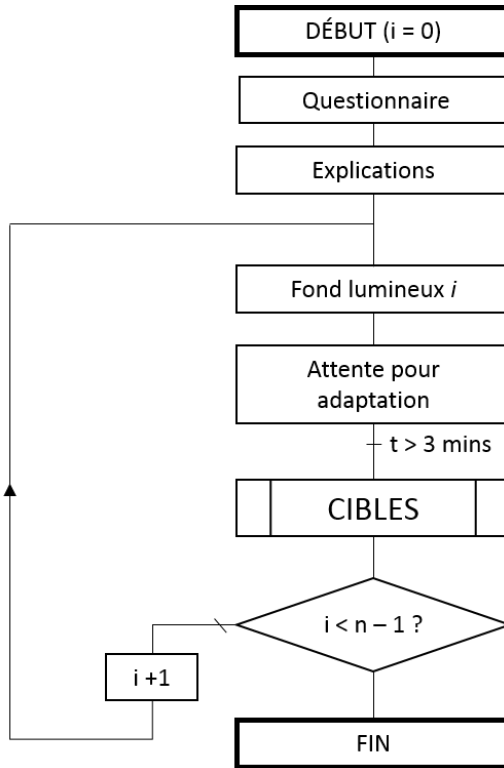


FIGURE 70 – Déroulement global de l'expérimentation contraste/luminance.

L'algorithme a une complexité linéaire et donne toutes les permutations avec la même probabilité. Il a été pensé de telle sorte que chaque élément du tableau ne bouge qu'une seule fois.

Le déroulement d'une session, c'est à dire à un niveau de luminance donné, est résumé dans le logigramme en Fig. 71.

3.2 Choix des conditions expérimentales

3.2.1 Luminance

Les conditions lumineuses de fond sont choisies de manière arbitraire, espacées régulièrement sur l'axe 0-255 bits (valeurs minimale et maximale pour encoder une couleur sur 8 bits), d'une valeur d'au moins 32 bits (soit au moins 1/8ème de la plage totale de gris). On choisit évidemment les conditions extrêmes, à savoir la luminance liée à un background entièrement noir et la luminance liée à un background entièrement blanc. On choisit également la luminance associée au gris médian, c'est à dire 128 bits pour chacune des composantes R, G et B de la couleur affichée. Comme on a pu voir précédemment dans le chapitre sur les mesures préliminaires préalables au bon déroulement de l'expérimentation, les niveaux de luminance choisis sont associés aux niveaux de gris 0, 32, 80, 128, 176 et 255. On se limite à 6 conditions lumineuses différentes dans un soucis de temps requis pour faire passer les sujets sur tous les niveaux, pour tous les contrastes calculés.

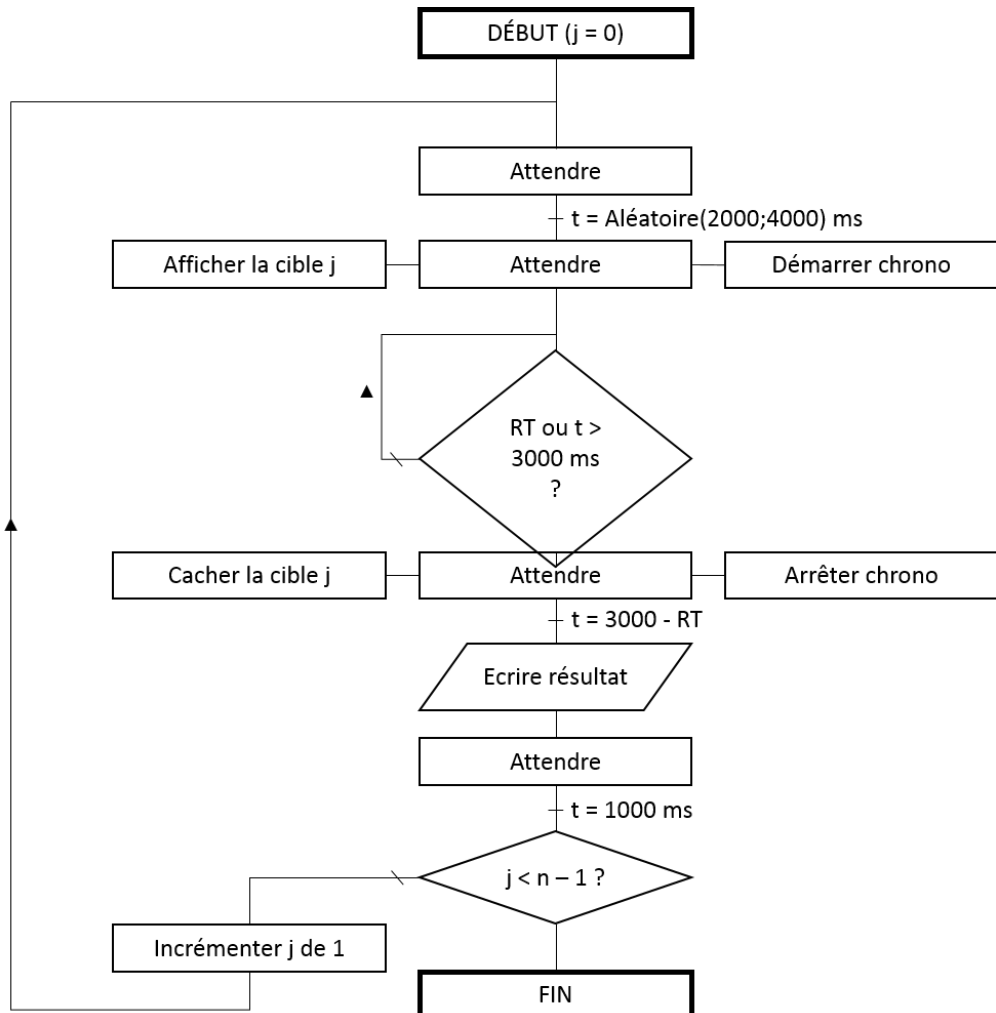


FIGURE 71 – Déroulement d'une session de mesure de temps de réactions pour une luminance de fond donnée.

Tous nos niveaux de luminance sont compris dans les conditions pour lesquelles Rea et Ouellette ont établi leur modèle. Les limites de ce dernier sont fixées entre 0.53 et 801 Td (Trolands¹) vus à travers une pupille artificielle d'un diamètre de 2 mm . Cela équivaut donc à des extrema lumineux à respectivement $0.17 cd/m^2$ et environ $255 cd/m^2$; tandis que nos extrema sont situés à $0.53 cd/m^2$ pour la condition la plus sombre et $42.82 cd/m^2$ pour la condition la plus claire.

3.2.2 Contraste

Pour calculer les différents niveaux de contraste que l'on va proposer aux sujets, on se base sur la même équation de contraste utilisée par Rea et Ouellette (Eq. 67). Cette dernière permet de calculer des valeurs de contraste comprises entre 0 et 1. On choisit, dans la mesure du possible (voir plus bas), de prendre des valeurs de contraste à intervalle régulier sur l'axe 0-1, espacés d'un dixième au maximum et d'un vingtième pour détailler la partie 0-0.25 de l'axe. Les valeurs de contraste cible/fond à atteindre sont donc : 0.05, 0.1, 0.15, 0.2, 0.25, 0.3, 0.4, 0.5, 0.6, 0.7, 0.8, 0.9 et 1; soit 13 valeurs. On peut atteindre ces valeurs de contraste par valeur « inférieure » c'est à dire avec une cible plus sombre que le fond (typiquement une cible grise sur fond blanc), mais également par valeur « supérieure », c'est à dire avec une cible plus claire que le fond sur laquelle elle est affichée. Cela nous donne un total maximal théorique de 26 contrastes différents à tester par niveau de luminosité. Néanmoins, dans la plupart des cas, il n'est pas possible d'afficher tous les contrastes souhaités voire de ne pas pouvoir afficher du tout soit les contrastes « par valeur supérieure », soit les contrastes « par valeur inférieure ». Typiquement, dans la condition de fond entièrement noir, il n'est pas possible d'afficher des cibles plus sombres et on ne peut donc avoir que des contrastes « supérieurs ».

$$C = \frac{|(TL_b + L_v) - (TL_t + L_v)|}{TL_b + L_v} = \frac{T|L_b - L_t|}{L_a} \quad (67)$$

Il est maintenant nécessaire de déterminer quelle doit être la couleur du stimuli affiché, par rapport à la couleur du fond, pour atteindre précisément le contraste désiré. C'est ici que rentrent en jeu nos deux hypothèses préalablement établies (Cf. 3.1.1) : l'égalité entre la luminance d'adaptation et la luminance de background ($L_a = L_B$) d'un côté et la transmittance prise à sa valeur maximale ($T = 1$) de l'autre. On peut donc simplifier l'équation 67 et la transformer en une équation adaptée à notre dispositif (Eq. 68), avec L_b la luminance du fond et L_t la luminance de la « target », le stimuli :

$$C = \frac{T|L_b - L_t|}{L_a} \Rightarrow C = \frac{|L_b - L_t|}{L_b} \quad (68)$$

Grâce aux régressions linéaires établies précédemment (voir la partie mesures préliminaires), on peut écrire L_b et L_t comme des fonctions du niveau de gris dans notre simulateur, soit l'équation 69 avec B la valeur entre 0 et 255 associée à la nuance de gris du fond.

1. Le Troland est une unité d'illuminance rétinienne, définie par l'équation suivante : $Td = L \times p$; avec L la luminance qui arrive à l'œil en cd/m^2 et p la surface de la pupille en mm^2 .

De même, l'équation 70 avec T la valeur entre 0 et 255 associée à la nuance de gris de la cible, l'indice B étant relatif à la nuance de gris du fond :

$$L_b = f \left(\frac{B}{255} \right) \quad (69)$$

$$L_t = f_B \left(\frac{T}{255} \right) \quad (70)$$

On obtient donc, au final, l'équation suivante qui nous permet de calculer avec précision la valeur de la nuance de gris de la cible à afficher lorsque qu'on connaît la nuance de gris du fond pour afficher un contraste choisi (Eq. 71) :

$$C = \frac{|f \left(\frac{B}{255} \right) - f_B \left(\frac{T}{255} \right)|}{f \left(\frac{B}{255} \right)} \quad (71)$$

Néanmoins, comme décrit précédemment, on souhaite pouvoir calculer des contrastes « supérieurs » et « inférieurs », hors cette équation ne fonctionne que si la luminance de fond est supérieure à la luminance de la cible. Il faut donc adapter l'équation pour calculer les contrastes « supérieurs » (Eq. 72) :

$$C = \frac{|f \left(\frac{B}{255} \right) - f_B \left(\frac{T}{255} \right)|}{f_B \left(\frac{T}{255} \right)} \quad (72)$$

On présente dans les tables suivantes les valeurs de nuances de gris nécessaires pour afficher les contrastes par valeur « supérieure » (Tab. 11) et par valeur « inférieure » (Tab. 12). La première ligne donne les contrastes obtenus, la première colonne les niveaux de gris en background et le reste du tableau le niveau de gris du stimuli. On peut voir que notamment dans le cas du background le plus sombre, les valeurs ne varient que de 1 bit et donc qu'il ne serait pas possible avec notre système d'avoir un pas de variation du contraste plus fin. On remarque que, pour les contrastes supérieurs 0.15 et 0.2 sur fond noir, la même valeur de gris est associée. Ce cas est unique et vient du fait que la régression linéaire est continue alors que l'on cherche des valeurs ponctuelles, pour des valeurs très proches ni l'arrondi ni la troncature ne permettent de les départager. On a donc ignoré une des deux valeurs pendant l'expérimentation.

A titre d'exemple, lorsque la couleur de background est un gris 128 (Code RGB = (128, 128, 128), pour afficher un stimulus contrasté par valeur supérieure à 0.3, il faut que la cible soit un gris 156, c'est à dire avec un code RGB égal à (156, 156, 156).

Maintenant que l'on a choisi les luminances de fond, que l'on sait à quelle nuance de gris elles correspondent, qu'on a choisi les contrastes que l'on voulait afficher et que l'on sait

TABLE 11 – Valeurs des nuances de gris du stimulus nécessaire pour afficher un contraste par valeur supérieure désiré.

C	0.05	0.1	0.15	0.2	0.25	0.3	0.4	0.5	0.6	0.7	0.8	0.9	1
0	16	17	18	18	19	20	21	22	23	24	25	26	27
32	33	35	36	37	38	39	41	42	44	46	47	49	50
80	85	88	90	93	95	98	102	106	110	114	118	121	125
128	133	138	142	147	151	156	164	172	180	187	195	203	211
176	182	190	198	206	214	222	239						
255													

TABLE 12 – Valeurs des nuances de gris du stimulus nécessaire pour afficher un contraste par valeur inférieure désiré.

C	0.05	0.1	0.15	0.2	0.25	0.3	0.4	0.5	0.6	0.7	0.8	0.9	1
0													
32	31	29	28	27	26	24	22	19	15				
80	79	76	74	71	69	66	61	57	52	47	52	37	31
128	123	118	114	109	105	101	93	85	78	70	62	52	40
176	167	160	153	147	140	135	123	112	101	91	79	67	50
255	232	218	206	196	186	177	161	146	132	117	102	86	66

à quelles couleurs ils correspondent, on peut passer à la partie purement expérimentale et inviter des sujets à confronter leurs temps de réaction aux prévisions du modèle. Les résultats théoriques et pratiques de ces expérimentations sont présentés dans le chapitre suivant.

CHAPITRE

4

RÉSULTATS

4.1 Prédictions du modèle théorique

On calcule les temps de réactions prévus par le modèle que l'on chercher à vérifier. Ces temps sont en millisecondes (ms). On présente ces résultats sous forme de tableau avec en colonne les différents contrastes affichés et en ligne les niveaux de gris du background (Table 13).

On laisse une case vide dans le tableau lorsque le modèle n'est pas capable de prédire un temps de réaction : le sujet n'est pas sensé réussir à distinguer le stimuli par rapport au fond. On remarque également que certaines valeurs sont complètement démesurées (typiquement, il faudrait théoriquement 25 secondes à un individu pour distinguer un stimuli contrasté à 0.20 sur un fond gris 80). Ces valeurs sont dues à un diviseur très proche de zéro dans les formules utilisées, ce qui rend les valeurs de contraste proches du contraste seuil théorique très volatiles.

Pour l'ensemble des conditions, les valeurs de temps de réaction (une fois passé le seuil limite de contraste) croissent régulièrement jusqu'à tendre vers une asymptote pour les conditions les plus lumineuses et les plus contrastées.

4.2 Mesures réelles

Les mesures réelles sont mesurées directement par le logiciel qui affiche les stimuli. Les résultats sont ensuite écrits dans un fichier externe que l'on récupère et que l'on traite ensuite dans Excel. La précision des mesures est limitée par le nombre d'images par seconde auquel le programme tourne : à chaque image, le programme vérifie si le sujet appuie ou

TABLE 13 – Temps de réaction théoriques (en ms) prédis par le modèle de Rea et Ouellette.

C/L	0	32	80	128	176	255
0.05						
0.10						
0.15					10865	3594
0.20		25435	1924	1429	1212	
0.25		1686	1041	912	839	
0.30		1039	788	725	685	
0.40	2663	696	596	568	549	
0.50	1272	577	517	499	546	
0.60	929	517	473	549	449	
0.70	773	481	446	434	425	
0.80	4451	684	456	426	416	409
0.90	2448	626	439	412	403	396
1.00	1720	585	425	402	393	387

non sur le bouton de détection et stoppe le chronomètre le cas idoine. Toute action entre 2 images est donc ignorée jusqu'au calcul suivant. C'est pourquoi la précision des mesures de temps est précise à un demi-temps inter-image près. Le programme fonctionnant à 120 images par secondes (la limite se faisant au niveau du projecteur), la précision est donc de 1/240ème de seconde soit 4 ms. Au regard des valeurs attendues (les temps les plus rapides prévus dans nos conditions par le modèle sont de 400 ms) cela représente une erreur de 1% qui peut donc être négligée.

Les moyennes des temps de réaction mesurés et leurs écart-types sont listés dans la Table 14. Etant donné que la population de sujet était supérieure ou égale à 30, on a pu calculer l'écart type réel (Pearson) et non pas un estimateur. Les valeurs si situent entre 371 ms et 670 ms avec une moyenne des moyennes (en excluant les valeurs divergentes, voir plus loin) à 437 ms (écart-type = 53 ms) et un écart-type moyen de 96 ms (écart-type = 82 ms). On notera particulièrement la valeur de temps de réaction (2013 ms) atteinte pour un contraste de 0.05 et une luminance de fond de 0.41 cd/m²).

La performance R est définie telle que l'inverse du temps de réaction RT : $R = 1/RT$. On l'utilise, plutôt que le temps de réaction, pour décrire les résultats obtenus : la performance augmente quand le temps de réaction diminue et inversement, ce qui semble plus logique. Les figures 72, 73 et 74 montrent, pour chaque condition lumineuse, la comparaison entre la performance théorique que l'on devrait avoir et la performance réelle mesurée pendant l'expérimentation. Les points correspondant à une performance nulle décrivent les points en dessous du seuil de perception : le temps de réaction est alors « infini » et donc son inverse (la performance) tend vers 0.

CHAPITRE 4. RÉSULTATS

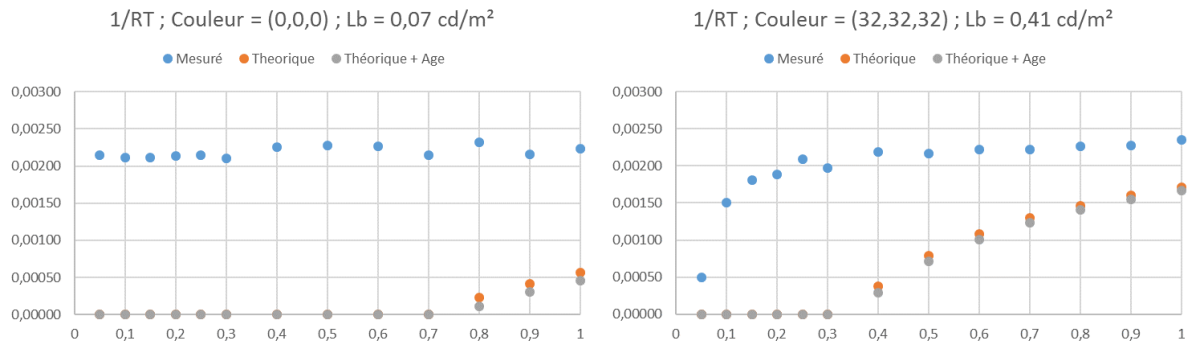


FIGURE 72 – Performance théorique et réelle pour l’expérimentation de détection des stimuli contrastés, conditions 0 et 32.

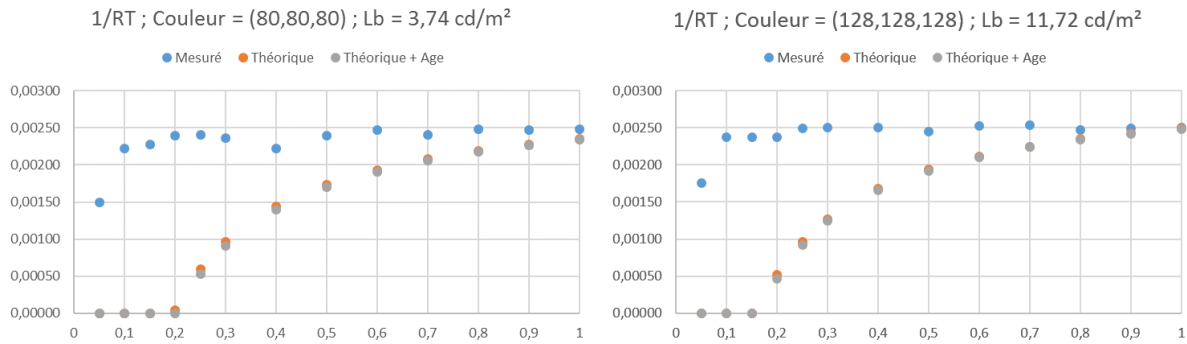


FIGURE 73 – Performance théorique et réelle pour l’expérimentation de détection des stimuli contrastés, conditions 80 et 128.

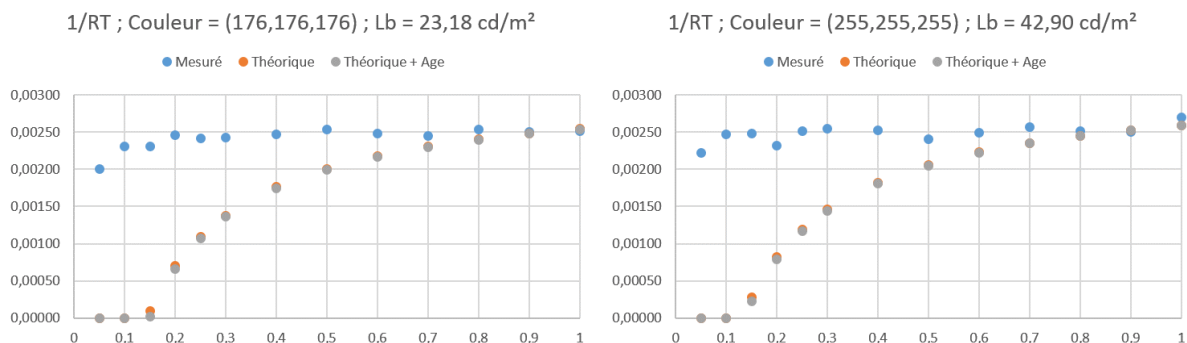


FIGURE 74 – Performance théorique et réelle pour l’expérimentation de détection des stimuli contrastés, conditions 176 et 255.

TABLE 14 – Temps de réaction moyens réels (en ms) mesurés pendant l’expérimentation et leurs écart-types moyens respectifs.

C/L	0	32	80	128	176	255
0.05	465 ± 58	2013 ± 429	670 ± 112	572 ± 314	500 ± 290	450 ± 155
0.10	474 ± 98	663 ± 447	450 ± 86	421 ± 66	434 ± 71	406 ± 50
0.15	474 ± 85	553 ± 286	439 ± 78	421 ± 85	434 ± 99	404 ± 48
0.20	468 ± 67	531 ± 323	418 ± 48	422 ± 87	407 ± 75	432 ± 88
0.25	465 ± 158	479 ± 63	415 ± 68	101 ± 50	141 ± 62	398 ± 92
0.30	475 ± 141	507 ± 215	423 ± 73	399 ± 53	412 ± 63	393 ± 72
0.40	443 ± 74	457 ± 59	451 ± 221	400 ± 59	406 ± 63	396 ± 52
0.50	440 ± 44	461 ± 78	418 ± 71	409 ± 62	394 ± 42	415 ± 67
0.60	440 ± 58	451 ± 66	405 ± 52	396 ± 52	403 ± 6	402 ± 81
0.70	466 ± 94	450 ± 80	416 ± 72	394 ± 49	408 ± 57	390 ± 48
0.80	432 ± 68	443 ± 67	402 ± 46	405 ± 80	394 ± 48	398 ± 67
0.90	464 ± 79	440 ± 61	404 ± 58	402 ± 61	400 ± 64	399 ± 77
1.00	448 ± 152	426 ± 41	403 ± 52	401 ± 77	398 ± 64	371 ± 48

4.3 Analyse et discussion

Le premier résultats qui frappe est qu’alors que le modèle de Rea prévoit que certains stimuli ne doivent pas être vus (étant en dessous du seuil), nos sujets ont été capables de voir toutes les taches lumineuses qui leur étaient présentées, et ce, quelles que soient les conditions de luminance et de contraste.

Deuxièmement, la différence entre le comportement théorique prévu et les mesures sur nos sujets est radicale. Alors que la performance est sensée augmenter avec le contraste et la luminance, il apparaît que notre performance est toujours constante. Les sujets avaient un temps de réaction globalement identique avec des conditions lumineuses pourtant très différentes. En se fiant aux prédictions du modèle de Rea et Ouellette, les sujets ne devraient pas être aussi capables : il devraient d’abord ne rien voir puis, alors que la luminance et surtout le contraste augmentent, être de plus en plus bons.

Au final, nos résultats ne correspondent pas du tout avec les prévisions de Rea et Ouellette mais convergent néanmoins vers les même valeurs. Bien que nous ayons fait de notre mieux pour traduire l’expérimentation initiale dans notre simulateur, il existe néanmoins toujours des différences fondamentales entre les prévisions et les mesures.

Dans un premier temps, on peut remettre en cause notre hypothèse sur la luminance d’adaptation et rappeler la fragilité des modèles de vision en conditions mésopiques. Pour calculer les niveaux de gris nécessaires pour afficher très exactement les contrastes que l’on désirait, nous avons simplifié l’équation en faisant l’hypothèse que la luminance d’adap-

CHAPITRE 4. RÉSULTATS

tation se résumait en la luminance de fond. La moindre écart a donc une influence directe sur les niveaux de contraste proposés aux sujets. De plus, et notamment pour les lumières les plus sombres, on se trouve dans la zone mésopique, réputée pour sa fragilité. Si ces raisons peuvent expliquer la différence entre nos valeurs pratiques et les valeurs théoriques, elles n'expliquent pas la constance des sujets : non seulement ils étaient capables de voir mais ils étaient également performants à tous les niveaux.

Si graphiquement les résultats semblent en effet diverger en basses conditions de contraste et de luminance, on vérifie néanmoins la possible corrélation statistique entre les données mesurées et les données prévues par le modèle de Rea. Il apparaît (Tab. 15) que seules les données de la première condition (background gris 0) ne sont pas corrélées. Toutes les autres présentent une corrélation positive-forte avec les données théoriques. Ces résultats montrent donc qu'il existe un lien entre les données mais sans pouvoir l'expliciter.

TABLE 15 – Résultats statistiques de la corrélation entré données mesurées et données théoriques.

Arrière-plan	0	32	80	128	176	255
Qobs	0.853	2.469	2.281	2.514	4.4249	2.715
p-value	0.412	0.031	0.043	0.029	0.001	0.020
rhô	0.249	0.597	0.567	0.604	0.788	0.634
DDL	11	11	11	11	11	11

La littérature nous donne des éléments pour compléter les corrélations statistiques : la taille de l'arrière-plan et la luminance qui en découle auraient une influence sur la sensibilité au contraste (voir paragraphe suivant). Or l'expérimentation de Rea et Ouellette a été réalisée sur un petit écran (12x7 degrés visuels) tandis que notre expérimentation (et la Réalité Virtuelle en général) l'était sur un écran remplissant l'intégralité du champ de vision. Nos sujets auraient alors été meilleurs que ceux de l'expérimentation initiale à cause de la taille de l'affichage.

McCann & Hall [1980] ont montré que la sensibilité au contraste est affectée par la luminance d'arrière plan : elle change nettement en fonction de la largeur de l'arrière-plan et est meilleure dans le cas d'un grand arrière-plan uniforme. Parallèlement, des résultats montrent que la visibilité de la cible au seuil de contraste est affectée de manière significative par l'étendue spatiale et le luminance en périphérie du champ de vision. Néanmoins, pour un contraste élevé, l'influence de la taille de l'arrière-plan immédiat s'estompe [Nakamura & Akashi, 2003].

En conclusion, il semblerait que le modèle soit partiellement valide. Dans la partie haute, là où la taille de l'affichage n'a pas d'influence, les résultats convergent. Des modifications du modèle seraient alors nécessaire en partie basse, pour la Réalité Virtuelle, pour prendre en compte la taille (visuelle) de l'affichage.

CONCLUSION

L'objectif de cette première expérimentation était d'alimenter le critère « contraste et luminance » de notre modèle de score pour la Réalité Virtuelle. Le postulat de base était qu'il existe des modèles qui définissent une performance, entièrement basée sur le système visuelle, et qui prennent notamment en paramètre d'entrée le contraste et la luminance, mais ces modèles n'ont pas été fait pour la Réalité Virtuelle, ni même pour des écrans quelconques. On cherche alors à démontrer la transposabilité d'un de ces modèles dans notre domaine afin de pouvoir l'utiliser directement dans notre score.

La démarche était donc de reproduire le protocole expérimental ayant servi à établir le modèle initial, mais en le transposant dans un système immersif, et de quantifier la bonne corrélation entre les valeurs prévues par le modèle et celles mesurées sur des sujets. Les résultats montrent un comportement qui diverge pour les basses conditions de contraste et de luminosité, mais qui converge pour les hautes conditions. Il existe néanmoins une corrélation statistique entre les données mesurées et les données théoriques. La taille de l'arrière plan, et par extension la luminance produite, semblent être la raison de cette différence : pour les basses conditions de contraste, plus le fond sur lequel est affiché le stimulus est grand, plus la sensibilité de l'observateur est bonne. Cet effet disparaît quand les conditions lumineuses s'améliorent, ce qui explique la convergence des résultats d'un côté et le rehaussement de la performance en basse conditions de l'autre.

On ne peut donc pas utiliser directement le modèle de Rea et Ouellette pour déterminer le score du critère de contraste et de luminance. Il serait alors nécessaire de proposer une modification du modèle ou d'établir le nôtre.

Néanmoins, avec l'objectif de couvrir l'intégralité des critères de notre modèle, ainsi que sa pondération, on continue nos travaux avec une expérimentation sur la latence. On consacre la prochaine partie à la description et l'analyse des résultats de cette dernière.

Cinquième partie

Expérimentation : latency

INTRODUCTION

Dans cette deuxième partie expérimentale on s'intéresse cette fois à la latence. Bien que déjà abordé précédemment, il est important de définir d'entrée ce que l'on entend par « latence » car il peut co-exister de nombreuses définitions [Blade & Padgett, 2015; Papadakis *et al.*, 2011; Watson *et al.*, 1998]. Nous utiliserons ici la plus commune et la plus générale : la latence « end-to-end », c'est à dire la latence globale de « bout en bout ». Celle-ci correspond au temps (en général en millisecondes) qui s'écoule entre un mouvement réel dans un environnement immersif (que ce soit de la tête, de la main ou de tout autre objet tant que celui-ci est tracké) et l'affichage du mouvement en question sur le/s écran/s de l'environnement immersif. Évidemment, dans notre cas, c'est la latence liée au mouvement de la tête que nous allons évaluer.

L'objectif est ici d'alimenter le critère de latence de notre modèle en informations sur la répercussion que peut avoir la latence sur le système visuel directement mais également de manière plus globale sur l'immersion, la présence et l'expérience utilisateur. Ces informations pourraient nous permettre d'établir des guidelines pour améliorer autant que possible l'expérience utilisateur dans les systèmes immersifs.

A la différence de la partie précédente, nous ne chercherons pas à valider un modèle déjà existant. Il existe des valeurs de seuil pour la latence (que nous décrirons par la suite) bien que difficiles à atteindre dans le cadre d'expérimentations écologiques¹ (la lourdeur de la scène graphique, la complexité du système ou le nombre d'intermédiaires sont autant de paramètres dégradant la réactivité du système). Cependant, de manière analogue à la partie précédente, l'axe de la performance est privilégié pour observer le plus objectivement possible l'influence de la latence sur le système visuel humain au sens large.

Cette partie décrit donc l'expérimentation qui a été menée, sur deux systèmes immersifs différents, dans un contexte de tâche similaire à ce que l'on pourrait exécuter dans la vie de tous les jours, avec des conditions de latence variables.

1. Dans le cadre d'une expérimentation, écologique signifie proche ou imitant le réel.

CHAPITRE

1

CONTEXTE

Dans ce chapitre, on aborde toute les notions préliminaires à un travail expérimental : la définition du sujet, les valeurs clefs, les méthodes de mesure. On établit également les objectifs que l'on cherchera à atteindre via expérimentation.

1.1 Définition et mesure des effets de la latence

1.1.1 Définitions

Il existe un certain nombre de définitions différentes de la latence. On a présenté notre approche dans la partie sur le score de réalisme. Indépendamment, les auteurs donnent souvent des définitions multiples. On présente ici deux définitions plutôt classiques de la latence (ou plutôt « des » latences) ainsi qu'une définition plus originale.

La première définition est quadruple [Papadakis *et al.*, 2011]. La latence peut, selon ces auteurs, être définie telle que :

- le retard entre l'action d'un utilisateur et sa prise en compte par le système,
- le temps de calcul lié à l'application, typiquement la lourdeur des graphismes à afficher ou des algorithmes qui travaillent en arrière plan.
- le retard dû au temps mis pour afficher l'image calculée, qui est au minimum égal au taux de rafraîchissement de l'écran,
- le retard engendré par la non-synchronisation écran - unité de calcul : une image calculée doit attendre le prochain rafraîchissement de l'écran pour être affichée.

D'autres auteurs, [Blade & Padgett, 2015], proposent quand à eux une version différente, plus adaptée à la Réalité Virtuelle et à l'immersion. Ils définissent alors la latence comme :

- le retard entre un mouvement de l'utilisateur et la réponse du système de tracking (typiquement, l'envoie de l'information de la nouvelle position à l'ordinateur),
- le retard entre le mouvement de l'utilisateur et le même mouvement dans le programme,
- de manière générale, un temps de réponse retardé.

On s'aperçoit que si la première définition est sensiblement la même que pour les auteurs précédents, les autres définitions ne convergent pas du tout. Il nous faut donc impérativement définir clairement le concept de latence que l'on utilise pour notre expérimentation. En l'occurrence, on choisit de se mettre dans le cadre des deux définitions de [Blade & Padgett, 2015] : le retard entre le mouvement réel et le mouvement dans la simulation.

Enfin, Watson *et al.* [1998], parlent quant à eux non pas de latence directement mais d'un concept plus global : la réactivité du système, c'est à dire du temps qui s'écoule lorsque l'on effectue une action, pour recevoir un feedback. La réactivité du système se compose des éléments suivants : la latence en elle-même (sans plus de définition), le temps entre deux images affichées (l'inverse du taux de rafraîchissement) ainsi que le délai entre l'action de l'utilisateur et le moment suivant où le système rafraîchit les acquisitions. Typiquement, si le système de tracking capture les mouvements toutes les 100 ms mais que l'utilisateur commence son mouvement 20 ms après une capture, il y aura donc automatiquement un délai de 80 ms qui s'ajoutera, indépendamment du reste du système.

1.1.2 La performance comme outil de mesure

De nombreux auteurs ont travaillé sur l'influence de la latence. Afin de s'extraire le plus possible de la subjectivité humaine, il fallait trouver une méthode qui ne se repose sur aucun questionnaire, source de biais. L'approche utilisée est alors la performance à l'échelle d'une tâche à réaliser dans l'environnement virtuel. L'influence de la latence sur la performance a été traitée de nombreuses fois dans la littérature [Ellis *et al.*, 1999; Mania *et al.*, 2004; Meehan *et al.*, 2003; Papadakis *et al.*, 2011; Watson *et al.*, 1998], et il a été démontré que la performance varie de manière inverse par rapport à la latence : plus cette dernière augmente, plus la performance en est affectée. C'est notamment par le biais de la mesure de performance que nous mèneront notre expérimentation.

Parallèlement, [Meehan *et al.*, 2003] proposent un autre moyen d'établir l'influence de la latence, qui ne passe pas par la performance. Pour rester sur des facteurs objectifs, ils mesurent des facteurs biologiques dans le corps humain directement, tels que le rythme cardiaque et la conductance de la peau (qui augmente avec la transpiration). Avec ces mesures, ils démontrent également et de manière alternative là encore, que la latence a un effet sur la présence : plus la latence est faible, plus la présence est forte.

1.2 Perception de la latence

1.2.1 Notions de psychométrie

L'étude de la littérature nécessite, au préalable, un petit détour par le domaine de la psychométrie et la définition d'un certain nombre de grandeurs que l'on sera amené à rencontrer. On se contentera ici d'une brève introduction pour la compréhension puisque l'on ne cherchera pas à monter une expérimentation purement psychométrique. Dans ce domaine, les ouvrages de référence restent le Manuel Pratique de Psychophysique de Bonnet [1986] pour la langue française et Psychophysics : A Practical Introduction de Kingdom & Prins [2010] pour la langue anglaise.

La psychométrie est l'étude quantitative de la relation entre un phénomène physique quantifiable et la ou les réponses générées par le système sensoriel humain. Elle permet d'établir des modèles de fonctionnement à plusieurs niveaux : la structure du stimulus, le fonctionnement perceptif, ou bien le/s processus d'élaboration des réponses sensorielles. La notion de stimulus est définie chez [Bonnet, 1986] telle que :

Ensemble des évènements physiques qui déclenchent l'activité des récepteurs sensoriels et étant ainsi à l'origine des réponses observées.

Une notion fondamentale en psychométrie est celle de seuil, c'est à dire de limite établie entre deux états : l'état haut et l'état bas. Selon la tâche effectuée, l'état haut peut être une détection de stimulus, une discrimination, une reconnaissance, une identification, ... tandis que l'état bas sera toujours défini comme l'absence d'état haut. Trois hypothèses sont nécessaires à la reconnaissance d'un seuil :

- **Hypothèse 1** : il ne doit pas être attribué au stimulus de part dans la variation observée des réponses (c'est à dire que le stimulus est considéré comme parfait et le récepteur comme observant des lois de probabilité pour la détection),
- **Hypothèse 2** : il est admis un continuum des états d'excitation en réponse (c'est à dire que le comportement du système sensoriel ne doit pas changer du tout au tout au passage du seuil),
- **Hypothèse 3** : il est admis l'existence d'un mécanisme de réponse qui peut être modélisé sous la forme d'une règle logique.

On note plus particulièrement deux seuils caractéristiques qui nous intéressent : le seuil de détection et le seuil de discrimination.

Le premier, appelé seuil de détection ou « absolute threshold » en anglais, caractérise la détection du stimulus, c'est à dire la capacité du sujet à répondre sur la présence ou l'absence de ce dernier. Il est nécessaire mais non suffisant pour déterminer en entier un système sensoriel : il faudrait également pouvoir en estimer la limite supérieure. Cependant, et dans de nombreux cas, il est difficile de faire des mesures expérimentales au delà

d'une certaine intensité de stimulus sans endommager le système sensoriel des sujets. Typiquement, une luminance trop forte détruirait les cellules de la rétine dans l'œil. Ces grandeurs dont on ne peut pas mesurer le seuil maximal sont appelées « métathétique » [Stevens, 1957].

Le deuxième seuil caractéristique est celui de discrimination (ou JND en anglais pour *just noticeable difference*). Il quantifie la capacité du sujet à distinguer une présence ou une absence de différence entre deux stimuli. Tout système, physique ou biologique, peut être caractérisé d'une part par ses limites de fonctionnement mais aussi par son pouvoir de résolution, sa capacité à discriminer deux niveaux voisins de signaux qu'il traite.

La psychométrie propose ensuite des paradigmes pour établir des protocoles expérimentaux et des méthodes pour traiter les résultats et en extraire des modèles (avec notamment l'usage des fonctions psychométriques). Néanmoins, nous n'avons pas eu recours à ces méthodes pendant nos expérimentations et le développer serait donc légèrement hors-cadre. On présente donc dans la section suivante les différents seuils et influences sur l'expérience utilisateur liés à la latence, décrits dans la littérature.

1.2.2 Dans la littérature

Il est tout d'abord à noter que la perception de la latence se ferait de manière indirecte [Adelstein *et al.*, 2003] : elle serait perçue non pas directement par les systèmes sensoriels mais par son effet sur l'environnement. On parle alors d'une forme analogue d'« oscillopsie » [Allison *et al.*, 2001], c'est à dire que l'environnement semble bouger, flotter dans l'espace. On peut donc extrapoler que, plus l'environnement est immersif, plus le ressenti de la latence sera fort. La perception est également indépendante de la complexité de la scène [Mania *et al.*, 2004] : que l'on soit dans un décors minimaliste avec quelques polygones ou une scène surchargée, si les deux scènes ont la même quantité de latence, le ressenti sera le même. Enfin, la latence ne suivrait pas la loi de Weber [Adelstein *et al.*, 2003] qui implique que le seuil de perception est proportionnel à la valeur de l'intensité du stimulus : on percevrait donc également la même variation de latence, quelle que soit la valeur initiale de celle-ci.

Le seuil de perception, donc de capacité à dire si le stimulus est présent ou non, a été mesuré à hauteur d'un intervalle de 15 à 18.6 ms [Regan *et al.*, 1999]. Néanmoins, ces valeurs ont été observées pour un environnement souvent non-immersif et, comme on a pu le voir au paragraphe précédent, ce dernier paramètre pourrait avoir une forte influence sur le résultat. De même, les résultats peuvent fortement varier suivant si la tâche demandée pendant l'expérimentation demande de se concentrer sur la perception de la latence ou de se concentrer sur une autre activité. Par ailleurs, [Brooks, 1999] estime le seuil de perception, pour les simulateurs de vol (donc sans concentration sur la latence elle-même), à une valeur de 50 ms. Regan et al. estiment également que le retard spécifiquement imputable au calcul de l'image (sans prise en compte ni de l'acquisition du mouvement, ni de l'affichage) est perceptible à partir de 15 ± 3 ms.

Le seuil de discrimination (capacité à distinguer une différence entre deux stimuli) quant à lui, est mesuré pour la main à une valeur comprise entre 15 et 20 ms et monte à une valeur de 50 ms pour la tête [Ellis *et al.*, 1999]. De leur côté, [Adelstein *et al.*, 2003] et [Mania

et al., 2004] proposent des valeurs pour le tracking de la tête plus proches des valeurs de Ellis pour le tracking de la main avec respectivement 13.6 ± 0.6 ms ($Max = 24.6$ ms) et 9.1 ± 1.6 ms de JND.

Enfin, [Allison *et al.*, 2001] font une remarque intéressante : plus le mouvement de la tête est rapide, plus la latence doit être faible. Ils proposent des valeurs assez élevées comme seuil de perception mais l'ordre de grandeur permet toutefois la comparaison : pour une rotation lente de la tête, une latence de 320 ms est acceptable, tandis que pour une rotation rapide, le seuil descend à 180 ms. Ces valeurs correspondent bien à la théorie de perception indirecte de la latence : plus on bouge vite, plus l'environnement va « flotter » et donc plus la perception sera forte. Cela donne également des indices sur une stratégie à adopter : quand la latence augmente, il peut être bienvenu de ralentir ses mouvements.

1.3 Mesure de la latence

On a vu que la mesure de l'influence de la latence sur l'être humain se faisait généralement via un indice de performance sur une tâche donnée. Il faut également être capable de mesurer le plus précisément possible quel est le niveau de latence auquel la tâche s'effectue. Cette fois, la mesure ne peut être qu'objective puisqu'elle n'implique pas le sujet humain mais seulement le système directement. On trouve un certain nombre de techniques dans la littérature, que nous allons présenter ici brièvement (de manière non exhaustive).

Une première méthode pour déterminer la latence d'un système est décrite chez [Liang *et al.*, 1991] et implique l'utilisation d'un pendule, d'un pendule fixe, d'une caméra, d'un module de tracking (ici, « Isotrack ») et d'un écran de retour (Fig. 75). La technique revient à faire osciller un pendule devant une base fixée verticalement (type fil à plomb). Un système de tracking est associé au pendule et affiche, via l'écran de retour, ses mesures horodatées de position du pendule. Avec une caméra placée dans l'axe des pendules on peut, en analysant la vidéo image par image, mesurer l'écart de temps entre l'image montrant l'alignement entre les deux pendules et la mesure indiquant effectivement que le pendule est aligné avec la référence fixe.

[Jacoby *et al.*, 1996] utilisent également un pendule mais sans traitement vidéo a posteriori qui peut être un facteur d'imprécisions si la fréquence de capture d'image est trop basse (on risque de ne pas avoir l'image qui montre l'alignement parfait mais celle avec quelques degrés de plus ou de moins). Dans ce protocole, un ordinateur affiche une scène d'environ 1000 polygones non texturés et est relié à un système émetteur-recepteur infrarouge. Le pendule coupe le rayon infrarouge à un certain point de sa course, ce qui a pour effet d'envoyer un ordre vers l'ordinateur qui doit modifier la couleur de certains de ces polygones. Un photodétecteur surveille en permanence l'écran et envoie un signal en tension lorsqu'il détecte le changement de couleur sur l'écran. Le système infrarouge et le photodétecteur sont tous deux câblés sur un oscilloscope qui permet de mesurer avec précision le temps entre leurs signaux respectifs.

Parallèlement, il existe d'autres techniques qui ont été mises au point et qui n'impliquent pas de pendule et de mouvement oscillatoire. [Swindells *et al.*, 2000] génèrent un mouvement cyclique et périodique à l'aide de la table tournante d'un lecteur de vinyles. Un patch

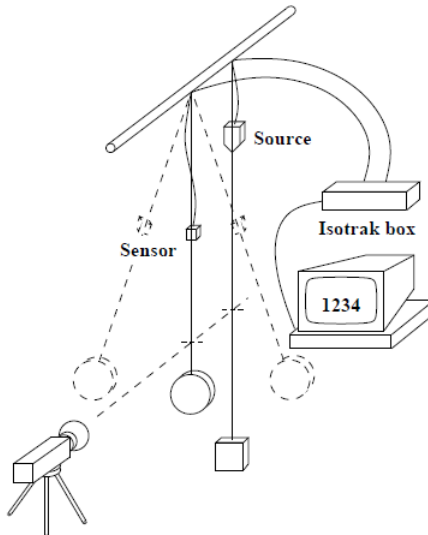


FIGURE 75 – Méthode du pendule pour le calcul de la latence.
Image tirée de [Liang *et al.*, 1991]

de forme ronde est placé et tracké sur la table tournante. Son mouvement est reproduit dans une scène virtuelle (Fig. 76). L'écart angulaire est mesuré entre le disque réel et le disque virtuel via des prises photo ou vidéo. La vitesse de rotation étant fixée et connue, on peut alors déduire le temps de latence généré par le système.

[Steed, 2008] proposent une autre méthode de pendule tracké, annoncée plus simple que les précédentes. Une diode électroluminescente rouge est fixée à un pendule et trackée grâce à un système optique. Le mouvement de la diode rouge est reproduit en vert sur un écran placé derrière le pendule tandis qu'une caméra filme l'ensemble. A partir de la vidéo, on peut être en mesure de reproduire les sinusoïdes que décrivent les mouvements des diodes réelle et virtuelle et ainsi en déduire la latence du système en prenant le temps crête à crête.

Si les méthodes décrites jusqu'à présent sont très abstraites par rapport au déroulement réel d'une application en VR, [Di Luca, 2010] propose une technique adaptative : que ce soit pour des lunettes 3D, pour un objet quelconque ou pour un casque de Réalité Virtuelle. La méthode nécessite deux photodétecteurs : le premier placé sur l'objet à tracker et le second au niveau de l'écran qui servira à afficher l'image pour le sujet : dans le cas d'un casque, les deux photorécepteurs seront placés sur le même objet (mais à des positions différentes) alors que dans le cas d'un CAVE, les photorécepteurs seront distants (l'un sur les lunettes, l'autre au niveau d'un écran). On affiche, devant le premier photorécepteur (celui sur l'objet tracké), l'image fixe d'un gradient lumineux (un dégradé du noir vers le blanc typiquement). Si on déplace l'objet tracké dans le sens du gradient, on pourra obtenir l'équivalent de sa « position » via la valeur de luminosité qu'il mesure. De l'autre côté, le deuxième photodétecteur est dirigé vers l'écran destiné à l'utilisateur, sur lequel on affiche une nuance de gris (uniforme sur tout l'écran) en fonction des informations de tracking que l'on reçoit. En comparant le temps auquel le photorécepteur passe devant une nuance de gris donnée (en se déplaçant le long du gradient) et le temps où l'écran de l'utilisateur affiche cette même nuance de gris, on obtient la latence globale du système.

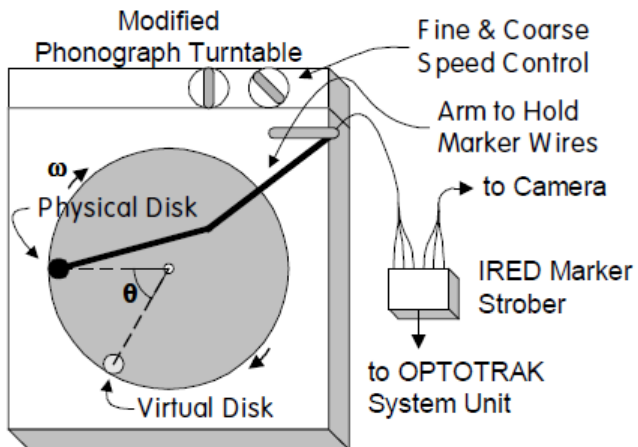


FIGURE 76 – Méthode de la table tournante pour le calcul de la latence.
 Image tirée de [Swindells *et al.*, 2000]. La position du disque physique est appliquée au disque dans la scène virtuelle. Les deux images sont superposées et on mesure l'écart angulaire entre les deux. A partir de la vitesse de rotation on peut remonter à la latence.

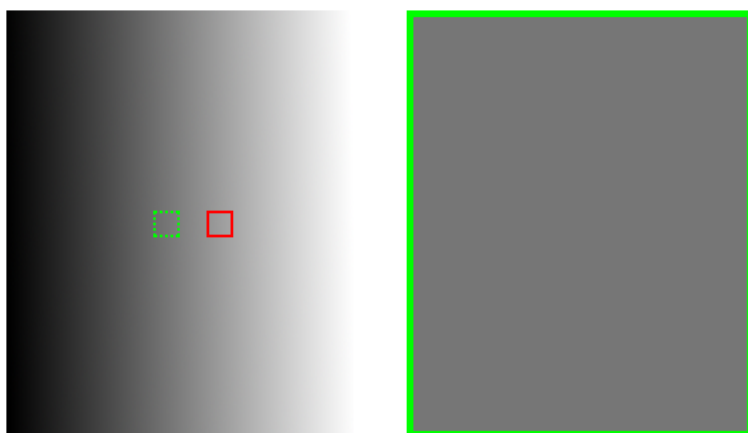


FIGURE 77 – Méthode des gradients pour le calcul de la latence.
 Le cadre rouge représente la zone réellement mesurée par le photorécepteur tandis que le grand cadre vert montre la couleur affichée par l'écran final, ce qui correspond à une « position » sur le gradient fixe représentée par le cadre vert en pointillés. La différence entre les deux petits cadres permet de calculer la latence du système.

Néanmoins, les méthodes impliquant des pendules ont un défaut majeur : les 6 axes de mouvements sont autorisés, ce qui donne un mouvement avec une composante fondamentale et des petites composantes harmoniques. Ces dernières peuvent influer sur le résultat final en augmentant subrepticement l'amplitude du mouvement par rapport à la théorie. Pour minimiser ces effets indésirables, [Papadakis *et al.*, 2011] proposent donc une méthode similaire au plateau tournant, avec un système limité à 3 degrés de liberté dont 2 fixés. Une rotation est générée avec un servo-moteur et contrôlée avec un encodeur, le tout relié à un oscilloscope. L'environnement virtuel lit les valeurs de l'encodeur et est programmé de telle manière que, lorsque certains seuils de rotation sont franchis, il affiche un changement graphique (un carré de couleur blanche devient noir et inversement). Une photodiode placée au niveau de l'écran surveille ce carré et renvoie un signal à l'oscilloscope en cas de changement. Le reste de la scène virtuelle est un environnement lourd en polygones (environ 140000) et soumis à des calculs de lumière complexes afin de se rapprocher des usages normaux. On relève enfin la mesure de la latence sur l'oscilloscope avec le temps entre le passage de seuil au niveau de l'encodeur, et le changement de couleur au niveau de la photodiode.

Bien que, dans l'idéal et pour maximiser la précision dans les mesures, il faudrait utiliser un oscilloscope, nous utiliserons pour notre expérimentation une méthode par la vidéo semblable à celle proposée par [Steed, 2008], pour mesurer la latence de nos propres systèmes ; la précision étant suffisante pour notre application (voir chapitre suivant).

CHAPITRE

2

MISE EN PLACE DU DISPOSITIF EXPÉRIMENTAL

On connaît maintenant mieux le contexte de la latence dans la Réalité Virtuelle. On pourra donc utiliser ces connaissances pour la planification et la réalisation d'une expérimentation. Si on connaît les seuils de perception et de discrimination de la latence, la variation de la performance n'est pas décrite : on sait simplement qu'elle est impactée par la latence. Il pourrait également être intéressant de se pencher sur la différence d'influence de la latence par rapport au système immersif en lui-même. On fixe donc un certain nombre d'objectifs pour cette expérimentation :

- Développer un des critères prépondérant du modèle de score de réalisme.
- Observer l'influence de la latence sur la performance, en milieu immersif.
- Comparer entre deux moyens immersifs (un casque et un simulateur type CAVE).
- Déterminer un seuil au delà duquel l'expérience utilisateur devient trop impactée.

On présente dans ce chapitre la mise en place de notre expérimentation : l'établissement du protocole pour les sujets, les techniques mises au point pour mener à bien les différentes modalités et les mesures préliminaires nécessaires au bon fonctionnement de la manipulation.

2.1 Tâche à effectuer

Les sujets étaient confrontés à une situation écologique, c'est à dire sensée représenter la vie « réelle », et il leur était demandé de réaliser une tâche de tous les jours telle que

regarder à des endroits précis dans le cockpit d'une voiture, pendant de courts laps de temps.

2.1.1 Moyens immersifs

Un des objectifs de l'expérimentation étant de faire également une comparaison entre plusieurs moyens immersifs, on fait passer nos sujets dans un casque de Réalité Virtuelle (un Oculus Rift) et dans un simulateur de type CAVE.

Le CAVE est le même que pour les précédentes expérimentations : que ce soit pour le contraste et la luminance ou pour la conduite suivie de questionnaires. Les sujets sont donc assis dans un CAVE 4 faces à 1 mètre de distance de la face principale (avant). Les sujets n'étaient pas assis sur un siège de voiture comme dans nos autres expérimentations mais sur un siège normal. Ce changement est dû à plusieurs raisons : premièrement, aucune tâche de conduite n'était nécessaire, ensuite, pour garder la continuité avec la chaise de même format utilisée pendant les essais dans le casque, et enfin, pour des facilités de manœuvre. Les sujets n'étaient donc équipés que des lunettes de stéréoscopie et d'une manette de jeu faisant office d'interface de contrôle. Du point de vue des performances graphiques, l'application utilisée pendant l'expérimentation tournait à une valeur constante de 60 images par seconde.

La partie casque de Réalité Virtuelle s'appuyait sur un Oculus Rift de type CV1 (Commercial Version 1, voir Fig. 78). L'utilisation du casque se faisait assis à une table disposée dans un des coins du CAVE, hors de vue d'un sujet passant dans le simulateur. L'assise se faisait au moyen d'une chaise parfaitement identique à la première pour assurer une continuité entre les deux. La caméra de tracking était placée sur la table, cette dernière servant aussi pour la réponse aux différents questionnaires (voir ensuite). De cette manière, les sujets pouvaient enchainer les deux moyens immersifs sans coupure. En terme de performances, l'application était stabilisée à 90 images par seconde.

L'environnement virtuel était commun au CAVE et au casque : le sujet était assis au volant d'une voiture (modèle « officiel » interne Renault), à l'arrêt dans un « paysage » constitué de l'intérieur des bâtiments de Renault. Le paysage était réalisé au moyen d'une photo 360 degrés pour un maximum de photo-réalisme et pour limiter le nombre de triangles à afficher dans la scène (déjà bien chargée par le modèle de la voiture). Les lumières et réflexions des miroirs étaient pré-calculées pour limiter au maximum l'impact sur le temps de calcul des images.

2.1.2 Détail de la tâche

Une fois correctement installés dans l'environnement immersif, derrière le volant virtuel, les sujets pouvaient déclencher le début de la séquence de mesure. Il leur était alors demandé de viser visuellement des endroits précis (des « cibles ») dans la voiture, dans un ordre aléatoire, aussi rapidement et précisément que possible. La visée était aidée avec un réticule semblable à ce qui se fait dans les jeux vidéo, attaché au mouvement de la tête (voir le viseur rouge, Fig. 79). Les cibles à viser étaient indiquées par une flèche blanche



FIGURE 78 – Oculus Rift et ses accessoires.

De gauche à droite : la caméra permettant de tracker le casque, le casque vu de face (version CV1) et la manette de Xbox associée.

pointant une direction parmi 4 possibles (à gauche, à droite, en haut et en bas). Chaque direction de la flèche était associée à une cible : vers la gauche pour le rétroviseur gauche, vers la droite pour le rétroviseur droit, vers le haut pour le rétroviseur central et vers le bas pour la console centrale (l'écran tactile), voir Fig. 79.

Aussitôt que les sujets estimaient être au centre de la cible désignée, ils devaient appuyer sur un bouton (toujours le même) sur une manette de jeu (voir Fig. 78) qu'ils tenaient entre leurs mains. Chaque séquence dans le casque ou dans le CAVE était composée de 24 cibles à viser successivement (6 fois chacune des 4 cibles, mélangé aléatoirement). Les sujets devaient replacer leur réticule (et par conséquent la position de leur tête) à une position neutre après chaque visée : à l'endroit d'apparition de la flèche blanche.

A chaque fois que les sujets appuyaient sur la manette et qu'ils étaient (par la biais du réticule) dans la cible désignée, le programme déclenchaît une série de mesures (temps de passage, précision sur les axes vertical et horizontal, ...) qui sont décrites plus précisément dans la section suivante. Dans le cas d'un appui sur la manette sans cible désignée, en dehors de toute cible ou sur la mauvaise cible, rien ne se passait.

La même séquence de 24 cibles (avec néanmoins un ordre différent puisque celui-ci était tiré aléatoirement au début de chaque séquence) était répétée 6 fois : 4 fois dans le casque et 2 fois dans le CAVE. Là encore, l'ordre de passage était mélangé aléatoirement entre les sujets pour éviter tout biais. Pour éviter de nombreux aller-retours et une re-calibration avant chaque passage, les séquences dans le casque et dans le CAVE étaient groupées : le sujet pouvait commencer aléatoirement par le casque ou par le CAVE, puis les modalités pour chaque équipement étaient vécues dans un ordre aléatoire. La différence entre chaque modalité pour le casque comme pour le CAVE était la quantité de latence globale par rapport au tracking des mouvements de la tête (d'où la manière de déplacer le réticule).

Les deux premières modalité de latence sont évidemment, pour le CAVE et pour le casque,



FIGURE 79 – Environnement virtuel pour l'expérimentation sur la latence.
L'image est tirée du point de vue du sujet, la flèche blanche indique la cible à viser (ici, le rétroviseur gauche) tandis que la croix rouge (le viseur) est alignée avec la direction de la tête.

le fonctionnement à leur latence nominale. On ajoute ensuite, pour chacun des deux moyens immersifs, un offset de 60 ms de latence. La quantité de latence ajoutée a été choisie en fonction de la littérature, pour être au dessus du seuil de perception et ainsi s'assurer une influence de la latence sur les sujets. Les techniques déployées pour ajouter artificiellement de la latence sont décrites dans une section suivante (Paragraphe 2.2). Les deux dernières modalités de latence sont pour le casque de Réalité Virtuelle : sa latence nominale étant bien moins élevée que celle du CAVE, on peut donc le « ralentir » jusqu'à atteindre les latences nominale, et après ajout de latence, du CAVE. On se retrouve donc avec 6 expériences différentes de latence (Tab. 16).

TABLE 16 – Mesures de latence (en ms) pour le casque et le CAVE.

Système	Latence	
CAVE	160 ms	latence nominale
CAVE	220 ms	latence dégradée
Oculus Rift	45 ms	latence nominale
Oculus Rift	105 ms	latence dégradée
Oculus Rift	160 ms	latence niveau nominal du CAVE
Oculus Rift	220 ms	latence niveau dégradé du CAVE

Il aura été nécessaire de faire des mesures préliminaires pour déterminer les latences nominales de nos deux systèmes ainsi que vérifier les valeurs des offsets ajoutés. Ces mesures



FIGURE 80 – Précisions en X et Y pour l’expérimentation sur la latence.
Le point rouge correspond au centre théorique de la cible à viser (ici le rétroviseur gauche) tandis que le point vert représente le point réel que le sujet a visé.

et la méthode mise en œuvre (inspirée des techniques vues précédemment) sont détaillées plus bas (Paragraphe 2.3).

2.1.3 Mesures

Tout au long du passage d'un sujet, un certain nombre de paramètres sont mesurés ou relevés. Certains de manière complètement transparente vis à vis du sujet et donc à priori objectives, d'autres via des questionnaires remplis au fur et à mesure de la session. C'est sur la base de ces données que l'on pourra mener des études statistiques.

Le premier type de mesure concerne le temps global mis pour toucher l'ensemble des cibles, l'ordre des cibles, le temps par cible, et enfin, la précision relative (en valeur absolue) de la visée. Cette dernière est découpée selon l'axe horizontal (x) et l'axe vertical (y) (voir Fig. 80) et est calculée en valeur absolue de manière relative à la taille de la cible : si le sujet arrive à viser précisément le centre de la cible, il obtiendra un résultat de (0,0) alors que s'il vise dans un des angles il obtiendra un résultat de 1 sur les deux axes.

Le sujet est également amené à remplir des questionnaires tout au long de l’expérimentation, avec notamment les questionnaires de propension à l’immersion [Witmer & Singer, 1998], de présence [Witmer & Singer, 1998] et de mal du simulateur de Kennedy (SSQ). Avant de commencer l’expérimentation, tous les sujets commencent par un questionnaire de propension à l’immersion et un questionnaire de mal du simulateur, pour établir leur état « initial ». Après chaque passage dans le casque ou dans le CAVE, les sujets doivent remplir à nouveau un questionnaire de mal du simulateur. Après la meilleure condition (c'est à dire celle qui propose la latence la plus basse, la condition nominale) dans le casque,

les sujets remplissent un questionnaire de présence. De même pour le CAVE. Les questionnaires utilisés étant originellement en anglais, on utilise les versions traduites en français et vérifiées par Bouchard *et al.* [2007, 2009, 2011]. Ces derniers sont disponibles en annexes.

Les questionnaires sont sous-divisés en catégories qui ne nous sont pas toutes utiles. Le questionnaire de cyber-malaise (SSQ) comporte les axes « nausée » et « oculomoteur », que l'on conserve tous les deux car on ne se concentre pas sur un type spécifique de mal du simulateur.

Le questionnaire de propension à l'immersion (ITQ) est divisé en 4 axes : « focus », « implication », « émotions » et « jeu ». On ne conserve que les questions liées aux deux premiers axes car les suivants ne sont pas cohérents avec notre expérimentation.

Enfin, le questionnaire de présence (PQ) est divisé en 7 axes, dont deux optionnels (que l'on marquera d'une astérisque *) : « réalisme », « possibilité d'agir », « qualité de l'interface », « possibilité d'examiner », « auto-évaluation de la performance », et « auditif* », « haptique* ». Encore une fois, on ne garde que les axes cohérents avec l'expérimentation à savoir ceux sur le réalisme, la possibilité d'agir et l'auto-évaluation de la performance.

2.2 Ajout de latence artificielle

L'ajout de latence artificielle a été déployé de deux manières différentes, pour le casque et le CAVE. Cet écart vient des solutions logicielles et matérielles utilisées.

2.2.1 Dans le casque

On utilise le SDK de SteamVR pour afficher notre environnement 3D dans le casque de Réalité Virtuelle. Celui-ci utilise des scripts qui à la fois récupèrent les données issues des capteurs (pour suivre le mouvement de la tête) et à la fois calculent les pyramides de vision et la déformation de l'image pour être amenée aux yeux à travers les lentilles. Nous avons essayé dans un premier temps de modifier directement le script de position en y insérant une temporisation entre le moment où les informations des capteurs sont prises, et le moment où elles sont appliquées. Cette méthode ne donnant pas de résultats, nous avons du contourner le problème.

Nous avons donc créé une seconde caméra, paramétrée de manière à pouvoir afficher dans le casque, mais dont la position n'est pas mise à jour avec les informations des capteurs. En lieu et place, nous avons créé notre propre script qui prend la position et la rotation dans l'espace de la première caméra, stocke le tout pendant un temps que l'on spécifie, après lequel il applique ces données à la seconde caméra. En parallèle, on force la seconde caméra à s'afficher par dessus la première en permanence. On a donc la caméra originelle qui remplit son travail de récupération des informations des capteurs et qui suit parfaitement les mouvements de l'utilisateur mais qui n'est pas affichée, et une deuxième caméra dont on voit les images et qui calque son mouvement, avec du retard, sur la première caméra.

Cette technique nous laisse la plus grande liberté quant au temps maximal de latence que l'on veut ajouter mais est limitée en précision par le frame rate de l'application : la récupération des informations se fait à chaque calcul d'une nouvelle image. Dans notre cas, l'application tournant à 90 images par seconde, l'imprécision moyenne était donc d'une demi-frame, soit 5 ms . Au regard des valeurs de latence que l'on ajoute, cela implique un pourcentage d'erreur inférieur à 10% dans la situation la plus critique.

2.2.2 Dans le CAVE

Dans le cas du CAVE, la captation des mouvements de l'utilisateur se fait avec un logiciel extérieur (Dtrack 2, de A.R.T.) qui communique ensuite ses données à l'application qui transpose notre simulation en affichage immersif (MiddleVR). Dtrack permet, via des filtres, une anticipation des mouvements qui sont trackés. Si l'on peut régler la puissance de l'anticipation, on peut également lui donner des valeurs négatives, créant ainsi du retard dans les transmissions des données de position et de rotation. C'est cette méthode que l'on utilise dans le CAVE pour générer de la latence artificielle.

2.3 Mesures préliminaires

Une fois les techniques d'ajout de latence déployées, nous avons mis en œuvre, en nous inspirant de ce qui avait été fait dans la littérature et qui a été présenté précédemment, une technique pour mesurer la latence de nos systèmes de Réalité Virtuelle, en condition d'expérimentation. Cette dernière n'étant de nature psychophysique pure et ne visant pas à déterminer très précisément des seuils, nous nous accommodons d'une technique « moins » précise qu'une technique à l'oscilloscope.

Nous avons donc opté pour un procédé filmé à grande vitesse. La mesure de la latence se faisant ensuite en analysant la vidéo image par image pour déterminer l'écart entre le début d'un mouvement et sa prise en compte et son affichage par le logiciel. On filme à 120 images par seconde avec un smartphone.

L'objectif est donc de mesurer la latence tout en restant dans les mêmes conditions que celles de l'expérimentation. On place donc un objet (un plan) dans l'habitacle de la voiture qui sera chargé d'afficher les variations de l'objet tracké : les lunettes de stéréoscopie pour le CAVE et le masque entier pour le casque. Ce plan se colore en vert lorsqu'il détecte que le mouvement de l'objet tracké est ascendant (c'est à dire lorsque la coordonnée sur l'axe vertical de l'objet tracké est supérieure à sa valeur de l'image précédente), et se colore en rouge lorsqu'il détecte l'inverse.

On demande ensuite à une personne d'imprimer verticalement un mouvement sinusoïdal à l'objet tracké et on filme, avec, dans le plan, l'objet bougé et le plan changeant de couleur. On peut donc déterminer visuellement quand est ce que l'opérateur commence un mouvement ascendant ou descendant, puis compter le nombre d'image de la vidéo jusqu'au changement de couleur du plan, signifiant la prise en compte du changement. Plus le nombre d'images entre les deux marqueurs est grand, plus la latence est importante : il

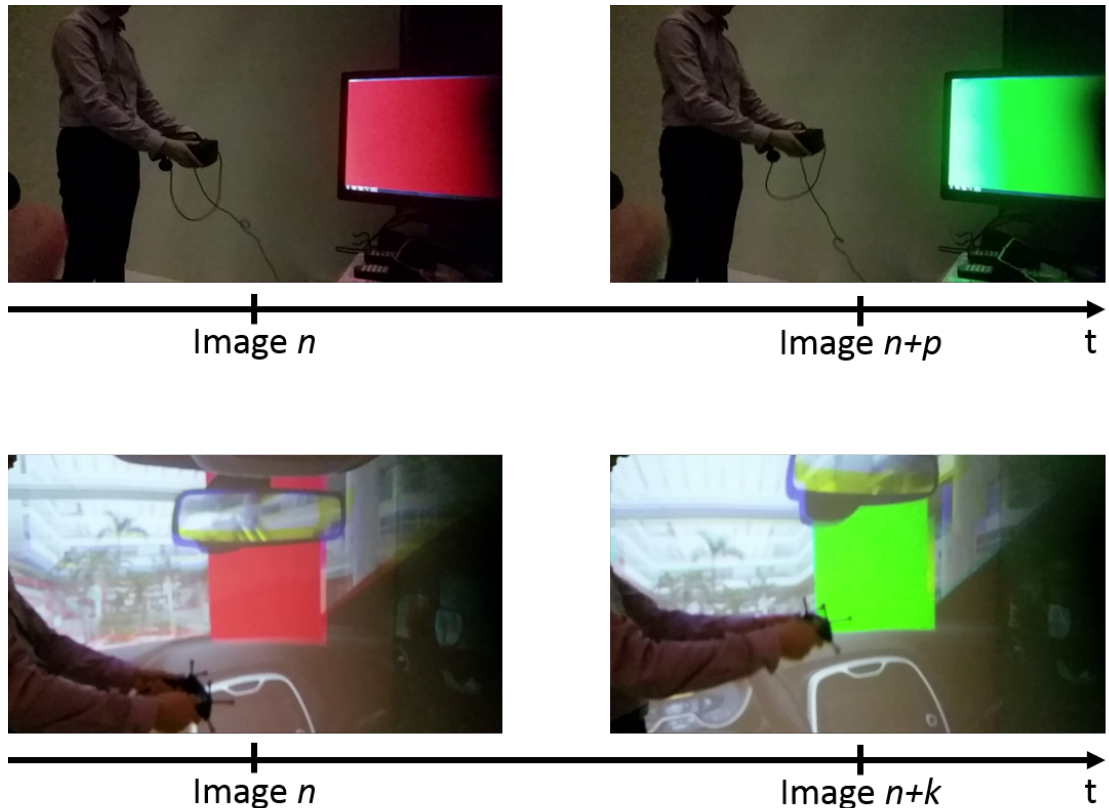


FIGURE 81 – Technique de mesure de la latence.

On compte le nombre d'image de la vidéo ralentie entre le début du mouvement (ici, vertical ascendant) et la prise en compte du mouvement par le logiciel, signalée par le passage d'une texture du rouge au vert.

s'écoule 8 ms entre chaque image de la vidéo. On peut donc mesurer facilement la latence de nos outils, avec une précision d'une demi-image, soit 4 ms.

En fonctionnement dans la scène virtuelle qui sera utilisée pour l'expérimentation, on mesure une latence nominale de 45 ms pour le casque et de 160 ms pour le CAVE. La latence très élevée du simulateur vient de son architecture : les cartes graphiques et les projecteurs ont besoin d'une durée de plusieurs cycles de rafraîchissement pour fonctionner, ce qui augmente la latence. Avec une architecture plus directe, avec un seul cycle de fonctionnement, la latence serait beaucoup plus basse. On a également mesuré et vérifié que les techniques pour ajouter de la latence donnaient bien les niveaux attendus : le delta de 60 ms pour le casque et le CAVE et les niveaux de latence équivalent à ceux du simulateur pour le casque. Les résultats de nos mesures sont synthétisés en Tab. 16. On peut donc ainsi débuter une campagne de mesure sur des sujets, dont les résultats sont développés dans le chapitre suivant.

CHAPITRE

3

CONCLUSIONS EXPÉRIMENTALES

Pour notre expérimentation, nous avons réuni 32 sujets, 17 hommes et 15 femmes. 2 sujets parmi les hommes n'ont pas vu leur résultats retenus pour différentes raisons : l'un n'a pas pu faire tous les segments proposés (mal du simulateur trop élevé) tandis que l'autre fermait les yeux pour contrer ce même mal du simulateur. On termine donc avec 30 sujets ayant des données exploitables, à parité homme femme parfaite. Les sujets étaient âgés de 23 à 54 ans, avec un âge moyen de 31 ans (écart-type : $\sigma = 11$ ans).

On présente ici tous les résultats de l'expérimentation, et leurs implications. On traite d'abord séparément le CAVE et le casque, avant de les analyser ensembles. On met enfin en avant les enseignements que l'on peut tirer pour le critère de latence.

3.1 Résultats

3.1.1 Dans le CAVE

De manière générale, tous les résultats numériques (moyennes et écarts-types) relatif aux modalités dans le CAVE sont résumés en Tab. 17, avec QPI le Questionnaire de propension à l'immersion, QEP le Questionnaire de Présence, SSQ le Questionnaire de cyber-malaise, X et Y les précisions sur les axes respectifs et t le temps de complétion.

Initialement, les sujets devaient répondre à un questionnaire de propension à l'immersion (moyenne des réponses : 43.83 ± 7.50). Après leur passage à la condition nominale du CAVE, les sujets devaient également répondre à un questionnaire de présence (moyenne des réponses : 67.50 ± 11.33 , Fig. 82). Il ne semble pas exister ($p = 0.07$) de corrélation statisti-

TABLE 17 – Expérimentation latence : résultats moyens et écarts-types dans le CAVE.

Latence	QPI	QEP	SSQ	X	Y	t
160 ms	43.83	67.50	3.37 ± 3.25	0.18 ± 0.07	0.17 ± 0.08	101.49 ± 14.31
220 ms	± 7.50	± 11.33	4.60 ± 4.91	0.22 ± 0.09	0.19 ± 0.10	128.61 ± 24.79

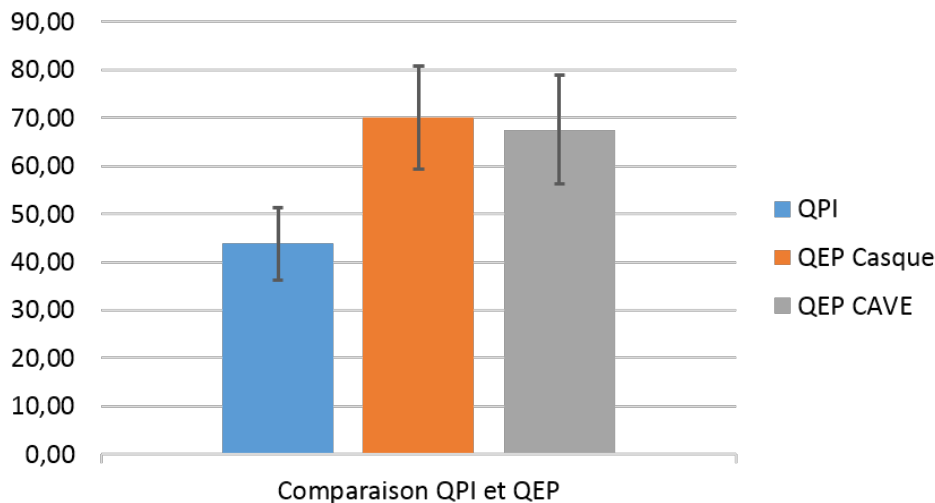


FIGURE 82 – Scores moyens des questionnaires de propension à l'immersion (QPI) et de présence (QEP).

tique¹ entre les deux (QPI et QEP) qui nous permettrait de prévoir le degré d'immersion d'un sujet sur la base d'un questionnaire de propension à l'immersion.

A l'issue de chaque passage dans le CAVE, en condition nominale et en condition dégradée de latence, les sujets devaient répondre à un questionnaire d'auto-évaluation du cyber-malaise. Celui-ci donne des valeurs moyennes de respectivement 3.37 pour la modalité sans latence ajoutée, et de 4.60 pour la modalité avec latence ; soit une augmentation de 36.5% du cyber-malaise avec la latence. Il existe une corrélation statistique² ($p = 0.0003$) positive-forte ($\rho = 0.61$) entre les deux jeux de valeurs : les sujets les plus malades dans la modalité la plus faible en latence, l'étaient encore plus avec l'augmentation de la latence.

Dans le cas du CAVE sans latence ajoutée (Fig. 83 et Tab. 17), la précision relative sur les deux axes (horizontal et vertical) est quasiment la même (0.18 contre 0.17). Cet écart s'accentue néanmoins lorsque la latence augmente avec des valeurs moyennes de 0.22 et de 0.19 pour les axes horizontal et vertical respectivement. Le temps de complétion (Fig. 84 et Tab. 17) est lui beaucoup plus sensible au changement de latence avec une valeur moyenne entre les sujets qui passe de 101.49 s à 128.61 s (soit une augmentation de 27%) pour réaliser l'ensemble de la tâche.

Du point de vue statistique, en utilisant un test de Student pour échantillons appariés (29 degrés de liberté), on montre que la latence influence la performance de manière globale ; que ce soit pour la précision sur l'axe horizontal ($p = 0.00009$), la précision sur l'axe vertical

1. Méthode : Corrélation de Pearson, 28 degrés de liberté, $Q_{obs} = 1.91$.

2. Méthode : Corrélation de Pearson, 28 degrés de liberté, $Q_{obs} = 4.08$.

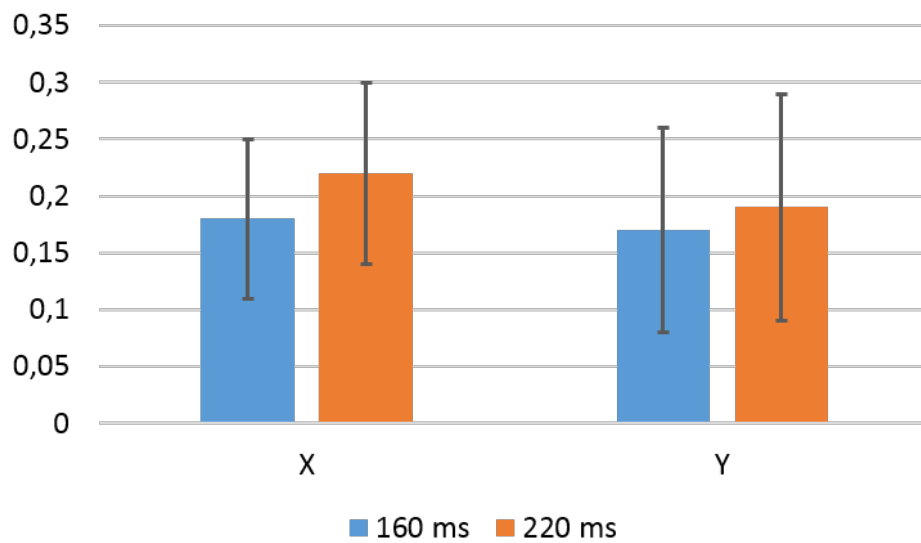


FIGURE 83 – Précision moyenne sur x et sur y dans le CAVE, en fonction de la latence.

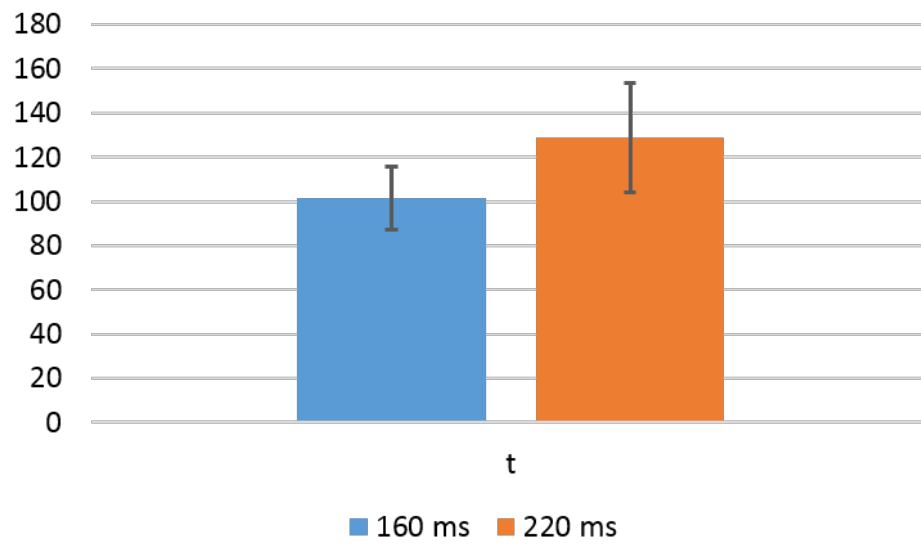


FIGURE 84 – Temps de complétion moyens dans le CAVE, en fonction de la latence.

($p = 0.015$) ou le temps de complétion ($p = 3 \times 10^{-11}$). Néanmoins, le mal du simulateur échoue au test statistique avec une p-value de $p = 0.099$. Si les sujets sont gênés par l'évolution de la latence pour viser le centre des cibles, ils ne deviennent pas significativement plus malades.

Dans l'explication de ces résultats, un paramètre dont il faut tenir compte est le critère de vitesse qui a été demandé pour passer l'ensemble des cibles. Maintenir un rythme élevé pendant l'expérience implique moins de soin apporté à la précision de la visée. Par conséquent, nos résultats montrent une moins bonne précision par rapport à ce qui aurait pu être atteint si la consigne avait été de simplement viser le centre des cibles. Dans le cas spécifique du CAVE, la précision moyenne des sujets au-dessus de la médiane du temps d'achèvement (dans la configuration de latence plus élevée) est supérieure à la précision moyenne des sujets en dessous de la médiane du temps d'achèvement : 0,26 contre 0,21 sur l'axe horizontal et 0,23 contre 0,16 sur l'axe vertical. Par conséquent, outre le temps d'interaction, un rythme plus élevé dans des conditions de latence plus élevées entraîne une plus grande imprécision.

Ces deux modalités dans le CAVE ne sont évidemment pas suffisantes pour tirer des conclusions définitives et il nous reste à explorer les résultats propres au casque qui bénéficie de niveaux de latence moins élevés. Il faudra aussi comparer les systèmes immersifs, à latence équivalente.

3.1.2 Dans le casque

De même que précédemment, tous les résultats numériques (moyennes et écarts-types) relatifs aux modalités dans le casque sont résumés en Tab. 18. On constate une influence statistique¹ de la latence sur le cyber-malaise ($p < 2 \times 10^{-7}$) et sur toutes les modalités de la performance : précision sur l'axe horizontal ($p = 0.034$), sur l'axe vertical ($p = 0.024$), et le temps de complétion ($p < 8 \times 10^{-10}$).

TABLE 18 – Expérimentation latence : résultats moyens et écarts-types dans le casque.

Latence	QPI	QEP	SSQ	X	Y	t
45 ms			3.33 ± 3.27	0.17 ± 0.07	0.15 ± 0.09	87.74 ± 10.40
105 ms	43.83	70.07	4.60 ± 3.68	0.17 ± 0.06	0.18 ± 0.10	92.85 ± 10.58
160 ms	± 7.50	± 10.83	6.23 ± 5.55	0.17 ± 0.07	0.17 ± 0.08	94.73 ± 11.64
220 ms			7.40 ± 5.62	0.19 ± 0.08	0.18 ± 0.09	98.37 ± 11.36

Là encore, après leur passage à la condition nominale de latence, les sujets devaient répondre à un questionnaire de présence (moyenne des réponses : 70.07 ± 10.83 , Fig. 82). On compare ces résultats à ceux du questionnaire de propension à l'immersion initialement rempli. Il ne semble là non plus pas exister ($p = 0.31$) de corrélation statistique² entre les deux.

1. Méthode : test de Friedman, 3 paramètres.

2. Méthode : Corrélation de Pearson, 28 degrés de liberté, $Q_{obs} = 1.03$.

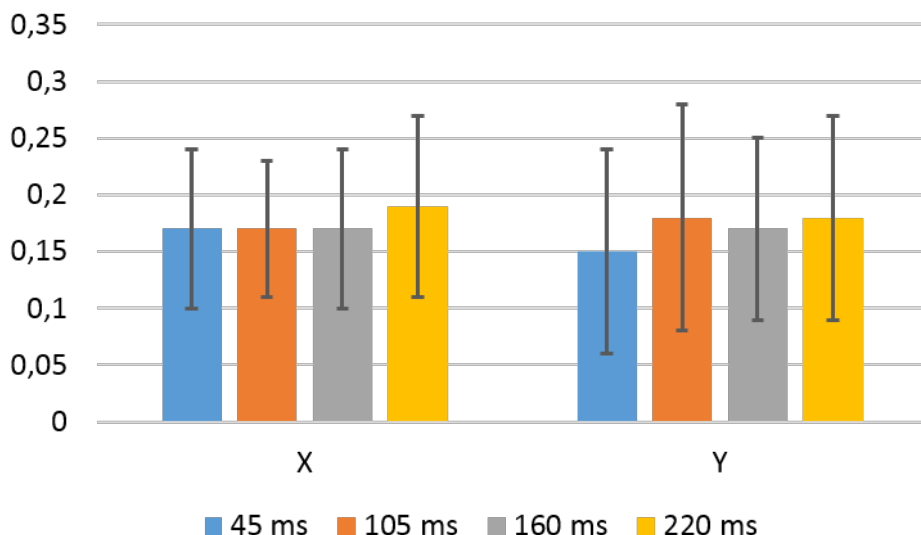


FIGURE 85 – Précision moyenne sur x et sur y dans le casque, en fonction de la latence.

On s'intéresse ensuite à la comparaison deux à deux des conditions de latence dans le casque : l'éventail de niveaux de latence étant plus large, on pourra déterminer plus précisément le comportement de la performance en fonction de l'évolution de la latence. Tous les tests réalisés le sont avec la méthode du test de Student pour échantillons appariés (29 degrés de liberté).

Du point de vue de la précision horizontale, la latence n'a statistiquement d'effet ($p = 0.043$) qu'à partir de la troisième et dernière comparaison deux à deux : entre 105 et 160 ms de latence ajoutée. Les autres confrontations (passage de 0 à 60 ms de latence ajoutée et passage de 60 à 105 ms) ne présentent aucun résultat statistique ($p = 0.90$ et $p = 0.23$ respectivement). On constate néanmoins des différences sur les résultats moyens, à partir de la troisième décimale.

Pour la précision verticale, la tendance est inverse : statistiquement, la latence a un effet dès la première comparaison ($p = 0.0004$) puis cesse ($p = 0.27$ et $p = 0.20$) pour les deux dernières comparaisons. Il semblerait alors que la performance de visée, dans ce cas particulier de visée rapide avec le mouvement de la tête, varie non-linéairement mais par effet de palier. Les deux mouvements, horizontal et vertical, semblent ne pas avoir la même sensibilité : le premier possède son palier aux alentours des 100 ms de latence ajoutée, tandis que le second se situe autour de 60 ms ajoutées.

Le temps de complétion montre une influence statistique de la latence plus erratique que la précision, avec des tests validés pour la première ($p = 0.0003$) et la troisième ($p = 0.005$) comparaison, mais pas pour la deuxième ($p = 0.26$).

Enfin, on constate un comportement différent des mesures de précision pour l'évolution du cyber-malaise : ce dernier semble évoluer graduellement en fonction de la latence, là où dans le casque on ne relevait pas d'influence statistique. Toutes les confrontations deux à deux présentent des résultats positifs : $p = 0.014$ pour le passage de 0 à 60 ms ajoutées, $p = 0.036$ pour le passage de 60 à 105 ms et $p = 0.067$ pour le dernier passage, bien que la corrélation soit plus faible. Numériquement, on constate une évolution de 38 et 35% dans

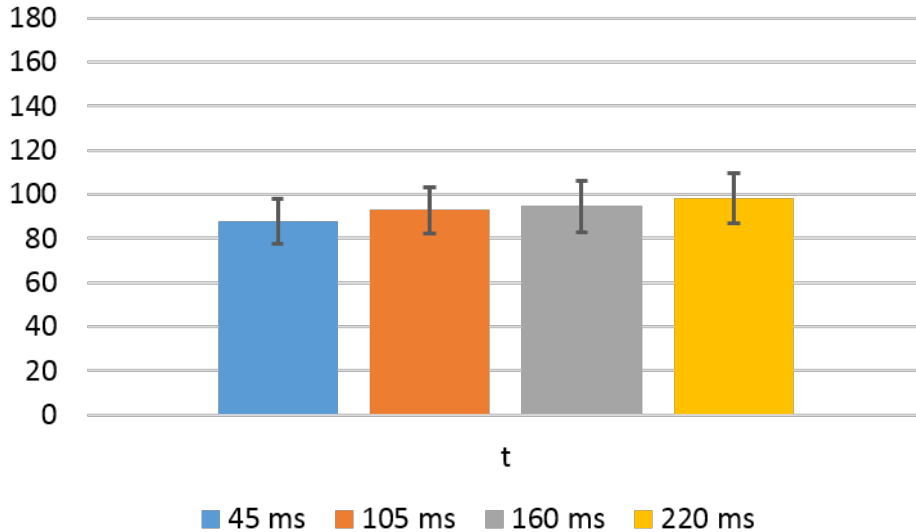


FIGURE 86 – Temps de compléition moyens dans le casque, en fonction de la latence.

les deux premiers cas, puis une augmentation de 19% à la fin.

Plus la vitesse des mouvements de la tête est élevée, plus la latence influence l'expérience de l'utilisateur, tant au niveau de la dégradation de la précision que de l'augmentation du mal des simulateurs. Les sujets étaient confrontés à un choix : soit ils ralentissaient leurs mouvements pour augmenter la précision, soit ils gardaient un bon rythme au détriment de la précision et du mal du simulateur. Les sujets semblent développer leur propre stratégie pour contrer le décalage de la latence, en fonction de la valeur de cette dernière. Par conséquent, pour assurer la meilleure expérience utilisateur et minimiser le cybersmalaise, il peut être conseillé de suggérer des mouvements petits et lents aux utilisateurs quotidiens des techniques d'immersion.

Maintenant que l'on a détaillé les résultats propres à chaque système et à chaque niveau de latence, on s'intéresse à comparer les systèmes entre eux, lorsqu'ils ont le même niveau de latence et lorsque la latence varie de la même quantité.

3.1.3 Analyse croisée

Tous les tests statistiques présentés dans cette partie ont été réalisé avec la méthode du test de Student pour échantillons appariés (29 paramètres).

La première comparaison concerne la troisième modalité du casque et la première du CAVE. Dans cette configuration, les deux dispositifs offrent la même quantité de latence (160 ms). Confronter les résultats de nos sujets revient alors à regarder l'influence du dispositif immersif sur la tâche à réaliser. Du côté de la précision, on ne trouve aucun résultat statistique ($p = 0.41$ pour l'axe horizontal, $p = 0.79$ pour l'axe vertical) venant étayer l'hypothèse d'une influence du système immersif. Néanmoins, l'influence du changement de système est statistiquement avérée dans le cas du temps de compléition ($p = 0.0006$) avec une augmentation de 7% du temps total nécessaire pour viser les 24 cibles dans le CAVE et

dans le cas du cyber-malaise ($p = 0.001$) avec une augmentation de 85% lorsque l'on passe dans le casque !

Dans le cas du casque et du simulateur à 220 ms de latence totale, l'influence statistique ($p = 10^{-10}$) du changement de système sur le temps de complétion est corrélée avec une variation encore plus forte : les sujets sont 30% plus lents pour terminer la séquence de visée dans le CAVE, par rapport au casque. On retrouve encore une fois une influence statistique ($p = 0.015$) sur le mal du simulateur avec une valeur moyenne supérieure de 60% dans le casque par rapport au CAVE. A la différence de la précédente comparaison, il existe cette fois un lien statistique entre le changement de système et la précision de visée sur l'axe horizontal ($p = 0.0006$) avec une valeur 16% plus grande dans le cas du CAVE. L'influence sur la précision sur l'axe vertical est elle toujours non vérifiée par les tests statistiques ($p = 0.49$).

Ensuite, on compare encore les deux systèmes immersifs, mais cette fois seulement en terme de variation de performance lorsque l'on augmente la latence de 60 ms. Les moyennes de ces variations sont résumées en Tab. 19. A l'instar de la comparaison casque/CAVE en conditions de latence dégradées, on observe une influence statistique du changement de système combiné à une augmentation de latence de 60 ms sur deux des trois modalités de la performance : sur la précision horizontale ($p = 0.007$) et sur le temps de complétion ($p = 6 \times 10^{-9}$). Cela revient à dire que lorsque l'on change de système, du casque au CAVE, en augmentant la latence, la performance est deux fois perdante : d'abord de par le changement de système, mais également par le changement de latence (plus encore que simplement par un changement de latence).

TABLE 19 – Expérimentation latence : résultats moyens et écarts-types pour une variation de 60 ms dans les deux systèmes étudiés.

	$\Delta_{60} X$	$\Delta_{60} Y$	$\Delta_{60} t$	$\Delta_{60} SSQ$
Casque	0.001	0.029	5.11	1.27
CAVE	0.039	0.06	27.15	1.23

On observe une forte augmentation des valeurs de cyber-malaise entre toutes les configurations (environ 120% entre les deux modalités dans le CAVE ou entre les deux cas extrêmes dans le casque, par exemple). Il est à noter que les valeurs moyennes de mal du simulateur pour les versions les plus dégradées en latence sont fortement influencées par des valeurs de cyber-malaise très élevées pour quelques sujets. Cela s'explique par la contribution, en plus du conflit classique vergence-accommodation, du conflit visio-vestibulaire : plus la latence est grande, plus la disparité entre la vision et la conscience du mouvement par le système vestibulaire est importante et donc le mal du simulateur.

Dans le cas du casque, l'effet du conflit visio-vestibulaire est amplifié : les sujets ne voient pas leur corps. Il semblerait que ce problème reste le principal facteur de mal du simulateur dans le casque, et la raison de la relative tranquillité dans le CAVE. Dans le simulateur, lorsque l'on tourne la tête, si l'image bouge avec du retard, le cerveau peut se raccrocher au fait d'avoir quand même vu le corps « bouger » (lorsque l'on tourne la tête à droite, si l'on fait abstraction de l'environnement, cela revient à garder la tête fixe en faisant tourner le corps vers la gauche). Le cerveau peut décrire qu'une partie des informations visuelles est incohérente et peut s'en protéger. Dans le casque, le flux visuel

est entièrement remplacé et lorsque l'on bouge la tête, on ne peut se référer qu'à nos centrales inertielles et à l'image ayant du retard. Le cerveau ne peut pas alors déjuger cette dernière, et le mal du simulateur est plus important.

Enfin, si on a déjà vu dans les deux sections précédentes qu'il ne semble pas être possible d'extrapoler la présence dans le casque ou dans le CAVE à partir de la propension à l'immersion (Fig. 82), on vérifie néanmoins l'existence d'une corrélation¹ négative-forte entre la présence et le cyber-malaise vérifiée, pour les deux moyens immersifs (pour le CAVE : $p = 0.022$ avec $\rho = -0.42$; pour le casque : $p = 0.030$ avec $\rho = -0.40$). Bien que cela puisse sembler évident, on a la confirmation que lorsque la présence augmente, le mal du simulateur diminue, et inversement.

En définitive, nos résultats montrent une influence statistique de la latence sur la précision. Lorsque la latence augmente, les sujets sont plus imprécis sur les mouvements latéraux que sur les mouvements verticaux. La différence entre les deux axes s'explique par la plus grande amplitude de mouvement nécessaire pour atteindre les cibles gauche et droite (miroirs gauche et droit, entre 40 et 60 degrés) par rapport à l'amplitude nécessaire pour atteindre les cibles supérieure et inférieure (miroir central et affichage central, 15 degrés). Un mouvement plus grand signifie un temps d'interaction plus long avec la latence et donc une plus grande imprécision.

3.2 Apport au score de réalisme

On possède désormais un certain nombre de clefs supplémentaires pour la compréhension de la relation entre la latence et l'expérience utilisateur en immersion ; au minimum du point de vue d'une tâche relativement cohérente avec celles que l'on effectue réellement. Outre les seuils de perception de la latence que l'on a vu en introduction de cette partie expérimentale, des valeurs de latence émergent.

Par rapport au fonctionnement de notre système de notation, il semble difficile de ne pas attribuer la note maximale au seuil de perception de la latence, à savoir 15 ms. De notre expérimentation, deux seuils de performance semblent se dégager grâce aux casques : un premier relatif aux mouvements horizontaux entre 105 et 160 ms de latence ajoutée, et un deuxième, pour les mouvements verticaux, plus sensible, entre 0 et 60 ms de latence ajoutée. De part la valeur nominale de latence du casque, le seuil le plus critique est donc pour une latence totale d'environ 105 ms. C'est la valeur que nous retiendrons pour la performance standard dans notre notation. Il est à noter qu'elle correspond à la valeur recommandée par Burdea et Coiffet dans leur tableau sur le réalisme.

Néanmoins, notre expérimentation n'a pas permis de mettre en avant un seuil limite au delà duquel la tâche n'était plus réalisable, ce qui complique l'attribution d'une note minimale au critère de latence. En première approche, il peut toutefois être envisagé de l'associer à une latence qui tend vers l'infini.

1. Méthode : Corrélation de Pearson, 28 degrés de liberté.

CONCLUSION

Dans cette seconde partie expérimentale, nous avons cherché à approfondir notre compréhension de la relation entre la latence et l'expérience utilisateur, dans un contexte d'immersion. Nous avons donc confronté des sujets à la même situation dans différents moyens immersifs, à différents niveaux de latence. Notre approche se voulant objective, nous nous sommes orientés vers des mesures de performance pour tirer des conclusions.

Si notre expérimentation confirme certains points de la littérature tels que l'influence de la latence sur la performance, sur le mal du simulateur ou la corrélation entre ce dernier et la présence, elle nous permet également d'apporter nos propres conclusions. D'abord, la variation de la performance semble être non-linéaire et régie par des seuils. Ensuite, ces seuils sont différents suivant les mouvements réalisés : dans la tâche que nous demandions à nos sujets de réaliser, les mouvements verticaux étaient plus petits et plus sensibles que les mouvements horizontaux. Enfin, et contrairement à la performance, le mal du simulateur semble lui évoluer graduellement avec la latence.

Ces dernières constatations nous permettent donc de mieux caractériser le critère de latence pour le score de réalisme, sans pour autant le valider complètement : d'une part la limite basse de fonctionnement, associée à la note minimale du score, n'a pas pu être dégagée clairement, et d'autre part, les valeurs de seuils sont spécifiques à la nature des instructions données et devraient être confrontées à d'autres mouvements ou situations de vitesse.

DISCUSSION GÉNÉRALE ET PERSPECTIVES

On conclue dans ce dernier chapitre l'ensemble des travaux relatifs à la thèse. On fait, dans un premier temps, la synthèse des résultats (modélisation et expérimentations) que l'on a obtenu, permettant ainsi d'avoir un modèle de score de réalisme visuel et immersif. On applique ensuite ce dernier à différents systèmes présents chez Renault : casque de Réalité Virtuelle, casque de Réalité Augmentée et CAVE. Pour terminer, on met en avant des applications concrètes qui pourraient utiliser notre modèle de score.

Synthèse des résultats

État des lieux de la modélisation

On a donc proposé un modèle de score de réalisme, basé sur le système visuel humain. Ce score ne se veut pas une nouvelle modélisation des fonctions visuelles humaines mais plutôt un guide pragmatique, pour l'ingénieur, pour estimer la qualité d'un système et sa capacité à envoyer des signaux de manière réaliste, c'est à dire conforme aux stimulation sensorielle dont on a l'habitude, indépendamment de ce qui est affiché.

Ce score est divisé en douze critères (Fig. 87), répartis en deux entités de six : un groupe représentant les indices nécessaires à la vision, et un autre groupe représentant les indices d'immersion. Chaque critère est alors noté entre 0 et 100, basé sur les grandeurs qui caractérisent le système visuel humain. Une pondération des critères vient compléter le modèle et permet de prendre en compte l'utilisation que l'on fait du moyen immersif : en fonction de l'application, certains critères seront plus limitant que d'autres et donc se

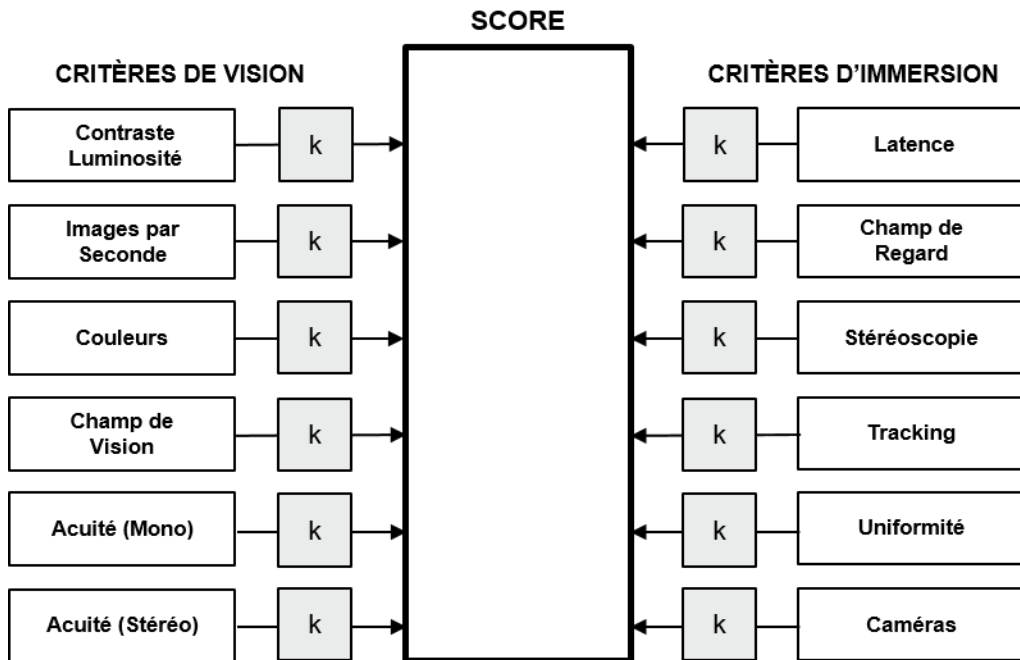


FIGURE 87 – Rappel de la modélisation du score de réalisme.

verront attribuer une pondération plus importante.

Le groupe d'indices de vision se compose des critères suivants : contraste et luminance, nombre d'images par seconde, quotité de couleurs affichables, taille du champ de vision, acuité monoscopique et acuité stéréoscopique. Parallèlement, les critères d'immersion sont les suivants : latence, taille du champ de regard, stéréoscopie, tracking, uniformité des surfaces d'affichage et convergence des caméras. Enfin, on propose une pondération par ordres de grandeur (fort ou faible) pour chaque critère.

Résultats expérimentaux

Dans le cadre de la thèse, on a réalisé trois expérimentations : la validation d'un modèle de performance visuelle pour le critère de contraste et luminance, la mesure de performance pour le critère de latence et la comparaison entre les notations subjectives des critères du modèle par des sujets et les notes objectives données par notre modèle. Cette dernière, de moindre ampleur par rapport aux autres, dégage néanmoins quelques tendances. La pondération des critères de champ de vision et de champ de regard est très dépendante de l'application : dans le cas de la conduite, l'utilisation du champ de regard est quasi-nulle et les sujets ne font pas la différence entre les deux champs. Également, l'appréciation de la quotité de couleur semble sur-évaluée par habitude. Enfin, les femmes font preuve de plus de sévérité dans leur notation que les hommes.

Pour l'expérimentation sur le critère de contraste et de luminance, on a cherché à traduire une expérimentation en Réalité Virtuelle, afin de déterminer si le modèle de performance visuelle mis en jeu était utilisable dans notre domaine. Ce modèle prédit des conditions de luminance et de contraste en dessous desquelles le système visuel humain n'est pas

capable de distinguer ce qu'on lui demande, et des conditions au dessus desquelles la performance de détection de l'œil n'augmente plus. Il permet ainsi de déterminer la plage dans laquelle un moyen immersif devrait se situer. Nos résultats théoriques semblent se comporter de manière radicalement différente par rapport aux prévisions du modèle, tout en montrant une corrélation statistique. On montre que le modèle de performance visuelle est utilisable, sous réserve de l'inclusion d'un facteur prenant en compte les spécificités de la Réalité Virtuelle. Pour l'application à notre critère de contraste et luminance, on revient toutefois à préconiser une technique utilisant les fonctions de sensibilité au contraste et la découpe en fréquence spatiale des tâches classique de vision en immersif.

Enfin, l'expérimentation sur la latence est quant à elle une comparaison entre deux systèmes et à différents niveaux de latence dans chaque système, de la performance de sujets à réaliser une tâche écologique. Les sujets devaient viser une série de cibles dans un véhicule modélisé en 3D, en maximisant leur précision par rapport au centre de la cible et leur vitesse de réalisation. On montre notamment que la performance se dégrade de manière non continue sous l'influence de la latence, tandis que le mal du simulateur est lui linéairement affecté. De même, le changement de système (de CAVE à casque) améliore la performance des sujets mais au détriment de leur expérience utilisateur : on met en cause la nature des mouvements impliqués pour la réalisation de la tâche demandée ainsi que le conflit visio-vestibulaire.

Travaux futurs

Si on présente une modélisation cohérente, il reste néanmoins des axes de travail et des propositions à améliorer ; le temps imparti pour la thèse ne nous ayant pas permis de tout traiter. Tout d'abord, bien que l'on ait eu des avancées concrètes pour le critère de contraste et luminance, nous ne sommes pas encore en mesure de pouvoir déterminer pratiquement son score. Par conséquent, le critère d'uniformité est encore à l'état d'embryon, étant intrinsèquement lié au contraste et à la luminance. On présente et on initie la suite des travaux sur le critère de contraste et de luminance avec l'utilisation des fréquences spatiales et des fonctions de contraste.

D'autres critères cependant, tels que la quotité de couleur, la stéréoscopie et le tracking se sont vus attribuer une fonction de notation (linéaire ou binaire) que l'on juge insuffisante à terme ; ces notations sont fonctionnelles mais doivent être raffinées. On a présenté, par exemple dans le cas de la stéréoscopie, une piste d'amélioration de la fonction de notation, basée sur la technologie utilisée.

La plus grande partie de futurs travaux reste la pondération du modèle. Si on propose des ordres de grandeur, il sera nécessaire, dans une second temps, d'avancer des propositions chiffrées, amenant plus de finesse pour départager les critères. Ces pondérations chiffrées seront très dépendantes du cas d'utilisation et permettront de prendre en compte certains scénarios spécifiques (comme la haute vitesse par exemple).

Enfin, on peut également envisager une ouverture du score à d'autres types de systèmes, comme par exemple les systèmes de Réalité Augmentée qui apparaissent de plus en plus sur le marché. De même, le modèle pourrait être étoffé avec l'inclusion d'autres paradigmes qui composent l'expérience utilisateur : la présence, l'immersion, le confort, etc.

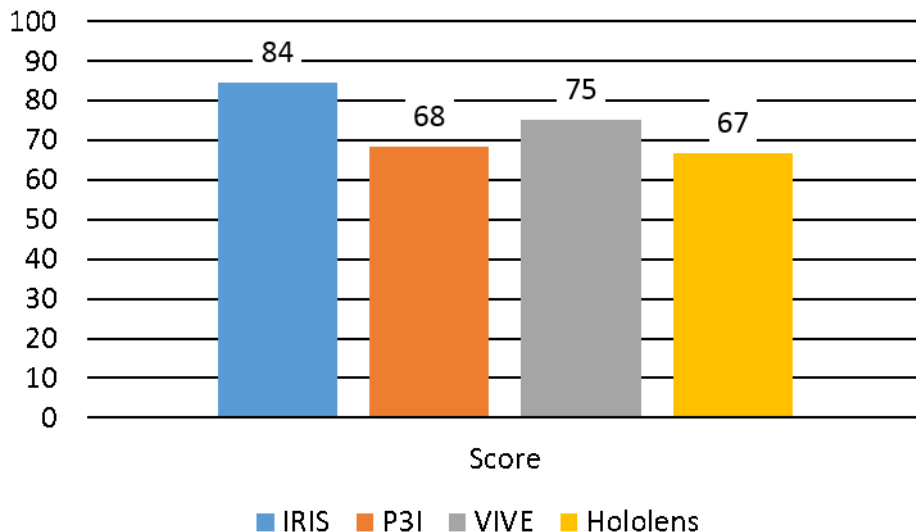


FIGURE 88 – Score de réalisme pour les quatre systèmes testés.

Application du score de réalité

Si la thèse a pour l'instant eu une application soit théorique, soit pratique mais au service de la théorie, il manque encore une application purement pratique de notre modèle de score. Or, on est désormais globalement en mesure d'appliquer notre modèle de score de réalité visuel, à l'exception de deux critères intrinsèquement liés (critère de contraste et luminance, critère d'uniformité). On sélectionne des moyens immersifs présents chez Renault et on leur applique, sur chacun de leurs critères, les fonctions de notation déployées au cours de la thèse. Pour les critères non-aboutis, on utilise des estimations guidées par la littérature, à défaut de pouvoir les noter directement. De même, pour la pondération, on applique un coefficient uniforme de 2 pour les critères « forts » et de 1 pour les critères « faibles ». On sélectionne les systèmes suivants : deux CAVEs de chez Renault (nommés IRIS et P3I), un casque de Réalité Virtuelle grand public mais utilisé fréquemment dans l'industrie (HTC Vive) et un casque de Réalité Augmentée (Hololens). Techniquement, notre modèle de score n'est pas conçu pour une application en Réalité Augmentée, mais il peut être intéressant d'en tester les limites sur de tels dispositifs. Les résultats généraux de notation sont représentés en Fig. 88.

IRIS est un dispositif de type CAVE et possède 5 faces de 3 m d'arête. Il est le fleuron des technologies d'affichage immersif chez Renault. L'image de chaque face est affichée à l'aide de deux projecteurs 4K haute luminosité fonctionnant à 120 Hz. Ces caractéristiques hors-norme permettent à IRIS d'avoir d'excellentes notes que ce soit pour le contraste (80), le champ de vision (100), les acuités (98 et 67). Tous les calculs nécessitent la position de l'utilisateur sont fait par rapport à la position usuelle d'utilisation, c'est à dire à 1.30 m de la face avant, centré en largeur et avec une hauteur de tête à 1 m du sol. La latence moyenne est mesurée autour de 80 ms. Toutes les notes d'IRIS sont résumées en Fig. 89.

P3I est également un dispositif de type CAVE, que l'on connaît bien car il a servi à la réalisation de nos expérimentations. On a donc déjà présenté ses caractéristiques principales,

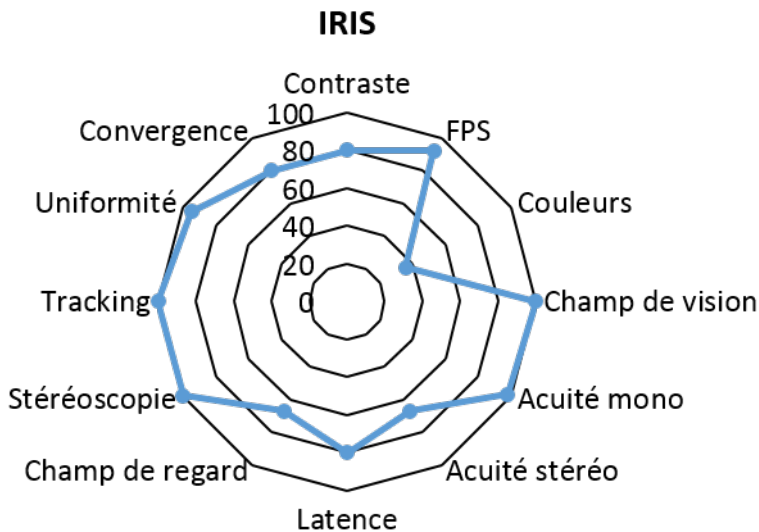


FIGURE 89 – Diagramme radar des critères du score pour IRIS.

que ce soit en taille, résolution ou latence. Pour les calculs de champs et d'acuité on se place dans les mêmes conditions que pour IRIS, c'est à dire à 1.30 m de la face avant, centré en largeur et avec une hauteur de tête à 1 m du sol. Les notes de P3I pour les différents critères du modèle sont synthétisées en Fig. 90.

On s'intéresse ensuite à un classique des casque de Réalité Virtuelle grand public mais largement présent dans le paysage industriel de la VR : le HTC Vive. Il possède un champ de vision horizontal de 110 degrés pour un écran de 3.6 pouces. Si son champ est donc légèrement plus petit que dans les solutions de type CAVE, il bénéficie néanmoins d'un champ de regard total. De manière analogue à l'Oculus Rift que l'on a utilisé pour notre expérimentation, le Vive fonctionne avec un taux de rafraîchissement de 90 Hz et une latence mesurée d'environ 45 ms . On retrouve le détail des notes du Vive en Fig. 91.

Enfin, on applique notre modèle de score à l'HoloLens de Microsoft, avec la particularité que ce dernier est un casque de Réalité Augmentée et non pas de Réalité Virtuelle. Il possède un champ de vision très réduit (30 par 17.5 degrés) pour une résolution assez faible (720p), ce qui explique ses notes assez faibles dans la partie indices de vision. C'est ici une limite de notre score de réalisme lorsqu'on l'applique à un système de RA : en réalité, le champ de vision est maximal car le casque ne fait que rajouter des informations sur la vision naturelle ; mais notre modèle juge la partie affichage seulement car celle-ci représente l'intégralité de la vision en Réalité Virtuelle. Néanmoins, le score est rattrapé par la partie indices d'immersion car le casque possède les mêmes qualités que ses homologues de Réalité Virtuelle : la stéréoscopie, une forme de tracking et surtout un champ de regard maximal avec la capacité d'orienter la tête dans n'importe quelle direction. Toutes ses notes sont résumées en Fig. 92.

Pour conclure, on remarque déjà que la hiérarchie des notes est cohérente avec notre ressenti d'utilisateur. On note également que les indices d'immersion (la partie gauche des diagrammes radar) sont en moyenne très bien notés : la différence se fait donc plutôt au niveau des indices de vision (partie droite des diagrammes radar), zone où les CAVEs sont globalement meilleurs. D'un point de vue purement stimulation visuelle, les CAVEs

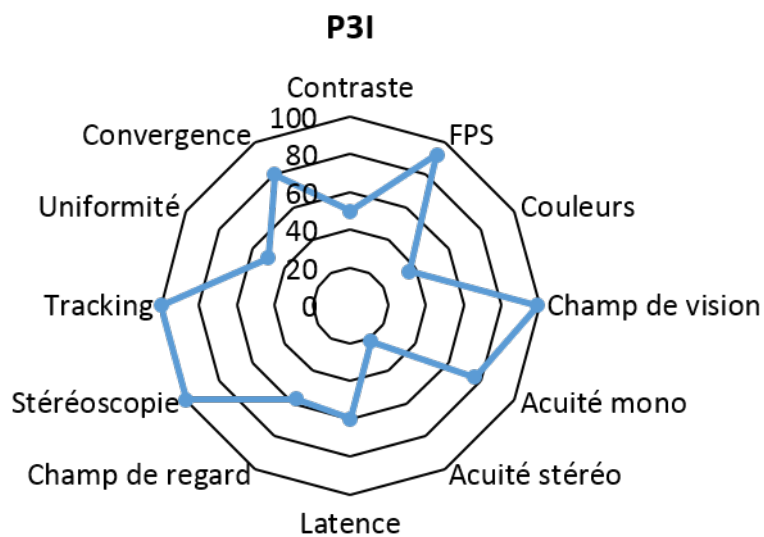


FIGURE 90 – Diagramme radar des critères du score pour P3I.

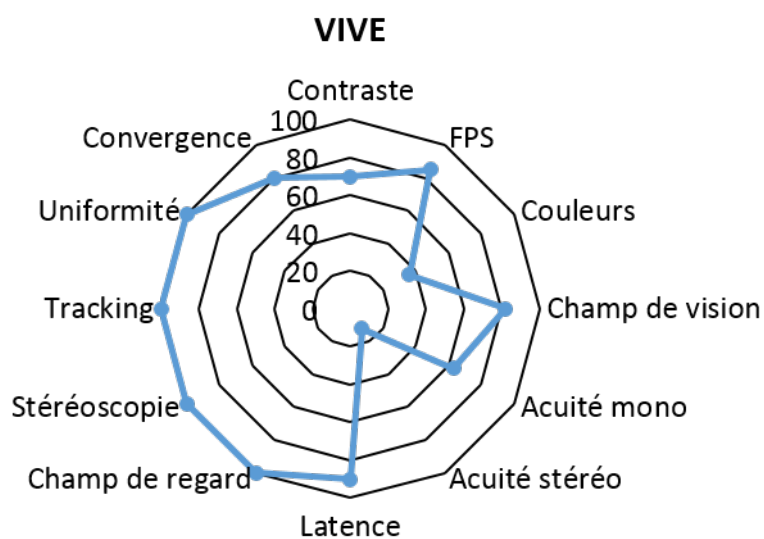


FIGURE 91 – Diagramme radar des critères du score pour le casque VIVE.

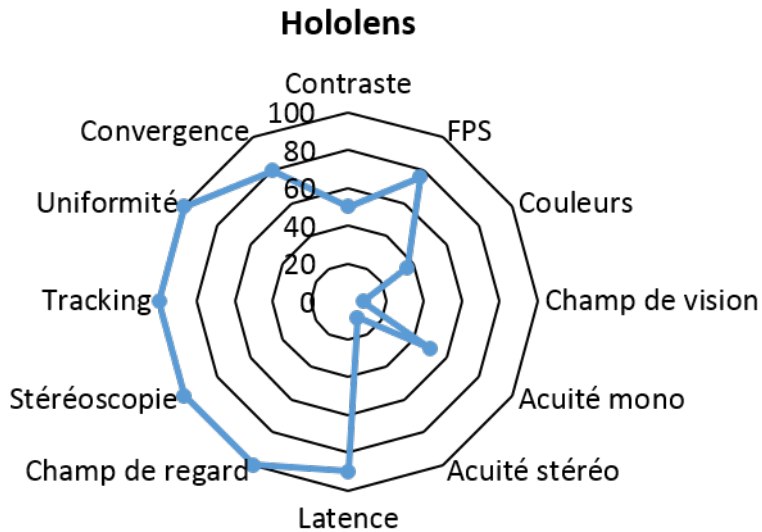


FIGURE 92 – Diagramme radar des critères du score pour le casque Hololens.

semblent donc plus recommandés. Néanmoins, d'autres critères interviennent aussi dans le choix d'un système (portabilité, coût, ...) et on ne doit donc pas se limiter aux indices visuels seuls. Cela nous mène à décrire des cas concrets d'utilisation du score de réalisme.

Perspectives d'utilisation

Pour terminer ce manuscrit, on propose de présenter des idées concrètes d'utilisation de notre score de réalisme. Le premier usage étant évidemment celui de l'aide à la conception ou à la mise à jour des systèmes immersifs. Lorsque que l'on doit par exemple améliorer les caractéristiques d'un système de RV, les critères disposant déjà d'une bonne note ne seront pas à traiter en premier. De même, une partie du système ayant atteint le score maximal, ne nécessite à priori pas d'amélioration, à moins que cette dernière ait un effet direct sur un autre critère.

On peut ensuite imaginer un usage visant à déterminer la lisibilité dans un simulateur : en pondérant tous les critères liés à cette tâche (acuités, contraste et luminance, fluidité en cas de haute vitesse) et en réglant la pondération des critères moins inutiles à 0. On pourra alors estimer quel moyen immersif est le plus adapté à des expérimentations impliquant de petits détails au loin comme la lecture en amont de panneaux d'autoroute (destination, limitations de vitesse, ...).

Enfin, il existe depuis 2016 une initiative permettant de mettre en location à d'autres professionnels ses systèmes immersifs : VR-BNB. Les entreprises (ou laboratoires) créent alors une page décrivant le système qu'elles mettent à disposition : on peut imaginer intégrer sur cette page, ou dans les critères de recherche, le score de réalisme dudit système, en pondération globale ou pondéré dans un cas d'utilisation spécifique. Les futurs utilisateurs auraient alors plus d'indications sur la capacité du système qu'ils envisagent de louer à répondre à leurs besoins expérimentaux.

Bibliographie

- Adelstein, Bernard D., Lee, Thomas G., & Ellis, Stephen R. 2003. Head Tracking Latency in Virtual Environments : Psychophysics and a Model. *Proceedings of the Human Factors and Ergonomics Society Annual Meeting*, **47**(20), 2083–2087.
- Čadík, Martin. 2004. Human Perception and Computer Graphics. In : *in Czech Technical University Postgraduate Study Report*.
- Allison, R. S., Harris, L. R., Jenkin, M., Jasiobedzka, U., & Zacher, J. E. 2001 (Mar.). Tolerance of temporal delay in virtual environments. Pages 247–254 of : *Proceedings IEEE Virtual Reality 2001*.
- ANSES. 2014. *Effets Sanitaires Potentiels des Technologies Audiovisuelles en 3D Stéréoscopique*. Rapport d'Expertise Collective.
- Artal, Pablo, Ferro, Manuel, Navarro, Rafael, & Miranda, Ismael. 1993. Effects of aging in retinal image quality. *JOSA A*, **10**(7), 1656–1662.
- Aurat, David. 2016. *Immersion Visuelle Tridimensionnelle Haute Performance par Suivi du Mouvement des Yeux*. Informatique Temps Réel, Robotique & Automatique, Université de Recherche Paris Sciences et Lettres (PSL Research University), Paris, France.
- Ball, Karlene K., Beard, Bettina L., Roenker, Daniel L., Miller, Richard L., & Griggs, David S. 1988. Age and visual search : expanding the useful field of view. *JOSA A*, **5**(12), 2210–2219.
- Bear, Mark F, Connors, Barry W, & Paradiso, Michael A. 2007. *Neurosciences : à la découverte du cerveau*. Paris : Éditions Pradel.
- Beghdadi, A., Larabi, M.-C., Bouzerdoum, A., & Iftekharuddin, K.M. 2013. A survey of perceptual image processing methods. *Signal Processing : Image Communication*, **28**(8), 811–831.
- Beretta, Giordano. 2000. *Understanding Color*.
- Bezzubik, V. V., & Belashenkov, N. R. 2015. Modeling the contrast-sensitivity function of the human visual system. *Journal of Optical Technology*, **82**(10), 711–717.
- Blackwell, H. R. 1981. *An Analytic model for describing the influence of lighting parameters upon visual performance*. Publication CIE, nos. no. 19/2.1–19/2.2. Paris, France : Bureau central de la CIE.
- Blackwell, O. Mortenson, & Blackwell, H. Richard. 1971. IERI : Visual Performance Data for 156 Normal Observers of Various Ages. *Journal of the Illuminating Engineering Society*, **1**(1), 3–13.
- Blade, Richard A., & Padgett, Mary Lou. 2015. *Handbook of virtual environments : design, implementation, and applications*. Second edition edn. Human factors and ergonomics. Boca Raton : CRC Press, Taylor & Francis Group.
- Bonnet, Claude. 1986. *Manuel Pratique de Psychophysique*. Collection U. Paris : A. Colin.
- Bouchard, S., Robillard, G., & Renaud, P. 2007. Revising the factor structure of the Simulator Sickness Questionnaire. vol. 5.
- Bouchard, S., St-Jacques, J., Renaud, P., & Wiederhold, B. K. 2009. Side effects of immersions in virtual reality for people suffering from anxiety disorders. *Journal of Cybertherapy and Rehabilitation*, **2**(2), 127–137.

- Bouchard, S., Robillard, G., Renaud, P., & Bernier, F. 2011. Exploring new dimensions in the assessment of virtual reality induced side-effects. *Journal of Computer and Information Technology*, **1**(3), 20–32.
- Bradley, A.P. 1999. A wavelet visible difference predictor. *IEEE Transactions on Image Processing*, **8**(5), 717–730.
- Brooks, F.P. 1999. What's real about virtual reality? *IEEE Computer Graphics and Applications*, **19**(6), 16–27.
- Bullier, Jean. 2001. Integrated model of visual processing. *Brain Research Reviews*, **36**(2-3), 96–107.
- Burdea, Grigore, & Coiffet, Philippe. 1993. *La réalité virtuelle*. Paris : Hermès. OCLC : 695543592.
- Burgess, Arthur E. 1999. The Rose model, revisited. *Journal of the Optical Society of America*, **16**(3), 633–646.
- Burkhardt, J.-M. 2003. Réalité virtuelle et ergonomie : quelques apports réciproques. *Le travail humain*, Vol. **66**(1), 65–91.
- Burkhardt, Jean-Marie, Lourdeaux, Domitile, & Fuchs, Philippe. 1999 (Dec.). Conception d'un système de RV pour la formation des agents de conduite aux opérations en milieu ferroviaire. In : *Colloque Réalité Virtuelle et Cognition*.
- Burt, P., & Adelson, E. 1983. The Laplacian Pyramid as a Compact Image Code. *IEEE Transactions on Communications*, **31**(4), 532–540.
- Burton, Kerri B., Owsley, Cynthia, & Sloane, Michael E. 1993. Aging and neural spatial contrast sensitivity : Photopic vision. *Vision Research*, **33**(7), 939–946.
- Cook, Christopher A., Koretz, Jane F., Pfahnl, Arnold, Hyun, John, & Kaufman, Paul L. 1994. Aging of the human crystalline lens and anterior segment. *Vision Research*, **34**(22), 2945–2954.
- Daly, Scott J. 1992 (Aug.). Visible differences predictor : an algorithm for the assessment of image fidelity.
- Damelincourt, Jean-Jacques, Zissis, Georges, Corbé, Christian, & Paule, Bernard. 2010. *Eclairage d'intérieur et ambiances visuelles*. Optique & Vision. Paris : Tec&Doc.
- de Lange Dzn, H. 1958a. Research into the Dynamic Nature of the Human Fovea-Cortex Systems with Intermittent and Modulated Light I Attenuation Characteristics with White and Colored Light. *Journal of the Optical Society of America*, **48**(11), 777.
- de Lange Dzn, H. 1958b. Research into the Dynamic Nature of the Human Fovea-Cortex Systems with Intermittent and Modulated Light II Phase Shift in Brightness and Delay in Color Perception. *Journal of the Optical Society of America*, **48**(11), 784.
- Deeley, Robin J., Drasdo, Neville, & Charman, W. Neil. 1991. A simple parametric model of the human ocular modulation transfer function. *Ophthalmic and Physiological Optics*, **11**(1), 91–93.
- Deering, Michael F. 1998. The Limits of Human Vision. vol. 2.

- Devisme, Céline. 2004. *Optimisation du Traitement des Indices de Profondeur pour Application à la Vision Artificielle - Cas de la Disparité Horizontale*. Mémoire.
- D'hondt, Fabien. 2011. *Emotion et Espace Visuel : Approche Neuromagnétique, Neurosomatique et Comportementale*. Ph.D. thesis.
- Di Luca, Massimiliano. 2010. New Method to Measure End-to-End Delay of Virtual Reality. *Presence : Teleoperators and Virtual Environments*, **19**(6), 569–584.
- Dobelle, Wm. H. 2000. Artificial Vision for the Blind by Connecting a Television Camera to the Visual Cortex :. *ASAIO Journal*, **46**(1), 3–9.
- Dodgson, Neil A. 2004 (May). Variation and Extrema of Human Interpupillary Distance.
- Drago, Frédéric, Martens, William L., Myszkowski, Karol, & Seidel, Hans-Peter. 2003. Perceptual Evaluation of Tone Mapping Operators. *Pages 1–1 of : ACM SIGGRAPH 2003 Sketches & Applications*. SIGGRAPH '03. New York, NY, USA : ACM.
- Driscoll, Walter G., Vaughan, William, & Optical Society of America (eds). 1978. The Eyes and Vision. In : Driscoll, Walter G., Vaughan, William, & Optical Society of America (eds), *Handbook of optics*. New York : McGraw-Hill.
- Ellis, S. R., Adelstein, B. D., Baumeler, S., Jense, G. J., & Jacoby, R. H. 1999 (Mar.). Sensor spatial distortion, visual latency, and update rate effects on 3D tracking in virtual environments. *Pages 218–221 of : Proceedings IEEE Virtual Reality (Cat. No. 99CB36316)*.
- Fairchild, Mark D. 1998. *Color appearance models*. First edition edn. Wiley-IS&T series in imaging science and technology. Chichester, West Sussex : Wiley.
- Fairchild, Mark D. 2005. Human Color Vision. *Pages 1–34 of : Color appearance models*, 2nd ed edn. Wiley-IS&T series in imaging science and technology. Chichester, West Sussex, England ; Hoboken, NJ : J. Wiley.
- Fauster, L., & Wien, T. U. 2007. Stereoscopic Techniques in Computer Graphics. *Tu Wien*.
- Feng Han, Tao Xu, Chaoping Tian, & Zhenjie Hou. 2010. Investigation on human visual response latency. IEEE.
- Ferwerda, James A., Pattanaik, Sumanta N., Shirley, Peter, & Greenberg, Donald P. 1996. A Model of Visual Adaptation for Realistic Image Synthesis. ACM.
- Fiard, Gaelle, Selmi, Sonia-Yuki, Promayon, Emmanuel, Vadcard, Lucile, Descotes, Jean-Luc, & Troccaz, Jocelyne. 2014. Initial Validation of a Virtual-Reality Learning Environment for Prostate Biopsies : Realism Matters ! *Journal of Endourology*, **28**(4), 453–458.
- Fuentese, Sandro F., Rahm, Stefan, Wieser, Karl, Spillmann, Jonas, Harders, Matthias, & Koch, Peter P. 2015. Evaluation of a virtual-reality-based simulator using passive haptic feedback for knee arthroscopy. *Knee Surgery, Sports Traumatology, Arthroscopy*, **23**(4), 1077–1085.
- Fuchs, Philippe, Moreau, Guillaume, & Berthoz, Alain. 2003. *Le Traité de la Réalité Virtuelle. Volume 1*. Vol. 1. Paris : Les Presses de l'École des Mines.
- Geisler, Wilson S. 2003. Ideal Observer Analysis. *The Visual Neurosciences*, **10**(7).
- Glassner, Andrew S. 1995. *Principles of Digital Image Synthesis*. The Morgan Kaufmann series in computer graphics and geometric modeling. San Francisco : Morgan Kaufmann.

- Goodale, M. A., Milner, A. D., Jakobson, L. S., & Carey, D. P. 1991. A neurological dissociation between perceiving objects and grasping them. *Nature*, **349**(6305), 154–156.
- Gross, Herbert, Blechinger, Fritz, Achtner, Bertram, & Gross, Herbert. 2008. Human Eye. In : *Survey of Optical Instruments*. Handbook of Optical Systems, no. ed. by Herbert Gross ; Vol. 4. Weinheim : Wiley-VCH.
- Habekost, Martin. 2013. Which Color Differencing Equation Should Be Used? *International Circular of Graphic Education and Research*, 20–33.
- Halonen, L., & Puolakka, M. 2011. CIE and Mesopic Photometry. CIE publication. Vienna : CIE Central Bureau.
- Hoorn, J.F., Konijn, E.A., & Van der Veer, G.C. 2003. Virtual Reality : Do Not Augment Realism, Augment Relevance. *Upgrade-Human-Computer Interaction : Overcoming Barriers*, **4**(1), 18–25.
- Hunt, Robert W. G. 1995. *The Reproduction of Color*. 5th edition edn. Kingston-upon-Thames : Fountain Press.
- Jacoby, Richard H., Adelstein, Bernard Dov, & Ellis, Stephen R. 1996. Improved temporal response in virtual environments through system hardware and software reorganization. Pages 271–285 of : *Stereoscopic Displays and Virtual Reality Systems III*, vol. 2653. International Society for Optics and Photonics.
- James, Thomas W., & Kim, Sunah. 2010. Dorsal and Ventral Cortical Pathways for Visuo-haptic Shape Integration Revealed Using fMRI. Pages 231–250 of : Kaiser, Jochen, & Naumer, Marcus Johannes (eds), *Multisensory Object Perception in the Primate Brain*. New York, NY : Springer New York.
- Judd, Deane Brewster, & Wyszecki, Günter. 1975. *Color in Business, Science, and Industry*. 3d ed edn. Wiley series in pure and applied optics. New York : Wiley.
- Kemeny, Andras. 2014. From driving simulation to virtual reality. ACM Press.
- Kilbride, Paul E., Hutman, Lucinda P., Fishman, Marlene, & Read, John S. 1986. Foveal cone pigment density difference in the aging human eye. *Vision Research*, **26**(2), 321–325.
- Kingdom, Frederick, & Prins, Nicolaas. 2010. *Psychophysics : A Practical Introduction*. Boston, MA : Elsevier.
- Kuehni, Rolf G. 2015. How many object colors can we distinguish? *Color Research & Application*, July.
- Landis, Carney. 1954. Determinants of the Critical Flicker-Fusion Threshold. *Physiological Reviews*, **34**(2), 259–286.
- Langlois, Sabine. 2013. ADAS HMI using peripheral vision. ACM Press.
- Le Grand, Yves. 1972. *Optique Physiologique : Lumière et Couleurs*. 2 edn. Vol. 2. Masson & Cie.
- Liang, Jiandong, Shaw, Chris, & Green, Mark. 1991. On Temporal-spatial Realism in the Virtual Reality Environment. Pages 19–25 of : *Proceedings of the 4th Annual ACM Symposium on User Interface Software and Technology*. UIST '91. New York, NY, USA : ACM.

- Linhares, João Manuel Maciel, Pinto, Paulo Daniel, & Nascimento, Sérgio Miguel Cardoso. 2008. The number of discernible colors in natural scenes. *Journal of the Optical Society of America A*, **25**(12), 2918.
- Liou, Hwey-Lan, & Brennan, Noel A. 1997. Anatomically Accurate, Finite Model Eye for Optical Modeling. *Journal of the Optical Society of America A*, **14**(8), 1684.
- Lubin, Jeffrey. 1995. A Visual Discrimination Model for Imaging System Design and Evaluation. *Pages 245–283 of : Vision Models for Target Detection and Recognition*.
- Lukin, A. 2009. Improved visible differences predictor using a complex cortex transform.
- Mania, Katerina, Adelstein, Bernard D., Ellis, Stephen R., & Hill, Michael I. 2004. Perceptual Sensitivity to Head Tracking Latency in Virtual Environments with Varying Degrees of Scene Complexity. *Pages 39–47 of : Proceedings of the 1st Symposium on Applied Perception in Graphics and Visualization*. APGV '04. New York, NY, USA : ACM.
- Mantiuk, R., Myszkowski, K., & Seidel, H.-P. 2004. Visible difference predictor for high dynamic range images. vol. 3. IEEE.
- Mantiuk, Rafal, Daly, Scott J., Myszkowski, Karol, & Seidel, Hans-Peter. 2005 (Mar.). Predicting visible differences in high dynamic range images : model and its calibration.
- Mantiuk, Rafal K., & Ramponi, Giovanni. 2015. Human Vision Model Including Age Dependencies.
- Mazur, Kim M., & Reising, John M. 1990. The Relative Effectiveness of Three Visual Depth Cues in a Dynamic Air Situation Display. *Proceedings of the Human Factors Society Annual Meeting*, **34**(1), 16–20.
- McCann, John J., & Hall, John A. 1980. Effects of average-luminance surrounds on the visibility of sine-wave gratings. *J. Opt. Soc. Am.*, **70**(2), 212–219.
- Meehan, M., Razzaque, S., Whitton, M. C., & Brooks, F. P. 2003 (Mar.). Effect of latency on presence in stressful virtual environments. *Pages 141–148 of : IEEE Virtual Reality, 2003. Proceedings*.
- Mehrabi, Mostafa, Peek, Edward M., Wuensche, Burkhard C., & Lutteroth, Christof. 2013. Making 3D work : a classification of visual depth cues, 3D display technologies and their applications. *Pages 91–100 of : Proceeding AUIC '13 Proceedings of the Fourteenth Australasian User Interface Conference*, vol. 139. Melbourne, Australia : ACM.
- Michelson, Albert A. 1995. *Studies in optics*. Dover ed edn. New York : Dover Publications.
- Mikkola, Maija, Boev, Atanas, & Gotchev, Atanas. 2010. Relative importance of depth cues on portable autostereoscopic display. ACM Press.
- Mishkin, Mortimer, Ungerleider, Leslie G., & Macko, Kathleen A. 1983. Object vision and spatial vision : two cortical pathways. *Trends in Neurosciences*, **6**(Jan.), 414–417.
- Moon, Parry, & Spencer, Domina Eberle. 1944. Visual Data Applied to Lighting Design. *Journal of the Optical Society of America*, **34**(10), 605.
- Moorthy, Anush K., & Bovik, Alan C. 2013 (Mar.). A survey on 3D quality of experience and 3D quality assessment.

- Moorthy, Anush Krishna, Su, Che-Chun, Mittal, Anish, & Bovik, Alan Conrad. 2013. Subjective evaluation of stereoscopic image quality. *Signal Processing : Image Communication*, **28**(8), 870–883.
- Moreau, Guillaume, & Tisseau, Jacques. 2006. *Le Traité de la Réalité Virtuelle. Volume 3*. Vol. 3. Paris : École des mines de Paris. OCLC : 288965251.
- Naka, K. I., & Rushton, W. A. H. 1966. An attempt to analyse colour reception by electrophysiology. *The Journal of Physiology*, **185**(3), 556–586.
- Nakamura, Yoshiki, & Akashi, Yukio. 2003. The Effect of Immediate Background Size on Target Detection. *Journal of the Illuminating Engineering Society*, **32**(2), 74–87.
- Neveu, Pascaline. 2012. *Impact des Dispositifs de Visualisation en Relief sur les Composantes Oculomotrices d'Accommodation et de Vergence*. Psychologie, Université de Paris 8 - Vincennes - Saint-Denis.
- Nichols, Bill, & Lederman, Susan J. 1980. Flicker and Motion in Film. *Pages 96–105 of* : de Lauretis, Teresa, & Heath, Stephen (eds), *The Cinematic Apparatus*. London : Palgrave Macmillan UK.
- Ogle, Kenneth N. 1968. Optics : An Introduction for Ophthalmologists. *ResearchGate*, Jan.
- Owsley, Cynthia, Sekuler, Robert, & Siemsen, Dennis. 1983. Contrast sensitivity throughout adulthood. *Vision Research*, **23**(7), 689–699.
- Papadakis, Giorgos, Mania, Katerina, & Koutroulis, Eftichios. 2011. A System to Measure, Control and Minimize End-to-end Head Tracking Latency in Immersive Simulations. *Pages 581–584 of* : *Proceedings of the 10th International Conference on Virtual Reality Continuum and Its Applications in Industry*. VRCAI '11. New York, NY, USA : ACM.
- Patrick, John. 1992. *Training : Research and practice*. Academic Press.
- Pattanaik, Sumanta N., Ferwerda, James A., Fairchild, Mark D., & Greenberg, Donald P. 1998. A Multiscale Model of Adaptation and Spatial Vision for Realistic Image Display.
- Peli, Eli. 1990. Contrast in Complex Images. *Journal of the Optical Society of America A*, **7**(10), 2032.
- Pelli, Denis G., & Bex, Peter. 2013. Measuring contrast sensitivity. *Vision Research*, **90**(Sept.), 10–14.
- Perales, Esther, Martínez-Verdú, Francisco, & Viqueira, Valentín. 2008. Calculation of number of distinguishable colours by real normal observers. *Conference on Colour in Graphics, Imaging, and Vision*, **2008**(1), 80–84.
- Pointer, M. R. 1980. The Gamut of Real Surface Colours. *Color Research & Application*, **5**(3), 145–155.
- Pointer, M. R., & Attridge, G. G. 1998. The number of discernible colours. *Color Research & Application*, **23**(1), 52–54.
- Pokorny, Joel, Smith, Vivianne C., & Lutze, Margaret. 1987. Aging of the human lens. *Applied Optics*, **26**(8), 1437.

- Rea, M. S. 1987. Toward a Model of Visual Performance : A Review of Methodologies. *Journal of the Illuminating Engineering Society*, **16**(1), 128–142.
- Rea, M. S., & Ouellette, M. J. 1988. Visual performance using reaction times. *Lighting Research and Technology*, **20**(4), 139–153.
- Rea, Mark S. 1986. Toward a Model of Visual Performance : Foundations and Data. *Journal of the Illuminating Engineering Society*, **15**(2), 41–57.
- Rea, Mark S., & Ouellette, Michael J. 1991. Relative visual performance : A basis for application. *Lighting Research and Technology*, **23**(3), 135–144.
- Regan, Matthew J. P., Miller, Gavin S. P., Rubin, Steven M., & Kogelnik, Chris. 1999. A real-time low-latency hardware light-field renderer. ACM Press.
- Reinhart, William F., Beaton, Robert J., & Snyder, Harry L. 1990. Comparison of depth cues for relative depth judgments. vol. 1256. International Society for Optics and Photonics.
- Robertson, A. R. 1990. Historical development of CIE recommended color difference equations. *Color Research & Application*, **15**(3), 167–170.
- Rogé, Joceline, & Pébayle, Thierry. 2009. Deterioration of the useful visual field with ageing during simulated driving in traffic and its possible consequences for road safety. *Safety Science*, **47**(9), 1271–1276.
- Rogé, Joceline, Pébayle, Thierry, Lambilliotte, Elina, Spitzenstetter, Florence, Giselprecht, Danièle, & Muzet, Alain. 2004. Influence of age, speed and duration of monotonous driving task in traffic on the driver's useful visual field. *Vision Research*, **44**(23), 2737–2744.
- Rogers, Brian, & Graham, Maureen. 1979. Motion Parallax as an Independent Cue for Depth Perception. *Perception*, **8**(2), 125–134.
- Rose, Albert. 1948. The Sensitivity Performance of the Human Eye on an Absolute Scale*. *Journal of the Optical Society of America*, **38**(2), 196.
- Rushmeier, H., Ward, G., Piatko, C., Sanders, P., & Rust, B. 1995. Comparing Real and Synthetic Images : Some Ideas About Metrics. 82–91.
- Sagawa, Ken, & Takahashi, Yasuro. 2001. Spectral luminous efficiency as a function of age. *Journal of the Optical Society of America A*, **18**(11), 2659.
- Schanda, János, & International Commission on Illumination (eds). 2007. *Colorimetry : Understanding the CIE System*. [Vienna, Austria] : Hoboken, N.J : CIE/Commission internationale de l'éclairage ; Wiley-Interscience.
- Sekuler, Allison B., & Bennett, Patrick J. 2000. Effects of Aging on the Useful Field of View. *Experimental Aging Research*.
- Sharma, Gaurav, & Bala, Raja. 2013. *Digital color imaging handbook*. OCLC : 856194495.
- Sharma, Gaurav, Wu, Wencheng, & Dalal, Edul N. 2005. The CIEDE2000 color-difference formula : Implementation notes, supplementary test data, and mathematical observations. *Color Research & Application*, **30**(1), 21–30.

Spencer, Greg, Shirley, Peter, Zimmerman, Kurt, & Greenberg, Donald P. 1995. Physically-based glare effects for digital images. ACM Press.

Steed, Anthony. 2008. A Simple Method for Estimating the Latency of Interactive, Real-time Graphics Simulations. *Pages 123–129 of : Proceedings of the 2008 ACM Symposium on Virtual Reality Software and Technology*. VRST '08. New York, NY, USA : ACM.

Stevens, S. S. 1957. On the psychophysical law. *Psychological Review*, **64**(3), 153–181.

Stoffregen, Thomas A., Bardy, Benoit G., Smart, L. J., & Pagulayan, Randy. 2003. One the Nature and Evaluation of Fidelity in Virtual Environments. *In : Virtual and Adaptive Environments*.

Surdick, R. Troy, Davis, Elizabeth T., King, Robert A., Corso, Gregory M., Shapiro, Alexander, Hodges, Larry, & Elliot, Kelly. 1994. Relevant Cues for the Visual Perception of Depth : Is Where You See it Where it is? *Proceedings of the Human Factors and Ergonomics Society Annual Meeting*, **38**(19), 1305–1309.

Surdick, R. Troy, Davis, Elizabeth T., King, Robert A., & Hodges, Larry F. 1997. The Perception of Distance in Simulated Visual Displays :A Comparison of the Effectiveness and Accuracy of Multiple Depth Cues Across Viewing Distances. *Presence : Teleoperators and Virtual Environments*, **6**(5), 513–531.

Swindells, Colin, Dill, John C., & Booth, Kellogg S. 2000. System Lag Tests for Augmented and Virtual Environments. *Pages 161–170 of : Proceedings of the 13th Annual ACM Symposium on User Interface Software and Technology*. UIST '00. New York, NY, USA : ACM.

Ungerleider, Leslie G., & Mishkin, Mortimer. 1982. Two Cortical Visual Systems. *In : Ingle, David, Goodale, Melvyn A., & Mansfield, Richard J. W. (eds), Analysis of visual behavior*. Cambridge, Mass : MIT Press.

Vidal, Q., Michelin, S., Laborie, B., & Kemeny, A. 2016. Color-Difference Assessment and Enhancement for Driving Headlight Simulation. *SIMULATION*, **92**(5), 427–435.

Vos, J.J., & van den Berg, T.J. 1999. *CIE 135 / 1-6 Disability Glare*. Technical Report. CIE.

Wandell, Brian A. 1995. *Foundations of vision*. Sunderland, Mass : Sinauer Associates.

Ward, Greg. 1994. A Contrast-Based Scalefactor for Luminance Display. *Pages 415–421 of : Heckbert, Paul S. (ed), Graphics gems IV*. The Graphics gems series. Boston : AP Professional.

Watson, Andrew B., & Solomon, Joshua A. 1997. Model of visual contrast gain control and pattern masking. *Journal of the Optical Society of America A*, **14**(9), 2379.

Watson, Andrew B., & Yellott, John I. 2012. A Unified Formula For Light-adapted Pupil Size. *Investigative Ophthalmology & Visual Science*, **53**(14), 143–143.

Watson, Benjamin, Walker, Neff, Ribarsky, William, & Spaulding, Victoria. 1998. Effects of Variation in System Responsiveness on User Performance in Virtual Environments. *Human Factors*, **40**(3), 403–414.

Wen, Senfar. 2006. Display gamut comparison with number of discernible colors. *Journal of Electronic Imaging*, **15**(4), 043001–043001–8.

- Westheimer, Gerald. 1986. The Eye as an Optical Instrument. In : *Handbook of Perception and Human Performance*, vol. 1.
- Winkler, Stefan. 1999. Issues in vision modeling for perceptual video quality assessment. *Signal Processing*, **78**(2), 231–252.
- Winkler, Stefan. 2000 (June). Quality Metric Design : a Closer Look.
- Winkler, Stefan, & Vanderghenst, Pierre. 1999. Computing Isotropic Local Contrast From Oriented Pyramid Decompositions. *Pages 420–424 of : in Proc. ICIP*.
- Witmer, Bob G., & Singer, Michael J. 1998. Measuring Presence in Virtual Environments : A Presence Questionnaire. *Presence : Teleoperators and Virtual Environments*, **7**(3), 225–240.
- Woods, Andrew J., Docherty, Tom, & Koch, Rolf. 1993 (Sept.). Image distortions in stereoscopic video systems.
- Wyszecki, Günter, & Stiles, W. S. 2000. *Color Science : Concepts and Methods, Quantitative Data, and Formulae*. Wiley classics library ed edn. Wiley classics library. New York : John Wiley & Sons.